

ผลกระทบของการดูดซับสีย้อมโรดามีน 6จี บนอนุภาคนาโนแม่เหล็ก Fe₃O₄
ที่มีต่อค่าฟลูออเรสเซนส์ควอนตัมยิลด์

EFFECT OF RHODAMINE 6G ADSORPTION ONTO Fe₃O₄
MAGNETIC NANOPARTICLES ON FLUORESCENCE QUANTUM YIELD

สุวพิชญ์ เพิ่มพูนธัญญกิจ

SUWAPHIT PHOEMPHOONTHANYAKIT

วิทยานิพนธ์นี้เป็นส่วนหนึ่งของการศึกษาตามหลักสูตร
ปริญญาวิทยาศาสตรมหาบัณฑิต สาขาวิชาฟิสิกส์ประยุกต์
ภาควิชาฟิสิกส์ คณะวิทยาศาสตร์
สถาบันเทคโนโลยีพระจอมเกล้าเจ้าคุณทหารลาดกระบัง

พ.ศ. 2562

KMITL-2019-SC-M-030-068

ผลกระทบของการดูดซับสีย้อมโรดามีน 6จี บนอนุภาคนาโนแม่เหล็ก Fe₃O₄
ที่มีต่อค่าฟลูออเรสเซนส์ควอนตัมยิลด์

EFFECT OF RHODAMINE 6G ADSORPTION ONTO Fe₃O₄
MAGNETIC NANOPARTICLES ON FLUORESCENCE QUANTUM YIELD

สุวพิชญ์ เพิ่มพูนธัญญกิจ

SUWAPHIT PHOEMPHOONTHANYAKIT

วิทยานิพนธ์นี้เป็นส่วนหนึ่งของการศึกษาตามหลักสูตร
ปริญญาวิทยาศาสตรมหาบัณฑิต สาขาวิชาฟิสิกส์ประยุกต์
ภาควิชาฟิสิกส์ คณะวิทยาศาสตร์
สถาบันเทคโนโลยีพระจอมเกล้าเจ้าคุณทหารลาดกระบัง

พ.ศ. 2562

KMITL-2019-SC-M-030-068

EFFECT OF RHODAMINE 6G ADSORPTION ONTO Fe_3O_4
MAGNETIC NANOPARTICLES ON FLUORESCENCE QUANTUM YIELD

SUWAPHIT PHOEMPHOONTHANYAKIT

A THESIS SUBMITTED IN PARTIAL FULFILLMENT OF THE REQUIREMENT FOR THE
DEGREE OF MASTER OF SCIENCE IN APPLIED PHYSICS
DEPARTMENT OF PHYSICS FACULTY OF SCIENCE
KING MONGKUT'S INSTITUTE OF TECHNOLOGY LADKRABANG

2019

KMITL-2019-SC-M-030-068

COPYRIGHT 2019

FACULTY OF SCIENCE

KING MONGKUT'S INSTITUTE OF TECHNOLOGY LADKRABANG

หัวข้อวิทยานิพนธ์	ผลกระทบของการดูดซับสีย้อมโรดามีน 6จี บนอนุภาคนาโนแม่เหล็ก Fe_3O_4 ที่มีต่อค่าฟลูออเรสเซนส์ควอนตัมยิลด์
ชื่อนักศึกษา	นางสาวสุวิษญ์ เพิ่มพูนธัญญกิจ
รหัสประจำตัว	60605072
ปริญญา	วิทยาศาสตรมหาบัณฑิต (ฟิสิกส์ประยุกต์)
ภาควิชา	ฟิสิกส์
พ.ศ.	2562
อาจารย์ที่ปรึกษาวิทยานิพนธ์	รศ.ดร.ภัทริยา ดำรงค์ศักดิ์

บทคัดย่อ

วิทยานิพนธ์นี้ศึกษาสมบัติทางแสงของสีย้อมโรดามีน 6จี ร่วมกับอนุภาคนาโนแม่เหล็ก Fe_3O_4 โดยพารามิเตอร์ต่างๆ ได้แก่ อัตราเร็วในการปั่นกววนสาร และเวลาที่ใช้ในการดูดซับ ถูกนำมาวิเคราะห์เพื่อหาเงื่อนไขที่เหมาะสมสำหรับศึกษาปัจจัยต่างๆ ที่ส่งผลต่อประสิทธิภาพการดูดซับสีย้อมโรดามีน 6จี และค่าฟลูออเรสเซนส์ควอนตัมยิลด์ ได้แก่ ความเข้มข้นของสารละลายสีย้อมและปริมาณตัวดูดซับอนุภาคนาโนแม่เหล็ก ภายใต้เงื่อนไขไม่ฉายแสงและการฉายแสงขาบแบบต่อเนื่อง จากผลการศึกษาพบว่าอัตราเร็วที่เหมาะสมสำหรับการปั่นกววนคือ 1500 รอบต่อนาที สมดุลการดูดซับเกิดขึ้นที่เวลา 60 นาที ซึ่งประสิทธิภาพการกำจัดสีย้อมภายใต้เงื่อนไขไม่ฉายแสงมีแนวโน้มเปลี่ยนแปลงมากที่สุดเมื่อใช้สารสีย้อม Rh6G ความเข้มข้น 1×10^{-6} โมลาร์ กับอนุภาคนาโนแม่เหล็ก Fe_3O_4 ความเข้มข้น 500 มิลลิกรัมต่อลิตร เปลี่ยนแปลงในช่วง 90 - 94 เปอร์เซ็นต์ มีค่าฟลูออเรสเซนส์ควอนตัมยิลด์อยู่ในช่วง 0.57 - 0.60 และประสิทธิภาพการกำจัดสีย้อมมีแนวโน้มลดลงน้อยที่สุดเมื่อใช้สารสีย้อม Rh6G ความเข้มข้น 5×10^{-6} โมลาร์ กับอนุภาคนาโนแม่เหล็ก Fe_3O_4 ความเข้มข้น 100 มิลลิกรัมต่อลิตร เปลี่ยนแปลงในช่วง 27 - 29 เปอร์เซ็นต์ มีค่าฟลูออเรสเซนส์ควอนตัมยิลด์อยู่ในช่วง 0.80 - 0.81 ผลจากการฉายแสงของสารละลายความเข้มข้นดังกล่าวพบว่าประสิทธิภาพการกำจัดสีย้อมมีค่าเพิ่มขึ้นถึง 3 เท่า และค่าฟลูออเรสเซนส์ควอนตัมยิลด์เปลี่ยนแปลงในช่วง 0.88 - 0.87

คำสำคัญ: อนุภาคนาโนแม่เหล็ก โรดามีน 6จี ประสิทธิภาพการกำจัดสีย้อม ฟลูออเรสเซนส์ควอนตัมยิลด์

Thesis Title	Effect of Rhodamine 6G Adsorption onto Fe ₃ O ₄ Magnetic Nanoparticles on Fluorescence Quantum Yield
Student name	Miss Suwaphit Phoemphoonthanyakit
Student ID	60605072
Degree	Master of Science (Applied Physics)
Department	Applied Physics
Year	2019
Thesis Advisor	Assoc.Prof.Dr. Pattareeya Damrongsak

Abstract

We reported the feasibility of magnetic nanoparticles (Fe₃O₄) used as an adsorbent for the removal of rhodamine 6G dye (Rh6G) from aqueous solution. The optical properties were measured in term of absorbance and fluorescence spectroscopy by UV-Vis spectrometer. Various parameters consist of stirring speed (0 - 1500 rpm) and treatment time (0 - 150 min) were analyzed to find suitable conditions. The adsorption mechanisms of Rh6G on Fe₃O₄ determined by several parameters such as initial concentration (1×10^{-6} - 5×10^{-6} M) and amount of adsorbent dosage (100 - 500 mg/L) were compared with the dark condition and white lighting. The dye removal efficiency and fluorescence quantum yield (FQY) have been studied to explain the interaction of dyes. Moreover, the studies indicated the relation between dye removal efficiency and FQY. The experimental results, the optimum speed for stirring was 1500 rpm and treatment time of 60 min. Dye removal efficiency for dark condition when using Rh6G dye 1×10^{-6} M with Fe₃O₄ 500 mg/L was 90 - 94 % and FQY ranged was obtained 0.57 - 0.60. The dye removal efficiency decreased when using Rh6G dye 5×10^{-6} M with the adsorbent dosage 100 mg/L range of 27 - 29 % and 0.80 - 0.81 for FQY. The results of the irradiation of the aqueous solution showed that the dye removal efficiency increased by 3 times and FQY varied in the range of 0.88 to 0.87.

Keywords: Fe₃O₄ magnetic nanoparticles, Rhodamine 6G, Dye removal efficiency, Fluorescence quantum yield

กิตติกรรมประกาศ

วิทยานิพนธ์เล่มนี้สำเร็จลุล่วงไปด้วยดี เนื่องจากผู้จัดทำได้รับความอนุเคราะห์จากบุคคลผู้มีพระคุณหลายท่าน ดังนี้

ขอขอบพระคุณ รศ.ดร.ภทรียา ดำรงค์ศักดิ์ อาจารย์ประจำสาขาวิชาฟิสิกส์ คณะวิทยาศาสตร์ สถาบันเทคโนโลยีเจ้าคุณทหารลาดกระบังและเป็นอาจารย์ที่ปรึกษาวิทยานิพนธ์ ที่ได้ให้คำแนะนำและคำปรึกษาทางด้านวิชาการที่เป็นประโยชน์ต่องานวิจัย เสนอแนะแนวทางการแก้ปัญหาอย่างใกล้ชิด รวมถึงชี้แนวทางที่ถูกต้องในการทำงานวิจัย ตลอดจนดูแลและติดตามการทำงานของผู้จัดทำ ตลอดจนสำเร็จลุล่วงในการทำงาน

ขอขอบพระคุณ รศ.ดร.กฤษกร โล่เจริญรัตน์ อาจารย์ประจำสาขาวิชาฟิสิกส์ ที่ให้ความรู้ในด้านวิชาการที่เป็นประโยชน์ต่องานวิจัยและให้ความอนุเคราะห์ในการใช้เครื่องมือ

ขอขอบพระคุณ ผศ.ดร.ปานไพลิน สีหาราช และผศ.ดร.เอกรัฐ เดชศรี ภาควิชาเคมี ที่ให้ความอนุเคราะห์สารเคมีและหลอดไมโครเซนติฟิว รวมทั้ง ผศ.ดร.ศ. ทิพวรรณ คล้ายบุญมี ภาควิชาฟิสิกส์ ที่ให้ความอนุเคราะห์เครื่องปั่นกวนสารละลาย เพื่อใช้ในการทดลอง

ขอขอบคุณนายศิริชัย หุมสุข และนายมนตรี หาญโก๋ย ตลอดจนเพื่อนๆ พี่ๆ น้องๆ สาขาฟิสิกส์ประยุกต์ทุกคนที่ให้คำปรึกษา ช่วยเหลือ และให้กำลังใจในการทำงานวิจัยนี้ตลอดมา

สุดท้ายนี้ขอกราบขอบพระคุณ คุณพ่อ คุณแม่ ตลอดจนพี่สาวทั้งสองคน พี่เขย และผู้ให้ความอุปการะทุกคน ที่ช่วยเหลือในทุกๆอย่าง ตลอดจนเป็นกำลังใจที่สำคัญที่สุดที่ทำให้ผู้วิจัยสามารถทำงานวิจัยสำเร็จลุล่วงไปได้ด้วยดี

นางสาวสุวิษญู เพิ่มพูนธัญญกิจ

สารบัญ

	หน้า
บทคัดย่อภาษาไทย	ก
บทคัดย่อภาษาอังกฤษ	ข
กิตติกรรมประกาศ	ค
สารบัญ	ง
สารบัญตาราง	ช
สารบัญรูป	ซ
บทที่ 1 บทนำ	1
1.1 ที่มาและความสำคัญของปัญหา	1
1.2 วัตถุประสงค์	2
1.3. ระเบียบวิธีวิจัย	2
1.4. ระยะเวลาดำเนินการวิจัย	3
1.5. ประโยชน์ที่คาดว่าจะได้รับ	5
บทที่ 2 เอกสารและงานวิจัยที่เกี่ยวข้อง	6
2.1 กระบวนการดูดซับ (Adsorption process)	6
2.1.1 ประเภทของการดูดซับ	6
2.1.2 ปัจจัยที่มีผลต่อการดูดซับ (Factors Influencing Adsorption)	8
2.1.3 กลไกการดูดซับ	9
2.1.4 อัตราการเคลื่อนย้ายโมเลกุลของตัวถูกดูดซับ	10
2.1.5 สมดุลการดูดซับ (Adsorption equilibrium)	11
2.1.6 ไอโซเทอร์มของการดูดซับ (Adsorption isotherm)	13
2.2 กลไกการแปลงพลังงานของสารเรืองแสง	14
2.2.1 หลักการของโฟโตลูมิเนสเซนซ์ (Photoluminescence)	16
2.2.1.1 กระบวนการกระตุ้น (Excitation)	16
2.2.1.2 กระบวนการลดระดับพลังงาน (Deexcitation)	17
2.2.2 ปัจจัยที่มีผลต่อการเกิดแสงฟลูออเรสเซนซ์	19
2.3 ฟลูออเรสเซนซ์ควอนตัมยิลด์ (Fluorescence quantum yield)	22
2.3.1 เทคนิคการวัดค่าฟลูออเรสเซนซ์ควอนตัมยิลด์	23
2.4 กระบวนการโฟโตคะตะไลติก (Photocatalytic process)	25
2.5 กระบวนการย่อยสลายด้วยแสง (Photodegradation)	26
2.6 วงจรไฟฟ้าที่ใช้ในการฉายแสงในงานวิจัย	26
2.6.1 มอสเฟต	26
2.6.2 ทรานซิสเตอร์	28
2.6.3 ตัวต้านทาน	29
2.7 งานวิจัยที่เกี่ยวข้อง	30

สารบัญ (ต่อ)

	หน้า
บทที่ 3 วิธีดำเนินงานวิจัย	36
3.1 วัสดุที่ใช้ในงานวิจัย	36
3.2 อุปกรณ์ที่ใช้ในงานวิจัย	37
3.3 ระบบวัดที่เกี่ยวข้องกับงานวิจัย	39
3.3.1 ระบบวัดการดูดกลืนแสงของสารละลาย	39
3.3.2 ระบบวัดการเปล่งแสงของสารละลาย	41
3.3.3 ระบบการฉายแสงแบบต่อเนื่อง	42
3.4 การเตรียมสารละลาย	43
3.4.1 การเตรียมสารละลายสีย้อม Rh6G	43
3.4.2 การเตรียมวัสดุตัวดูดซับอนุภาคนาโนแม่เหล็ก Fe_3O_4	44
3.5 การศึกษาการดูดซับสีย้อมโรดามีน 6จี ด้วย Fe_3O_4	44
3.5.1 การสร้างกราฟมาตรฐานของสารสีย้อม	44
3.5.2 การศึกษาผลของอัตราเร็วในการปั่นกววน	44
3.5.3 การศึกษาผลของเวลาที่มีต่อการดูดซับ	45
3.5.4 การศึกษาผลของความเข้มข้นของสารละลาย Rh6G	45
3.5.5 การศึกษาผลของปริมาณตัวดูดซับ	46
3.5.6 การศึกษากลไกการย่อยสลายสีย้อม Rh6G โดยใช้ตัวดูดซับ Fe_3O_4 ภายใต้การใช้แสง	47
บทที่ 4 ผลการวิจัยและอภิปรายผล	48
4.1 ผลการศึกษาสเปกตรัมการดูดกลืนแสงและสเปกตรัมการเปล่งแสงของสารละลายโรดามีน 6จี	48
4.2 ผลการศึกษาการสร้างกราฟมาตรฐานของสารละลายโรดามีน 6จี	55
4.3 ผลการศึกษาปัจจัยที่มีต่อการดูดซับสีย้อมโรดามีน 6จี ด้วย Fe_3O_4	55
4.3.1 ผลการศึกษาอัตราเร็วในการปั่นกววนสาร	55
4.3.2 การศึกษาผลของเวลาที่มีต่อการดูดซับ	58
4.3.3 การศึกษาผลของความเข้มข้นของสารละลาย Rh6G	61
4.3.4 การศึกษาผลของปริมาณตัวดูดซับ	68
4.3.5 การศึกษากลไกการย่อยสลายสีย้อม Rh6G โดยใช้ตัวดูดซับ Fe_3O_4 ภายใต้การฉายแสง	76
บทที่ 5 สรุปผลการวิจัยและข้อเสนอแนะ	80
5.1 สรุปผลการวิจัย	80
5.1.1 สรุปผลการศึกษาความสัมพันธ์ระหว่างอัตราเร็วในการปั่นกววนสารกับเวลา	80
5.1.2 สรุปผลการศึกษาเวลาที่มีต่อการดูดซับ	80
5.1.3 สรุปผลการศึกษาความสัมพันธ์ระหว่างความเข้มข้นของสารละลายสีย้อมกับเวลา	81

สารบัญ (ต่อ)

	หน้า
5.1.4 สรุปผลการศึกษาความสัมพันธ์ระหว่างปริมาณตัวดูดซับอนุภาคนาโนแม่เหล็ก กับเวลา	81
5.1.5 สรุปผลการศึกษาความสัมพันธ์ระหว่างประสิทธิภาพการดูดซับสีย้อมกับเวลา ภายใต้การฉายแสง	82
5.2 ข้อเสนอแนะ	82
5.2.1 สภาพแวดล้อมและเครื่องมือที่ใช้ในการทดลอง	82
5.2.2 การเปรียบเทียบรูปแบบการวิเคราะห์ข้อมูล	83
เอกสารอ้างอิง	84
ภาคผนวก	88
ภาคผนวก ก	89
ภาคผนวก ข	92
ประวัติผู้เขียน	98

สารบัญตาราง

ตารางที่	หน้า
1.1 แผนการดำเนินงานวิจัย	4
2.1 ชนิดของลูมิเนสเซนซ์ประเภทต่างๆ จำแนกตามแหล่งพลังงานที่ใช้ในการกระตุ้น	16
3.1 สมบัติพื้นฐานของสารเรืองแสง Rhodamine 6G	36
3.2 สมบัติพื้นฐานของอนุภาคนาโนแม่เหล็ก	37
3.3 แสดงการเตรียมสารละลาย Rh6G ที่ความเข้มข้นต่างๆ	43
5.1 การเปรียบเทียบรูปแบบการวิเคราะห์ข้อมูล	83

สารบัญรูป

รูปที่	หน้า
2.1 ลักษณะการเรียงตัวของโมเลกุลของตัวถูกดูดซับที่เกาะติดอยู่บนพื้นผิวของตัวดูดซับแบบชั้นเดียวและหลายชั้น	7
2.2 กลไกการดูดซับของตัวถูกดูดซับบนพื้นผิวของตัวดูดซับแบบชั้นเดียว	8
2.3 ขั้นตอนการดูดซับอนุภาคบนตัวดูดซับ	10
(ก) สารที่ถูกดูดซับแพร่ผ่านผิวของตัวดูดซับ	10
(ข) สารที่ถูกดูดซับเคลื่อนที่เข้าสู่รูพรุนของตัวดูดซับ	10
(ค) เกิดการดูดซับสารบนผิวของตัวดูดซับ	10
2.4 อัตราการดูดซับ	10
2.5 สภาวะสมดุลการดูดซับ	11
2.6 แสดงไอโซเทอร์มของการดูดซับที่เกิดขึ้นแบบชั้นเดียว (ก)	14
แสดงไอโซเทอร์มของการดูดซับที่เกิดขึ้นแบบหลายชั้น (ข) (ค) (ง) และ (จ)	14
2.7 ลำแสงที่ผ่านเข้าออกสารละลายความเข้มข้น C เป็นระยะทาง l	15
2.8 แผนภาพแสดงทิศทางการหมุนของอิเล็กตรอนในโมเลกุล	17
2.9 แผนภาพแสดงการดูดกลืนและการปลดปล่อยพลังงานรูปแบบต่าง ๆ	18
2.10 สเปกตรัมการดูดกลืนแสงและสเปกตรัมการเปล่งแสงของสารละลายโรดามีน 6จี	19
2.11 แผนภาพแสดงระดับพลังงานอธิบายการเกิดปรากฏการณ์ Fluorescence resonance energy transfer	20
2.12 กราฟแสดงความสัมพันธ์ระหว่างความเข้มข้นของการฟลูออเรสเซนซ์กับความเข้มข้นของสาร	22
2.13 แผนภาพแสดงระดับพลังงาน	23
2.14 แสดงกลไกการเกิดปฏิกิริยาโฟโตคะตะไลติกออกซิเดชันชั้น	25
2.15 แสดงปฏิกิริยาโฟโตดีเกรเดชัน	26
2.16 แสดงส่วนประกอบของมอสเฟส	27
2.17 แสดงสัญลักษณ์มอสเฟส P-channel F9540N	28
2.18 แสดงสัญลักษณ์ของทรานซิสเตอร์ประเภท NPN และ PNP ตามลำดับ	28
2.19 แสดงวงจรอิเล็กทรอนิกส์ที่นำมาช่วยในการทำงานของหลอดไดโอดเปล่งแสง	29
2.20 ผลของปริมาณตัวดูดซับต่อการดูดซับสีย้อมโรดามีนบีโดยใช้ Belpatra Bark Charcoal	30
2.21 ผลของระยะเวลาสัมผัสและความเข้มข้นของสีย้อมโรดามีนบีเริ่มต้นโดยใช้ Belpatra Bark Charcoal (BBC)	31
2.22 สเปกตรัมการดูดกลืนแสงของสารละลายเมทิลบลูหลังจากเติม BPF ที่เวลาต่างๆ	31
2.23 แสดงเปอร์เซ็นต์การกำจัดสีย้อมลงบน PKSAC, Fe_3O_4 และ PKSAC- Fe_3O_4	32
2.24 ผลของปริมาณตัวดูดซับต่อการกำจัดสีย้อมเมทิลบลูเข้มข้น 250 มิลลิกรัมต่อลิตร	33
2.25 ผลของเวลาทวนและความเข้มข้นเริ่มต้นของสีย้อมในช่วง 10 ถึง 50 มิลลิกรัมต่อลิตร	34
2.26 ผลของปริมาณตัวดูดซับต่อการกำจัดสีย้อม	34

สารบัญรูป (ต่อ)

รูปที่	หน้า
2.27 (ก) แสดงพีคการดูดกลืนแสงของโรดามีน 6จี (Rh6G) และโรดามีนบี (RhB)	35
(ข) แสดงพีคการเปล่งแสงของโรดามีน 6จี (Rh6G) และโรดามีนบี (RhB)	35
3.1 โครงสร้างของสารเรืองแสง Rhodamine	36
3.2 อนุภาคนาโนแม่เหล็ก Fe ₃ O ₄	37
3.3 กราฟแสดงสเปกตรัมของแสงสีขาวที่ความเข้มแสง 50 ลักซ์	38
3.4 ระบบวัดการดูดกลืนแสงของสารละลาย (ก) ภาพจริง (ข) แผนภาพระบบวัด	40
3.5 ระบบวัดการเปล่งแสงของสารละลาย (ก) ภาพจริง (ข) แผนภาพระบบวัด	41
3.6 แสดงระบบการฉายแสงขาวแบบต่อเนื่อง (ก) แผนภาพจริง	42
แสดงระบบการฉายแสงขาวแบบต่อเนื่อง (ข) แผนภาพจำลอง	43
4.1 สเปกตรัมการดูดกลืนแสงของสารสีย้อม Rh6G ช่วง 1×10^{-7} ถึง 1×10^{-3} โมลาร์	47
4.2 พีคการดูดกลืนแสงสูงสุดของสารสีย้อม Rh6G ช่วง 1×10^{-7} ถึง 1×10^{-3} โมลาร์	48
4.3 (ก) ถึง (ค) แสดงสเปกตรัมการดูดกลืนแสงของสารสีย้อม Rh6G ที่ความเข้มข้นในช่วง 1×10^{-6} ถึง 5×10^{-6} โมลาร์	49
4.4 (ก) ถึง (ค) แสดงความสัมพันธ์ระหว่างความเข้มข้นกับค่าการดูดกลืนแสงสูงสุดของสาร Rh6G ที่ความเข้มข้นในช่วง 1×10^{-6} ถึง 5×10^{-6} โมลาร์	51
4.5 สเปกตรัมการเปล่งแสงของสารสีย้อม Rh6G ที่ความเข้มข้น 1×10^{-6} ถึง 5×10^{-6} โมลาร์	52
4.6 กราฟความสัมพันธ์ระหว่างความเข้มข้นกับค่าการเปล่งแสงของสารสีย้อม Rh6G ที่ความเข้มข้น 1×10^{-6} ถึง 5×10^{-6} โมลาร์	53
4.7 สเปกตรัมการดูดกลืนแสงของสารละลาย	55
(ก) ไม่ปั่นกวนสารละลาย	55
(ข) ปั่นกวนสารละลายด้วยอัตราเร็ว 1200 รอบต่อนาที	55
(ค) ปั่นกวนสารละลายด้วยอัตราเร็ว 1500 รอบต่อนาที	55
4.8 กราฟแสดงความสัมพันธ์ระหว่างพีคการดูดกลืนแสงกับอัตราเร็วในการปั่นกวนสารละลาย	56
4.9 กราฟแสดงความสัมพันธ์ระหว่างประสิทธิภาพการกำจัดสีย้อมกับเวลา เมื่อใช้อัตราเร็วในการปั่นกวนที่แตกต่างกัน	57
4.10 สเปกตรัมการดูดกลืนแสงของสารละลาย Rh6G ที่ 5×10^{-6} โมลต่อลิตร ผสมกับ Fe ₃ O ₄	58
4.11 กราฟแสดงความสัมพันธ์ระหว่างพีคการดูดกลืนแสงของสารละลาย Rh6G ความเข้มข้น 5×10^{-6} โมลต่อลิตร ผสมกับ Fe ₃ O ₄	59
4.12 กราฟแสดงความสัมพันธ์ระหว่างประสิทธิภาพการกำจัดสีย้อมของสารละลาย Rh6G ความเข้มข้น 5×10^{-6} โมลต่อลิตร ผสมกับ Fe ₃ O ₄	60
4.13 กราฟแสดงประสิทธิภาพการดูดซับสีย้อมโรดามีน 6จี ที่ความเข้มข้นต่างๆ	61
4.14 กราฟแสดงความสัมพันธ์ระหว่างค่าฟลูออเรสเซนซ์ควอนตัมยิลด์ของสีย้อมกับเวลา	63
4.15 กราฟแสดงความสัมพันธ์ระหว่างประสิทธิภาพการดูดซับสีย้อมกับค่าฟลูออเรสเซนซ์ควอนตัมยิลด์ของสารละลาย Rh6G ความเข้มข้นต่าง ๆ	64

สารบัญรูป (ต่อ)

รูปที่	หน้า	
4.16	กราฟแสดงความสัมพันธ์ระหว่างปริมาณตัวดูดซับกับประสิทธิภาพการดูดซับสีย้อม	66
4.17	กราฟแสดงความสัมพันธ์ระหว่างค่าฟลูออเรสเซนซ์ควอนตัมยิลด์ของปริมาณตัวดูดซับ	68
4.18	กราฟแสดงความสัมพันธ์ระหว่างประสิทธิภาพการดูดซับสีย้อมกับค่าฟลูออเรสเซนซ์ควอนตัมยิลด์เมื่อเติมตัวดูดซับที่ความเข้มข้นต่าง ๆ	70
4.19	กราฟแสดงความสัมพันธ์ระหว่างประสิทธิภาพการดูดซับสีย้อม Rh6G กับเวลาภายใต้การฉายแสงขาวและไม่ฉายแสง	71
4.20	กราฟแสดงความสัมพันธ์ระหว่างค่าฟลูออเรสเซนซ์ควอนตัมยิลด์ของสารละลาย Rh6G กับเวลาภายใต้การฉายแสงขาวและไม่ฉายแสง	72
4.21	กราฟแสดงความสัมพันธ์ระหว่างประสิทธิภาพการดูดซับสีย้อมกับค่าฟลูออเรสเซนซ์ควอนตัมยิลด์ของสารละลาย Rh6G ภายใต้การฉายแสงขาวและไม่ฉายแสง	73

บทที่ 1

บทนำ

1.1 ที่มาและความสำคัญของปัญหา

ปัจจุบันแหล่งอุตสาหกรรมด้านต่าง ๆ เช่น อุตสาหกรรมสิ่งทอ อุตสาหกรรมฟอกย้อม ต่างให้ความสำคัญกับการบำบัดน้ำเสียก่อนปล่อยออกสู่แหล่งน้ำธรรมชาติ เนื่องจากน้ำเสียก่อให้เกิดมลพิษและเป็นแหล่งแพร่ระบาดของเชื้อโรค อีกทั้งกลิ่นหรือสีของน้ำเสียยังก่อให้เกิดความเดือดร้อนรำคาญ การบำบัดน้ำเสียจึงเป็นการช่วยรักษาแหล่งน้ำและยังสามารถนำน้ำที่ผ่านการบำบัดกลับมาใช้ได้อีก [1] สีย้อม (Dye) เป็นสารอินทรีย์ที่สังเคราะห์ขึ้นมาเพื่อให้ดูดกลืนหรือดูดซับแสงของวัตถุเพื่อที่จะทำให้วัตถุนั้นมีสี ซึ่งสีย้อมแต่ละประเภทจะมีความทนทานต่างกันขึ้นกับชนิดของสีย้อมและพันธะในการยึดติดกับวัตถุนั้น ๆ [2 - 3] สีย้อมส่วนใหญ่ถูกพัฒนาให้มีความคงทนสูงและไม่สามารถย่อยสลายได้ด้วยกระบวนการทางชีวภาพ จึงเป็นปัจจัยหลักที่ทำให้เกิดปัญหาในการบำบัดน้ำเสียจากโรงงานอุตสาหกรรมฟอกย้อม [4] โรดามีนเป็นสีย้อมในกลุ่มอินทรีย์ชนิดหนึ่งที่ถูกใช้งานในโรงงานอุตสาหกรรม ดังนั้นการลดลงของสีย้อมโรดามีน 6จี (Rh6G) ในน้ำทิ้งจึงมีความจำเป็นกับสิ่งแวดล้อมเช่นกัน

โดยทั่วไปการกำจัดสีในน้ำทิ้งจากโรงงานฟอกย้อมทำได้หลายวิธีซึ่งแต่ละวิธีจะมีข้อจำกัดที่แตกต่างกัน ได้แก่ การตกตะกอนด้วยสารเคมี (Chemical coagulation) เป็นกระบวนการกำจัดสีย้อมโดยการเติมสารเคมีลงในน้ำเพื่อแยกสารแขวนลอยที่มีขนาดเล็กออกจากน้ำเสีย แต่ในกระบวนการบำบัดจะมีกากตะกอนเกิดขึ้นในปริมาณมากซึ่งยุ่งยากในการนำไปกำจัด [5] การใช้โอโซน (Ozonation) เกิดจากการที่โอโซนทำปฏิกิริยาออกซิไดซ์กับโมเลกุลของสีย้อม มีข้อดีคือสามารถบำบัดน้ำเสียที่มีปริมาณมากได้และใช้เวลาในการทำปฏิกิริยาน้อย แต่ในการออกซิไดซ์อาจได้สารประกอบชนิดใหม่ที่เป็นพิษต่อสิ่งแวดล้อมและอาจส่งผลกระทบต่อสิ่งมีชีวิตในแหล่งน้ำ [6] กระบวนการออกซิเดชัน - รีดักชัน (Oxidation - Reduction) เป็นการเปลี่ยนแปลงโครงสร้างของโมเลกุลที่ทำให้เกิดสีให้อยู่ในรูปที่มองไม่เห็นสี ใช้พื้นที่ในการบำบัดน้อย ไม่มีกากตะกอนเกิดขึ้นและมีราคาถูก แต่มีข้อเสียคือผลิตภัณฑ์ที่เกิดจากปฏิกิริยาอาจก่อให้เกิดความเป็นพิษเมื่อใช้คลอรีนเป็นตัวออกซิไดซ์ [7] และกระบวนการดูดซับ (Absorption process) เป็นการแยกสารที่ถูกดูดซับออกจากสารละลายโดยการเกาะติดบนพื้นผิวของของแข็งหรือตัวดูดซับ เป็นวิธีที่มีประสิทธิภาพในการบำบัดสูงและสามารถนำตัวดูดซับกลับมาใช้ใหม่ได้ [8] ตัวอย่างวัสดุที่นำมาใช้เป็นตัวดูดซับ เช่น การใช้ถ่าน เนื่องจากมีพื้นผิวในการดูดซับมาก แต่การนำกลับมาใช้ใหม่ต้องฟื้นฟูสภาพด้วยการเผาด้วยความร้อนสูงและมีค่าใช้จ่ายสูง [9] การใช้หินดินดาน เป็นกระบวนการบำบัดน้ำเสียโดยใช้หลักการแบบธรรมชาติจึงประหยัดการใช้พลังงานไฟฟ้า แต่การใช้งานต้องเลือกใช้พื้นที่ให้เหมาะสม [10] การใช้ซีเรียมออกไซด์ - โคบอลต์เฟอร์ไรต์ ($CeO_2-CoFe_2O_4$) เพื่อใช้เป็นตัวเร่งในปฏิกิริยาการสลายสีย้อมด้วยแสง มีข้อดีคือมีความเสถียรทางความร้อนและทางเคมีสูง แต่กระบวนการเตรียมโคบอลต์เฟอร์ไรต์มีหลายขั้นตอนและใช้เวลานาน [11]

การใช้อนุภาคนาโนแม่เหล็ก (Magnetic Nanoparticles) ในการบำบัดน้ำเสียได้ถูกนำมาใช้อย่างแพร่หลาย เนื่องจากสามารถใช้บำบัดน้ำเสียที่มีปริมาณมากได้ในระยะเวลาอันสั้น ง่ายต่อการตอบสนองต่อสนามแม่เหล็กภายนอก (External magnet) สามารถเก็บรักษาได้นาน (long-term preservation) อีกทั้งขนาดของอนุภาคที่เล็กในระดับนาโนของอนุภาคเหล็กออกไซด์ทำให้มีพื้นที่ผิวต่อปริมาตรสูงจึงนิยมนำมาใช้ในการดูดซับสีย้อม [12] มีงานวิจัยจำนวนมากได้ประยุกต์ใช้อนุภาคนาโนแม่เหล็กในการบำบัดน้ำเสียจากสีย้อม เช่น การเตรียมอนุภาคนาโน Fe_3O_4 ในการกำจัดเมทิลีนบลูผ่านการดูดซับ [13] การกำจัดสีย้อม Rhodamine B ด้วยการใช้ถ่านกัมมันต์ที่เตรียมจากเปลือกเมล็ดในปาล์มและเคลือบด้วยอนุภาคนาโนเหล็กออกไซด์ [14] พารามิเตอร์ที่มีประสิทธิภาพสำหรับการดูดซับโครเมียม (III) ลงบนอนุภาคนาโนแม่เหล็กเหล็กออกไซด์ [15] การกำจัดสีย้อมเมทิลีนบลูในกระบวนการเพนตัน [16] และการประยุกต์ใช้ $Ba_3(PO_4)_2/Fe_3O_4$ เป็นตัวดูดซับแม่เหล็กชนิดใหม่ที่ใช้กำจัดเมธิลบลูจากสารละลายในน้ำ [17]

ในการวิเคราะห์การปนเปื้อนของสีย้อมในน้ำโดยส่วนใหญ่จะทำการวัดค่าการดูดกลืนแสงเพื่อนำมาวิเคราะห์หาประสิทธิภาพการลดลงของสีย้อม (%Dye removal) ซึ่งค่าการดูดกลืนแสงที่ลดลงนั้นจะเป็นตัวบ่งบอกถึงปริมาณสีย้อมที่ลดลงในน้ำ โดยปริมาณสีย้อมที่ลดลงนั้นเป็นผลมาจากการที่โมเลกุลของตัวถูกดูดซับถูกดูดซับไปเกาะบนผิวของตัวดูดซับ แต่เนื่องจากการดูดกลืนแสงที่ลดลงจะสัมพันธ์กับปริมาณแสงที่ปลดปล่อยออกมาจากโมเลกุลของสีย้อมด้วย ดังนั้นจึงสามารถวิเคราะห์ผลของการลดลงของสีย้อมออกมาเป็นค่าฟลูออเรสเซนซ์ควอนตัมยิลด์ (Fluorescence quantum yield) ได้ ในงานวิจัยนี้เราจึงสนใจวัดความเข้มแสงที่ปลดปล่อยออกมามากกว่าส่งผลต่อค่าฟลูออเรสเซนซ์ควอนตัมยิลด์อย่างไร โดยทำการวัดสเปกตรัมการเปล่งแสงของสารละลายและนำค่าที่ได้มาใช้ในการวิเคราะห์ฟลูออเรสเซนซ์ควอนตัมยิลด์ เพื่อพิจารณาหาความสัมพันธ์ของประสิทธิภาพการลดลงของสีย้อมกับค่าฟลูออเรสเซนซ์ควอนตัมยิลด์ที่เปลี่ยนแปลงไป เมื่อใช้วิธีการวิเคราะห์ปริมาณความเข้มที่ลดลงของสีย้อมที่แตกต่างกัน

1.2 วัตถุประสงค์

- 1.2.1 เพื่อศึกษาสมบัติการทางแสง ได้แก่ สมบัติการดูดกลืนแสง และสมบัติการเปล่งแสง
- 1.2.2 เพื่อศึกษาปัจจัยต่างๆ ที่ส่งผลต่อค่าฟลูออเรสเซนซ์ควอนตัมยิลด์ ได้แก่ อัตราเร็วในการปั่นกววนสาร เวลา ความเข้มข้นของสารสีย้อม ปริมาณตัวดูดซับ และแสง
- 1.2.3 เพื่อศึกษากลไกการย่อยสลายสีย้อมภายใต้การฉายแสงขาวและไม่ฉายแสง
- 1.2.4 เพื่อวิเคราะห์หาความสัมพันธ์ระหว่างประสิทธิภาพการลดลงของสีย้อมกับค่าฟลูออเรสเซนซ์ควอนตัมยิลด์

1.3. ระเบียบวิธีวิจัย

- 1.3.1 ศึกษาค้นคว้า ทบทวนบทความวิจัย และทฤษฎีที่เกี่ยวข้องกับสมบัติทางแสงของกระบวนการดูดซับสีย้อม
- 1.3.2 จัดเตรียมสารละลายสีย้อม Rh6G และอนุภาคนาโนแม่เหล็ก Fe_3O_4 ที่ความเข้มข้นต่าง ๆ

จากนั้นทำการทดลองวัดสเปกตรัมการดูดกลืนแสง สเปกตรัมการเปล่งแสง และค่าดัชนีหักเหแสงของสารละลายจากกระบวนการดูดซับสีย้อม

1.3.3 วิเคราะห์ผลสเปกตรัมการดูดกลืนแสง สเปกตรัมการเปล่งแสง เพื่อคำนวณหาประสิทธิภาพการลดลงของสีย้อมและค่าฟลูออเรสเซนซ์ควอนตัมยิลด์

1.3.4 วิเคราะห์หาความสัมพันธ์ระหว่างประสิทธิภาพการลดลงของสีย้อมกับค่าฟลูออเรสเซนซ์ควอนตัมยิลด์

1.4. ระยะเวลาดำเนินการวิจัย

แผนการดำเนินงานวิจัย มีรายละเอียดดังตารางที่ 1.1 ดังนี้

ตารางที่ 1.1 แผนการดำเนินงานวิจัย 1 ปี

กิจกรรม	2561				2562		
	มิ.ย. - ก.ค.	ส.ค. - ก.ย.	ต.ค. - พ.ย.	ธ.ค.	ม.ค. - ก.พ.	มี.ค. - เม.ย.	พ.ค. - มิ.ย.
1. กำหนดเค้าโครงวิทยานิพนธ์พร้อมแลกเปลี่ยนข้อคิดเห็น							
2. ค้นคว้าในส่วนของทฤษฎีที่เกี่ยวข้องกับอนุภาคนาโนแม่เหล็ก และทฤษฎีที่เกี่ยวข้องกับสมบัติทางแสง ได้แก่ สมบัติการดูดกลืนแสง สมบัติการเปล่งแสง และสมบัติค่าฟลูออเรสเซนซ์ควอนตัมยี่ลต์ ของการดูดซับของสีย้อม							
3. จัดเตรียมสารละลายสีย้อม Rh6G และสารแขวนลอยอนุภาคนาโนแม่เหล็ก Fe ₃ O ₄ ที่ความเข้มข้นต่างๆ จากนั้นทำการทดลองวัดสเปกตรัมการดูดกลืนแสง สเปกตรัมการเปล่งแสง และวัดค่าดัชนีหักเหแสง จากกระบวนการดูดซับสีย้อมที่เวลาต่างๆ							
4. เสนอหัวข้อและเค้าโครงวิทยานิพนธ์							
5. วิเคราะห์ผลสเปกตรัม เพื่อคำนวณหาประสิทธิภาพการลดลงของสีย้อมและค่าฟลูออเรสเซนซ์ควอนตัมยี่ลต์ที่เวลาต่างๆ							
6. วิเคราะห์หาความสัมพันธ์ระหว่างประสิทธิภาพการลดลงของสีย้อมกับค่าฟลูออเรสเซนซ์ควอนตัมยี่ลต์ที่เวลาต่างๆ							
7. เผยแพร่ผลงานวิจัยในวารสารวิชาการ							
8. เขียนวิทยานิพนธ์ฉบับสมบูรณ์							
9. สอบวิทยานิพนธ์							

1.5. ประโยชน์ที่คาดว่าจะได้รับ

1.5.1 ได้รับองค์ความรู้ใหม่ในการศึกษาผลกระทบของกระบวนการดูดซับสีย้อมโรดามีน 6จี เมื่อใช้นุภาคนาโนแม่เหล็ก Fe_3O_4 เป็นตัวดูดซับ จากการวิเคราะห์ค่าฟลูออเรสเซนซ์ควอนตัมยิลด์ของสารละลาย

1.5.2 ได้รับความรู้ความเข้าใจเกี่ยวกับความสัมพันธ์ระหว่างประสิทธิภาพการลดลงของสีย้อม RH6G กับค่าฟลูออเรสเซนซ์ควอนตัมยิลด์ของสารละลาย จากกระบวนการดูดซับสีย้อม

1.5.3 สามารถนำผลจากการวิจัยนี้ไปประยุกต์ใช้กับสารสีย้อมอื่นๆ ที่ใช้ในอุตสาหกรรมสิ่งทอ เพื่อวิเคราะห์หาค่าฟลูออเรสเซนซ์ควอนตัมยิลด์ของสารละลาย จากกระบวนการดูดซับสีย้อม

บทที่ 2

เอกสารและงานวิจัยที่เกี่ยวข้อง

ในบทนี้จะอธิบายถึงทฤษฎีและงานวิจัยที่เกี่ยวข้องกับการทดลอง โดยมีเนื้อหาแบ่งออกเป็น 7 หัวข้อหลัก ดังนี้

1. กระบวนการดูดซับ (Adsorption process)
2. กลไกการแปลงพลังงานของสารเรืองแสง
3. ฟลูออเรสเซนซ์ควอนตัมยิลด์ (Fluorescence quantum yield)
4. กระบวนการโฟโตคะตะไลติก (Photocatalytic process)
5. กระบวนการย่อยสลายด้วยแสง (Photodegradation)
6. วงจรไฟฟ้าที่ใช้ในการฉายแสงในงานวิจัย
7. งานวิจัยที่เกี่ยวข้อง

2.1 กระบวนการดูดซับ (Adsorption process)

การดูดซับหรือการดูดติดผิว (Adsorption) เป็นกระบวนการที่สารละลายหรือสารแขวนลอยขนาดเล็กซึ่งละลายอยู่ในน้ำให้อยู่บนผิวของสารอีกชนิดหนึ่ง โดยที่สารละลายหรือสารแขวนลอยขนาดเล็กนี้เรียกว่า สารถูกดูดซับ (Adsorbate) ส่วนของแข็งที่มีผิวเป็นที่เกาะติดของสารที่ถูกดูดซับเรียกว่า ตัวดูดซับ (Adsorbent)

การดูดติดผิวนี้อาจเป็นการดูดติดแบบระหว่างสถานะ (Phase) ต่าง ๆ ทั้งสามสถานะ คือ ของเหลว (Liquid) ก๊าซ (Gas) และของแข็ง (Solid) ซึ่งมีได้ทั้งแบบของเหลว-ของเหลว ก๊าซ-ของเหลว ก๊าซ-ของแข็ง และของเหลว-ของแข็ง โดยสารที่ทำหน้าที่ในการดูดซับมีหลายประเภท เช่น สารอนินทรีย์ สารอินทรีย์ สังเคราะห์ ถ่านกัมมันต์ วัสดุชีวภาพ และสารดูดซับชีวภาพ

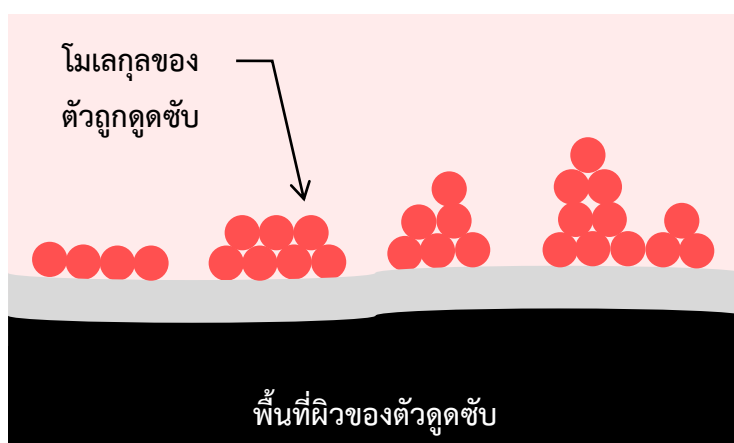
โดยในที่นี้จะพิจารณาเฉพาะแบบ ของเหลว-ของแข็ง (Liquid –Solid Interface) ในการดูดติดผิวโมเลกุลของสารละลายหรือสารแขวนลอยจะถูกกำจัดออกจากน้ำและไปเกาะติดอยู่บนวัสดุดูดซับ โมเลกุลของสารส่วนใหญ่จะเกาะจับอยู่กับผิวภายในโพรงของวัสดุดูดซับและมีเพียงบางส่วนเกาะอยู่ที่ผิวภายนอก การถ่ายเทโมเลกุลจากน้ำไปหาวัสดุดูดซับเกิดขึ้นได้จนถึงสมดุลจึงหยุด ณ จุดสมดุล ความเข้มข้นของโมเลกุลในน้ำจะเหลือน้อยเพราะโมเลกุลส่วนใหญ่เคลื่อนที่ไปเกาะจับอยู่กับวัสดุดูดซับ

2.1.1 ประเภทของการดูดซับ [18]

เมื่อจำแนกการดูดซับตามแรงกระทำ (interaction forces) ระหว่างสารดูดซับกับสารถูกดูดซับสามารถแบ่งได้ 2 แบบ คือ การดูดซับทางกายภาพ (Physical adsorption) จะเกิดแรงดึงดูดอย่างอ่อนระหว่างโมเลกุลของสารดูดซับกับสารถูกดูดซับเรียกว่า แรงแวน-เดอร์วาลส์ (Van der waals force) แต่

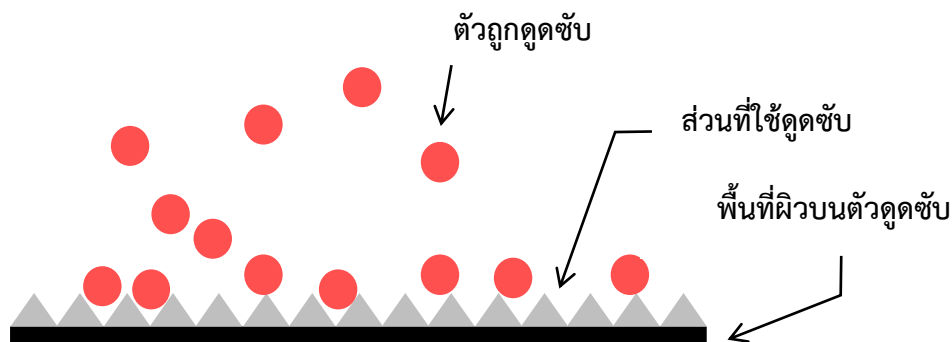
ถ้าหากโมเลกุลของสารถูกดูดซับนั้นถูกดูดซับไว้ที่พื้นผิวภายในของสารดูดซับด้วยพันธะเคมี จะจัดเป็นการดูดซับทางเคมี (Chemical sorption) โดยมีรายละเอียดดังนี้

1) การดูดซับทางกายภาพ (Physical adsorption) เป็นการดูดซับที่เกิดจากแรงดึงดูดระหว่างโมเลกุลอย่างอ่อน คือ แรงแวนเดอร์วาลส์ (Vander Waals forces) ซึ่งเกิดจากการรวมแรง 2 ชนิด คือ แรงกระจาย (London dispersion force) และแรงไฟฟ้าสถิตย์ (Electrostatic force) เนื่องจากแรงที่อ่อนทำให้การดูดซับประเภทนี้มีพลังงานการคายความร้อนค่อนข้างน้อย ต่ำกว่า 20 กิโลจูลต่อโมล เกิดการผันกลับของกระบวนการได้ง่ายจึงสามารถฟื้นฟูสภาพของตัวดูดซับได้ สารที่ถูกดูดซับสามารถเกาะอยู่รอบ ๆ ผิวของสารดูดซับได้หลายชั้น (Multilayer) ดังรูปที่ 2.1 หรือในแต่ละชั้นของโมเลกุลสารถูกดูดซับจะติดอยู่กับชั้นของโมเลกุลของสารถูกดูดซับในชั้นก่อนหน้า โดยจำนวนชั้นจะเป็นสัดส่วนกับความเข้มข้นของสารถูกดูดซับ และจะเพิ่มมากขึ้นตามความเข้มข้นที่สูงขึ้นของตัวถูกละลายในสารละลาย



รูปที่ 2.1 ลักษณะการเรียงตัวของโมเลกุลของตัวถูกดูดซับที่เกาะติดอยู่บนพื้นผิวของตัวดูดซับแบบชั้นเดียวและหลายชั้น

2) การดูดซับทางเคมี (Chemical adsorption) การดูดซับประเภทนี้เกิดขึ้นเมื่อตัวถูกดูดซับกับตัวดูดซับทำปฏิกิริยาเคมีกัน ซึ่งส่งผลให้เกิดการเปลี่ยนแปลงทางเคมีของตัวถูกดูดซับเดิม มีการทำลายแรงยึดเหนี่ยวระหว่างอะตอมหรือกลุ่มอะตอมเดิมแล้วมีการจัดเรียงอะตอมไปเป็นสารประกอบใหม่ โดยมีพันธะเคมีซึ่งเป็นพันธะที่แข็งแรง มีพลังงานกระตุ้นเข้ามาเกี่ยวข้องทำให้ความร้อนของการดูดซับมีค่าสูงประมาณ 50 - 400 กิโลจูลต่อโมล ดังนั้นการกำจัดตัวถูกดูดซับออกจากผิวตัวดูดซับจึงทำได้ยากและไม่สามารถเกิดปฏิกิริยาผันกลับได้ (Irreversible) การดูดซับประเภทนี้จะเป็นการดูดซับแบบชั้นเดียว (Monolayer) เท่านั้น ดังรูปที่ 2.2 และเมื่อถูกดูดซับไว้แล้วจะไม่มีมีการคายออกจากพื้นผิวของตัวดูดซับอีก



รูปที่ 2.2 กลไกการดูดซับของตัวถูกดูดซับบนพื้นผิวของตัวดูดซับแบบชั้นเดียว

2.1.2 ปัจจัยที่มีผลต่อการดูดซับ (Factors Influencing Adsorption) [18]

ในขณะที่มีการดูดซับเกิดขึ้นโมเลกุลของสารที่ต้องการกำจัดออกไปจากน้ำจะไปเกาะติดอยู่บนผิวของตัวดูดซับ ซึ่งโมเลกุลส่วนใหญ่จะเกาะติดอยู่ในโพรงและผิวของตัวดูดซับ โดยการถ่ายเทโมเลกุลของสารจากน้ำไปยังตัวดูดซับจะเกิดขึ้นจนถึงสภาวะสมดุล ปัจจัยต่างๆ ที่มีผลต่อการดูดซับมีดังนี้

1) ความสามารถในการละลายของสารที่ถูกดูดซับ

เมื่อมีการดูดซับเกิดขึ้นโมเลกุลของสารจะถูกดึงออกจากน้ำและไปเกาะติดอยู่บนผิวของของแข็งที่ทำหน้าที่เป็นตัวดูดซับ โดยสารที่ละลายน้ำหรือแตกตัวเป็นไอออนได้ย่อมมีแรงยึดเหนี่ยวกับน้ำมากจึงไม่ค่อยเกิดการดูดซับ ส่วนสารที่ไม่ละลายน้ำหรือละลายได้น้อย มักเกาะติดบนผิวของวัสดุดูดซับได้ดีกว่า แต่ก็ไม่ได้เกิดขึ้นในทุกกรณีเพราะยังมีสารที่มีความสามารถในการละลายได้น้อยหลายชนิดที่ไม่เกาะบนผิวของวัสดุดูดซับ

2) ขนาดของสารที่ถูกดูดซับ

ขนาดโมเลกุลของสารที่ถูกดูดซับมีความสำคัญมากต่อการดูดซับ โดยการดูดซับจะเกิดได้ดีเมื่อโมเลกุลของสารที่ถูกดูดซับมีขนาดเล็กกว่าโพรงของวัสดุดูดซับเล็กน้อยหรือขนาดของโมเลกุลเข้าโพรงได้พอดี เนื่องจากแรงดึงดูดระหว่างวัสดุดูดซับและสารถูกดูดซับมีค่าดังนั้นโมเลกุลของสารขนาดเล็กหลุดเข้าไปในโพรงก่อนจากนั้นโมเลกุลขนาดใหญ่จึงจะหลุดเข้าไปได้

3) ขนาดและพื้นที่ผิวของวัสดุดูดซับ

ขนาดของวัสดุดูดซับจะผูกพันกับอัตราเร็วของการดูดซับ โดยวัสดุดูดซับที่มีขนาดเล็กจะมีอัตราเร็วการดูดซับสูง ส่วนพื้นที่ผิวจะมีความสัมพันธ์โดยตรงกับความสามารถในการดูดซับ นั่นคือสารที่มีพื้นที่ผิวมากย่อมมีความสามารถในการดูดซับโมเลกุล ได้มากกว่าสารที่มีพื้นที่ผิวในการดูดซับน้อย ซึ่งการเพิ่มพื้นที่ผิวของวัสดุดูดซับมีหลายวิธีเช่น การ กระตุ้นด้วยสารเคมี หรือการใช้ความร้อน

4) การปั่นกววน

อัตราเร็วของการดูดซับ ขึ้นอยู่กับการส่งผ่านโมเลกุลของวัสดุดูดซับผ่านฟิล์มที่ล้อมรอบวัสดุดูดซับ หรือการแทรกตัวเข้าสู่ช่องว่างซึ่งขึ้นอยู่กับอัตราการปั่นกววนสาร ถ้าน้ำมีอัตราเร็วในการปั่นกววนต่ำ ส่งผลให้

ฟิล์มน้ำที่ล้อมรอบวัสดุดูดซับจะมีความหนามาก เนื่องจากไม่ถูกรบกวนและเป็นอุปสรรคต่อการเคลื่อนที่ของโมเลกุลเข้าไปหาวัสดุดูดซับ ทำให้การส่งผ่านโมเลกุลของสารถูกดูดซับผ่านฟิล์มที่ล้อมรอบวัสดุดูดซับได้ช้า ในทางตรงกันข้ามถ้าถูกปั่นกวนด้วยอัตราเร็วสูง ทำให้ไม่เกิดขึ้นฟิล์มหนา เป็นผลให้โมเลกุลของสารถูกดูดซับสามารถเคลื่อนที่ผ่านฟิล์มเข้าหาวัสดุดูดซับได้เร็วกว่า กรณีนี้การแทรกตัวเข้าสู่ช่องว่างจะเป็นตัวกำหนดอัตราเร็วของการดูดซับ ดังนั้นถ้าเพิ่มความเร็วจะทำให้อัตราเร็วในการดูดซับสูงขึ้นเนื่องจากการปั่นกวนที่สูงขึ้น

5) ระยะเวลา

ระยะเวลาที่สารละลายสัมผัสกับสารดูดซับ ความสามารถในการดูดซับจะเพิ่มขึ้นตามเวลา จนกระทั่งระบบเข้าสู่สมดุล ณ สภาวะสมดุล อัตราการดูดซับเท่ากับอัตราการคายออกมา ความสามารถในการดูดซับจะมีค่ามากที่สุดจากนั้นจะมีค่าคงที่เมื่อเวลาที่ใช้เพิ่มขึ้น

6) อุณหภูมิของสารละลาย

การดูดซับโดยทั่วไปเป็นกระบวนการคายความร้อน ดังนั้นความสามารถในการดูดซับจะเพิ่มขึ้นเมื่ออุณหภูมิลดลง แต่อัตราเร็วในการดูดซับจะสูงขึ้นเมื่ออุณหภูมิสูงขึ้น เมื่ออุณหภูมิเปลี่ยนจะทำให้เกิดการเปลี่ยนแปลงสมดุลของปฏิกิริยา นอกจากนี้ อุณหภูมิจะมีผลต่อความสามารถในการดูดซับโดยเปลี่ยนความสามารถในการละลาย เช่น เมื่อเพิ่มอุณหภูมิจะทำให้ความสามารถในการละลายสูงขึ้น ซึ่งมีผลทำให้ความสามารถในการดูดซับลดลง

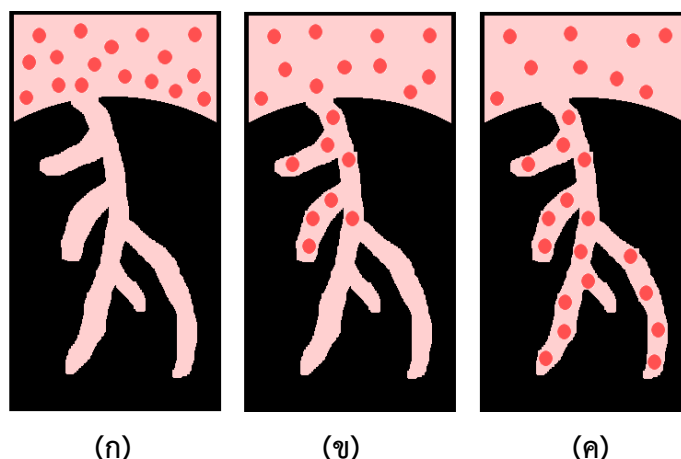
7) ค่า pH ของสารละลาย

ค่า pH ของสารละลายมีอิทธิพลต่อการแตกตัวเป็นไอออนและการละลายน้ำของสารต่างๆ ดังนั้นจึงมีผลต่อการดูดติดผิว และความสามารถในการดูดซับของโมเลกุลต่าง ๆ

2.1.3 กลไกการดูดซับ

กลไกการดูดซับหรือการเกาะของตัวถูกดูดซับในกระบวนการดูดซับประกอบด้วย 3 ขั้นตอน แสดงดังในรูป 2.3 ซึ่งมีรายละเอียดดังนี้

- 1) การแพร่ภายนอก (External diffusion) เป็นกลไกที่โมเลกุลของตัวถูกดูดซับเคลื่อนที่เข้าหาตัวดูดซับ
- 2) การแพร่ภายใน (Internal diffusion) เป็นกลไกที่โมเลกุลของตัวถูกดูดซับแพร่กระจายเข้าสู่รูพรุนหรือช่องว่างภายในของตัวดูดซับ
- 3) ปฏิกิริยาพื้นผิว (Surface reaction) เป็นกลไกที่เกิดการดูดซับระหว่างโมเลกุลของสารดูดซับกับพื้นผิวภายในช่องว่างของตัวดูดซับ

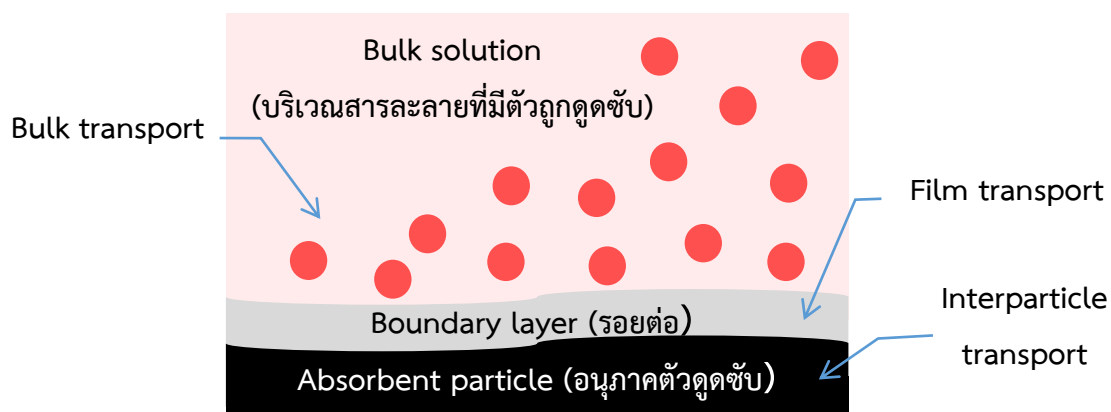


รูปที่ 2.3 ขั้นตอนการดูดซับอนุภาคบนตัวดูดซับ (ก) สารที่ถูกดูดซับแพร่ผ่านผิวของตัวดูดซับ (ข) สารที่ถูกดูดซับเคลื่อนที่เข้าสู่รูพรุนของตัวดูดซับ และ (ค) เกิดการดูดซับสารบนผิว ของตัวดูดซับ

2.1.4 อัตราการเคลื่อนย้ายโมเลกุลของตัวดูดซับ

อัตราการดูดซับมีความสำคัญต่อกระบวนการดูดซับ เนื่องจากอัตราการดูดซับที่เกิดขึ้นได้เร็ว จะทำให้ระบบเข้าสู่ภาวะสมดุลได้เร็ว โดยอัตราการดูดซับถูกกำหนดด้วยขั้นตอนที่เกิดขึ้นที่เร็วที่สุด อัตราการดูดซับแบ่งออกเป็น 3 ขั้นตอน ดังรูปที่ 2.4 โดยแต่ละขั้นตอนมีรายละเอียดดังนี้

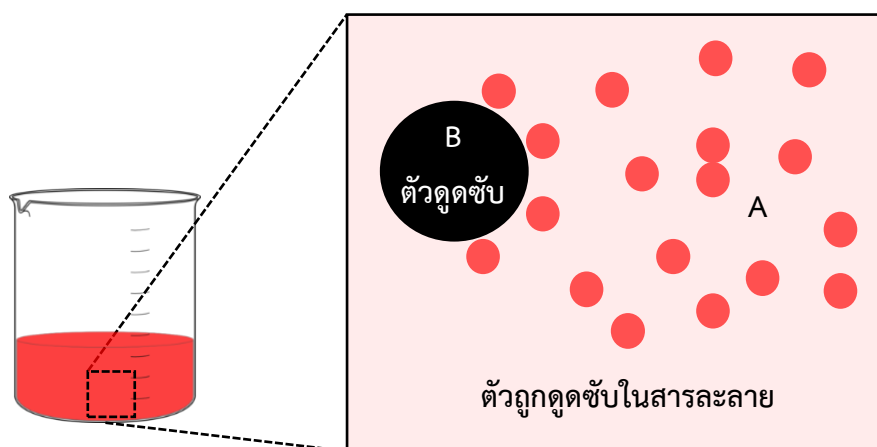
- 1) การขนส่งอนุภาค (Bulk transport) เป็นขั้นตอนที่โมเลกุลของตัวดูดซับในของเหลวจะถูกส่งไปที่ผิวหน้าของชั้นของของเหลวบาง ๆ หรือผิวสัมผัสที่ห่อหุ้มตัวดูดซับ เป็นขั้นตอนที่เกิดขึ้นเร็วที่สุด
- 2) การขนส่งชั้นฟิล์ม (Film transport) เป็นขั้นตอนที่ตัวดูดซับแพร่ผ่านชั้นฟิล์มไปยังผิวของตัวดูดซับ
- 3) การขนส่งภายในอนุภาค (Interparticle transport) เป็นการแพร่ของโมเลกุลตัวดูดซับละลายเข้าสู่โพรงหรือรูพรุนของสารดูดซับ เรียกว่า การแพร่เข้าสู่โพรง (Pore diffusion) โดยขั้นตอนการเคลื่อนย้ายโมเลกุลของตัวดูดซับไปยังตัวดูดซับ



รูปที่ 2.4 อัตราการดูดซับ

2.1.5 สมดุลการดูดซับ (Adsorption equilibrium)

สมดุลของการดูดซับจะอาศัยความสัมพันธ์ที่สภาวะสมดุลของมวลสาร จากรูปที่ 2.5 เมื่อเติมตัวดูดซับปริมาณหนึ่งลงไปในการละลาย ในช่วงเริ่มต้นโมเลกุลตัวถูกดูดซับบางส่วนจะเกาะกับพื้นผิวของตัวดูดซับ เมื่อระยะเวลาผ่านไปพบว่าจำนวนโมเลกุลตัวถูกดูดซับไปเกาะติดกับพื้นผิวตัวดูดซับเพิ่มมากขึ้น ในขณะเดียวกันโมเลกุลตัวถูกดูดซับบางส่วนที่เกาะติดกับพื้นผิวจะคายออกมา (Desorption) ซึ่งอัตราการคายออกมามีค่าน้อยกว่าอัตราการดูดซับ เมื่อปล่อยให้กระบวนการดูดซับดำเนินไปเรื่อยๆ จนกระทั่งอัตราการดูดซับเท่ากับอัตราการคายออกมา ระบบจะเข้าสู่สภาวะสมดุล [18]



รูปที่ 2.5 สภาวะสมดุลการดูดซับ

เมื่อเติมตัวดูดซับปริมาณหนึ่งลงไปในการละลายที่มีโมเลกุลตัวถูกดูดซับเข้มข้น C_0 ในช่วงเริ่มต้นโมเลกุลตัวถูกดูดซับบางส่วนไปเกาะติดกับพื้นผิวตัวดูดซับ

กระบวนการดูดซับ



- เมื่อ A คือ โมเลกุลของตัวถูกดูดซับมีความเข้มข้นเริ่มต้นเป็น C_0 โมลาร์ ในการละลาย
- B คือ โมเลกุลของตัวดูดซับ
- $A \cdot B$ คือ สารประกอบที่เกิดจากการดูดซับ
- k_1 คือ ค่าคงที่อัตราการดูดซับ

เมื่อระยะเวลาผ่านไปจำนวนโมเลกุลตัวถูกดูดซับไปเกาะติดกับพื้นผิวตัวดูดซับเพิ่มมากขึ้น

$$r_1 = k_1[c](1-q) \quad (2.2)$$

- เมื่อ r_1 คือ อัตราการดูดซับ ซึ่งจะแปรตามความเข้มข้นของตัวถูกดูดซับในสารละลาย หรือความเข้มข้นของตัวถูกดูดซับที่เหลืออยู่ในสารละลายให้เท่ากับ C และแปรตามสัดส่วนโมเลกุลของตัวถูกดูดซับที่ไม่ถูกดูดซับบนพื้นผิวของตัวดูดซับ
- c คือ ความเข้มข้นของตัวถูกดูดซับที่เหลืออยู่ในสารละลาย (โมลาร์)
- $(1-q)$ คือ สัดส่วนโมเลกุลตัวถูกดูดซับที่ไม่ถูกดูดซับ

ในขณะเดียวกันโมเลกุลตัวถูกดูดซับบางส่วนที่เกาะติดกับพื้นผิวจะคายออกมา ดังสมการที่ (2.3) และ (2.4) อัตราการคายออกจะเกิดน้อยกว่าอัตราการดูดซับ

กระบวนการคาย



$$r_2 = k_2(q) \quad (2.4)$$

- เมื่อ r_2 คือ อัตราการคาย ซึ่งจะแปรตามสัดส่วนโมเลกุลตัวถูกดูดซับที่ถูกดูดซับบนพื้นผิวของตัวดูดซับเท่านั้น
- k_2 คือ ค่าคงที่อัตราการคาย
- q คือ สัดส่วนโมเลกุลตัวถูกดูดซับที่ถูกดูดซับบนพื้นผิวของตัวดูดซับ

เมื่อปล่อยให้กระบวนการดูดซับดำเนินไปจนกระทั่งอัตราการดูดซับเท่ากับอัตราการคาย ระบบจะเข้าสู่สภาวะสมดุล

$$r_1 = r_2 \quad (2.5)$$

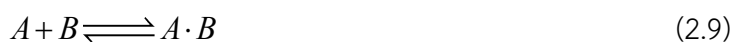
เมื่อนำสมการที่ (2.2) และ (2.4) มาแทนค่าในสมการที่ (2.5) จะได้สมการของการดูดซับ ณ สภาวะสมดุล

$$k_1[C](1-q) = k_2q \quad (2.6)$$

$$\frac{q}{(1-q)} = \frac{k_1}{k_2}[C] = K[C] \quad (2.7)$$

$$q = \frac{K[C]}{1 + K[C]} \quad (2.8)$$

โดยที่ลักษณะของการเกิดปฏิกิริยาที่เกิดขึ้นแสดงได้ดังสมการที่ (2.9) และมีค่าคงที่สมดุลการดูดซับแสดงดังสมการที่ (2.10)



$$K = \frac{q}{C} \quad (2.10)$$

ดังนั้น ความสามารถในการดูดซับ (q_e) และประสิทธิภาพการลดลงของสีย้อม (Dye concentration removal efficiency, %Dye) เป็นดังสมการ (2.11) และ (2.12) [20]

$$q_e = \frac{(C_0 - C)V}{W} \quad (2.11)$$

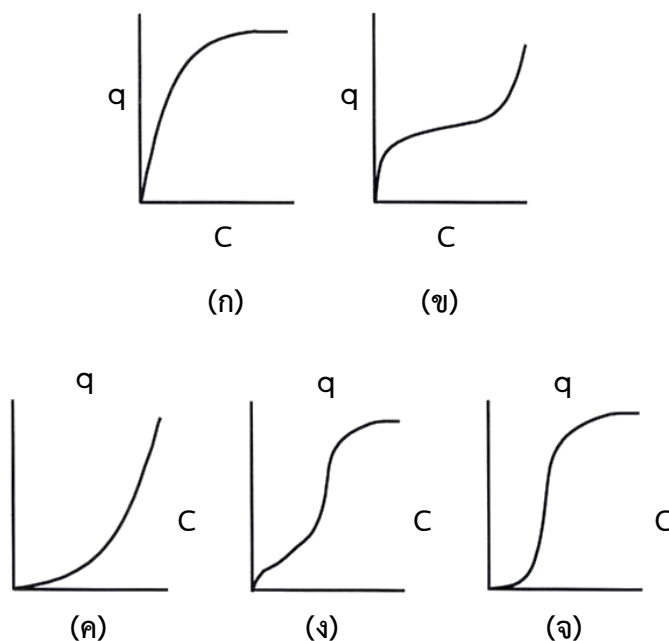
$$\% \text{ dye removal} = \frac{(C_0 - C)}{C_0} \times 100\% \quad (2.12)$$

เมื่อ	q_e	คือ ความสามารถในการดูดซับ (mg/L)
	V	คือ ปริมาตรของสารผสม (L)
	C_0	คือ ความเข้มข้นของตัวถูกละลายในสารละลายที่เวลาเริ่มต้น (mg/L)
	C_e	คือ ความเข้มข้นของตัวถูกละลายที่เหลืออยู่ในสารละลาย ณ ภาวะสมดุล (mg/L)
	W	คือ น้ำหนักของตัวดูดซับ (g)

การดูดซับทางกายภาพเป็นปฏิกิริยาคายความร้อนจึงต้องคำนึงถึงความดัน อุณหภูมิ ความเข้มข้นของตัวถูกละลาย ชนิดของสารถูกละลายและสารดูดซับด้วย โดยทั่วไปมักจะควบคุมให้อุณหภูมิของการดูดซับให้คงที่

2.1.6 ไอโซเทอร์มของการดูดซับ (Adsorption isotherm)

การศึกษาความสัมพันธ์ระหว่างปริมาณของตัวถูกละลายบนพื้นผิวตัวดูดซับต่อปริมาณตัวดูดซับ (q) กับความเข้มข้นของตัวถูกละลายที่เหลืออยู่ในสารละลาย (C) ที่ภาวะสมดุล ณ อุณหภูมิคงที่ แสดงได้จากเส้นกราฟไอโซเทอร์มของการดูดซับ (Adsorption isotherm) โดยกราฟรูปแบบพื้นฐาน ไอโซเทอร์มของการดูดซับ มีหลายแบบขึ้นอยู่กับชนิดของสารดูดซับ ชนิดสารที่ถูกดูดซับ และอันตรกิริยาระหว่างโมเลกุลกับพื้นผิวของสารดูดซับ แสดงดังรูป 2.6 และในการวิเคราะห์การดูดซับที่นิยมใช้กันมากคือวิธีของ Langmuir isotherm และ Freundlich isotherm



รูปที่ 2.6 แสดงไอโซเทอร์มของการดูดซับที่เกิดขึ้นแบบชั้นเดียว (ก) และไอโซเทอร์มของการดูดซับที่เกิดขึ้นแบบหลายชั้น (ข) (ค) (ง) และ (จ)

2.2 กลไกการแปลงพลังงานของสารเรืองแสง

การตรวจวัดความเข้มแสงฟลูออเรสเซนซ์เป็นเทคนิคที่รู้จักกันดีในการใช้หาปริมาณสาร เช่น การตรวจวัดไอออนโลหะหนัก (อาเซนิก ตะกั่ว พรอท แคดเมียม) เป็นต้น และเป็นเทคนิคที่มีข้อดีหลายประการ ได้แก่ มีความจำเพาะสูง (High specificity) เนื่องจากสารประกอบฟลูออเรสเซนซ์ (Fluorescence compound) แต่ละชนิดจะเปล่งแสงออกมามีลักษณะคงที่ที่แต่ละความยาวคลื่นของแสงตกกระทบ นำมาใช้ในการจำแนกชนิด (Identify) สารตัวอย่างได้ เนื่องจากมีความไวในการวิเคราะห์สูง (High sensitivity) สามารถวิเคราะห์สารตัวอย่างปริมาณน้อยได้ดี วิธีการวิเคราะห์ส่วนใหญ่ทำได้ง่ายและรวดเร็ว สามารถประยุกต์ใช้งานได้หลากหลาย ทั้งในด้านการแพทย์ ด้านอุตสาหกรรม ด้านสิ่งแวดล้อม และด้านเทคโนโลยีชีวภาพ เนื่องจากมีช่วงของการวิเคราะห์ที่กว้าง [19]

กลไกหลักในการแปลงพลังงานของสารเรืองแสงประกอบด้วย 2 กระบวนการ ได้แก่ กระบวนการดูดกลืนแสง (Absorption) และกระบวนการในการปลดปล่อยแสงลูมิเนสเซนซ์ (Luminescence) ของสารเรืองแสง

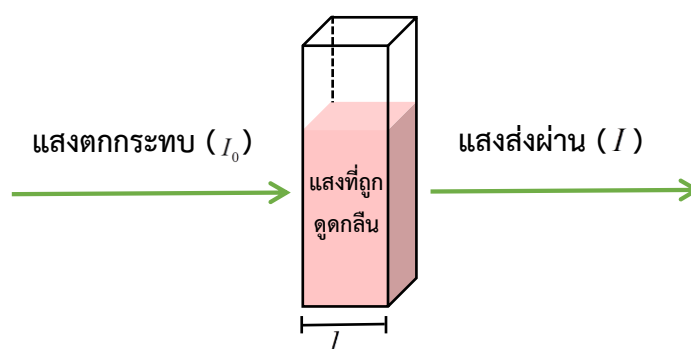
1) กระบวนการดูดกลืนแสง (Absorbance)

กระบวนการดูดกลืนแสงเกิดขึ้นเมื่อลำแสงตกกระทบผิวหน้าของคิวเวท ลำแสงเหล่านั้นจะถูกดูดกลืนโดยโมเลกุลของสารเรืองแสงผ่านเข้าไปในสารละลาย (Incident light: I_0) แล้ววัดปริมาณแสงที่เหลือผ่านออกมา (I) โดยไม่ได้คำนึงผลของแสงรบกวน (Stray light) [20] ปริมาณของแสงที่ถูกดูดกลืน

เข้าไปจะเป็นสัดส่วนโดยตรงกับระยะทางที่แสงเดินทางผ่านคิวเวทท์ (I) และความเข้มข้นของสารเรืองแสง (C) ดังสมการความสัมพันธ์ของเบียร์ - แลมเบิร์ต (Beer-Lambert) คือ

$$A(\lambda) = \log\left(\frac{I_0(\lambda)}{I(\lambda)}\right) = \varepsilon(\lambda)IC \quad (2.13)$$

- เมื่อ A คือ ค่าการดูดกลืนแสงของสารละลาย
 ε คือ สัมประสิทธิ์การดูดกลืนของสารละลาย ($L \cdot mol^{-1} \cdot cm^{-1}$) ซึ่งเป็นค่าคงที่ขึ้นอยู่กับชนิดของสารและความยาวคลื่น
 l คือ ระยะทางที่แสงเดินทางผ่านวัสดุ ซึ่งในที่นี้คือความหนาของคิวเวทท์ (cm)
 C คือ ความเข้มข้นของสารละลาย (โมลาร์)
 I_0 คือ ปริมาณแสงที่ผ่านเข้าไปในคิวเวทท์
 I คือ ปริมาณแสงที่ผ่านออกจากคิวเวทท์



รูปที่ 2.7 ลำแสงที่ผ่านเข้าออกสารละลายความเข้มข้น C เป็นระยะทาง l

2) กระบวนการปลดปล่อยแสง (Luminescence)

กระบวนการปลดปล่อยแสงลูมิเนสเซนซ์ของสารเรืองแสง เกิดจากแสงที่ดูดกลืนโดยโมเลกุลของสารละลายในคิวเวทท์ถูกใช้เป็นแหล่งพลังงานในการกระตุ้นอิเล็กตรอนในอะตอมของโมเลกุลและมีการสั่นภายในโมเลกุลจากระดับชั้นพลังงานสถานะพื้น (Ground state) ไปสู่ระดับชั้นพลังงานที่สูงขึ้น (Excited state) เรียกว่าการดูดพลังงาน (Excite energy) เมื่อโมเลกุลเคลื่อนที่ไปอยู่ในระดับของชั้นพลังงานที่สูงขึ้นจะไม่เสถียร ดังนั้นระบบจึงมีการปลดปล่อยพลังงานและตกลงมาในชั้นระดับพลังงานที่ต่ำกว่าเพื่อให้เข้าสู่ความเสถียร โดยในกระบวนการตกกลับลงมาของอิเล็กตรอนจากสถานะดังกล่าวจะทำให้เกิดการคายโฟตอน (Emission of photon) และมีการปลดปล่อยแสงลูมิเนสเซนซ์ออกมา เช่น โฟโตลูมิเนสเซนซ์ (Photoluminescence) เกิดจากโมเลกุลทำอันตรกิริยากับ

โฟตอน ไบโอลูมิเนสเซนซ์ (Bioluminescence) เป็นการเรืองแสงที่เกิดจากสิ่งมีชีวิตสร้างขึ้น เป็นต้น เมื่อจำแนกชนิดของการเปล่งแสงลูมิเนสเซนซ์ตามแหล่งพลังงานที่กระตุ้นโมเลกุลของสารเรืองแสงแล้วทำให้เกิดการปลดปล่อยแสงลูมิเนสเซนซ์ สามารถจำแนกได้หลายประเภทดังตารางที่ 2.1

ตารางที่ 2.1 ชนิดของลูมิเนสเซนซ์ประเภทต่างๆ จำแนกตามแหล่งพลังงานที่ใช้ในการกระตุ้น

แหล่งพลังงานในการกระตุ้นโมเลกุล	ชนิดของลูมิเนสเซนซ์
Electric field	Electroluminescence
Photon	Photoluminescence
Thermal	Thermoluminescence
Biological process	Bioluminescence
Cathod ray	Cathodoluminescence
Chemical energy	Chemiluminescence

2.2.1 หลักการของโฟโตลูมิเนสเซนซ์ (Photoluminescence)

การเรืองแสงได้อาศัยหลักการในการปลดปล่อยแสงลูมิเนสเซนซ์ประเภทโฟโตลูมิเนสเซนซ์ ซึ่งในการทดลองได้ใช้แหล่งพลังงานในการกระตุ้นโมเลกุลของสารเรืองแสงเป็นเลเซอร์ กระบวนการเกิดแสงลูมิเนสเซนซ์แบ่งออกได้เป็น 2 ชนิด คือ การวาวแสง (Fluorescence) และการเรืองแสง (Phosphorescence) ทั้งสองกระบวนการนี้แตกต่างกันที่กระบวนการกลับสู่สถานะพื้นใหม่ ประกอบด้วยกระบวนการกระตุ้นและกลับสู่สถานะพื้น มีรายละเอียดดังนี้

2.2.1.1 กระบวนการกระตุ้น (Excitation)

โมเลกุลทั่วไปจะมีจำนวนอิเล็กตรอนเป็นเลขคู่ ที่สถานะพลังงานต่ำสุดหรือสถานะพื้นอิเล็กตรอนจะอยู่เป็นคู่ในออร์บิทัลและมีทิศทางตรงกันข้ามกัน ดังสมการ 2.14

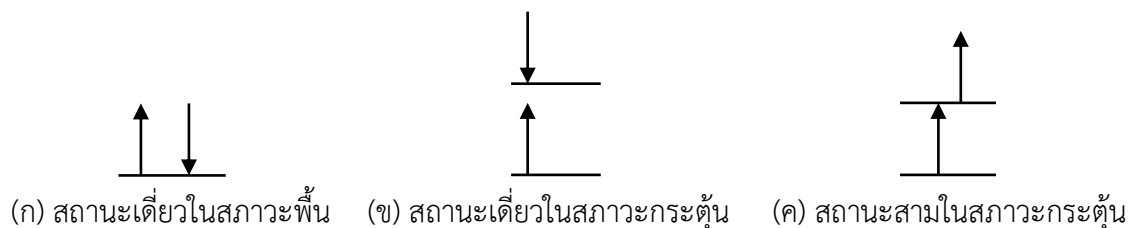
$$M = 2S + 1 \quad (2.14)$$

เมื่อ M คือ Molecular multiplicity ซึ่งเป็นค่าที่แสดงถึงโมเมนตัมเชิงมุมของออร์บิทัล (Orbital angular momentum) ของแต่ละสถานะ

S คือ เลขควอนตัมการหมุน (Spin Quantum number) ของโมเลกุลและเป็นผลรวมของการหมุนสุทธิของอิเล็กตรอนในโมเลกุล

สารอินทรีย์ส่วนมากเลขควอนตัมการหมุนจะมีค่าเป็นศูนย์ ($S = +\frac{1}{2} - \frac{1}{2} = 0$) เนื่องจากมีจำนวนอิเล็กตรอนเป็นคู่และมีทิศทางตรงกันข้ามกัน และมีค่าโมเมนตัมเชิงมุมเป็นหนึ่ง ($M = 1$) มีความหมายว่าเป็นสถานะเดี่ยว (Singlet state) โดยสถานะเดี่ยวที่สถานะพื้นหรือมีพลังงานต่ำสุดจะแทน

ด้วย S_0 และหากเป็นสถานะเดี่ยวที่หนึ่ง (First excited singlet state: S_1) และสถานะเดี่ยวที่สองแทนด้วย (Second excited singlet state: S_2) แผนภาพแสดงทิศทางการหมุนของอิเล็กตรอนในโมเลกุลแสดงดังรูป 2.8



รูปที่ 2.8 แผนภาพแสดงทิศทางการหมุนของอิเล็กตรอนในโมเลกุล

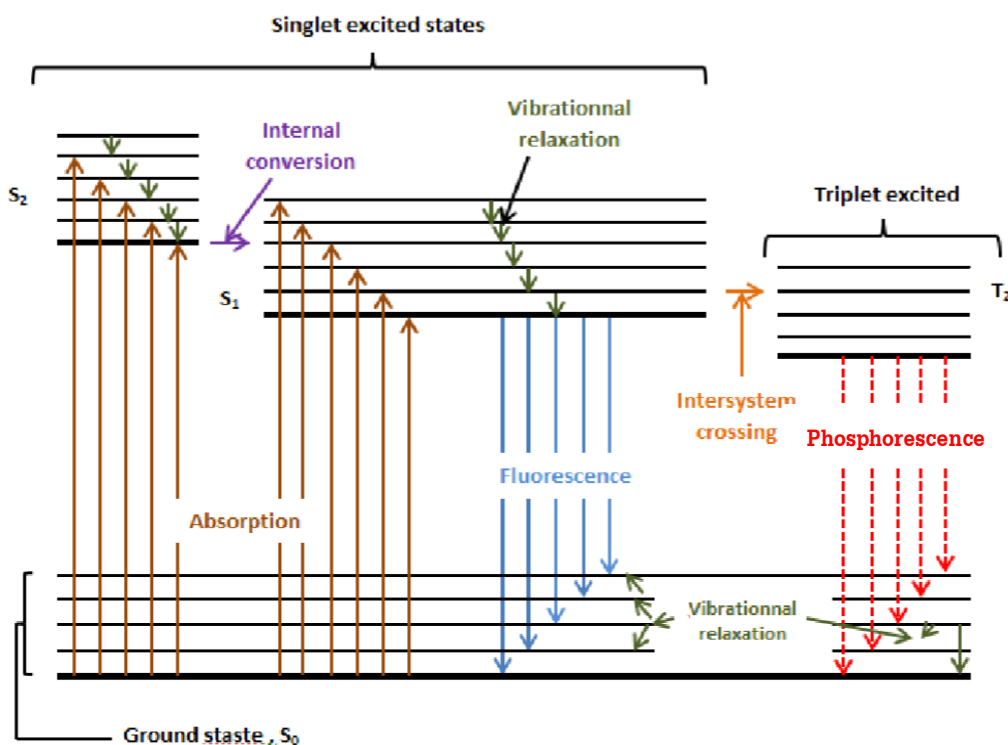
เมื่ออิเล็กตรอนในอะตอมของโมเลกุลถูกกระตุ้นให้ไปอยู่ในระดับพลังงานสูงขึ้นไป สามารถเกิดรูปแบบในการย้ายระดับพลังงานได้ 2 รูปแบบ คือ กระตุ้นไปสถานะเดี่ยวในสถานะกระตุ้น (Excitation singlet state) ดังรูป 2.8 (ข) และกระตุ้นไปสถานะสามในสถานะกระตุ้น (Triplet singlet state) ดังรูป 2.8 (ค) ซึ่งในกรณีนี้เกิดจากการที่อิเล็กตรอนที่ถูกกระตุ้นมีโอกาสในการหมุนกลับทิศทางการหมุนเปลี่ยนไป เช่น เมื่อมีการหมุน ($S = +\frac{1}{2} + \frac{1}{2} = 1$) เพราะฉะนั้นค่า ($M = 3$) หมายถึงสถานะสาม (Triple state) ซึ่งสถานะกระตุ้นของสถานะสามหรือสถานะที่มีค่าพลังงานต่ำสุดของสถานะสามจะแทนด้วย T_1 และที่สถานะสามนี้จะไม่พบในสถานะพื้นของโมเลกุลที่มีจำนวนอิเล็กตรอนเป็นคู่

2.2.1.2 กระบวนการลดระดับพลังงาน (Deexcitation)

เมื่อโมเลกุลถูกกระตุ้นอิเล็กตรอนจะไปอยู่ในสถานะกระตุ้นในช่วงเวลาหนึ่งและจะตกกลับสู่สภาวะพื้นหลังการดูดกลืน (Excitation-deexcitation process) ซึ่งอิเล็กตรอนจะตกกลับสู่สถานะพื้นโดยกระบวนการลดระดับพลังงาน (Deexcitation) และสามารถเกิดได้หลายรูปแบบ โดยทั่วไปแล้วสามารถแบ่งได้ 2 ลักษณะ คือ กระบวนการลดระดับพลังงานแบบไม่เกิดแสงและกระบวนการลดระดับพลังงานแบบเกิดแสง มีรายละเอียดดังนี้

1) กระบวนการลดระดับพลังงานแบบไม่เกิดแสง

- กระบวนการลดระดับพลังงานแบบไม่เกิดแสงจากการสั่นของโมเลกุล (Vibrational relaxation: VR) กระบวนการนี้เกิดขึ้นกับโมเลกุลที่อยู่ในรูปของสารละลาย เมื่ออิเล็กตรอนของโมเลกุลสารเรืองแสงได้รับพลังงาน อิเล็กตรอนจะขึ้นไปสู่สถานะพลังงานกระตุ้นมีผลทำให้ตัวทำละลายมีพลังงานสูงขึ้นซึ่งมีระดับพลังงานในการสั่นหลายค่า เช่น จากรูปที่ 2.9 ระดับชั้นพลังงาน S_1 จะมีระดับพลังงานการสั่น 5 ระดับ และจะเกิดการสูญเสียพลังงานออกมาในรูปความร้อนที่เกิดจากการสั่นในการชนกับตัวทำละลาย



รูปที่ 2.9 แผนภาพแสดงการดูดกลืนและการปลดปล่อยพลังงานรูปแบบต่าง ๆ [20]

- กระบวนการลดระดับพลังงานแบบแปลงผันภายใน (Internal conversion: IC) กระบวนการนี้เกิดการส่งผ่านพลังงานระหว่างโมเลกุลของสารเท่านั้น จะไม่เกิดการคายพลังงานความร้อนหรือพลังงานแสงออกมา โดยโมเลกุลที่ส่งผ่านกันจะมีค่าพลังงานที่สถานะกระตุ้นต่างกันไม่มากหรือมีช่วงระดับพลังงานซ้อนทับกัน เช่นจากรูป 2.9 โมเลกุลเกิดการส่งผ่านพลังงานในสถานะ S_1 ไปยังสถานะ S_2 ที่ระดับพลังงานเดียวกัน

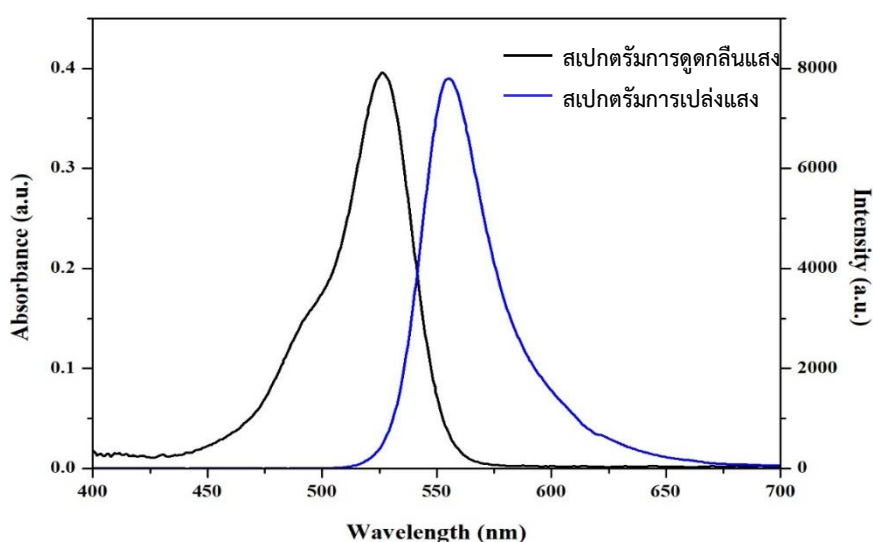
- กระบวนการลดระดับพลังงานแบบข้ามสถานะ (Intersystem crossing: ISC) เป็นกระบวนการที่อิเล็กตรอนของโมเลกุลในสถานะกระตุ้นเกิดการเปลี่ยนทิศทางการหมุน เนื่องจากจากระดับพลังงานการสั่นของสถานะเดียวและระดับชั้นพลังงานการสั่นของสถานะสามในสถานะกระตุ้นตรงกัน (พลังงานเท่ากัน) หรือการทรานซิชั่นจากสถานะเดียวที่มีระดับพลังงานการสั่นต่ำสุดไปสู่สถานะสามในสถานะกระตุ้นที่มีระดับพลังงานการสั่นมากกว่า

2) กระบวนการลดระดับพลังงานแบบเกิดแสง

- กระบวนการลดระดับพลังงานแบบเกิดแสงฟลูออเรสเซนซ์ (Fluorescence) เมื่ออิเล็กตรอนที่มีพลังงานสูงมากผ่านกระบวนการลดระดับพลังงานแบบไม่เกิดแสงดังที่กล่าวมาแล้ว จนกระทั่งอิเล็กตรอนในโมเลกุลลดระดับพลังงานมาถึงระดับพลังงานการสั่นต่ำสุดของสถานะเดียวในสถานะกระตุ้น จะเกิดการลดระดับพลังงานไปยังสถานะพื้นและคายพลังงานออกมาในรูปของแสง

- กระบวนการลดระดับพลังงานแบบเกิดแสงฟอสฟอเรสเซนซ์ (Phosphorescence) การคายพลังงานในกระบวนการนี้เป็นการลดระดับพลังงานของอิเล็กตรอนในระดับพลังงานการสั่นต่ำที่สุดของสถานะสามในสถานะกระตุ้น

กระบวนการคายพลังงานแบบเกิดแสงจะปล่อยพลังงานออกมาในย่านความยาวคลื่นที่ยาวกว่าความยาวคลื่นที่มากระตุ้น ดังตัวอย่างของสารละลายโรดามีน 6จี ในรูปที่ 2.10 การเลื่อนของสเปกตรัมแสงลูมิเนสเซนซ์เรียกว่า Stoke shift ซึ่งมีนิยามว่าเป็นระยะห่างระหว่างจุดสูงสุดของสเปกตรัมการดูดกลืนแสงและสเปกตรัมการเปล่งแสงลูมิเนสเซนซ์ ส่วนในการเกิดฟอสฟอเรสเซนซ์ระยะห่างจากจุดสูงสุดของทั้งสองสเปกตรัมจะมากกว่าการเกิดฟลูออเรสเซนซ์ เนื่องจากชั้นพลังงานของสถานะสามในสถานะกระตุ้นสูงกว่าสถานะเดี่ยวในสถานะกระตุ้น

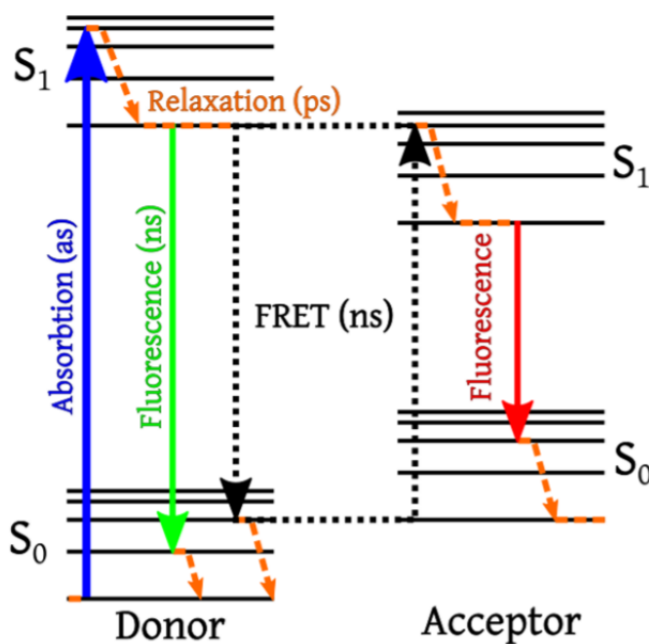


รูปที่ 2.10 สเปกตรัมการดูดกลืนแสงและสเปกตรัมการเปล่งแสงของสารละลายโรดามีน 6จี

2.2.2 ปัจจัยที่มีผลต่อการเกิดแสงฟลูออเรสเซนซ์

1) ผลจากสารเคมีชนิดอื่นๆ ที่เจือปน (Effect of impurities) หากในสารละลายมีสารเคมีเจือปนอยู่และสารนั้นดูดกลืนแสงในย่านความยาวคลื่นเดียวกันกับแสง ส่งผลให้ความเข้มฟอสฟอเรสเซนซ์ลดลงไปส่วนหนึ่ง เรียกปรากฏการณ์นี้ว่า Inner-filter effect

2) ผลจากค่าควอนตัมยิลด์ของสาร (Fluorescence quantum yield: Φ_F) สารเรืองแสงจะปลดปล่อยแสงลูมิเนสเซนซ์ได้มากหรือน้อยขึ้นอยู่กับค่าฟลูออเรสเซนซ์ควอนตัมยิลด์ ซึ่งสามารถหาได้จากอัตราส่วนระหว่างจำนวนโฟตอนที่ถูกปลดปล่อยออกมาจากสารเรืองแสงต่อจำนวนโฟตอนที่ถูกดูดกลืนโดยสารเรืองแสง หากค่าดังกล่าวมีค่าเข้าใกล้ 1 แสดงว่าสารเรืองแสงนั้นปลดปล่อยแสงลูมิเนสเซนซ์ได้ดี นอกจากนี้ค่าฟลูออเรสเซนซ์ควอนตัมยิลด์ยังเป็นผลมาจากปรากฏการณ์ Fluorescence resonance energy transfer (FRET) เป็นถ่ายทอดพลังงานระหว่างหมู่ที่ถ่ายทอดพลังงานหรือดูดกลืนแสง (Donor) กับหมู่ที่รับพลังงานหรือเรืองแสง (Acceptor) ภายในโมเลกุลเดียวกัน ดังรูปที่ 2.11



รูปที่ 2.11 แผนภาพแสดงระดับพลังงานอธิบายการเกิดปรากฏการณ์ Fluorescence resonance energy transfer [21]

ความเข้มของการเรืองแสงแสงลูมิเนสเซนซ์จะเป็นผลมาจากระยะห่างระหว่างหมู่ที่ถ่ายทอดพลังงานกับหมู่ที่รับพลังงาน นั่นคือถ้าระยะห่างระหว่างสองตัวใกล้กันจะมีการถ่ายโอนพลังงานจากหมู่ที่ถ่ายทอดพลังงานไปยังหมู่ที่รับพลังงาน แต่ถ้าหมู่ที่รับพลังงานอยู่ไกลจากหมู่ที่ถ่ายทอดพลังงานจะเห็นการเรืองแสงลูมิเนสเซนซ์จากหมู่ที่ถ่ายทอดพลังงานหรือดูคลื่นแสงเท่านั้น ซึ่งเป็นประโยชน์อย่างมากในการติดตามระยะทางในโมเลกุลที่สนใจขณะเกิดการเปลี่ยนแปลง

3) ผลจากอุณหภูมิที่มีต่อตัวทำละลาย (Temperature effect) เมื่ออุณหภูมิของสารละลายเพิ่มขึ้นทำให้ของโมเลกุลที่อยู่ในสถานะพื้นความเร็วเฉลี่ยเพิ่มขึ้นด้วย โมเลกุลดังกล่าวจึงมีโอกาสชนกับโมเลกุลที่อยู่ในสถานะกระตุ้นทำให้เกิดการแปลงผันภายใน (IC) เพิ่มขึ้นเป็นเหตุให้ความเข้มของฟลูออเรสเซนซ์และค่าฟลูออเรสเซนซ์ควอนตัมยี่ลต์ลดลงด้วย

4) ผลจากออกซิเจนที่ละลายอยู่ (Effect of dissolved oxygen) ผลของการมีออกซิเจนเจือปนต่อความเข้มฟลูออเรสเซนซ์ การมีออกซิเจนอยู่ในสารละลายอาจทำให้ความเข้มของฟลูออเรสเซนซ์ลดลงเนื่องมาจากการเกิดออกซิเดชันโดยตรงหรือทำให้สารที่เกิดฟลูออเรสเซนซ์ได้เปลี่ยนไปเป็นสารที่ไม่เกิดฟลูออเรสเซนซ์

5) ผลจากปรากฏการณ์ควENCHING (Quenching) เป็นปรากฏการณ์ในการลดลงของค่าความเข้มของการฟลูออเรสเซนซ์ที่เกิดจากองค์ประกอบของสารละลายหรือสารอื่นที่อยู่ในองค์ประกอบของสารละลาย ซึ่งรวมถึงทำตัวละลายด้วย แบ่งออกเป็น 2 รูปแบบ คือ Self-quenching และ Self-absorption มีรายละเอียดดังนี้

Self-quenching เป็นผลเนื่องจากการชนกันระหว่างโมเลกุลที่สถานะกระตุ้น ทำให้เกิดการสูญเสียพลังงาน แต่ไม่มีการให้รังสีแกมมาทำลาย เรียกว่า External conversion

Self-absorption เกิดขึ้นเนื่องจากความยาวคลื่นแสงฟลูออเรสเซนซ์มีการซ้อนทับกับแถบการดูดกลืนของสาร ส่งผลให้โฟตอนหรือแสงที่เกิดขึ้นถูกดูดกลืนโดยโมเลกุลของสารนั้น ซึ่งจะเกิดในกรณีสารละลายมีความเข้มข้นมาก

6) ผลของความเข้มข้นที่มีต่อความเข้มฟลูออเรสเซนซ์ (Effect of concentration on fluorescent intensity) เนื่องจากปริมาณแสงที่เกิดจากโฟโตลูมิเนสเซนซ์ขึ้นอยู่กับปริมาณแสงที่ถูกดูดกลืนเพื่อทำให้เกิดการกระตุ้นจะได้ว่า

$$I_F \propto (I_0 - I) \quad (2.15)$$

$$I_F = \Phi_F (I_0 - I) \quad (2.16)$$

เมื่อ I_F คือ ความเข้มของแสงฟลูออเรสเซนซ์

จากความสัมพันธ์ของเบียร์ - แลมเบิร์ต (Beer-Lambert)

$$I = I_0 \times 10^{-\epsilon lc} = I_0 \times e^{-2.303\epsilon lc} \quad (2.17)$$

นำสมการที่ (2.17) แทนในสมการที่ (2.16) จะได้

$$I_F = \Phi_F \times I_0 (1 - e^{-2.303\epsilon lc}) \quad (2.18)$$

จัดรูปจากอนุกรม จะได้ความสัมพันธ์ใหม่เป็น

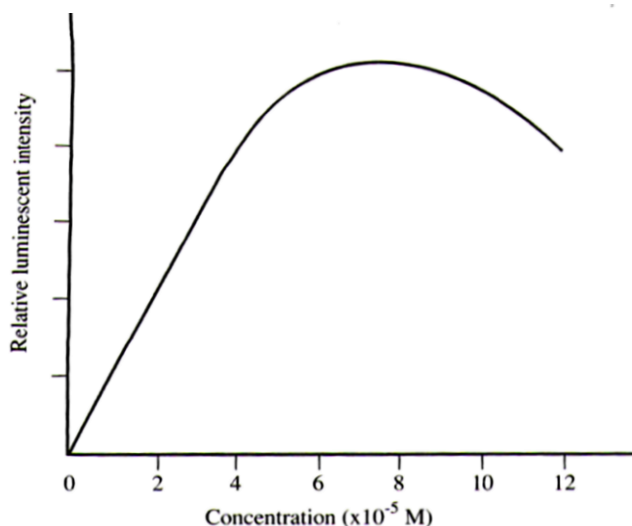
$$I_F = \Phi_F I_0 2.303\epsilon lc \quad (2.19)$$

$$I_F = Kc \quad (2.20)$$

เมื่อ K คือ ค่าคงที่มีค่าเท่ากับ $\Phi_F I_0 2.303\epsilon l$ และจะเป็นสัดส่วนโดยตรงกับค่า Φ_F โดยถ้า K มีค่ามากจะทำให้ค่า Φ_F มากด้วย

c คือ ความเข้มข้นของสารละลาย (โมลาร์)

จากสมการที่ (2.20) พบว่าความเข้มของแสงฟลูออเรสเซนซ์ (I_F) เป็นปฏิภาคโดยตรงกับความเข้มข้นของสารละลาย (c) เมื่อเขียนกราฟแสดงความสัมพันธ์ระหว่างความเข้มของแสงฟลูออเรสเซนซ์กับความเข้มข้นของสารละลายจะได้กราฟเป็นเส้นตรง แต่ถ้าสารละลายมีความเข้มข้นสูงจะทำให้ความเข้มของฟลูออเรสเซนซ์ลดลง แสดงดังรูปที่ 2.12 ซึ่งจะเห็นว่าความไม่เป็นเชิงเส้นนี้เกี่ยวข้องกับปัจจัยที่ไม่เป็นไปตามความสัมพันธ์ของเปียร์ - แลมเบิร์ต [22] ซึ่งจะอธิบายในหัวข้อถัดไป



รูปที่ 2.12 กราฟแสดงความสัมพันธ์ระหว่างความเข้มข้นของการฟลูออเรสเซนซ์กับความเข้มข้นของสาร

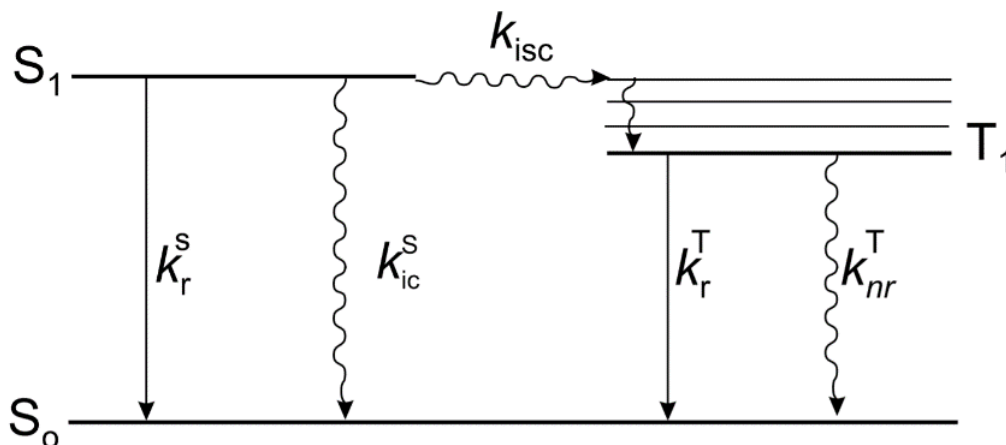
2.3 ฟลูออเรสเซนซ์ควอนตัมยิลด์ (Fluorescence quantum yield)

ฟลูออเรสเซนซ์ควอนตัมยิลด์ (Fluorescence quantum yield: FQY) เป็นค่าที่ใช้สำหรับวัดประสิทธิภาพเชิงปริมาณของวัสดุ เช่น การวิเคราะห์ทางชีวภาพและการวิเคราะห์ทางการแพทย์ โดยค่าฟลูออเรสเซนซ์ควอนตัมยิลด์หาได้จาก ค่าอัตราส่วนระหว่างจำนวนโฟตอนที่ถูกปลดปล่อยออกมาทั้งหมดจากสารเรืองแสง ($Photon_{em}$) ต่อจำนวนโฟตอนที่ถูกดูดกลืนโดยสารเรืองแสง ($Photon_{abs}$) [23] และสามารถอธิบายได้ดังความสัมพันธ์

$$\Phi_F = \frac{k_r}{k_r + \sum k_{nr}} = \frac{Photon_{em}}{Photon_{abs}} \quad (2.21)$$

เมื่อ k_r คือ การปลดปล่อยโฟตอน

k_{nr} คือ การไม่ปลดปล่อยโฟตอน



รูปที่ 2.13 แผนภาพแสดงระดับพลังงาน [23]

- เมื่อ k_r^S คือ การปลดปล่อยโฟตอนในระดับพลังงาน $S_1 - S_0$ หรือการปลดปล่อยแสงฟลูออเรสเซนซ์
 k_{ic}^S คือ การแปลงผันภายในในระดับพลังงาน $S_1 - S_0$ และการไม่ปลดปล่อยโฟตอน
 k_{isc} คือ การลดระดับพลังงานข้ามสถานะและไม่มีการปลดปล่อยโฟตอน
 k_r^T คือ การปลดปล่อยโฟตอนในระดับพลังงาน $T_1 - S_0$ หรือเรียกว่าฟอสเฟอร์เรสเซนซ์
 k_{nr}^T คือ การแปลงผันภายในในระดับพลังงาน $T_1 - S_0$ และไม่ปลดปล่อยโฟตอน

2.3.1 เทคนิคการวัดค่าฟลูออเรสเซนซ์ควอนตัมยิลด์

จากการศึกษาพบว่ามิงงานวิจัยที่ศึกษาการวัดค่าฟลูออเรสเซนซ์ควอนตัมยิลด์หลายเทคนิค ได้แก่ เทคนิค Relative เทคนิค Thermal lens และเทคนิค Time-correlated single photon counting (TCSPC) [24 - 26]

โดยในงานวิจัยนี้ผู้วิจัยได้เลือกใช้เทคนิค Relative ในการหาค่าฟลูออเรสเซนซ์ควอนตัมยิลด์ของสารละลาย เนื่องจากมีการจัดเตรียมระบบการวัดที่ไม่ซับซ้อน ใช้เวลาในการทดลองน้อย อีกทั้งยังวัดค่าได้แม่นยำด้วย เนื่องจากเทคนิค Relative เป็นการศึกษาความสัมพันธ์ของค่าฟลูออเรสเซนซ์ควอนตัมยิลด์ของสารเรืองแสงที่เราสนใจเปรียบเทียบกับสารเรืองแสงที่ทราบค่าฟลูออเรสเซนซ์ควอนตัมยิลด์ ซึ่งมีวิธีการศึกษา 2 วิธี ได้แก่

วิธี single-point ได้จากการคำนวณหาพื้นที่ใต้กราฟของความสัมพันธ์ระหว่างความยาวคลื่นกับความเข้มแสงฟลูออเรสเซนซ์และนำค่าที่ได้จากการคำนวณมาเปรียบเทียบกับสารอ้างอิงที่มีความเข้มข้นเดียวกันซึ่งเป็นวิธีที่ง่ายและเร็ว แต่ไม่น่าเชื่อถือเนื่องจากวิธีนี้ใช้สารอ้างอิงที่มีความเข้มข้นเดียวกันนั้นในการทดลองค่าการดูดกลืนแสงอาจมีการคลาดเคลื่อนได้

วิธีการเปรียบเทียบ (Comparative) จะกำหนดความเข้มข้นของสารที่ต้องการวัดและความเข้มข้นของสารอ้างอิงหลายค่า ใช้เวลาในการวัดนานกว่าวิธี single-point แต่มีความถูกต้องแม่นยำกว่า ซึ่งเทคนิค Relative ที่ได้นำมาใช้ในงานวิจัยนี้รายละเอียดดังนี้ [27]

จากสมการที่ (2.21) สามารถเขียนได้เป็น

$$\Phi_F = \frac{(\alpha)Photon_{em}}{(\beta)Photon_{abs}} \quad (2.22)$$

เมื่อ α คือ ค่าคงที่ของจำนวนโฟตอนที่ถูกลดปล่อยออกมา
 β คือ ค่าคงที่ของจำนวนโฟตอนที่ถูกลดดูดกลืน

ฟิสิกการดูดกลืนแสงของสาร (Fraction of light adsorbed: A) เขียนได้ดังสมการ

$$A = 1 - 10^{-b} \quad (2.23)$$

เมื่อ b คือ การดูดกลืนแสงของความยาวคลื่นที่ได้รับการกระตุ้น

สำหรับค่าฟลูออเรสเซนซ์ควอนตัมยิลด์ของสารตัวอย่าง (X) และสารอ้างอิง (R) เป็นดังสมการ

$$\Phi_{F(x)} = \left[\frac{\alpha \times I}{\beta \times A} \right] \quad (2.24)$$

$$\Phi_{F(R)} = \left[\frac{\alpha \times A_R}{\beta \times F_R} \right] \quad (2.25)$$

นำสมการที่ (2.24) หาดด้วยสมการที่ (2.25) โดยไม่พิจารณาค่า α และ β และจัดรูปสมการ จะได้

$$\Phi_{F(x)} = \Phi_{F(R)} \left[\frac{I}{I_R} \frac{A_R}{A} \right] \quad (2.26)$$

หากใช้ตัวทำละลายที่แตกต่างกัน จะเขียนสมการควอนตัมฟลูออเรสเซนซ์โดยวิธีการเปรียบเทียบได้เป็น

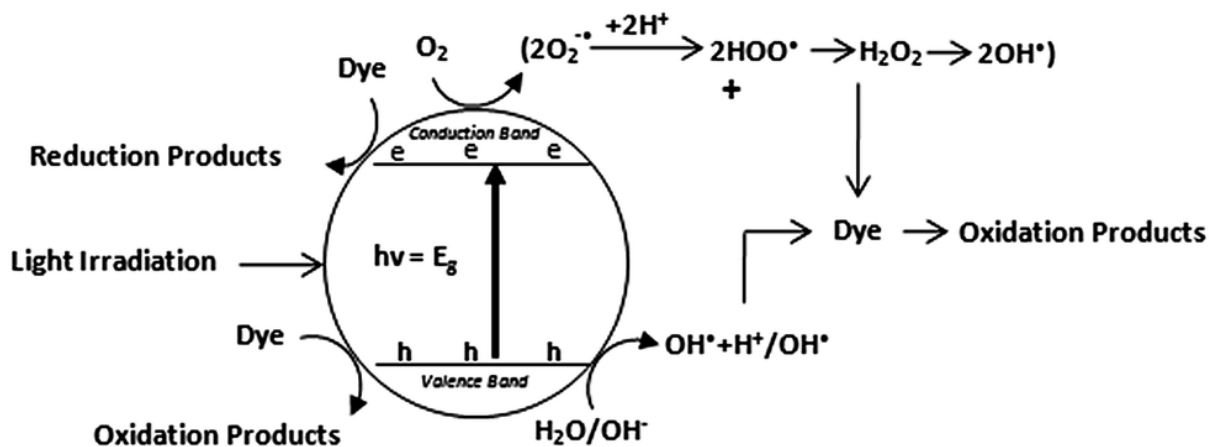
$$\Phi_F = \Phi_{F(R)} \frac{I}{I_R} \frac{OD_R}{OD} \frac{n^2}{n_R^2} \quad (2.27)$$

เมื่อ $\Phi_{F(x)}$ คือ ค่าฟลูออเรสเซนซ์ควอนตัมยิลด์ของสารตัวอย่าง
 $\Phi_{F(R)}$ คือ ค่าฟลูออเรสเซนซ์ควอนตัมยิลด์ของสารอ้างอิง
 I คือ พื้นที่ใต้กราฟความเข้มแสงของการเปล่งแสงของสารตัวอย่าง

- I_R คือ พื้นที่ใต้กราฟความเข้มแสงของการเปล่งแสงของสารอ้างอิง
- A คือ ค่าการดูดกลืนแสงสูงสุดของสารตัวอย่าง
- A_R คือ ค่าการดูดกลืนแสงสูงสุดของสารอ้างอิง
- n คือ ค่าดัชนีหักเหแสงของสารตัวอย่าง
- n_R คือ ค่าดัชนีหักเหแสงของสารอ้างอิง

2.4 กระบวนการโฟโตคะตะไลติก (Photocatalytic process) [27]

กระบวนการโฟโตคะตะไลติกเป็นกระบวนการดูดซับโฟตอน ที่มีพลังงานมากกว่าแถบพลังงานของสารกึ่งตัวนำหรือเท่ากับแถบพลังงานของสารกึ่งตัวนำ สารกึ่งตัวนำประกอบด้วยระดับพลังงาน 2 ระดับ คือ แถบวาเลนซ์ (Valence band : VB) และแถบคอนดักชัน (Conduction band : CB) ดังแสดงในภาพที่ 2.14 โดยแถบวาเลนซ์จะเป็นระดับพลังงานที่มีอิเล็กตรอนบรรจุอยู่จนเต็ม สำหรับแถบคอนดักชันจะเป็นระดับพลังงานที่มีออร์บิทัลว่างอยู่และมีพลังงานสูงกว่าแถบวาเลนซ์ โดยผลต่างระหว่างระดับพลังงานทั้งสองเรียกว่า ช่องว่างแถบพลังงาน (Energy gab) มีพลังงานค่าหนึ่งในหน่วยอิเล็กตรอนโวลต์ (Electron volt : eV) และเมื่อสารกึ่งตัวนำถูกกระตุ้นด้วยพลังงานที่มีค่าสูงกว่าหรือเท่ากับช่องว่างแถบพลังงานของสารกึ่งตัวนำ จะทำให้อิเล็กตรอนในแถบวาเลนซ์กระโดดขึ้นไปอยู่ที่แถบคอนดักชัน ทำให้เกิดช่องว่าง (Hole, h^+) ขึ้นที่แถบวาเลนซ์และเกิดอิเล็กตรอน (e^-) ขึ้นที่แถบคอนดักชัน โดยช่องว่างจะรวมตัวกับน้ำเกิดเป็นไฮดรอกซิลแรดิคัล ($\bullet OH$) ส่วนอิเล็กตรอนจะจับกับออกซิเจนเกิดเป็นซูเปอร์ออกไซด์แรดิคัล ($\bullet O_2^-$) ซึ่งทั้งสองตัวเป็นตัวออกซิไดส์ที่แรงจึงสามารถย่อยสลายสารอินทรีย์ได้

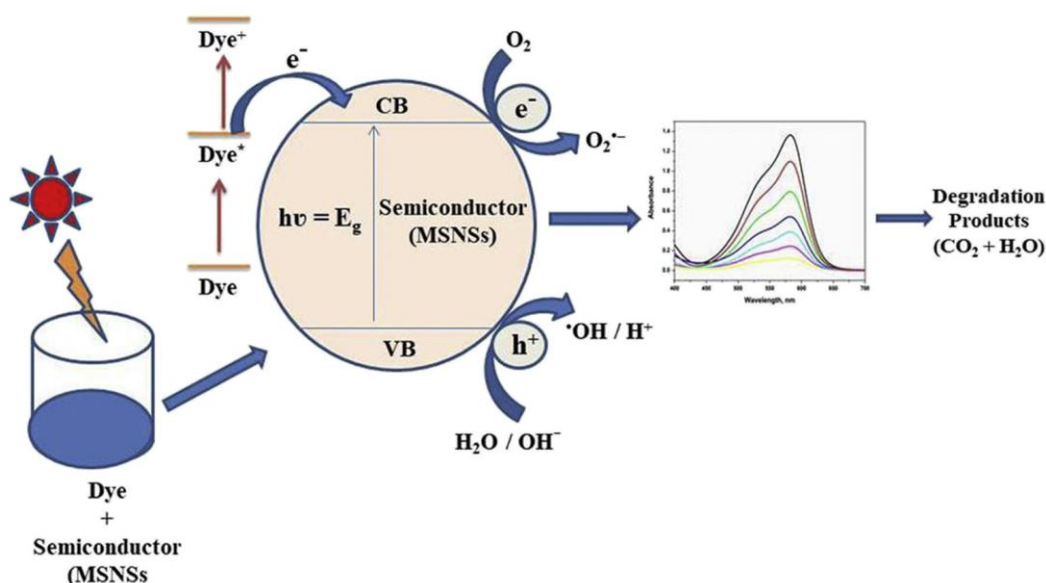


รูปที่ 2.14 แสดงกลไกการเกิดปฏิกิริยาโฟโตคะตะไลติกออกซิเดชัน [27]

2.5 กระบวนการย่อยสลายด้วยแสง (Photodegradation) [28]

เป็นการแตกตัวของโมเลกุลที่เกิดจากการดูดซับโฟตอนที่มาจากความยาวคลื่นของแสงอาทิตย์ เช่น รังสีอินฟราเรด แสงที่ตามองเห็น และรังสีอัลตราไวโอเล็ต รูปแบบของอนุภาครังสีชนิดอื่นๆ อาจทำให้เกิดการย่อยสลายด้วยแสงได้ การย่อยสลายด้วยแสงนี้รวมถึงการสลายตัวของสารที่มีโครงสร้างขนาดใหญ่ไปเป็นสารที่มีโครงสร้างโมเลกุลขนาดเล็กกว่า การเปลี่ยนรูปโมเลกุลไปอยู่ในสภาพที่เปลี่ยนแปลงกลับเป็นอย่างเดิมไม่ได้ เช่น การเสียสภาพของโปรตีน และการเติมอะตอมบางชนิดเข้าในโมเลกุล ตัวอย่างที่เห็นได้โดยทั่วไปคือการกำจัดของเสียในน้ำดื่มหรือน้ำเสียด้วยแสงแดด

แสงสามารถใช้เป็นกระตุ้นการทำลายพันธะในการทำลายโมเลกุลของมลพิษได้ การย่อยสลายด้วยเคมีเชิงแสงจะอาศัยพื้นฐานทางเคมีซึ่งจะได้ผลิตภัณฑ์ที่มีความเป็นพิษน้อยต่อสิ่งแวดล้อม กระบวนการออกซิเดชันโดยการกระตุ้นด้วยแสงสามารถใช้กับสารประกอบอินทรีย์และสารอนินทรีย์ต่างๆ เช่น สีย้อม ยาฆ่าแมลง ยากำจัดวัชพืช เป็นต้น สีย้อมเมื่อถูกกระตุ้นด้วยแสง สามารถให้อยู่ในรูปของสารที่มีความเป็นพิษต่ำ เช่น กรดอินทรีย์ คาร์บอนไดออกไซด์และน้ำ เป็นต้น และยังสามารถทำให้เกิดผลิตภัณฑ์ เช่น เฮไลต์ โลหะและอัลดีไฮด์ ขึ้นอยู่กับองค์ประกอบของสารตั้งต้น จะทำให้สีที่ปรากฏจางลงหรือหายไป โดยสีที่เกิดจากสีย้อมจะเกิดจากสายโซ่ของสารที่มีพันธะคู่และวงแหวนที่สามารถดูดกลืนแสงได้ที่มีความยาวคลื่นในช่วงแสงที่ตามองเห็น



รูปที่ 2.15 แสดงปฏิกิริยาโฟโตดีเกรเดชัน [28]

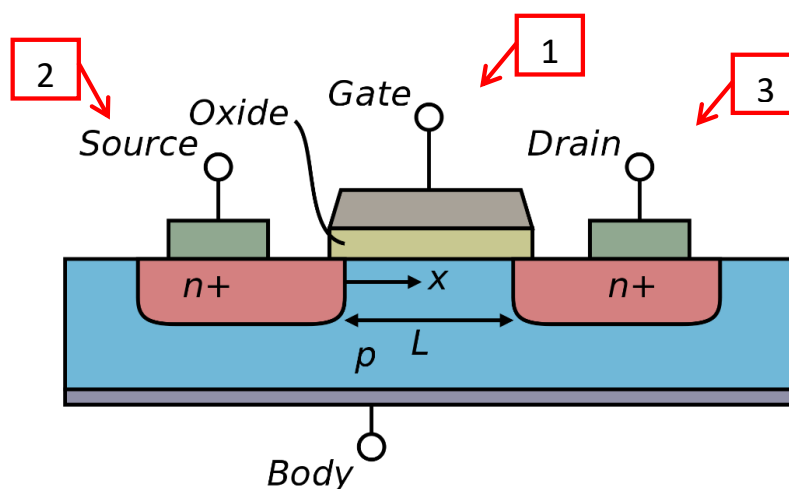
2.6 วงจรไฟฟ้าที่ใช้ในการฉายแสงในงานวิจัย

ในงานวิจัยนี้ได้นำวงจรอิเล็กทรอนิกส์มาเป็นตัวช่วยในการทำงานของหลอดไดโอดเปล่งแสง (Light Emitting Diode) และหลอดไดโอดเปล่งแสงพลังงานสูง (High power Light Emitting Diode) ในการฉายแสงให้กับสารละลายเพื่อศึกษาประสิทธิภาพการกำจัดสีย้อมด้วยแสง ซึ่งอุปกรณ์ที่ใช้ในวงจรมีดังนี้

2.6.1 มอสเฟต (metal oxide semiconductor field effect transistor : MOSFET)

เป็นทรานซิสเตอร์ที่ใช้สนามไฟฟ้าในการควบคุมสัญญาณไฟฟ้า โดยใช้ออกไซด์ของโลหะในการทำส่วนเกต (Gate) นิยมใช้ในวงจรถิจริตอลโดยนำไปสร้างลอจิกเกตต่างๆ เนื่องจากมีขนาดเล็ก โครงสร้างของมอสเฟตประกอบด้วย 3 ส่วน ดังแสดงในรูปที่ 2.16 ซึ่งแต่ละส่วนมีรายละเอียดดังนี้ [29]

- 1) ขาเกต (Gate) เป็นส่วนที่ทำมาจากออกไซด์ของโลหะ โดยสร้างให้เกิดความต่างศักย์ตกคร่อมระหว่างแผ่นสองแผ่นเพื่อ สร้างสนามไฟฟ้าเพื่อควบคุมการเข้าออกของสัญญาณไฟฟ้า
- 2) ขาซอส (Source) เป็นส่วนขาเข้าของสัญญาณ
- 3) ขาเดรน (Drian) เป็นส่วนขาออกของสัญญาณ



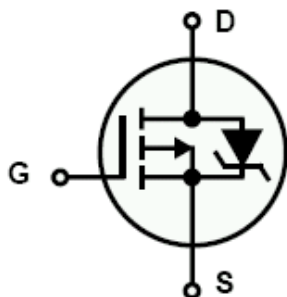
รูปที่ 2.16 แสดงส่วนประกอบของมอสเฟต [29]

มอสเฟต แบ่งเป็น 2 ชนิด ดังนี้

1) มอสเฟตชนิดเอ็น (Negative MOSFET : nMOS) เป็นทรานซิสเตอร์ประเภท NPN เมื่อมีความต่างศักย์เป็นบวก (สนามไฟฟ้าแรง) สัญญาณไฟฟ้าจึงจะไหลจากขาซอสไปขาเดรนได้ เมื่อปล่อยความต่างศักย์สูง จะเกิดสนามไฟฟ้าในทิศลงอย่างแรงทำให้โฮลใน p-type จะถูกผลักลงมาอยู่ด้านล่างประกบกับมีอิเล็กตรอนอิสระบางส่วนถูกดูดขึ้นไปด้านบนแทนที่โฮล ส่งผลให้บริเวณด้านบนมีอิเล็กตรอนอิสระมากจนเป็น n-type เรียกว่า channel สัญญาณไฟฟ้าก็จะไหลผ่านช่วง channel นี้ซึ่งเป็นเหมือนกับขาเดรนและขาซอสได้โดยใช้อิเล็กตรอนอิสระเป็นพาหะนำไฟฟ้า

2) มอสเฟตชนิดพี (Positive MOSFET : pMOS) เป็นทรานซิสเตอร์ประเภท PNP เมื่อมีความต่างศักย์ต่ำหรือเป็นลบ (สนามไฟฟ้าอ่อน) สัญญาณไฟฟ้าจึงจะไหลจากขาซอสไปขาเดรนได้ ซึ่งจะทำงานกลับกัน nMOS โดยเมื่อปล่อยความต่างศักย์ต่ำ (โดยมากมักจะติดลบ) จะเกิดสนามไฟฟ้าในทิศขึ้นอย่างแรง อิเล็กตรอนอิสระใน n-type จะถูกผลักลงมาอยู่ด้านล่างประกบกับมีโฮลบางส่วนถูกดูดขึ้นไปด้านบน ส่งผลให้บริเวณด้านบนมีโฮลมากจนเป็น p-type ได้เรียกว่า channel สัญญาณไฟฟ้าก็จะไหลผ่านช่วง channel นี้ซึ่งเป็นเหมือนกับขาเดรนและขาซอสได้โดยใช้โฮลเป็นพาหะนำไฟฟ้า

ในงานวิจัยได้เลือกใช้มอสเฟตชนิด PNP F9540N ดังแสดงสัญลักษณ์ในรูปที่ 2.17



รูปที่ 2.17 แสดงสัญลักษณ์มอสเฟส P-channel F9540N

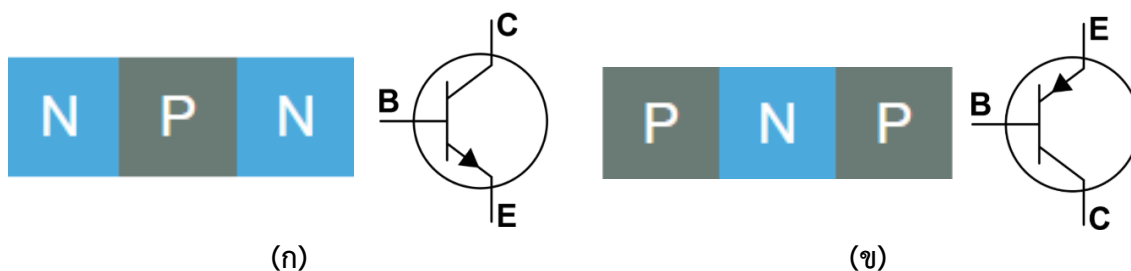
2.6.2 ทรานซิสเตอร์ (Transistor) [30]

ทรานซิสเตอร์เป็นอุปกรณ์อิเล็กทรอนิกส์ที่สำคัญ มีหน้าที่ในการควบคุมการไหลของกระแสไฟฟ้า (ทั้งให้ไหลและบล็อกไม่ให้ไหลผ่าน) ซึ่งคล้ายกับไดโอดเปล่งแสง แต่ทรานซิสเตอร์ยังสามารถควบคุมปริมาณกระแสไฟฟ้าได้เนื่องจากเป็นสารกึ่งตัวนำภายในตัว ปัจจุบันมีการนำทรานซิสเตอร์มาประยุกต์ใช้งาน เช่น การนำอคูโน้ (Arduino) มาควบคุมหลอดไดโอดเปล่งแสงหลายสิบดวง ขาดิจิตอลของอคูโน้ไม่สามารถจ่ายกระแสได้มากพอให้กับไดโอดเปล่งแสงได้ เพราะฉะนั้นจึงต้องมีการนำทรานซิสเตอร์มาใช้เป็นตัวขยายกระแสไฟฟ้า (Amplifier)

หลักการทํางานของทรานซิสเตอร์

ตามที่กล่าวไว้ข้างต้นว่าทรานซิสเตอร์มีหน้าที่ในการคอนโทรลทิศทางทางและปริมาณกระแสไฟฟ้า แต่หลักการสำคัญก็คือการใช้กระแสไฟฟ้าน้อยๆ ควบคุมกระแสไฟฟ้ามากๆ นั่นคือเมื่อมีปริมาณกระแสไฟฟ้าเพียงเล็กน้อยที่ขาเบส ก็จะสามารถคอนโทรลปริมาณกระแสไฟฟ้าที่มากกว่าหลายเท่าตัวของขาคอลเล็กเตอร์และขาอีมีเตอร์ได้ เนื่องจากทรานซิสเตอร์มีค่ากำลังขยายหรือที่เรียกว่า Current Gain หรือ HFE หรือ β นั้นเอง ทรานซิสเตอร์แบ่งออกเป็น 2 ประเภทคือ

- 1) ทรานซิสเตอร์ประเภท NPN ประกอบด้วยสารชนิด N 2 ตัวและชนิด P 1 ตัววางตัวสลับกันหรืออาจเรียกได้ว่า (Negative-Positive-Negative) ดังแสดงสัญลักษณ์ในรูปที่ 2.18 (ก)
- 2) ทรานซิสเตอร์ประเภท PNP ประกอบด้วยสารชนิด P 2 ตัวและชนิด N 1 ตัววางตัวสลับกัน (Positive-Negative-Positive) ดังแสดงสัญลักษณ์ในรูปที่ 2.18 (ข) ในวิจัยนี้ได้เลือกใช้ทรานซิสเตอร์ชนิด NPN รุ่น BC 337

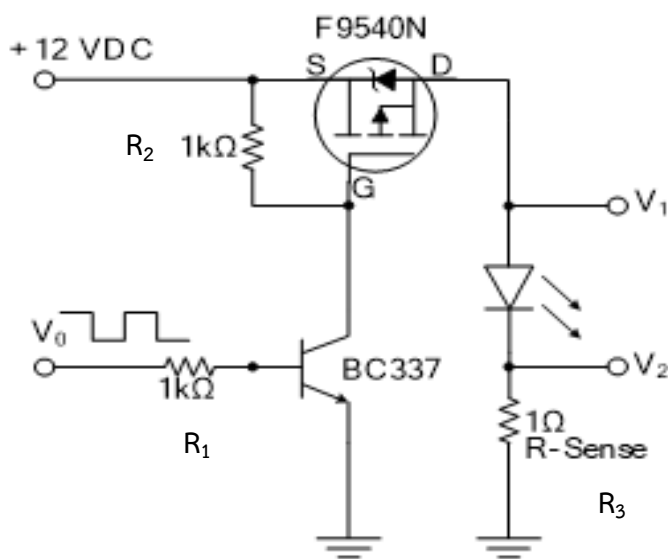


รูปที่ 2.18 แสดงสัญลักษณ์ของทรานซิสเตอร์ประเภท NPN และ PNP ตามลำดับ [30]

2.6.3 ตัวต้านทาน (Resistor)

ตัวต้านทานหรือรีซิสเตอร์เป็นอุปกรณ์ไฟฟ้าชนิดหนึ่งที่มีคุณสมบัติในการต้านการไหลผ่านของกระแสไฟฟ้าทำด้วยลวดต้านทานหรือถ่านคาร์บอน เป็นต้น ซึ่งถ้าอุปกรณ์นั้นมีความต้านทานมาก กระแสไฟฟ้าที่ไหลผ่านจะน้อยลง เป็นอุปกรณ์ไฟฟ้าชนิดพาสซีฟสองขั้วที่สร้างความต่างศักย์ไฟฟ้าคร่อมขั้วทั้งสอง โดยมีสัดส่วนมากน้อยตามปริมาณกระแสไฟฟ้าที่ไหลผ่านอัตราส่วนระหว่างความต่างศักย์ และปริมาณกระแสไฟฟ้าก็คือ ค่าความต้านทานทางไฟฟ้าหรือค่าความต้านทานของตัวนำมีหน่วยเป็นโอห์ม

จากที่ได้กล่าวมาข้างต้นวงจรอิเล็กทรอนิกส์ที่นำมาช่วยในการทำงานของหลอดไอโอดเปล่งแสง และหลอดไดโอดเปล่งแสงพลังงานสูงคือวงจรแสดงดังรูปที่ 2.19



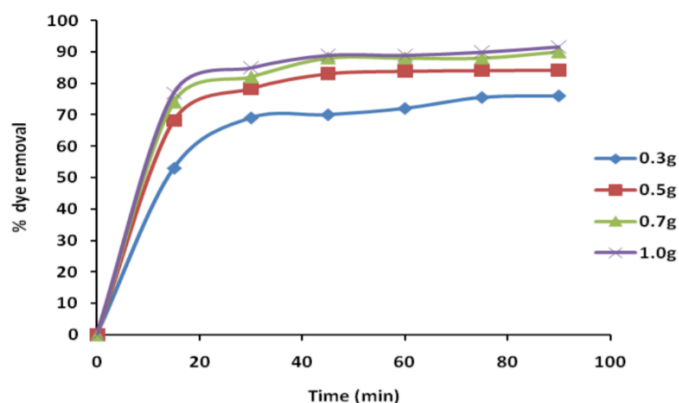
รูปที่ 2.19 แสดงวงจรอิเล็กทรอนิกส์ที่นำมาช่วยในการทำงานของหลอดไดโอดเปล่งแสง

จากรูปที่ 2.19 การทำงานของวงจรมีดังนี้ เมื่อมีสัญญาณ High หรือลอจิก 1 เข้าเข้ามาที่ V_0 แล้วไหลไปขาเบสซึ่งทำหน้าที่เป็นตัวควบคุมสัญญาณที่เข้ามาโดยมีตัวต้านทาน R_1 ทำหน้าที่จำกัดไม่ให้กระแสไฟฟ้าไหลผ่านขาเบสมากเกินไป เมื่อมีลอจิก 1 เข้ามาที่ขาเบส กระแสและแรงดันจากไฟ DC ผ่าน R_2 มาที่ขาเกตของ MOSFET และไหลผ่านลงไปยังขาคอนโทรลไปยังเกต ทำให้ขณะนั้นแรงดันที่ขาเกตหรือลอจิก 0 ไปยังขาเกตของ MOSFET ส่งผลให้ MOSFET ทำงาน กระแสและแรงดันจากไฟ DC ไหลผ่านจากขาซอสไปขาเดรนและไหลไปยังหลอดไดโอดเปล่งแสงและลงเกตทำให้หลอดไดโอดเปล่งแสงทำงาน แต่เมื่อมีสัญญาณ Low หรือลอจิก 0 มาที่ V_0 ตัวทรานซิสเตอร์จะไม่ทำงาน เนื่องจากไม่มีกระแสมาที่ขาเบส ทำให้กระแสและแรงดันจากไฟ DC ไหลผ่าน R_2 ไปที่ขาเกตของตัว MOSFET ส่งผลให้ตัว MOSFET ไม่ทำงานเนื่องจากมีแรงดันสูงหรือลอจิก 1 เข้ามา ทำให้กระแสและแรงดันไม่สามารถไหลผ่านขาซอสไปยังขาเดรน และไหลผ่านหลอดไดโอดเปล่งแสงลงเกตได้ส่งผลให้หลอดไดโอดเปล่งแสงไม่ทำงาน จะเห็นได้ว่าเมื่อมีลอจิก 1

และ 0 เข้ามาที่เขาเบสส่งผลให้หลอดไดโอดเปล่งแสงทำงานและไม่ทำงาน โดยมีมอสเฟตทำหน้าที่เป็นสวิชต์ในการเปิด - ปิด หลอดไดโอดเปล่งแสง

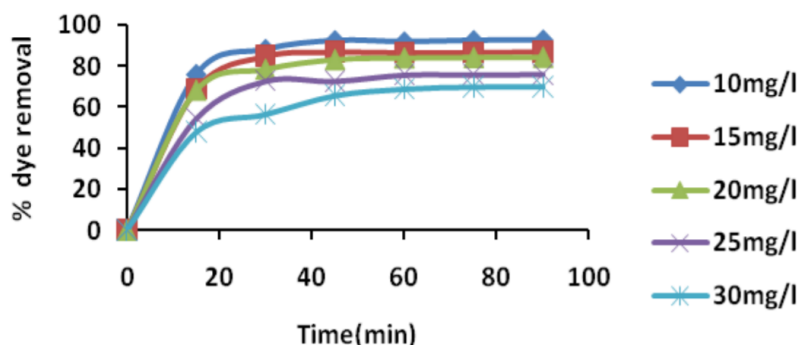
2.7 งานวิจัยที่เกี่ยวข้อง

ในปี ค.ศ. 2017 Vandana Gupta และคณะ ได้ศึกษาการกำจัดสีย้อมโรดามีนบี (RB) ในน้ำโดยใช้ถ่านกัมมันต์ที่เตรียมจากเปลือกไม้ Belpatra (BBC) เป็นตัวดูดซับ จากการศึกษาอิทธิพลของการดูดซับสีเริ่มต้นปริมาณ 0.3 ถึง 1.0 กรัม ต่อการดูดซับสีย้อมโรดามีนบีความเข้มข้น 20 มิลลิกรัมต่อลิตร ขนาดอนุภาค 150 ถึง 299 ไมโครเมตร อุณหภูมิ 320 เคลวิน และค่าพีเอช 3 แสดงดังรูปที่ 2.20 พบว่าการกำจัดสีย้อมเพิ่มขึ้นจาก 76 เปอร์เซ็นต์ เป็น 91.7 เปอร์เซ็นต์ เมื่อปริมาณของตัวดูดซับเพิ่มขึ้น เนื่องจากการดูดซับที่ใช้งาน (พื้นที่ผิว) เพิ่มขึ้นตามปริมาณที่เพิ่มขึ้น จึงเกิดการดูดซับมากขึ้นเนื่องจากการดูดซับเป็นปรากฏการณ์พื้นผิว [31]



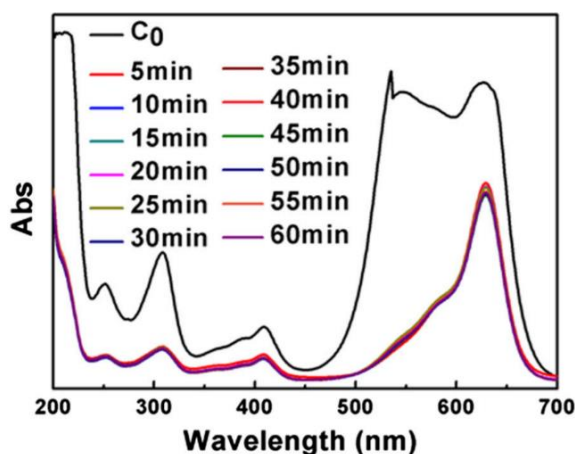
รูปที่ 2.20 ผลของปริมาณตัวดูดซับต่อการดูดซับสีย้อมโรดามีนบีโดยใช้ Belpatra Bark Charcoal [31]

จากการศึกษาอิทธิพลของความเข้มข้นของสีย้อมเริ่มต้นสำหรับการกำจัดสีของสีย้อมโรดามีนบี ความเข้มข้นของสีย้อมเริ่มต้น 5 ถึง 30 มิลลิกรัมต่อลิตร เมื่อใช้ตัวดูดซับ BBC ปริมาณ 0.5 กรัมต่อ 100 มิลลิลิตร ขนาดอนุภาค 150 ถึง 299 ไมโครเมตร อุณหภูมิ 310 เคลวิน และค่าพีเอช 3.0 สำหรับเวลาสัมผัส 90 นาที แสดงดังรูปที่ 2.21 พบว่าการดูดซับสูงสุดเกิดขึ้นใน 15 ถึง 20 นาทีและหลังจากเวลา 35 ถึง 40 นาที เข้าสู่สภาวะสมดุล ในทุกกรณี เนื่องจากตัวดูดซับแต่ละตัวมีขนาดตัวดูดซับที่จำกัดและหลังจากผ่านไประยะเวลาหนึ่งสิ่งเหล่านี้หมดไปและกระบวนการดูดซับเข้าสู่สภาวะสมดุล นอกจากนี้ยังพบว่าเมื่อความเข้มข้นของสีย้อมเริ่มต้นเพิ่มขึ้นจาก 10 เป็น 30 มิลลิกรัมต่อลิตร เปอร์เซ็นต์ของการกำจัดสีย้อมลดลงจาก 92.8 เปอร์เซ็นต์ เป็น 70.1 เปอร์เซ็นต์ เพราะที่ความเข้มข้นน้อยๆ มีปริมาณตัวดูดซับที่ใช้งานเพียงพอสำหรับการดูดซับโมเลกุลของสีย้อมที่มีอยู่ในปัจจุบัน แต่ที่ความเข้มข้นสูงขึ้นอัตราส่วนไม่เพียงพอกับโมเลกุลสีย้อมจึงเกิดการดูดซับน้อยลง [31]



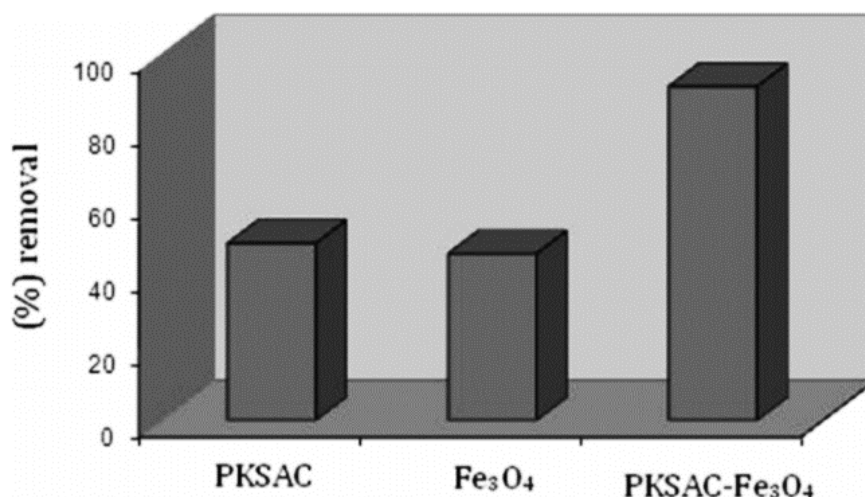
รูปที่ 2.21 ผลของระยะเวลาสัมผัสและความเข้มข้นของสีย้อมโรดามีนบีเริ่มต้นโดยใช้ Belpatra Bark Charcoal (BBC) [31]

ในปี ค.ศ. 2015 Fan Zhang และคณะได้ศึกษาการประยุกต์ $Ba_3(PO_4)_2/Fe_3O_4$ เป็นตัวดูดซับแม่เหล็กแบบใหม่เพื่อกำจัดเมทิลบลูจากสารละลายที่เป็นน้ำ แสดงดังรูปที่ 2.22 จากการศึกษาพบว่าตัวดูดซับคอมโพสิตแม่เหล็กแบบใหม่ที่ประกอบด้วย $Ba_3(PO_4)_2$ นาโนฟอสเฟตและไมโครสเฟียร์ Fe_3O_4 (BPF) ที่ถูกเตรียมไว้ เพื่อศึกษาสัณฐานวิทยาโครงสร้างทางเคมีและสมบัติทางแม่เหล็กของ BPF การดูดซับเมทิลบลู (MB) บน BPF ถูกตรวจสอบด้วยค่า pH อุณหภูมิ ปริมาณตัวดูดซับ เวลาที่ใช้ในการดูดซับ และความเข้มข้นเริ่มต้นของเมทิลบลู พบว่าข้อมูลจลนพลศาสตร์และไอโซเทอร์มการดูดซับนั้นดีกว่าการใช้ pseudo-secondorder model และสมการ Langmuir ความสามารถในการดูดซับของเมทิลบลู โดย BPF ประกอบด้วย 334.5 ± 12.5 มิลลิกรัมต่อกรัม ค่าของพารามิเตอร์ เช่น free energy (DG, $-4.25 \pm 0.16 \text{ mol}^{-1}$ ถึง $-6.06 \pm 0.12 \text{ kJ} \cdot \text{mol}^{-1}$) เอนทัลปี (DH, $-24.93 \pm 1.50 \text{ kJ} \cdot \text{mol}^{-1}$) และเอนโทรปี (DS, $-60.29 \pm 3.20 \text{ J} \cdot \text{mol}^{-1} \cdot \text{K}^{-1}$) ตามลำดับ เมื่อพิจารณาพบว่า การดูดซับนั้นเกิดขึ้นเองได้ดีและคายความร้อนในธรรมชาติ การกำจัดสีย้อมเมทิลบลูมีสาเหตุมาจากพันธะไฮโดรเจนและปฏิกิริยาไอออนิก ยิ่งกว่านั้น BPF สามารถนำมาใช้ใหม่ได้ง่ายและความสามารถในการดูดซับประมาณ 92 เปอร์เซ็นต์ ของค่าเริ่มต้น ความสามารถในการดูดซับความอิ่มตัวหลังจากใช้ซ้ำห้าครั้ง [32]



รูปที่ 2.22 สเปกตรัมการดูดกลืนแสงของสารละลายเมทิลบลูหลังจากเติม BPF ที่เวลาต่างๆ [32]

ในปีค.ศ. 2013 P. Panneerselvam และคณะ ได้ศึกษาการกำจัดสีย้อมโรดามีนบี ด้วยการใช้ ถ่านกัมมันต์ที่ทำจากกะลาปาล์มเคอร์เนลและเคลือบด้วยอนุภาคนาโนออกไซด์ของเหล็ก จากการทดลอง พบว่าเมื่อใช้ตัวดูดซับ Fe_3O_4 ปริมาณ 0.2 กรัม เพื่อกำจัดสีย้อม Rhodamine B ที่มีความเข้มข้น 100 มิลลิกรัมต่อลิตร ที่อุณหภูมิ 303 เคลวิน เป็นเวลา 3 ชั่วโมง มีรอบการปั่นกววน 100 รอบต่อนาที สามารถกำจัดสีย้อมได้ถึง 44.5 เปอร์เซ็นต์ แสดงดังรูปที่ 2.23 [33]

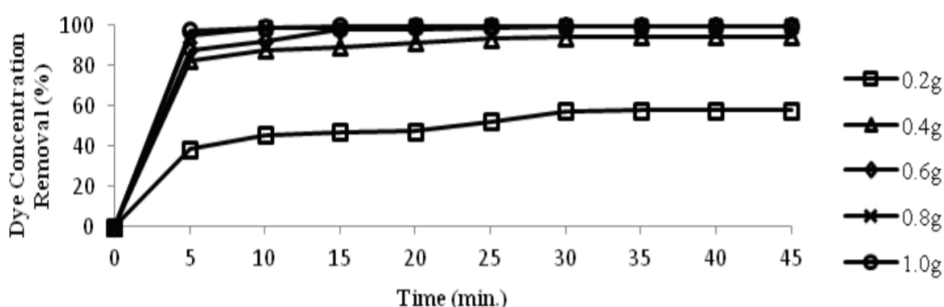


รูปที่ 2.23 แสดงเปอร์เซ็นต์การกำจัดสีย้อมลงบน PKSAC, Fe_3O_4 และ PKSAC- Fe_3O_4 [33]

ในปีค.ศ. 2015 Elias Ranjbari และคณะ ได้ศึกษาอนุภาคนาโนออกไซด์ของแม่เหล็กออกไซด์เคลือบ hemi/ad-micelle SDS (MHAMS-MIONPs) ถูกใช้เป็นตัวดูดซับสีของ Rhodamine B (RB) และ Rhodamine 6G (Rh6G) การศึกษาแสดงให้เห็นว่าความสามารถในการดูดซับสูงสุดสำหรับโรดามีนบีและโรดามีน 6จี คือ 385 และ 323 มิลลิกรัมต่อกรัม ตามลำดับ สำหรับ MHAMS-MIONP ที่ใช้ในการดูดซับโรดามีนบีและโรดามีน 6จี ภายใต้สภาพที่เหมาะสม (ค่าพีเอช 2 ปริมาณ MHAMS-MIONPs 90 มิลลิกรัม ปริมาตรของตัวทำละลาย 2.6 มิลลิลิตร ของกรดอะซิติก 3% ใน acetonitrile) สกัดแยกได้ 0.5 มิลลิกรัมต่อลิตร ที่ 98 เปอร์เซ็นต์ และ 99 เปอร์เซ็นต์ ด้วยปัจจัยความเข้มข้นเท่ากับ 327 และ 330 ตามลำดับ ข้อจำกัดของการตรวจจับที่ได้รับสำหรับสีโรดามีนนั้นถูกนำไปใช้อย่างประสบความสำเร็จสำหรับการกำจัดและการตรวจหาร่องรอยของโรดามีนบีและโรดามีน 6จี ในตัวอย่างสิ่งแฉดลุ่มและน้ำเสีย [34]

ในปี ค.ศ. 2012 Kah Aik Tan และคณะได้ศึกษาการเตรียมอนุภาคนาโนแม่เหล็ก Fe_3O_4 จากการตกตะกอนทางเคมีของเกลือ Fe^{2+} และเกลือ Fe^{3+} จากสารละลายที่เป็นน้ำด้วยสารละลายแอมโมเนีย เพื่อศึกษาความเป็นไปได้ในการใช้ขั้วไฟฟ้าแบบเปิดเคลือบด้วยอนุภาคนาโนแม่เหล็กเฟอร์ริกออกไซด์ Fe_3O_4 สำหรับการดูดซับเมทิลีนบลู (MB) บนขั้วไฟฟ้าแบบเปิดเคลือบด้วยเฟอร์ริกออกไซด์ (Fe_3O_4 -MCP) ได้ถูกศึกษาภายใต้เงื่อนไข ค่าพีเอชในช่วง 3 ถึง 8 ปริมาณตัวดูดซับ 0.2 ถึง 1.0 กรัม ความเข้มข้นเริ่มต้น 100 ถึง 250 มิลลิกรัมต่อลิตร จากการศึกษพบว่า การดูดซับของสีย้อม MB นั้นขึ้นอยู่กับค่าความเป็นกรด

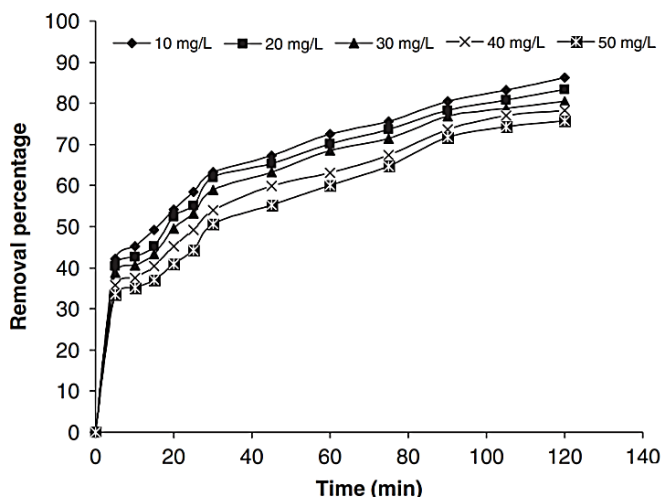
ต่างและประสิทธิภาพในการกำจัดความเข้มข้นของสีจะสูงขึ้นที่ค่าพีเอช 6.0 จลนศาสตร์การดูดซับถูกแสดงด้วย pseudo-first-order และ pseudo-second-order ตามลำดับ ผลการวิจัยพบว่าการเคลือบ Fe_3O_4 บนผงซังข้าวโพดข้าวโพดเพิ่มการกำจัดความเข้มข้นของสีย้อมในกระบวนการดูดซับ และจากการศึกษาผลกระทบของปริมาณการดูดซับสีย้อม MB โดยใช้ปริมาณตัวดูดซับ 0.2 - 1.0 กรัมต่อ 100 มิลลิลิตร ในสารละลายตัวอย่าง สำหรับสีย้อมความเข้มข้นเริ่มต้น 250 มิลลิกรัมต่อลิตร ที่อุณหภูมิ $\pm 27^\circ\text{C}$ ความเร็วในการเขย่า 200 รอบต่อนาที และค่าพีเอช 6.0 ผลการทดลองแสดงดังรูปที่ 2.24 จากผลการทดลองแสดงให้เห็นว่าประสิทธิภาพการดูดซับสีย้อมเพิ่มขึ้นจาก 57.79 เป็น 99.89 เปอร์เซ็นต์เนื่องจากมีปริมาณของตัวดูดซับเพิ่มขึ้นจาก 0.2 ถึง 1.0 กรัมต่อ 100 มิลลิลิตร ตามลำดับ ในแต่ละช่วงเวลาสมดุล เนื่องจากเมื่อปริมาณสารดูดซับเพิ่มขึ้นพื้นที่ผิวบนตัวดูดซับจะเพิ่มขึ้นด้วย ดังนั้นพื้นที่การดูดซับ MB จากสารละลายน้ำจึงมีมากขึ้น แต่ในเวลาสมดุลประสิทธิภาพการดูดซับสีย้อมจะลดลงเมื่อปริมาณตัวดูดซับสูงขึ้น โดยลดลงจาก 84.58 มิลลิกรัมต่อกรัม เป็น 28.44 มิลลิกรัมต่อกรัม เนื่องจากปริมาณของตัวดูดซับเพิ่มขึ้นจาก 0.2 เป็น 1.0 กรัมต่อ 100 มิลลิลิตร อาจเกิดจากการซ้อนทับกันหรือการรวมตัวของพื้นที่ผิวดูดซับที่มีให้กับ MB และการเพิ่มความยาวเส้นทางการแพร่ เพราะฉะนั้นปริมาณตัวดูดซับจึงเป็นตัวแปรที่สำคัญมากในการกำหนดความสามารถในการดูดซับ [35]



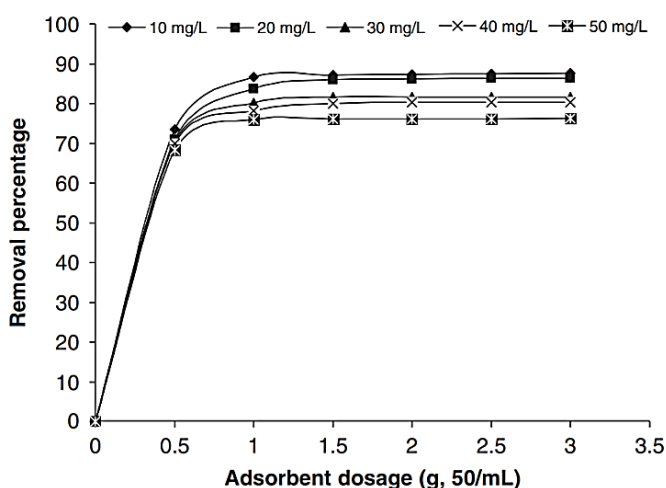
รูปที่ 2.24 ผลของปริมาณตัวดูดซับต่อการกำจัดสีย้อมเมทิลบลูเข้มข้น 250 มิลลิกรัมต่อลิตร [35]

ในปี ค.ศ. 2007 S. Sadhasivam และคณะได้ศึกษาของเสียจากเส้นใยที่เก็บเกี่ยวได้จาก *Trichoderma harzianum* นั้นใช้เป็นตัวดูดซับสำหรับการดูดซับสีย้อมโรดามีน 6จี โดยศึกษาผลของเวลาที่ใช้ในการกวน ความเข้มข้นเริ่มต้นของสีย้อม ปริมาณตัวดูดซับและค่าความเป็นกรด-เบส จากการศึกษาสีย้อมโรดามีน 6จี ความเข้มข้นในช่วง 10 ถึง 50 มิลลิกรัมต่อลิตร ขนาดของตัวดูดซับ 1.0 กรัมต่อ 50 มิลลิลิตร และค่าพีเอช 8.0 พบว่าประสิทธิภาพการกำจัดสีย้อมลดลงเมื่อเพิ่มความเข้มข้นเริ่มต้นของสีย้อม และปริมาณการใช้สีย้อมเพิ่มขึ้นเมื่อเวลาสัมผัสเพิ่มขึ้นแต่ยังคงไม่เปลี่ยนแปลงเมื่อถึงเวลาสมดุล แสดงดังรูปที่ 2.25 ประสิทธิภาพการกำจัดสีย้อมที่เวลาสมดุลลดลงจาก 86.26 เปอร์เซ็นต์ ถึง 75.73 เปอร์เซ็นต์ สำหรับความเข้มข้นของสีย้อม 10 ถึง 50 มิลลิกรัมต่อลิตร เห็นได้ชัดว่าประสิทธิภาพการกำจัดสีย้อมขึ้นอยู่กับความเข้มข้นเริ่มต้นของสี เวลาสมดุลสำหรับตัวดูดซับคือ 120 นาทีที่ความเข้มข้นสีย้อมทั้งหมดที่

ศึกษา ผลของเวลาบั่นกวนต่อการดูดซับนั้นเป็นเส้นโค้งที่เรียบเนียนและต่อเนื่องซึ่งนำไปสู่ความอิ่มตัวของสีซึ่งบอกถึงการครอบคลุม monolayer ของสีที่ย้อมที่เป็นไปได้บนพื้นผิวของตัวดูดซับ และผลการศึกษาปริมาณของตัวดูดซับต่อประสิทธิภาพการดูดซับสีย้อมได้นำเสนอในรูปที่ 2.26 พบว่าการกำจัดสีย้อมขั้นต่ำและสูงสุดอยู่ที่ 68.33 ถึง 73.34 เปอร์เซ็นต์ และ 76.21 ถึง 87.60 เปอร์เซ็นต์ ที่ขนาด 0.5 และ 3.0 กรัมต่อ 50 มิลลิลิตร ตามลำดับ ผลการศึกษาชี้ให้เห็นว่าการเพิ่มปริมาณตัวดูดซับเป็นการเพิ่มประสิทธิภาพการดูดซับสีย้อมเนื่องจากมีพื้นที่ผิวต่อปริมาตรมากขึ้น [36]



รูปที่ 2.25 ผลของเวลาบั่นกวนและความเข้มข้นเริ่มต้นของสีย้อมในช่วง 10 ถึง 50 มิลลิกรัมต่อลิตร [36]

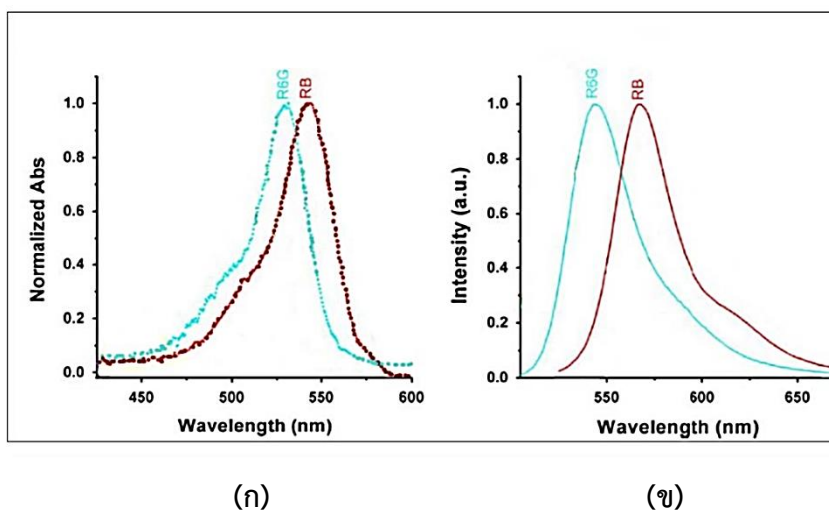


รูปที่ 2.26 ผลของปริมาณตัวดูดซับต่อการกำจัดสีย้อม [36]

ในปี ค.ศ. 2012 Yin-Yin Xu และคณะ ได้ศึกษาการสังเคราะห์อนุภาคนาโนแม่เหล็กออกไซด์ $\text{Fe}_3\text{O}_4@PAA$ NPs และศึกษาคุณลักษณะโดย TEM, FT-IR, VSM และ XRD ผลการศึกษาคุณลักษณะระบุ

ว่า PAA เหมาะสมสำหรับการเคลือบผิวบนพื้นผิวของ Fe_3O_4 และไม่ก่อให้เกิดการเปลี่ยนแปลงใด ๆ ในคุณสมบัติแม่เหล็ก $\text{Fe}_3\text{O}_4@$ PAA NPs ถูกใช้เพื่อดูดซับ สีย้อมโรดามีน 6จี (Rh6G) เป็นตัวอย่างสีย้อมที่เป็นมลพิษในน้ำ จากข้อมูลพบว่าสมมูลการดูดซับเกิดขึ้นในช่วงเวลา 20 นาที แสดงให้เห็นว่าตัวดูดซับที่เตรียมไว้แสดงอัตราการดูดซับที่รวดเร็วมากและผลการวิจัยพบว่าตัวดูดซับแม่เหล็กมีประสิทธิภาพในการกำจัดสีย้อมพื้นฐานในตัวอย่างจริง [37]

ในปี ค.ศ. 2013 Xian-Fu Zhang และคณะได้ศึกษาค่าฟลูออเรสเซนซ์ควอนตัมยิลด์ของวัสดุฟลูออเรสเซนซ์โรดามีน 6จี และโรดามีนบี ในตัวทำละลายเอทานอล โดยใช้เทคนิค Time-correlated single photon counting (TCSPC) จากการทดลองพบว่าโรดามีน 6จี มีฟิสิกการดูดกลืนและฟิสิกการเปล่งแสงฟลูออเรสเซนซ์ 527 นาโนเมตร และ 552 นาโนเมตร ตามลำดับ แสดงดังรูปที่ 2.27 และมีค่าฟลูออเรสเซนซ์ควอนตัมยิลด์เท่ากับ 0.95 ($\Phi_F = 0.95$) สำหรับโรดามีนบี มีฟิสิกการดูดกลืน 539 นาโนเมตร ฟิสิกการเปล่งแสงฟลูออเรสเซนซ์ 571 นาโนเมตร และมีค่าฟลูออเรสเซนซ์ควอนตัมยิลด์เท่ากับ 0.66 ($\Phi_F = 0.66$) [38]



รูปที่ 2.27 (ก) แสดงฟิสิกการดูดกลืนแสงของโรดามีน 6จี (Rh6G) และโรดามีนบี (RhB)

(ข) แสดงฟิสิกการเปล่งแสงของโรดามีน 6จี (Rh6G) และโรดามีนบี (RhB)

บทที่ 3

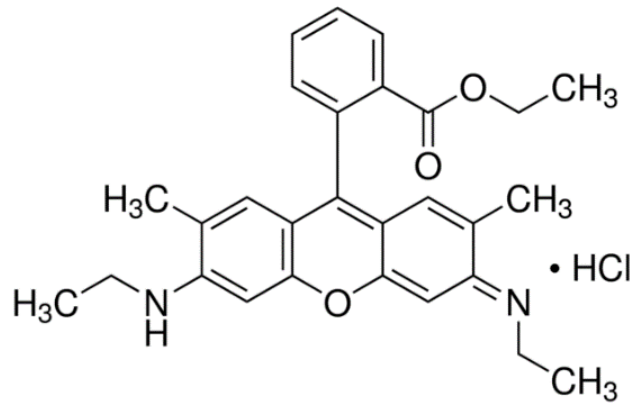
วิธีดำเนินงานวิจัย

ในบทนี้จะอธิบายถึงเครื่องมือและระบบที่เกี่ยวข้องกับงานวิจัย รวมถึงวิธีดำเนินงานวิจัย โดยมีเนื้อหาแบ่งออกเป็น 5 หัวข้อหลัก ดังนี้

1. วัสดุที่ใช้ในงานวิจัย
2. อุปกรณ์ที่ใช้ในงานวิจัย
3. ระบบวัดที่เกี่ยวข้องกับงานวิจัย
4. การเตรียมสารละลายสีย้อมโรดามีน 6จี และสารคอลลอยอนุภาคนาโนแม่เหล็ก Fe₃O₄
5. การศึกษาปัจจัยที่ส่งผลต่อการดูดซับสีย้อมโรดามีน 6จี ด้วย Fe₃O₄

3.1 วัสดุที่ใช้ในงานวิจัย

ในงานวิจัยนี้ผู้วิจัยได้เลือกใช้สารเรืองแสงในกลุ่มสารอินทรีย์ (Organic dyes) เนื่องจากมีประสิทธิภาพในการเปล่งแสงฟลูออเรสเซนส์สูงและมีราคาถูก ผู้วิจัยได้จัดเตรียมสารละลายจากสารเรืองแสงโรดามีน 6จี (Rhodamine 6G: Rh6G) (รุ่น CAS. 989-38-8 จากบริษัท SIGMA-ALDRICH) ซึ่งมีโครงสร้างดังรูปที่ 3.1 และมีสมบัติดังตารางที่ 3.1 [39]



รูปที่ 3.1 โครงสร้างของสารเรืองแสง Rhodamine 6G [39]

ตาราง 3.1 สมบัติพื้นฐานของสารเรืองแสง Rhodamine 6G

สมบัติ	Rhodamine 6G
สูตรเคมี	C ₂₈ H ₃₁ N ₂ O ₃ Cl
มวลโมเลกุล (กรัม/โมล)	497.02
ค่าฟลูออเรสเซนส์ควอนตัมยิลด์	0.95
ความยาวคลื่นที่เกิดการดูดกลืนแสงและเปล่งแสง (นาโนเมตร)	527 และ 552

ผู้วิจัยได้ทำการศึกษาค่าฟลูออเรสเซนส์ควอนตัมยิลด์ของสารสี้อมเรืองแสงโรดามีน 6จี (Rh6G) ผสมกับอนุภาคนาโนแม่เหล็ก Fe_3O_4 (CAS. 1317-61-9 จากบริษัท SIGMA-ALDRICH) ดังรูปที่ 3.2 และมีสมบัติดังตารางที่ 3.2 [40]



รูปที่ 3.2 อนุภาคนาโนแม่เหล็ก Fe_3O_4 [40]

ตาราง 3.2 สมบัติพื้นฐานของอนุภาคนาโนแม่เหล็ก

สมบัติ	อนุภาคนาโนแม่เหล็ก
ชื่อทางเคมี	iron(II) iron(III) oxide
สูตรเคมี	Fe_3O_4
มวลโมเลกุล	231.53
ขนาดของอนุภาค (นาโนเมตร)	50-100
ความหนาแน่น (กรัมต่อมิลลิลิตร)	4.8-5.1
จุดหลอมเหลว (องศาเซลเซียส)	1538

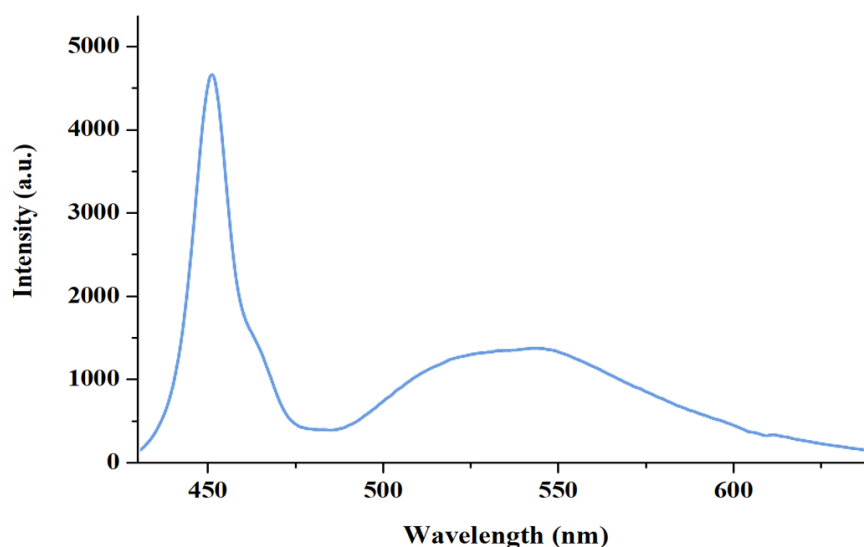
ในงานวิจัยนี้ผู้วิจัยได้ทำการวัดค่าฟลูออเรสเซนส์ควอนตัมยิลด์ในรูปแบบของสารละลาย โดยได้เลือกตัวทำละลายเป็นน้ำปราศจากไอออน หรือน้ำ DI เป็นน้ำที่ผ่านการกรองไอออน ใช้เรซินเป็นตัวกรอง โดยผ่านการแลกเปลี่ยนไอออน (Ion Exchange) เพื่อจับทั้งไอออนบวกและไอออนลบออกจากน้ำ จึงทำให้ได้น้ำไม่มีไอออนหลงเหลืออยู่ จึงเป็นน้ำที่มีความบริสุทธิ์สูงเพราะโมเลกุลที่เหลืออยู่จะมีเพียงโมเลกุลของน้ำ H_2O เท่านั้น จึงเหมาะสำหรับนำมาใช้เป็นตัวทำละลายในสารสี้อมไวแสง Rh6G [41]

3.2 อุปกรณ์ที่ใช้ในงานวิจัย

ในงานวิจัยนี้ผู้วิจัยได้จัดเตรียมอุปกรณ์เพื่อใช้สำหรับเตรียมสารละลาย มีรายละเอียดดังนี้

- 1) บีกเกอร์ (Beaker) ชนิดแก้วใส สำหรับบรรจุสารละลาย จากบริษัท PYREX

- 2) ข้อนตักสารเคมี สำหรับตักสารเคมีเพื่อใช้ในการทดลอง
- 3) เครื่องชั่งดิจิตอล (รุ่น Pioneer จากบริษัท OHAUS) ใช้สำหรับชั่งสารละลาย
- 4) แท่งแม่เหล็กกวนสาร (Magnetic stirrer bar) ขนาด 30 มิลลิเมตร จากบริษัท Fisher scientific ใช้งานร่วมกับเครื่องกวนสาร (Magnetic stirrer)
- 5) เครื่องกวนสาร (Magnetic Stirrer) สำหรับกวนสารละลาย จากบริษัท Fisher scientific ใช้แรงดันไฟฟ้า 230 โวลต์ ใช้กระแสไฟฟ้า 2.7 แอมแปร์
- 6) หลอดไมโครเซนติฟิว (Micro centrifuge tube) สำหรับบรรจุสารละลาย รุ่น TUBE-200-C จากบริษัท Extregene ขนาด 2 มิลลิลิตร ใช้งานร่วมกับเครื่องปั่นเหวี่ยงแยกตะกอน
- 7) เครื่องปั่นเหวี่ยงแยกตะกอน (Centrifuge) สำหรับแยกตัวอย่างส่วนที่เป็นของแข็งออกจากส่วนที่เป็นของเหลว รุ่น Force 1418 ใช้แรงดันไฟฟ้า 230 โวลต์ ใช้กระแสไฟฟ้า 0.6 แอมแปร์
- 8) คิวเวทพลาสติก (Plastic cuvette) สำหรับบรรจุสารละลายในการวัดสเปกตรัมแสง ปริมาตร 2.5 มิลลิลิตร จากบริษัท Brain
- 9) หลอดไดโอดเปล่งแสง (Light Emitting Diode : LED) ในงานวิจัยนี้ผู้วิจัยได้เลือกใช้หลอดไดโอดเปล่งแสงที่ให้แสงสีขาว โดยไดโอดเปล่งแสงสีขาวเกิดจากไดโอดเปล่งแสงสีน้ำเงินถูกเคลือบด้วยสารเรืองแสงฟอสเฟอร์ขนาดกำลังไฟฟ้า 1.5 วัตต์ ให้ความยาวคลื่นในช่วง 430 – 630 นาโนเมตร แสดงดังรูปที่ 3.3 เพื่อศึกษาประสิทธิภาพการกำจัดสีย้อมโดยใช้แสงขาวเป็นตัวเร่งปฏิกิริยา



รูปที่ 3.3 กราฟแสดงสเปกตรัมของแสงสีขาวที่ความเข้มแสง 50 ลักซ์

- 10) แหล่งจ่ายไฟ (Power Supply) แหล่งจ่ายไฟที่เปลี่ยนจากไฟฟ้ากระแสสลับให้เป็นไฟฟ้ากระแสตรงเพื่อป้องกันเข้าสู่โหลด สามารถควบคุมแรงดันไฟฟ้าและกระแสไฟฟ้าที่เอาต์พุตให้มีค่าคงที่ได้ ใช้สำหรับจ่ายไฟกระแสตรงให้กับวงจร
- 11) วงจรไฟฟ้า (แสดงหลักการทำงานและภาพวงจรในบทที่ 2 หัวข้อ 2.6)

12) ลักซ์มิเตอร์ (Lux meter) (รุ่น UT380 Series) เป็นเครื่องมือวัดปริมาณของแสงที่มองเห็นในพื้นที่ที่กำหนดทดสอบความสว่าง ในหน่วยของ LUX โดย 1 ลักซ์ มีค่าเท่ากับความสว่างของพื้นผิวหนึ่งเมตร ในงานวิจัยนี้ใช้ลักซ์มิเตอร์สำหรับวัดความเข้มแสงของหลอดไดโอดเปล่งแสง

3.3 ระบบวัดที่เกี่ยวข้องกับงานวิจัย

ในหัวข้อนี้จะอธิบายถึงระบบต่างๆ ที่ใช้ในงานวิจัย ได้แก่ ระบบวัดการดูดกลืนแสงของสารละลาย ระบบวัดการเปล่งแสงของสารละลาย และระบบการฉายแสงขาว รวมถึงอุปกรณ์ที่ใช้ในงานวิจัย ดังแสดงตามหัวข้อต่อไปนี้

3.3.1 ระบบวัดการดูดกลืนแสงของสารละลาย

ในการทดลองเพื่อศึกษาสมบัติการดูดกลืนแสงของสารละลาย มีอุปกรณ์ที่ใช้ดังนี้

1) แหล่งกำเนิดแสง ใช้แหล่งกำเนิดแสงจากหลอดไฟทั้งสแตน จากบริษัท Schott Megalight 100 ให้สเปกตรัมแสงในย่านความยาวคลื่น 400 ถึง 900 นาโนเมตร ใช้แรงดันไฟฟ้า 12 โวลต์ ใช้กระแสไฟฟ้า 0.9 แอมแปร์

2) เส้นใยแก้วนำแสงขนาดเส้นผ่านศูนย์กลาง 0.8 มิลลิเมตร ใช้สำหรับนำแสงจากแหล่งกำเนิดแสงมายังสารตัวอย่าง

3) คิวเวทพลาสติก รุ่น Macro cuvette จากบริษัท Brain ใช้บรรจุสารละลาย ในการวัดสเปกตรัมแสง แทนจับยึดคิวเวท ใช้สำหรับยึดจับคิวเวทและต่อกับสายใยแก้วนำแสง

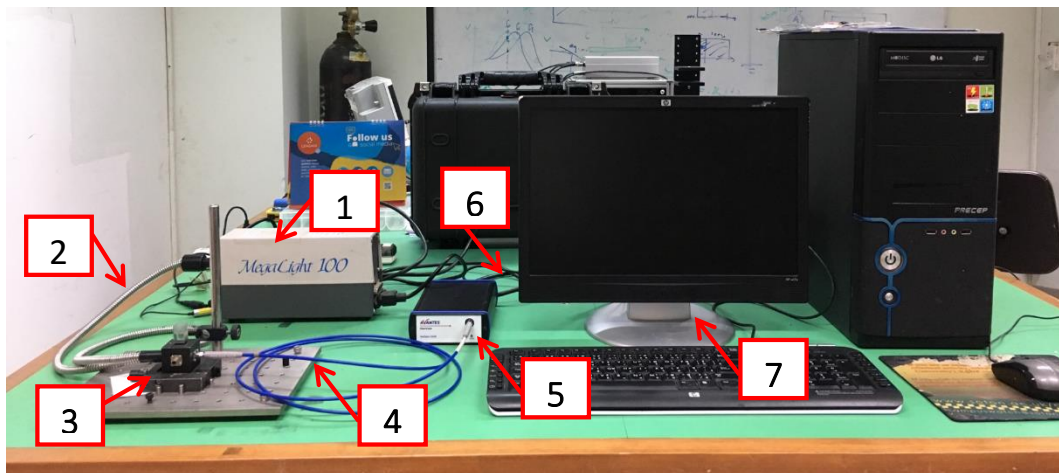
4) เส้นใยแก้วนำแสง ขนาดเส้นผ่านศูนย์กลาง 600 ไมโครเมตร ใช้สำหรับนำส่งแสงจากสารตัวอย่างในคิวเวทมายังเครื่องสเปกโตรมิเตอร์

5) เครื่องสเปกโตรมิเตอร์ รุ่น ULS2048XL-EVO จากบริษัท AvaSpec ใช้สำหรับวัดสเปกตรัมแสง ในย่านความยาวคลื่น 200 ถึง 1100 นาโนเมตร

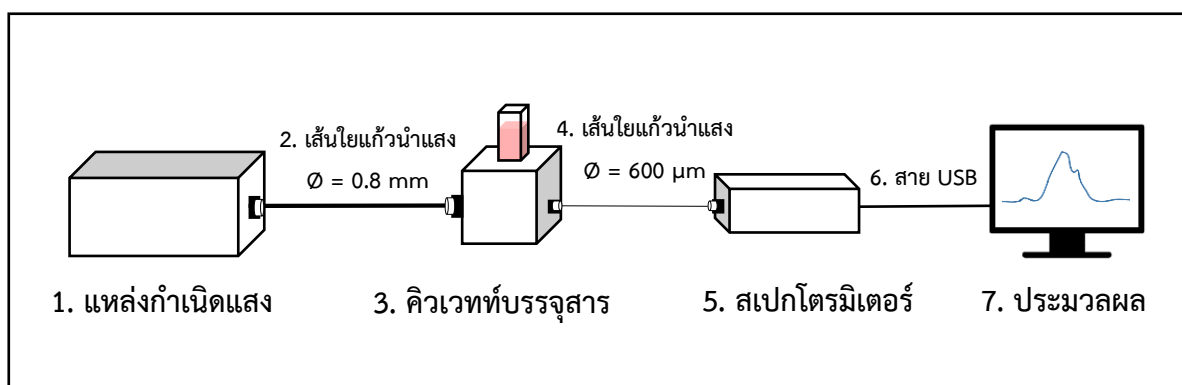
6) สาย USB ใช้สำหรับนำส่งข้อมูลที่ได้จากการวัดเข้าสู่เครื่องคอมพิวเตอร์

7) เครื่องคอมพิวเตอร์ ใช้สำหรับประมวลผลค่าการดูดกลืนแสง ด้วยโปรแกรม Avasoft 8.1

ผู้วิจัยได้จัดระบบการวัดการดูดกลืนแสงดังรูปที่ 3.4 และมีรายละเอียดดังนี้



(ก)



(ข)

รูปที่ 3.4 ระบบวัดการดูดกลืนแสงของสารละลาย (ก) ภาพจริง (ข) แผนภาพระบบวัด

จากแผนภาพระบบการวัดสมบัติการดูดกลืนแสงของสารละลาย รูปที่ 3.4 แสงจากแหล่งกำเนิดแสงทั้งสแตนจะเดินทางผ่านสายใยแก้วนำแสงขนาดเส้นผ่านศูนย์กลาง 0.8 มิลลิเมตร เพื่อนำแสงจากแหล่งกำเนิดแสงมายังสารตัวอย่างที่อยู่ในคิวเวทท์ แสงจะตกกระทบกับสารตัวอย่างและส่องผ่านออกมา ซึ่งแสงที่ผ่านออกมานั้นจะถูกนำเครื่องสเปกโตรมิเตอร์ด้วยสายใยแก้วนำแสงขนาดเส้นผ่านศูนย์กลาง 600 ไมโครเมตร แสงที่เข้าเครื่องสเปกโตรมิเตอร์จะถูกวิเคราะห์ส่งเข้าสู่เครื่องคอมพิวเตอร์ผ่านสาย USB และทำการวิเคราะห์ค่าการดูดกลืนแสงของสารละลายด้วยโปรแกรม Avasoft 8.1 โดยสมการ

$$A = -\log \frac{I}{I_0} \quad (3.1)$$

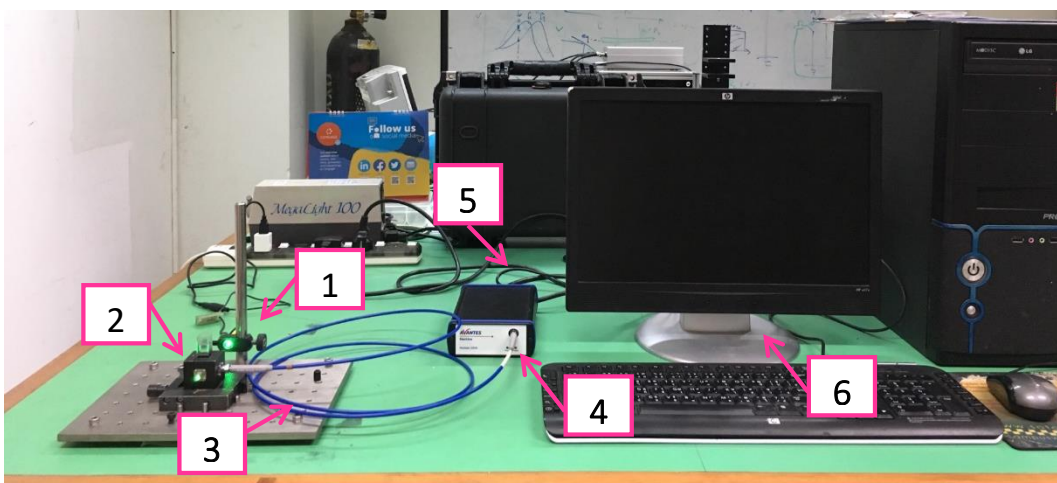
เมื่อ A คือ ค่าการดูดกลืนแสงของสารละลาย
 I คือ ปริมาณแสงที่ผ่านออกจากคิวเวทท์
 I_0 คือ ปริมาณแสงที่ผ่านเข้าไปในคิวเวทท์

3.3.2 ระบบวัดการเปล่งแสงของสารละลาย

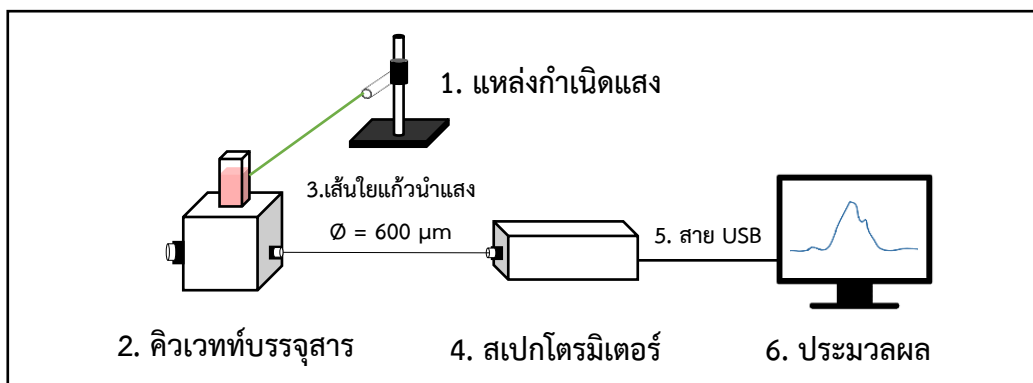
ในการทดลองเพื่อศึกษาสมบัติการเปล่งแสงของสารละลาย มีอุปกรณ์ที่ใช้ดังนี้

- 1) แหล่งกำเนิดแสง ใช้แหล่งกำเนิดแสงจากเลเซอร์ จากบริษัท Thorlabs GmbH มีความเข้มแสงสูงสุดที่ความยาวคลื่น 520 นาโนเมตร ให้แสงสีเขียว ในการกระตุ้นสารเรืองแสงโรดามีน 6จี
- 2) คิวเวทพลาสติก (Brain-Macro cuvette) และแท่นจับยึดคิวเวท
- 3) สายใยแก้วนำแสง ขนาดเส้นผ่านศูนย์กลาง 600 ไมโครเมตร
- 4) เครื่องสเปกโตรมิเตอร์
- 5) สาย USB
- 6) เครื่องคอมพิวเตอร์
- 7) เครื่องวัดดัชนีหักเห (ATAGO - Pocket refractometer) ใช้สำหรับวัดดัชนีหักเหของสารในช่วง 1.3306 – 1.5284

ในการวัดสเปกตรัมการเปล่งแสงของสารละลาย ผู้วิจัยได้จัดระบบการวัดการเปล่งแสงดังรูปที่ 3.5 ซึ่งมีรายละเอียดดังนี้



(ก)



(ข)

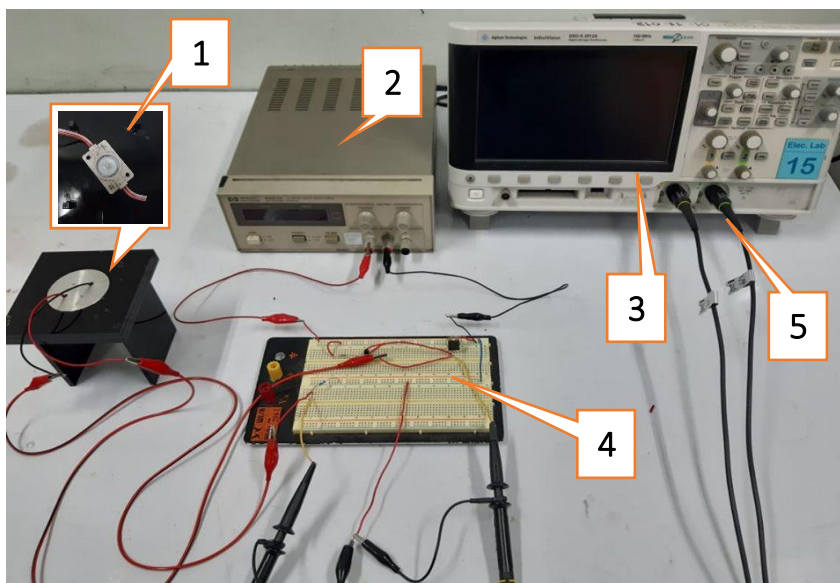
รูปที่ 3.5 ระบบวัดการเปล่งแสงของสารละลาย (ก) ภาพจริง (ข) แผนภาพระบบวัด

จากแผนภาพระบบการวัดสมบัติการดูดกลืนแสงของสารละลาย รูปที่ 3.5 แสงจากแหล่งกำเนิดแสงเลเซอร์จะตกกระทบกับสารตัวอย่างที่อยู่ในควิเวทท์ในทิศทางมุม 90 องศา และส่องผ่านออกมาเข้าสู่เครื่องสเปกโตรมิเตอร์ด้วยสายใยแก้วนำแสงขนาดเส้นผ่านศูนย์กลาง 600 ไมโครเมตร แสงที่เข้าเครื่องสเปกโตรมิเตอร์จะถูกวิเคราะห์ส่งเข้าสู่เครื่องคอมพิวเตอร์ผ่านสาย USB และทำการวิเคราะห์ค่าการแปลงแสงของสารละลายด้วยโปรแกรม Avasoft 8.1 เช่นกัน

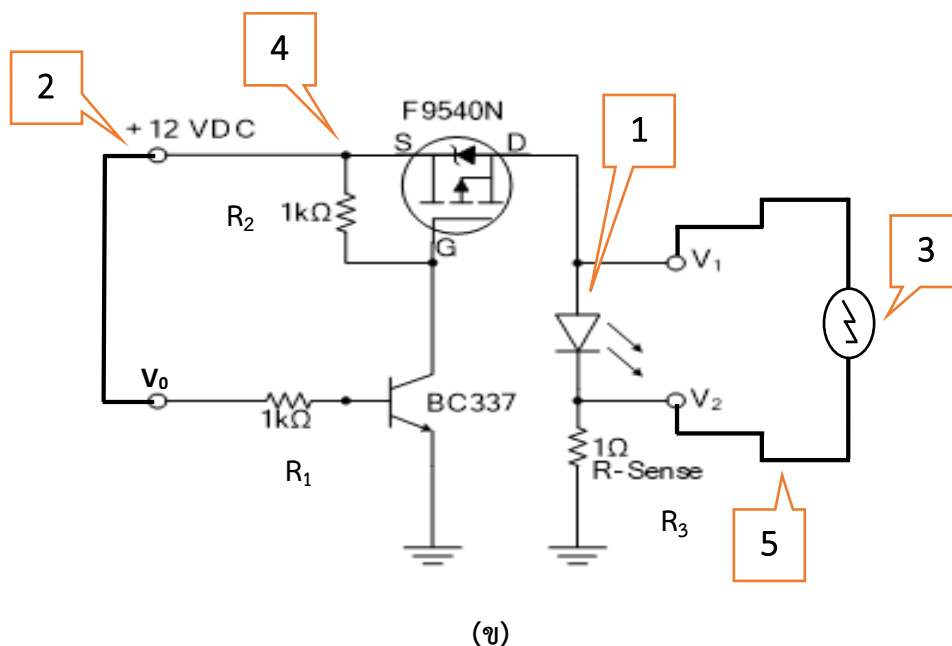
3.3.3 ระบบการฉายแสงแบบต่อเนื่อง

เพื่อฉายแสงให้สารละลายโรดามีน 6จี ที่ถูกดูดซับด้วยอนุภาคเหล็กออกไซด์ให้เร่งการเกิดปฏิกิริยาโฟโตคะตะไลติก มีอุปกรณ์ดังแสดงในรูปที่ 3.6

- 1) หลอดไดโอดเปล่งแสงสีขา
- 2) แหล่งจ่ายไฟ
- 3) ออสซิลโลสโคป
- 4) วงจรอิเล็กทรอนิกส์ (หลักการทำงานแสดงในบทที่ 2 หัวข้อ 2.6)
- 5) สายจับสัญญาณจากออสซิลโลสโคป



(ก)



รูปที่ 3.6 แสดงระบบการฉายแสงขาวแบบต่อเนื่อง (ก) แผนภาพจริง (ข) แผนภาพจำลอง

3.4 การเตรียมสารละลาย

ผู้วิจัยได้จัดเตรียมสารตัวอย่างเพื่อใช้ในการทดสอบ โดยมีรายละเอียดดังนี้

3.4.1 การเตรียมสารละลายสีย้อม Rh6G

ขั้นตอนการเตรียม

- 1) ชั่งสารสีย้อม Rh6G ปริมาณ 0.0049 กรัม และนำมาทำละลายกับน้ำ DI ปริมาตร 10 มิลลิตร เพื่อเตรียมสารละลายตั้งต้นที่มีความเข้มข้น 1×10^{-3} โมลาร์ (วิธีการคำนวณแสดงในภาคผนวก)
- 2) เจือจางสารตั้งต้นเพื่อเตรียมสารละลาย Rh6G ที่ความเข้มข้นต่าง ๆ ดังตารางที่ 3.3 ปริมาตร 50 มิลลิลิตร

ตารางที่ 3.3 แสดงการเตรียมสารละลาย Rh6G ที่ความเข้มข้นต่าง ๆ

ความเข้มข้นของสารละลาย Rh6G (โมลาร์)	Rh6G ที่ความเข้มข้น 1×10^{-3} โมลาร์	เจือจางด้วยน้ำ DI (mL)
1×10^{-6}	0.1	49.9
2×10^{-6}	0.2	49.8
3×10^{-6}	0.3	49.7
4×10^{-6}	0.4	49.6
5×10^{-6}	0.5	49.5

3.4.2 การเตรียมวัสดุตัวดูดซับอนุภาคนาโนแม่เหล็ก Fe₃O₄

เพื่อศึกษาผลการดูดซับสีย้อม Rh6G ด้วยวัสดุนาโนแม่เหล็ก ผู้วิจัยได้จัดเตรียมสารแขวนลอยนาโนแม่เหล็กที่มีความเข้มข้นในช่วง 100 - 500 มิลลิกรัมต่อลิตร

ขั้นตอนการเตรียม

ชั่งอนุภาคนาโนแม่เหล็ก Fe₃O₄ ปริมาณ 0.005 กรัม ปริมาณ 0.015 กรัม และปริมาณ 0.025 กรัม และนำมาทำละลายกับน้ำ DI ปริมาตร 50 มิลลิตร (วิธีการคำนวณแสดงในภาคผนวก)

3.5 การศึกษาการดูดซับสีย้อมโรดามีน 6จี ด้วย Fe₃O₄

การศึกษาการดูดซับสีย้อมโรดามีน 6จี ด้วยอนุภาคนาโนแม่เหล็ก Fe₃O₄ ผู้วิจัยได้ทำการทดลองโดยแบ่งเป็นหัวข้อต่าง ๆ ดังนี้

3.5.1 การสร้างกราฟมาตรฐานของสารสีย้อม

ในการคำนวณหาประสิทธิภาพการลดลงของสีย้อมจากสมการที่ (2.12) จะต้องทราบตัวแปรค่าความเข้มข้น (C) ซึ่งมีความสัมพันธ์กับค่าการดูดกลืนแสง (A) ดังนั้นเพื่อให้ทราบถึงค่าความสัมพันธ์กับค่าการดูดกลืนแสง จึงต้องมีกราฟมาตรฐาน (Calibration curve) เพื่อแสดงความสัมพันธ์ดังกล่าว

วัตถุประสงค์

เพื่อสร้างกราฟมาตรฐานของความสัมพันธ์เชิงเส้นระหว่างความเข้มข้นกับค่าการดูดกลืน สำหรับการใช้ในการหาค่าความเข้มข้นของสารตัวอย่าง

วิธีการทดลอง

1) นำสารละลายที่ได้จากการจัดเตรียมตารางที่ 3.3 มาวัดสเปกตรัมการดูดกลืนแสง ด้วยเครื่องสเปกโตรมิเตอร์ โดยใช้แหล่งกำเนิดแสงทั้งสแตนด์ ซึ่งมึระบบการวัดดังรูป 3.4

2) นำค่าการดูดกลืนแสงที่ได้ไปสร้างกราฟมาตรฐานระหว่างค่าความเข้มข้นกับความยาวคลื่นที่มีการดูดกลืนแสงสูงสุดของสารเพื่อหาสมการเชิงเส้น

3.5.2 การศึกษาผลของอัตราเร็วในการปั่นกววน

การปั่นกววนเป็นปัจจัยหนึ่งที่มีผลต่อการดูดซับสีย้อม ดังที่กล่าวในหัวข้อ 2.1.2 ดังนั้นในหัวข้อนี้จึงสนใจศึกษาอัตราเร็วในการปั่นกววนที่เหมาะสมเพื่อนำค่าที่ได้มาใช้ในการทดลอง

วัตถุประสงค์

เพื่อหาอัตราเร็วที่เหมาะสมของการปั่นกววน

วิธีการทดลอง

1) นำสารละลายสีย้อม Rh6G เข้มข้น 4×10^{-6} โมลาร์ (จากตาราง 3.3) ผสมกับตัวดูดซับ Fe₃O₄ 100 มิลลิกรัมต่อลิตร ในอัตราส่วน 1:1 ลงในบีกเกอร์

2) ปั่นกวนในที่มืด ภายใต้เงื่อนไขไม่ปั่นกวนสารละลายและปั่นกวนสารละลายโดยใช้ความเร็วรอบการหมุน 1200 รอบต่อนาที และ 1500 รอบต่อนาที ตามลำดับ เป็นเวลา 150 นาที และทำการเก็บสารละลายสีขุ่น 2 มิลลิลิตร ทุกๆ 30 นาที จากนั้นทำการปั่นเหวี่ยงเพื่อแยกตะกอน

3) นำสารละลายสีขุ่นไปวัดสเปกตรัมการดูดกลืนแสงด้วยเครื่องด้วยเครื่องสเปกโตรมิเตอร์ ซึ่งมีระบบการวัดดังรูป 3.4

4) นำค่าการดูดกลืนแสงที่วัดได้ไปหาความเข้มข้น โดยการเทียบจากกราฟมาตรฐาน (จากข้อ 3.5.1) เพื่อหาค่าประสิทธิภาพการดูดซับสีขุ่น จากสมการที่ (2.12)

5) สร้างกราฟความสัมพันธ์ระหว่างอัตราเร็วในการปั่นกวนกับค่าประสิทธิภาพการดูดซับสีขุ่น เพื่อหาอัตราเร็วที่เหมาะสมของการปั่นกวน

3.5.3 การศึกษาผลของเวลาที่มีต่อการดูดซับ

เวลาเป็นอีกปัจจัยหนึ่งที่มีผลต่อการดูดซับสีขุ่น ดังที่กล่าวในหัวข้อ 2.1.1 ดังนั้นในหัวข้อนี้จึงสนใจศึกษาเวลาที่เหมาะสมในการเกิดกระบวนการดูดซับ (Treatment time) และนำค่าที่ได้มาใช้ในการทดลอง

วัตถุประสงค์

เพื่อหาเวลาที่เหมาะสมในการดูดซับ

วิธีการทดลอง

1) นำสารละลายสีขุ่น Rh6G เข้มข้น 5×10^{-6} โมลาร์ (จากตาราง 3.3) ผสมกับตัวดูดซับคอลลอยแม่เหล็ก Fe_3O_4 100 – 500 มิลลิกรัมต่อลิตร ในอัตราส่วน 1:1 ลงในปิ๊กเกอร์

2) ปั่นกวนในที่มืดโดยใช้ความเร็วรอบการหมุนที่ดีที่สุด เป็นเวลา 150 นาที และทำการเก็บสารละลายสีขุ่น 2 มิลลิลิตร ทุก ๆ 30 นาที จากนั้นทำการปั่นเหวี่ยงเพื่อแยกตะกอน

3) นำสารละลายสีขุ่นไปวัดสเปกตรัมการดูดกลืนแสงด้วยเครื่องด้วยเครื่องสเปกโตรมิเตอร์ ซึ่งมีระบบการวัดดังรูป 3.4

4) นำค่าการดูดกลืนแสงที่วัดได้ไปหาความเข้มข้น โดยการเทียบจากกราฟมาตรฐาน (จากข้อ 3.5.1) เพื่อหาค่าประสิทธิภาพการดูดซับสีขุ่น จากสมการที่ (2.12)

5) สร้างกราฟความสัมพันธ์ระหว่างเวลากับค่าประสิทธิภาพการดูดซับสีขุ่น เพื่อหาเวลาที่เหมาะสมในการดูดซับ

3.5.4 การศึกษาผลของความเข้มข้นของสารละลาย Rh6G

การเพิ่มความเข้มข้นของสารละลายสีขุ่นส่งผลให้ความสามารถในการดูดซับสีขุ่นเพิ่มขึ้น แต่หากใช้สารละลายสีขุ่นที่มากเกินไปจะทำให้ความสามารถในการดูดซับ (q_e) มีค่าลดลง อธิบายดังสมการ (2.11) ดังนั้นจึงต้องคำนึงถึงความเข้มข้นที่เหมาะสมของสารละลายสีขุ่นด้วย

วัตถุประสงค์

เพื่อหาผลของความเข้มข้นของสารสีย้อมที่มีต่อประสิทธิภาพการดูดซับสีย้อมและค่าฟลูออเรสเซนซ์ควอนตัมยิลด์

วิธีการทดลอง

1) นำสารละลายสีย้อม Rh6G เข้มข้นดังตาราง 3.3 ผสมกับตัวดูดซับ Fe_3O_4 ที่เตรียมจากข้อ 3.4.2 ในอัตราส่วน 1:1 ลงในบีกเกอร์

2) ปั่นกวนในที่มืดด้วยอัตราเร็ว 1500 รอบต่อนาที ทำการทดลองเป็นเวลา 150 นาที และทำการเก็บสารละลายสีย้อม 2 มิลลิลิตร ทุกๆ 30 นาที จากนั้นทำการปั่นเหวี่ยงเพื่อแยกตะกอน

3) นำสารละลายสีย้อมไปวัดสเปกตรัมการดูดกลืนแสงด้วยเครื่องด้วยเครื่องสเปกโตรมิเตอร์ ซึ่งมีระบบการวัดดังรูป 3.4 นำค่าการดูดกลืนแสงที่วัดได้ไปหาความเข้มข้น โดยการเทียบจากกราฟมาตรฐาน (จากข้อ 3.5.1) เพื่อหาค่าประสิทธิภาพการดูดซับสีย้อม จากสมการที่ (2.12)

4) นำสารละลายสีย้อมไปวัดสเปกตรัมการเปล่งแสง ด้วยเครื่องสเปกโตรมิเตอร์ โดยใช้แหล่งกำเนิดแสงจากเลเซอร์ ความยาวคลื่น 520 นาโนเมตร ให้แสงสีเขียว ซึ่งมีระบบการวัดดังรูป 3.5

5) วัดค่าดัชนีหักเหแสง (Refractive index) ของสารละลายสีย้อม ด้วยเครื่องวัดดัชนี รุ่น Pocket refractometer จากบริษัท ATAGO

6) นำค่าที่ได้จากข้อ 3 - 5 ไปคำนวณหาค่าฟลูออเรสเซนซ์ควอนตัมยิลด์ จากสมการที่ (2.27)

7) สร้างกราฟความสัมพันธ์ระหว่างประสิทธิภาพการดูดซับสีย้อมกับค่าฟลูออเรสเซนซ์ควอนตัมยิลด์ เพื่อวิเคราะห์ผลของเข้มแสงที่ปลดปล่อยออกมาว่าส่งผลต่อค่าฟลูออเรสเซนซ์ควอนตัมยิลด์อย่างไร

3.5.5 การศึกษาผลของปริมาณตัวดูดซับ

เมื่อเพิ่มปริมาณตัวดูดซับส่งผลให้ความสามารถในการดูดซับสีย้อมเพิ่มขึ้น เนื่องจากปริมาณตัวดูดซับที่เพิ่มขึ้นนั้นทำให้พื้นที่ผิวสัมผัสระหว่างตัวดูดซับกับสารละลายมีค่าเพิ่มมากขึ้นด้วย แต่การใช้ตัวดูดซับที่มากเกินไปจะทำให้ความสามารถในการดูดซับ (q_e) มีค่าลดลง อธิบายดังสมการ (2.11) ดังนั้นจึงต้องคำนึงถึงปริมาณที่เหมาะสมของวัสดุตัวดูดซับด้วย

วัตถุประสงค์

เพื่อหาปริมาณที่เหมาะสมของวัสดุตัวดูดซับ Fe_3O_4 ที่มีต่อประสิทธิภาพการดูดซับสีย้อมและค่าฟลูออเรสเซนซ์ควอนตัมยิลด์

วิธีการทดลอง

1) นำสารละลายสีย้อม Rh6G เข้มข้นดังตาราง 3.3 ผสมกับตัวดูดซับคอลลอยแม่เหล็ก Fe_3O_4 ความเข้มข้น 100 – 500 มิลลิกรัมต่อลิตร ในอัตราส่วน 1:1 ลงในบีกเกอร์

2) ปั่นกวนในที่มืดด้วยอัตราเร็ว 1500 รอบต่อนาที ทำการทดลองเป็นเวลา 150 นาที และทำการเก็บสารละลายสีย้อม 2 มิลลิลิตร ทุกๆ 30 นาที จากนั้นทำการปั่นเหวี่ยงเพื่อแยกตะกอน

3) นำสารละลายสีย้อมไปวัดสเปกตรัมการดูดกลืนแสงด้วยเครื่องด้วยเครื่องสเปกโตรมิเตอร์ ซึ่งมีระบบการวัดดังรูป 3.4 นำค่าการดูดกลืนแสงที่วัดได้ไปหาความเข้มข้น โดยการเทียบจากกราฟมาตรฐาน (จากข้อ 3.5.1) เพื่อหาค่าประสิทธิภาพการดูดซับสีย้อม จากสมการที่ (2.12)

4) นำสารละลายสีย้อมไปวัดสเปกตรัมการเปล่งแสง ด้วยเครื่องสเปกโตรมิเตอร์ โดยใช้แหล่งกำเนิดแสงจากเลเซอร์ ความยาวคลื่น 520 นาโนเมตร ซึ่งมีระบบการวัดดังรูป 3.5

5) วัดค่าดัชนีหักเหแสง (Refractive index) ของสารละลายสีย้อม ด้วยเครื่องวัดดัชนี

6) นำค่าที่ได้จากข้อ 3 - 5 ไปคำนวณหาค่าฟลูออเรสเซนส์ควอนตัมยิลด์ จากสมการที่ (2.27)

7) สร้างกราฟความสัมพันธ์ระหว่างประสิทธิภาพการดูดซับสีย้อมกับค่าฟลูออเรสเซนส์ควอนตัมยิลด์ เพื่อวิเคราะห์ผลของเข้มแสงที่ปลดปล่อยออกมาว่าส่งผลต่อค่าฟลูออเรสเซนส์ควอนตัมยิลด์อย่างไร

3.5.6 การศึกษากลไกการย่อยสลายสีย้อม Rh6G โดยใช้ตัวดูดซับ Fe_3O_4 ภายใต้การใช้แสง

การฉายแสงจะทำให้โมเลกุลถูกกระตุ้นด้วยพลังงานที่มีค่าสูงกว่าหรือเท่ากับช่องว่างแถบพลังงานของสารกึ่งตัวนำ จะทำให้อิเล็กตรอนในแถบวาเลนซ์กระโดดขึ้นไปอยู่ที่แถบคอนดักชัน ทำให้เกิดช่องว่าง (Hole, h^+) ขึ้นที่แถบวาเลนซ์ และเกิดอิเล็กตรอน (e^-) ขึ้นที่แถบคอนดักชัน โดยช่องว่างจะรวมตัวกับน้ำ เกิดเป็นไฮดรอกซิลแรดิคัล ($\bullet OH$) ส่วนอิเล็กตรอนจะจับกับออกซิเจนเกิดเป็นซูเปอร์ออกไซด์แรดิคัล ($\bullet O_2^-$) ซึ่งทั้งสองตัวเป็นตัวออกซิไดส์ที่แรง ทำให้ความสามารถในการดูดซับสีย้อมของตัวดูดซับมีประสิทธิภาพมากขึ้น

วัตถุประสงค์

เพื่อเปรียบเทียบประสิทธิภาพการย่อยสลายสีย้อมเมื่อฉายแสงขาวกับในที่มืด

วิธีการทดลอง

1) นำสารละลายสีย้อม Rh6G ความเข้มข้น 5×10^{-6} โมลลาร์ ผสมกับตัวดูดซับ Fe_3O_4 ความเข้มข้น 100 มิลลิกรัมต่อลิตร ในอัตราส่วน 1:1 ลงในบีกเกอร์

2) ปั่นกวนพร้อมกับฉายแสงและทำการเก็บสารละลายสีย้อม 2 มิลลิลิตร ทุกๆ 30 นาที จากนั้นทำการปั่นเหวี่ยงเพื่อแยกตะกอน

3) นำสารละลายสีย้อมไปวัดสเปกตรัมการดูดกลืนแสงด้วยเครื่องด้วยเครื่องสเปกโตรมิเตอร์ ซึ่งมีระบบการวัดดังรูป 3.4 นำค่าการดูดกลืนแสงที่วัดได้ไปหาความเข้มข้น โดยการเทียบจากกราฟมาตรฐาน (จากข้อ 3.5.1) เพื่อหาค่าประสิทธิภาพการดูดซับสีย้อม จากสมการที่ (2.12)

4) นำสารละลายสีย้อมไปวัดสเปกตรัมการเปล่งแสง ด้วยเครื่องสเปกโตรมิเตอร์ โดยใช้แหล่งกำเนิดแสงจากเลเซอร์ ความยาวคลื่น 520 นาโนเมตร ซึ่งมีระบบการวัดดังรูป 3.5

5) วัดค่าดัชนีหักเหแสง (Refractive index) ของสารละลายสีย้อม ด้วยเครื่องวัดดัชนี

6) นำค่าที่ได้จากข้อ 3 - 5 ไปคำนวณหาค่าฟลูออเรสเซนส์ควอนตัมยิลด์ จากสมการที่ (2.27)

7) สร้างกราฟความสัมพันธ์ระหว่างประสิทธิภาพการดูดซับสีย้อมกับค่าฟลูออเรสเซนส์ควอนตัมยิลด์ เพื่อเปรียบเทียบประสิทธิภาพการย่อยสลายสีย้อมเมื่อฉายแสงกับในที่มืด

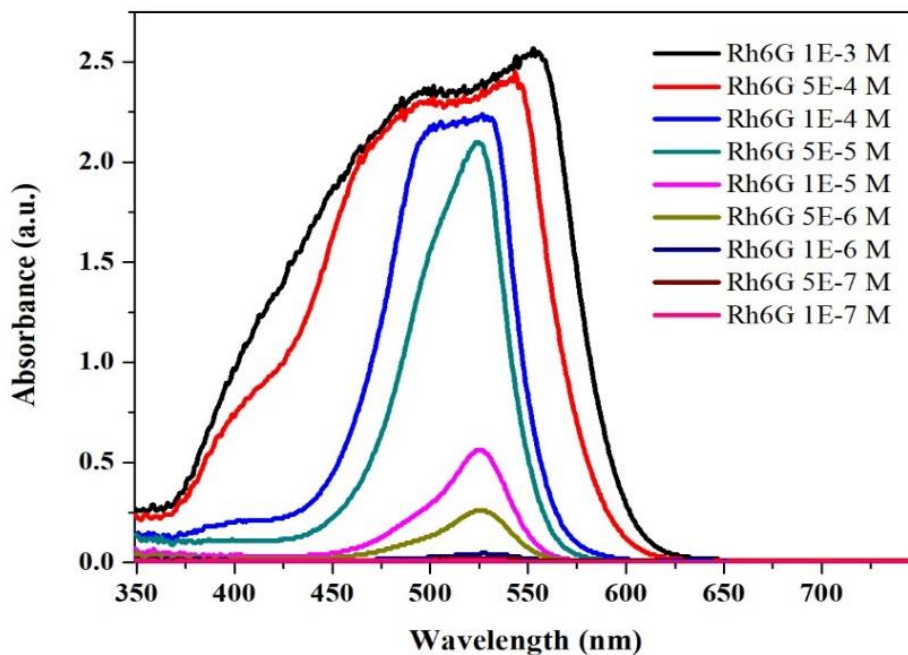
บทที่ 4

ผลการวิจัยและอภิปรายผล

เนื้อหาในบทนี้จะกล่าวถึงผลการศึกษาสเปกตรัมการดูดกลืนแสงและสเปกตรัมการเปล่งแสงของสารละลายโรดามีน 6จี โดยผู้วิจัยได้ศึกษาผลของการดูดซับสีย้อมโรดามีน 6จี ด้วยอนุภาคนาโนแม่เหล็ก Fe_3O_4 ได้แก่ อัตราเร็วในการปั่นกวนสาร เวลา ความเข้มข้นของสารสีย้อม ปริมาณตัวดูดซับ รวมถึงกลไกการย่อยสลายสีย้อมภายใต้การฉายแสงและไม่ฉายแสงขาว ที่ส่งผลต่อค่าฟลูออเรสเซนซ์ควอนตัมยิลด์ โดยผลการศึกษาแต่ละหัวข้อมียละเอียดดังนี้

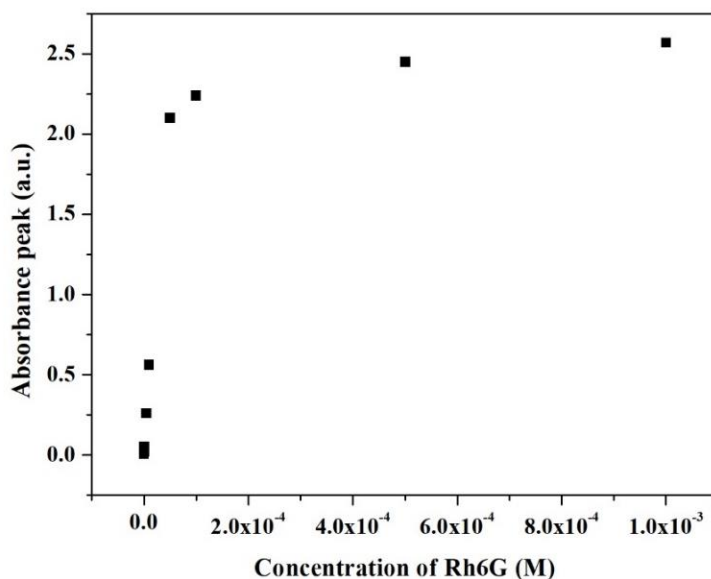
4.1 ผลการศึกษาสเปกตรัมการดูดกลืนแสงและสเปกตรัมการเปล่งแสงของสารละลายโรดามีน 6จี

จากผลการวัดสเปกตรัมการดูดกลืนแสงของสารสีย้อม Rh6G ในรูปของสารละลาย ในช่วงความเข้มข้น 10^{-7} ถึง 10^{-3} โมลาร์ โดยวิธีการที่กล่าวมาแล้วในหัวข้อ 3.3.1 ได้ผลแสดงดังรูปที่ 4.1 ผลการวัดแสดงให้เห็นว่า สารละลาย Rh6G ดูดกลืนแสงได้ในช่วงความยาวคลื่น 400 - 600 นาโนเมตร พิกัดการดูดกลืนแสงสูงสุดที่ความยาวคลื่น 525 นาโนเมตรและค่าการดูดกลืนแสงเพิ่มขึ้นเมื่อเพิ่มความเข้มข้นของสารละลาย เปลี่ยนแปลงในช่วง 0.006 - 2.571



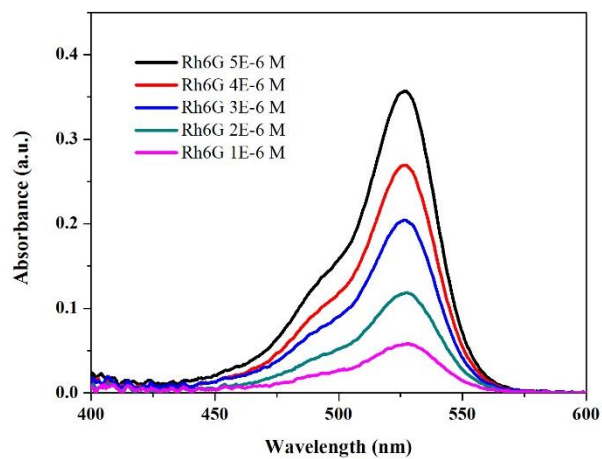
รูปที่ 4.1 สเปกตรัมการดูดกลืนแสงของสารสีย้อม Rh6G ช่วง 1×10^{-7} ถึง 1×10^{-3} โมลาร์

เมื่อสร้างกราฟความสัมพันธ์ระหว่างความเข้มข้นกับพีคการดูดกลืนแสงสูงสุดของสารละลาย Rh6G ในช่วงความเข้มข้น 1×10^{-7} ถึง 1×10^{-3} โมลาร์ แสดงดังรูปที่ 4.2 จากกราฟพบว่าเมื่อเพิ่มความเข้มข้นของสารละลายส่งผลให้ค่าการดูดกลืนแสงมีค่าเพิ่มขึ้น แต่ค่าการดูดกลืนแสงมีแนวโน้มเพิ่มขึ้นเพียงเล็กน้อย เมื่อสารละลายมีความเข้มข้นอยู่ในช่วง 1×10^{-4} ถึง 1×10^{-3} โมลาร์ เนื่องจากในช่วงความเข้มข้นดังกล่าวสารละลายมีความเข้มข้นมากเกินไปทำให้โมเลกุลของสารส่วนหนึ่งไม่สัมผัสกับแสง ดังนั้นค่าการดูดกลืนแสงจะไม่สะท้อนปริมาณโมเลกุลของสารที่มีในสารละลาย (Inner filter effect) จากเหตุผลดังกล่าวผู้วิจัยจึงเลือกสารละลายที่มีช่วงความเข้มข้นน้อยๆ มาใช้ในการทดลอง

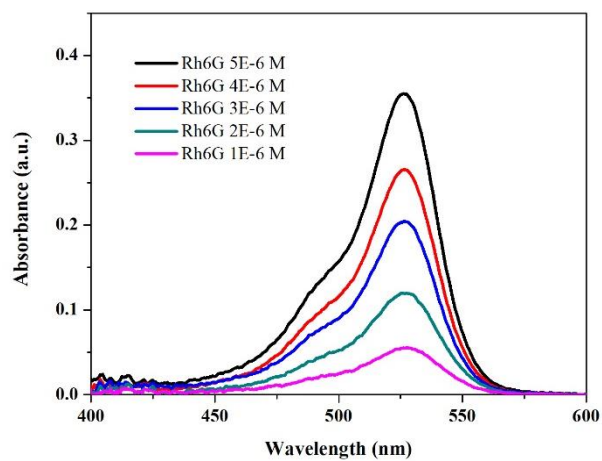


รูปที่ 4.2 พีคการดูดกลืนแสงสูงสุดของสารสีย้อม Rh6G ช่วง 1×10^{-7} ถึง 1×10^{-3} โมลาร์

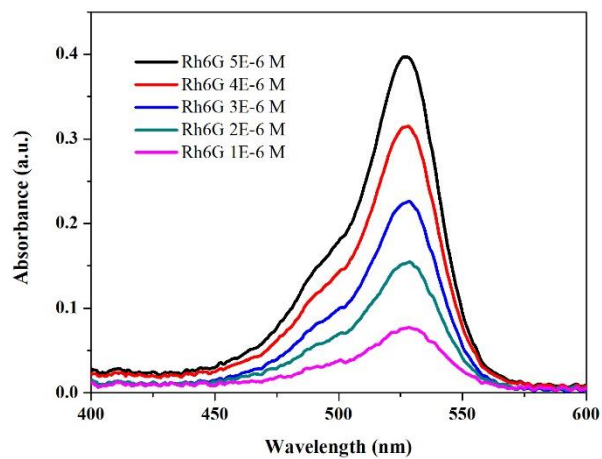
ผู้วิจัยเลือกสารละลาย Rh6G ในช่วงความเข้มข้น 1×10^{-6} ถึง 5×10^{-6} โมลาร์ สำหรับใช้ในการทดลอง ดังเหตุผลที่กล่าวในข้างต้น โดยผู้วิจัยได้ทำการทดลองซ้ำ 3 ครั้ง เพื่อให้ข้อมูลมีความเชื่อมั่นมากขึ้น ได้ผลการวัดสเปกตรัมการดูดกลืนแสงของสารสีย้อม Rh6G แสดงดังรูปที่ 4.3 ผลการวัดแสดงให้เห็นว่าสารละลาย Rh6G ดูดกลืนแสงได้ในช่วงความยาวคลื่น 400 - 600 นาโนเมตร พีคการดูดกลืนแสงสูงสุดที่มีความยาวคลื่น 525 นาโนเมตร มีค่าการดูดกลืนแสงเปลี่ยนแปลงในช่วง 0.05 - 0.40 จากผลการวัดซ้ำทั้ง 3 ครั้ง เมื่อนำมาวิเคราะห์ทางสถิติ มีค่าเฉลี่ยของการวัดครั้งที่ 1 อยู่ที่ 0.23 ± 0.13 ครั้งที่ 2 อยู่ที่ 0.20 ± 0.12 และครั้งที่ 3 อยู่ที่ 0.21 ± 0.12 ตามลำดับ จากผลการวิเคราะห์พบว่าค่าทางสถิติของของมูลทั้ง 3 ครั้งมีค่าใกล้เคียงกัน



(ก) วัดครั้งที่ 1



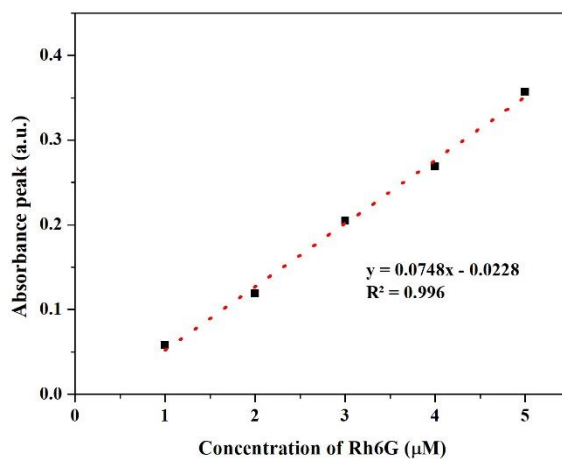
(ข) วัดครั้งที่ 2



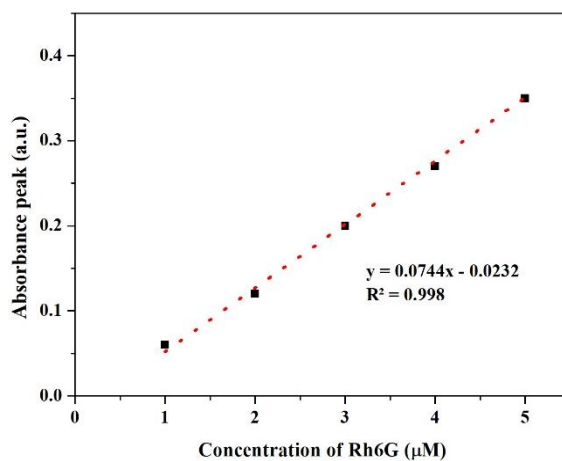
(ค) วัดครั้งที่ 3

รูปที่ 4.3 (ก) ถึง (ค) แสดงสเปกตรัมการดูดกลืนแสงของสารสีย้อม Rh6G ที่ความเข้มข้นในช่วง 1×10^{-6} ถึง 5×10^{-6} โมลาร์

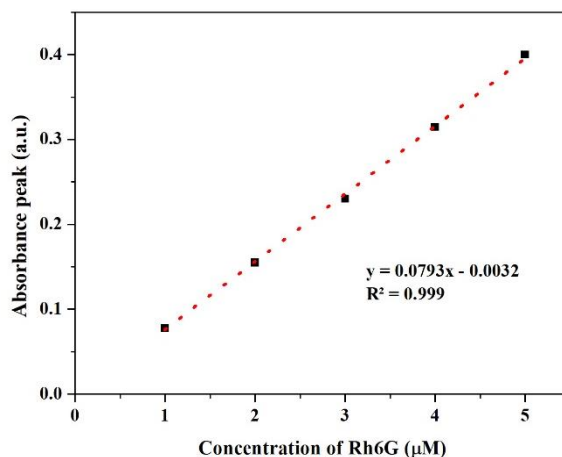
เมื่อสร้างกราฟความสัมพันธ์ระหว่างความเข้มข้นกับค่าการดูดกลืนแสงของสารละลาย Rh6G ในช่วงความเข้มข้น 1×10^{-6} ถึง 5×10^{-6} โมลาร์ แสดงดังรูปที่ 4.4 จากกราฟพบว่าค่าการดูดกลืนแสงมีแนวโน้มเพิ่มขึ้นเป็นแบบเชิงเส้น ซึ่งสังเกตได้จากค่า R^2 ที่วิเคราะห์ได้จากกราฟของการทดลอง โดยค่า R^2 ของครั้งที่ 1 เท่ากับ 0.999 ค่า R^2 ของครั้งที่ 2 เท่ากับ 0.996 และมีค่า R^2 ของ ครั้งที่ 3 เท่ากับ 0.997 ตามลำดับ ซึ่งสอดคล้องกับกฎของเบียร์-แลมเบิร์ต (Beer-Lambert law) ที่กล่าวว่าค่าการดูดกลืนแสงจะแปรผันตรงกับความเข้มข้นของสาร ดังที่กล่าวในหัวข้อ 2.2



(ก) วัดครั้งที่ 1



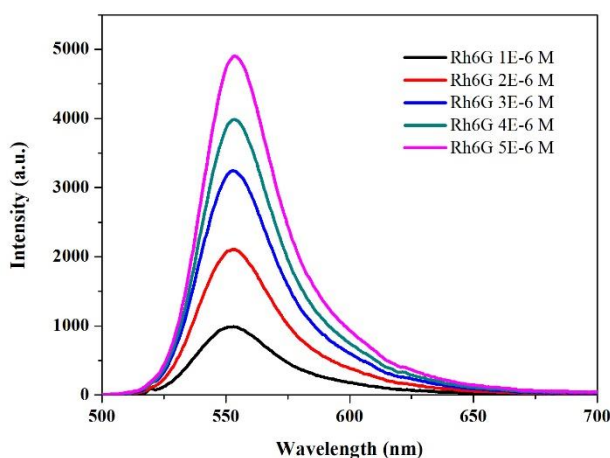
(ข) วัดครั้งที่ 2



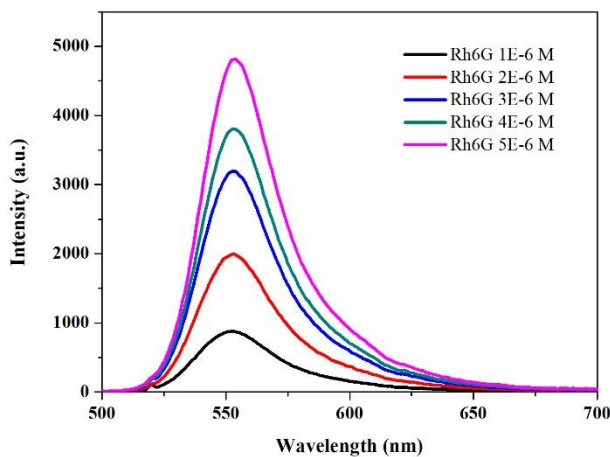
(ค) วัดครั้งที่ 3

รูปที่ 4.4 (ก) ถึง (ค) แสดงความสัมพันธ์ระหว่างความเข้มข้นกับค่าการดูดกลืนแสงสูงสุดของสาร Rh6G ที่ความเข้มข้นในช่วง 1×10^{-6} ถึง 5×10^{-6} โมลาร์

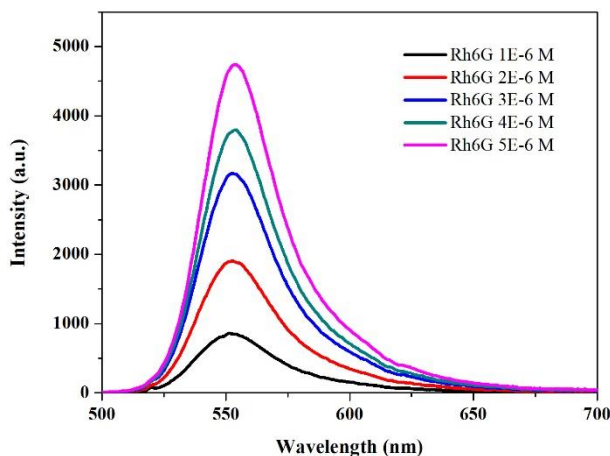
จากผลการวัดสเปกตรัมการเปล่งแสงของสารละลาย Rh6G ในช่วงความเข้มข้นที่กล่าวไปแล้วข้างต้น โดยวิธีการทดลองในหัวข้อ 3.5 แสดงดังรูปที่ 4.5 ผลการวัดแสดงให้เห็นว่าสารละลาย Rh6G สามารถเปล่งแสงได้ในช่วงความยาวคลื่น 500 ถึง 700 นาโนเมตร มีค่าการเปล่งแสงสูงสุดที่ความยาวคลื่นประมาณ 552 นาโนเมตร และจากกราฟยังพบว่าค่าการเปล่งแสงมีแนวโน้มเพิ่มขึ้นตามความเข้มข้นของสารละลาย มีแนวโน้มการเปลี่ยนแปลงอยู่ในช่วง 857.16 ถึง 4904.23 ทั้งนี้เนื่องจากสารละลายมีค่าการดูดกลืนแสงเพิ่มขึ้น ส่งผลให้มีค่าการเปล่งแสงเพิ่มขึ้น จากผลการวัดซ้ำทั้ง 3 ครั้ง เมื่อนำมาวิเคราะห์ทางสถิติ มีค่าเฉลี่ยของการวัดครั้งที่ 1 อยู่ที่ 2553.58 ± 1534.76 ครั้งที่ 2 อยู่ที่ 2595.67 ± 1536.94 และครั้งที่ 3 อยู่ที่ 2703.61 ± 1540.08 ตามลำดับ จากผลการวิเคราะห์พบว่าค่าทางสถิติของข้อมูลทั้ง 3 ครั้งมีค่าใกล้เคียงกัน



(ก) วัดครั้งที่ 1



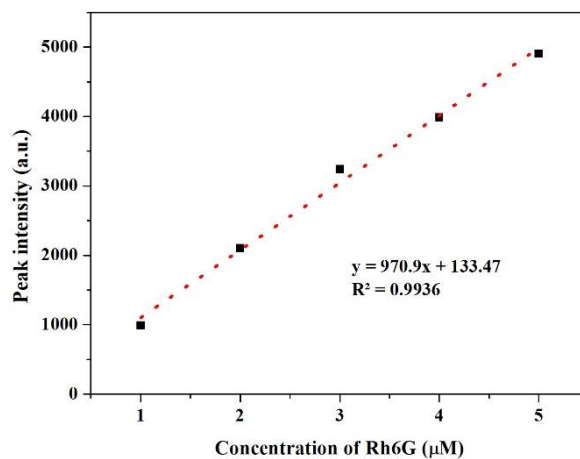
(ข) วัดครั้งที่ 2



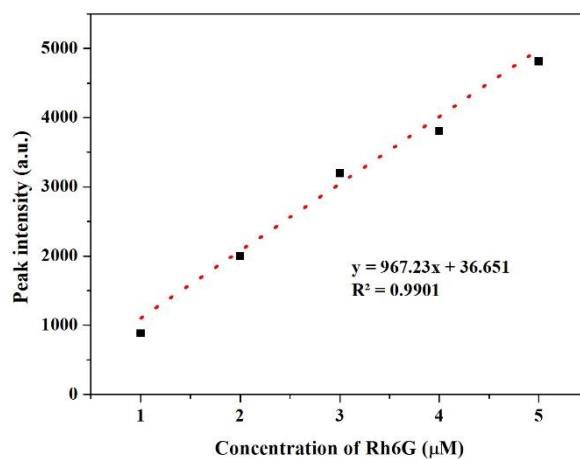
(ค) วัดครั้งที่ 3

รูปที่ 4.5 สเปกตรัมการเปล่งแสงของสารสีย้อม Rh6G ที่ความเข้มข้น 1×10^{-6} ถึง 5×10^{-6} โมลาร์

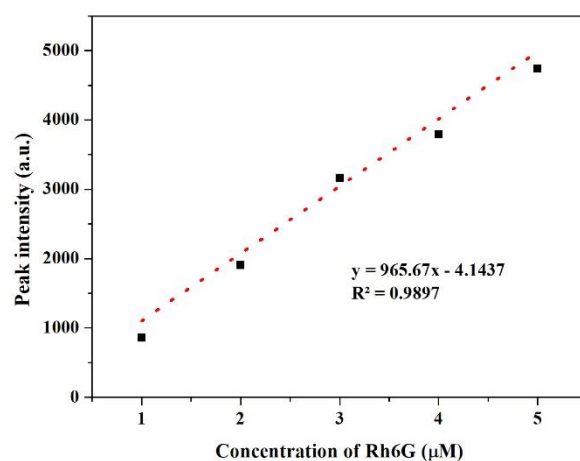
เมื่อนำสารละลาย Rh6G ความเข้มข้นดังกล่าว มาสร้างกราฟแสดงความสัมพันธ์ระหว่างความเข้มข้นกับค่าการเปล่งแสงของสารละลายแสดงดังรูปที่ 4.6 จากกราฟพบว่าข้อมูลมีแนวโน้มของการเปลี่ยนแปลงเป็นแบบเชิงเส้น สังเกตได้จากค่า R^2 ที่วิเคราะห์ได้จากกราฟของการทดลอง โดยค่า R^2 ของครั้งที่ 1 เท่ากับ 0.9936 ค่า R^2 ของครั้งที่ 2 เท่ากับ 0.9901 และมีค่า R^2 ของครั้งที่ 3 เท่ากับ 0.9897 ตามลำดับ



(ก) วัดครั้งที่ 1



(ข) วัดครั้งที่ 2



(ค) วัดครั้งที่ 3

รูปที่ 4.6 กราฟความสัมพันธ์ระหว่างความเข้มข้นกับค่าการเปล่งแสงของสารสีย้อม Rh6G ที่ความเข้มข้น 1×10^{-6} ถึง 5×10^{-6} โมลาร์

จากผลการวัดที่แสดงข้างต้นจะเห็นว่าช่วงที่สารละลายมีการเปลี่ยนแปลงค่าการดูดกลืนแสงและค่าการเปล่งแสงแบบเป็นเชิงเส้นคือช่วงความเข้มข้น 1×10^{-6} ถึง 5×10^{-6} โมลาร์ ดังนั้นผู้วิจัยจึงเลือกนำสารละลายที่อยู่ในช่วงความเข้มข้นดังกล่าวมาทำการทดลองเพื่อศึกษาผลของการดูดซับสีย้อมโรดามีน 6จี ด้วยอนุภาคนาโนแม่เหล็ก Fe_3O_4 ได้แก่ อัตราเร็วในการปั่นกวนสาร เวลา ความเข้มข้นของสารสีย้อม ปริมาณตัวดูดซับ รวมถึงกลไกการย่อยสลายสีย้อมภายใต้การฉายแสงและไม่ฉายแสงขาว ที่ส่งผลต่อค่าฟลูออเรสเซนซ์ควอนตัมยี่สิบ

4.2 ผลการการสร้างกราฟมาตรฐานของสารละลายโรดามีน 6จี

จากการทดลองวัดสเปกตรัมการดูดกลืนแสงในย่านความเข้มข้น 1×10^{-6} – 5×10^{-6} โมลาร์ โดยอาศัยการทดลองที่กล่าวมาแล้วในหัวข้อ 3.3 ได้ผลดังรูปที่ 4.4 (ดังที่กล่าวไปแล้วในหัวข้อ 4.1) ผลการวัดแสดงให้เห็นว่าค่าการดูดกลืนแสงของสารละลายโรดามีน 6จี แปรผันโดยตรงกับความเข้มข้นของสารละลายและมีแนวโน้มเพิ่มขึ้นเป็นแบบเชิงเส้น มีค่าการเปลี่ยนแปลงความเข้มข้นกับค่าการดูดกลืนสูงสุดดังสมการ

$$y = 0.0793x - 0.0032 \quad (4.1)$$

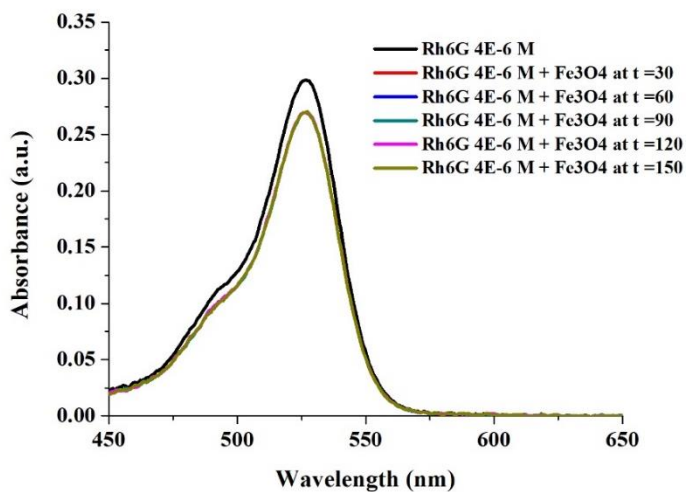
เมื่อ

- x คือ ความเข้มข้นของสารละลายสีย้อมโรดามีน 6จี (โมลาร์)
- y คือ ค่าพีคการดูดกลืนแสงสูงสุด

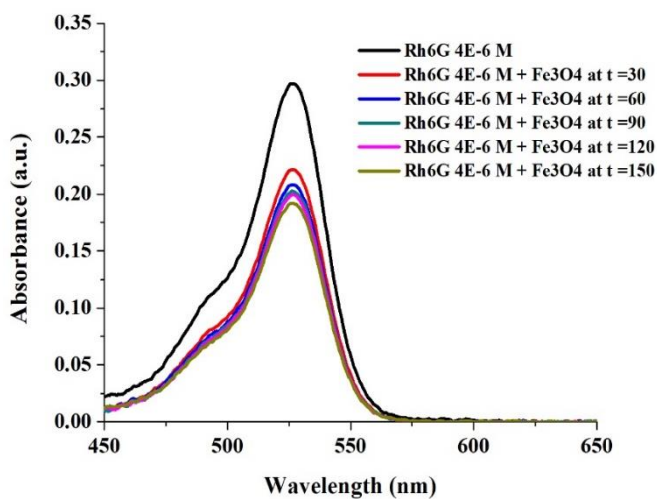
4.3 ผลการศึกษาปัจจัยที่มีต่อการดูดซับสีย้อมโรดามีน 6จี ด้วย Fe_3O_4

4.3.1 ผลการศึกษาอัตราเร็วในการปั่นกวนสาร

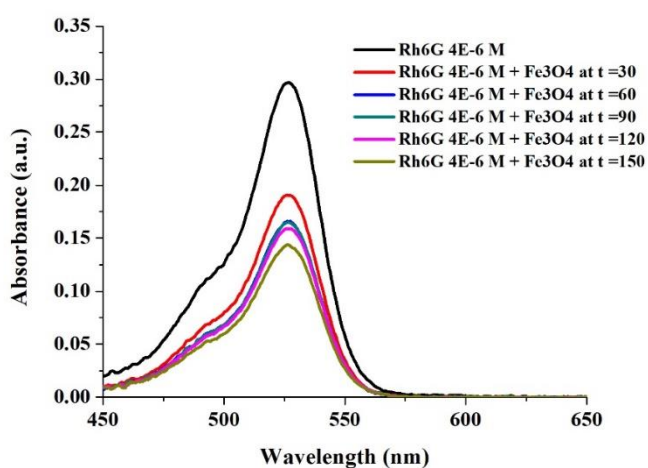
จากผลการวัดสเปกตรัมการดูดกลืนแสงของสารสีย้อม Rh6G ในรูปของสารละลายที่ความเข้มข้น 4×10^{-6} โมลาร์ ผสมกับตัวดูดซับอนุภาคนาโนแม่เหล็ก Fe_3O_4 100 มิลลิกรัมต่อลิตร โดยอาศัยการทดลองที่กล่าวมาแล้วในหัวข้อ 3.5.2 ภายใต้เงื่อนไขไม่ปั่นกวนสารละลายและปั่นกวนสารละลายด้วยอัตราเร็ว 1200 รอบต่อนาที และ 1500 รอบต่อนาที ตามลำดับ ทำการทดลองเป็นเวลา 150 นาที ได้ผลแสดงดังรูปที่ 4.7 ผลการวัดสเปกตรัมการดูดกลืนแสดงให้เห็นว่าเมื่อไม่ปั่นกวนสารละลายส่งผลให้ค่าการดูดกลืนแสงเปลี่ยนแปลงน้อยมากเมื่อเทียบกับการปั่นกวน ซึ่งเมื่อเพิ่มการปั่นกวนสารละลายโดยใช้อัตราเร็วในการปั่นกวน 1200 รอบต่อนาที และ 1500 รอบต่อนาที พบว่าค่าการดูดกลืนแสงมีค่าลดลงจากเดิม 2 เท่า



(ก) ไม่ปั่นกวนสารละลาย



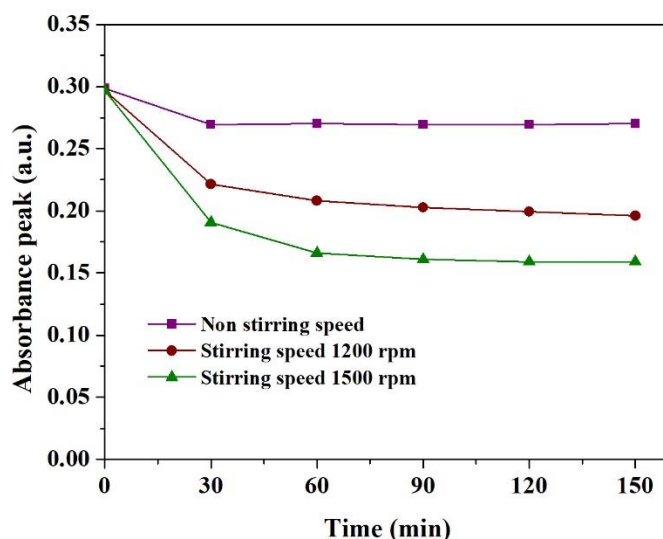
(ข) ปั่นกวนสารละลายด้วยอัตราเร็ว 1200 รอบต่อนาที



(ค) ปั่นกวนสารละลายด้วยอัตราเร็ว 1500 รอบต่อนาที

รูปที่ 4.7 สเปกตรัมการดูดกลืนแสงของสารละลาย (ก) ไม่ปั่นกวนสารละลาย (ข) และ (ค) ปั่นกวนสารละลายด้วยอัตราเร็ว 1200 รอบต่อนาที และ 1500 รอบต่อนาที ตามลำดับ

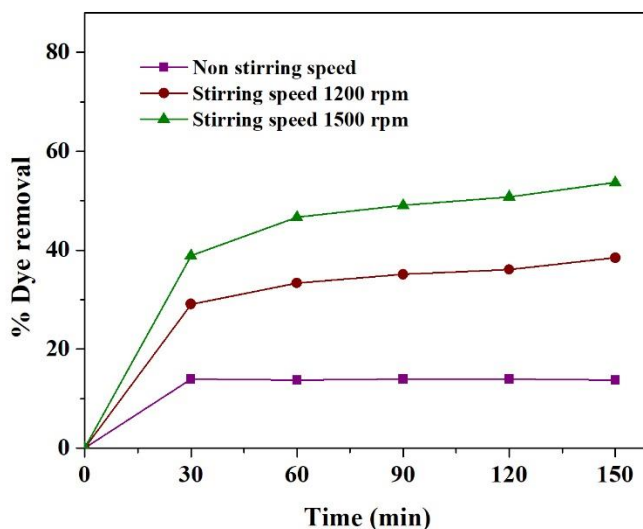
กราฟแสดงความสัมพันธ์ระหว่างพีคการดูดกลืนแสงกับเวลาของสารละลาย Rh6G ความเข้มข้น 4×10^{-6} โมลาร์ ผสมกับตัวดูดซับอนุภาคนาโนแม่เหล็ก Fe_3O_4 100 มิลลิกรัมต่อลิตร ภายใต้เงื่อนไขไม่ปั่นกวนสารละลายและปั่นกวนสารละลายด้วยอัตราเร็ว 1200 รอบต่อนาที และอัตราเร็ว 1500 รอบต่อนาที ตามลำดับ แสดงดังรูปที่ 4.8 จากกราฟพบว่าค่าการดูดกลืนแสงมีแนวโน้มลดลงอย่างรวดเร็วในช่วง 30 นาทีแรก หลังจากนั้นมีการเปลี่ยนแปลงน้อยลงในช่วงเวลา 30 ถึง 150 นาที ซึ่งเมื่อไม่ปั่นกวนสารมีค่าเฉลี่ยของการเปลี่ยนแปลงอยู่ที่ 0.074 เปอร์เซ็นต์ เมื่อปั่นกวนสารด้วยอัตราเร็ว 1200 รอบต่อนาที มีค่าเฉลี่ยของการเปลี่ยนแปลงอยู่ที่ 2.3538 เปอร์เซ็นต์ และอยู่ที่ 2.565 เปอร์เซ็นต์ สำหรับอัตราเร็ว 1500 รอบต่อนาที เมื่อเปรียบเทียบระหว่างเงื่อนไขการปั่นกวนกับไม่ปั่นกวนสารละลายพบว่าเมื่อเพิ่มการปั่นกวนโดยใช้อัตราเร็วในการปั่นกวน 1200 รอบต่อนาที และ 1500 รอบต่อนาที ส่งผลให้ค่าการดูดกลืนแสงลดลงถึง 2 เท่า ซึ่งแสดงให้เห็นว่าเมื่อเพิ่มการปั่นกวนทำให้อนุภาคนาโนแม่เหล็ก Fe_3O_4 สามารถเกาะกับสีย้อมได้มากขึ้น อีกทั้งการเพิ่มความเร็วยังทำให้อนุภาคนาโนแม่เหล็กออกไซด์สัมผัสหรือชนกับสีย้อมได้มากขึ้น ดังนั้นจึงทำให้ค่าการดูดกลืนแสงมีแนวโน้มลดลง



รูปที่ 4.8 กราฟแสดงความสัมพันธ์ระหว่างพีคการดูดกลืนแสงกับอัตราเร็วในการปั่นกวนสารละลาย

เมื่อนำค่าการดูดกลืนแสงจากเงื่อนไขที่กล่าวไปแล้วข้างต้น ไปหาความเข้มข้นที่เวลาต่างๆ ด้วยสมการที่ 4.1 จากนั้นนำไปคำนวณหาค่าประสิทธิภาพการดูดซับสีย้อมจากสมการที่ 2.12 เพื่อสร้างกราฟแสดงความสัมพันธ์ระหว่างประสิทธิภาพการกำจัดสีย้อมกับเวลา ได้กราฟดังรูปที่ 4.9 จากกราฟแสดงให้เห็นว่าประสิทธิภาพการกำจัดสีย้อมมีแนวโน้มเพิ่มขึ้นอย่างรวดเร็วในช่วง 30 นาทีแรก มีค่าเฉลี่ยการเปลี่ยนแปลงอยู่ที่ 1.67 เปอร์เซ็นต์ 27.67 เปอร์เซ็นต์ และ 32.04 เปอร์เซ็นต์ ตามลำดับ หลังจากนั้นมีความเร็วในการเปลี่ยนแปลงที่น้อยลง และจากกราฟยังพบว่าเมื่อไม่ปั่นกวนสารละลายจะสามารถกำจัดสีย้อมได้เพียง 13.76 เปอร์เซ็นต์ แต่เมื่อเพิ่มการปั่นกวนส่งผลให้ประสิทธิภาพการดูดซับสีย้อมมีแนวโน้ม

เพิ่มขึ้น ซึ่งเมื่อใช้อัตราเร็วในการปั่นกววน 1200 รอบต่อนาที จะมีประสิทธิภาพการกำจัดสีย้อมสูงสุดที่ 38.47 เปอร์เซ็นต์ และหากปั่นกววนสารด้วยอัตราเร็ว 1500 รอบต่อนาที จะมีประสิทธิภาพการกำจัดสีย้อมสูงถึง 53.67 เปอร์เซ็นต์ เมื่อเปรียบเทียบระหว่างเงื่อนไขการปั่นกววนกับไม่ปั่นกววนสารละลายพบว่า การเพิ่มการปั่นกววนส่งผลให้ประสิทธิภาพการกำจัดสีย้อมเพิ่มขึ้นถึง 2 เท่า ทั้งนี้เนื่องจากการปั่นกววนเป็นการเพิ่มโอกาสให้อนุภาคของเหล็กมีโอกาสเกาะกับสีย้อมได้มากขึ้นทำให้เกิดการดูดซับมากขึ้น ดังนั้นเมื่อเพิ่มการปั่นกววนสารละลายจะส่งผลให้ค่าประสิทธิภาพการดูดซับสีย้อมมีค่าสูงกว่าการไม่ปั่นกววน [33]

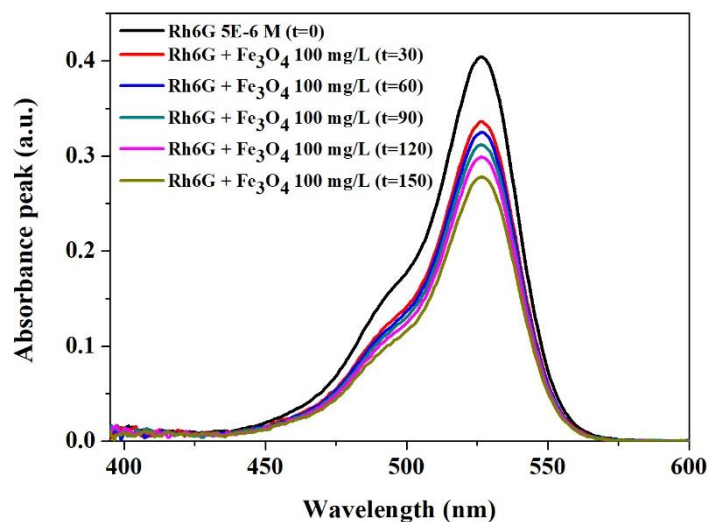


รูปที่ 4.9 กราฟแสดงความสัมพันธ์ระหว่างประสิทธิภาพการกำจัดสีย้อมกับเวลา เมื่อใช้อัตราเร็วในการปั่นกววนที่แตกต่างกัน

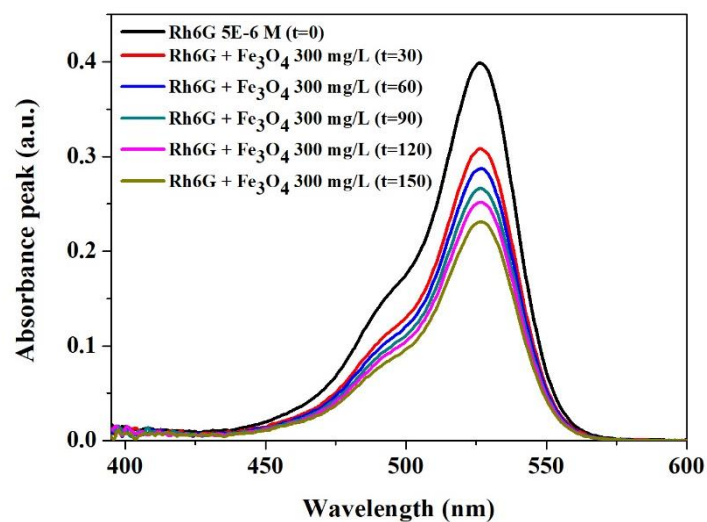
ดังนั้นจากเหตุผลดังกล่าวข้างต้นผู้วิจัยจึงเพิ่มการปั่นกววนสารละลาย โดยเลือกใช้อัตราเร็วในการปั่นกววน 1500 รอบต่อนาที เป็นอัตราเร็วที่เหมาะสมสำหรับการทดลอง

4.3.2 การศึกษาผลของเวลาที่มีต่อการดูดซับ

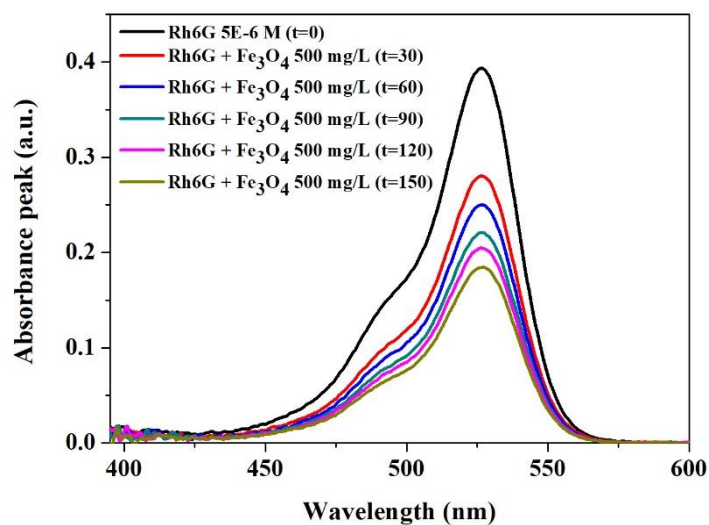
ในการศึกษาหาเวลาที่เหมาะสมต่อการดูดซับสีย้อม Rh6G ความเข้มข้น 5×10^{-6} โมลต่อลิตร ผสมกับตัวดูดซับอนุภาคนาโนแม่เหล็ก Fe_3O_4 100 มิลลิกรัมต่อลิตร 300 มิลลิกรัมต่อลิตร และ 500 มิลลิกรัมต่อลิตร ด้วยวิธีการที่กล่าวมาแล้วในหัวข้อ 3.6.3 เป็นเวลา 150 นาที ได้ผลการวัดสเปกตรัมการดูดกลืนแสง แสดงดังรูปที่ 4.10 ผลการวัดแสดงให้เห็นว่าค่าการดูดกลืนแสงมีแนวโน้มลดลงเมื่อใช้ระยะเวลาในการดูดซับเพิ่มมากขึ้น ซึ่งลดลงถึง 37.11 เปอร์เซ็นต์ 53.30 เปอร์เซ็นต์ และ 72.37 เปอร์เซ็นต์ ตามลำดับ เนื่องจากมีระยะเวลาในการสัมผัสมากขึ้น



(ก) สารละลายโรดามีน 6จี 5×10^{-6} โมลต่อลิตร ผสมกับ Fe₃O₄ 100 มิลลิกรัมต่อลิตร



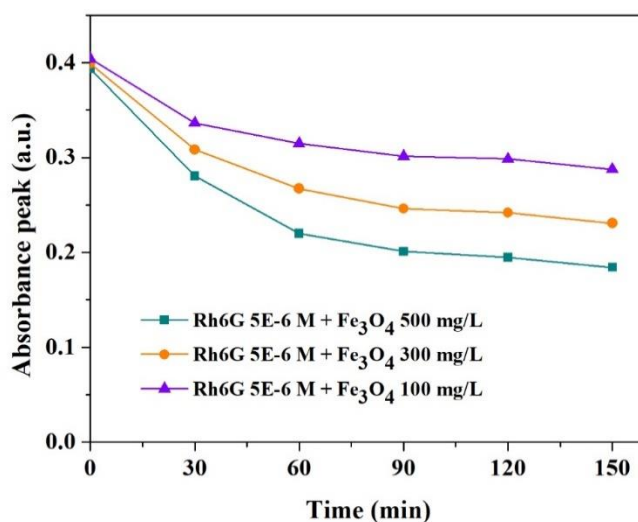
(ข) สารละลายโรดามีน 6จี 5×10^{-6} โมลต่อลิตร ผสมกับ Fe₃O₄ 300 มิลลิกรัมต่อลิตร



(ค) สารละลายโรดามีน 6จี 5×10^{-6} โมลต่อลิตร ผสมกับ Fe₃O₄ 500 มิลลิกรัมต่อลิตร

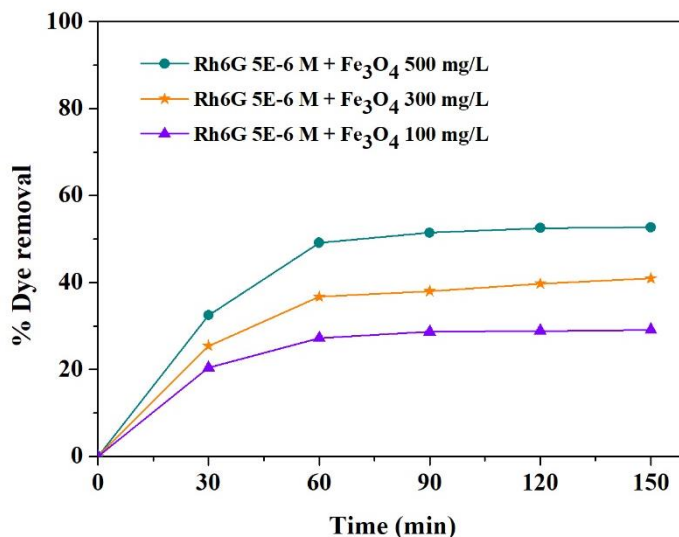
รูปที่ 4.10 สเปกตรัมการดูดกลืนแสงของสารละลาย Rh6G ที่ 5×10^{-6} โมลต่อลิตร ผสมกับ Fe₃O₄

เมื่อสร้างกราฟแสดงความสัมพันธ์ระหว่างพีการดูดกลืนแสงกับเวลาของสารละลาย Rh6G ความเข้มข้น 5×10^{-6} โมลาร์ ผสมกับตัวดูดซับอนุภาคนาโนแม่เหล็ก Fe_3O_4 ที่มีความเข้มข้นในช่วง 100 ถึง 500 มิลลิกรัมต่อลิตร ได้กราฟแสดงดังรูปที่ 4.11 จากกราฟพบว่าค่าการดูดซับหลังจากเติมสารคอลลอยด์ของแม่เหล็ก Fe_3O_4 จะลดลงอย่างรวดเร็วในช่วง 30 นาทีแรก อยู่ที่ 18.33 เปอร์เซ็นต์ 25.73 เปอร์เซ็นต์ และ 33.43 เปอร์เซ็นต์ ตามลำดับ และมีแนวโน้มลดลงอย่างต่อเนื่องจนถึงเวลา 60 นาที หลังจากนั้นมีการเปลี่ยนแปลงน้อยลงในช่วงเวลา 60 ถึง 150 นาที เนื่องจากในช่วงแรกที่วางบนผิวของตัวดูดซับยังคงมีมากและมีความแตกต่างของความเข้มข้นในสารละลาย จึงเกิดการดูดซับสีย้อมได้มาก หลังจากนั้นการดูดซับจะลดลงจนเข้าสู่ภาวะสมดุล เพราะที่ว่างเหล่านั้นดูดซับสีย้อมไว้แล้ว



รูปที่ 4.11 กราฟแสดงความสัมพันธ์ระหว่างพีการดูดกลืนแสงของสารละลาย Rh6G ความเข้มข้น 5×10^{-6} โมลต่อลิตร ผสมกับ Fe_3O_4

ผลการศึกษาเวลาที่มีต่อประสิทธิภาพการดูดซับสีย้อมเมื่อเติมตัวดูดซับอนุภาคนาโนแม่เหล็ก Fe_3O_4 ที่มีความเข้มข้นในช่วง 100 มิลลิกรัมต่อลิตร ถึง 500 มิลลิกรัมต่อลิตร แสดงดังรูปที่ 4.12 จากการศึกษาพบว่าที่เวลา 150 นาที สามารถดูดซับสีย้อมได้ถึง 30 เปอร์เซ็นต์ 41 เปอร์เซ็นต์ และ 53 เปอร์เซ็นต์ ตามลำดับ เนื่องจากมีเวลาที่อนุภาคนาโนแม่เหล็กทำปฏิกิริยากับสาร Rh6G ที่ปนอยู่ในน้ำมากขึ้น จึงทำให้ประสิทธิภาพในการดูดซับสีย้อมเพิ่มมากขึ้น ซึ่งจะเห็นได้ว่าเมื่อใช้เวลาในการเกิดปฏิกิริยาเพิ่มขึ้นจาก 0 ถึง 30 นาที ความสามารถในการดูดซับสารสีย้อมเพิ่มขึ้นอย่างรวดเร็วและดำเนินจนถึงเวลา 60 นาที หลังจากนั้นการดูดซับเกิดขึ้นเพียงเล็กน้อยจนไม่เกิดการเปลี่ยนแปลงเนื่องจากในช่วงแรกพื้นที่ผิวของตัวดูดซับยังมีปริมาณมากส่งผลให้เกิดประสิทธิภาพการดูดซับสีย้อมมาก ระยะเวลาในการดูดซับดำเนินไปเรื่อยๆ จนกระทั่งปริมาณพื้นที่ในการดูดซับอิ่มตัว อัตราการดูดซับจะคงที่ ดังนั้นประสิทธิภาพการดูดซับจึงมีแนวโน้มการเปลี่ยนแปลงคงที่ [31]

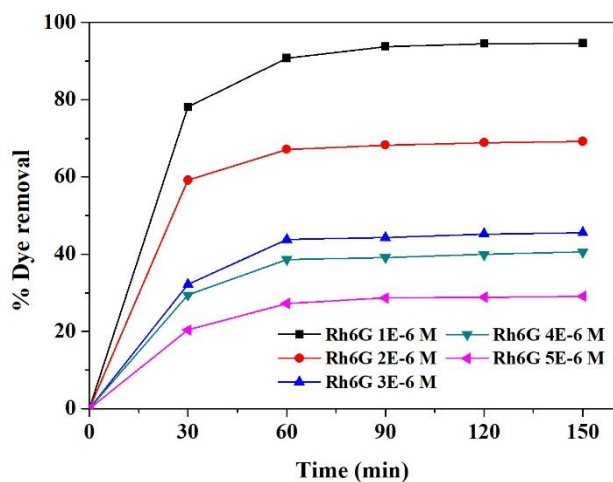


รูปที่ 4.12 กราฟแสดงความสัมพันธ์ระหว่างประสิทธิภาพการกำจัดสีของสารละลาย Rh6G ความเข้มข้น 5×10^{-6} โมลต่อลิตร ผสมกับ Fe₃O₄

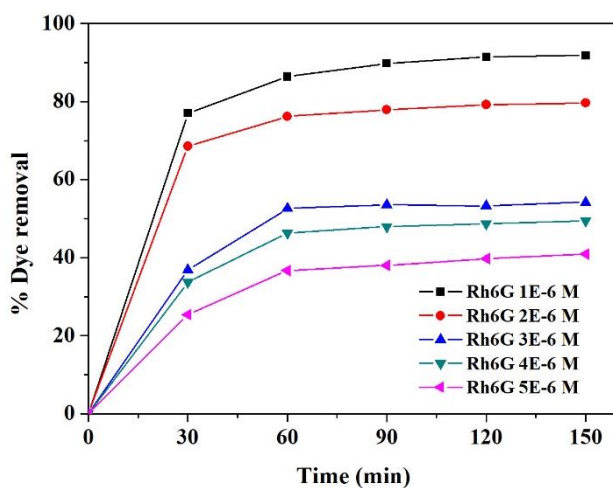
ดังนั้นจากเหตุผลดังกล่าวไปข้างต้นเวลาที่เหมาะสมที่อนุภาคนาโนแม่เหล็ก Fe₃O₄ เกิดการดูดซับสีของ Rh6G และเข้าสู่สมดุลของการดูดซับคือ 60 นาที

4.3.3 การศึกษาผลของความเข้มข้นของสารละลาย Rh6G

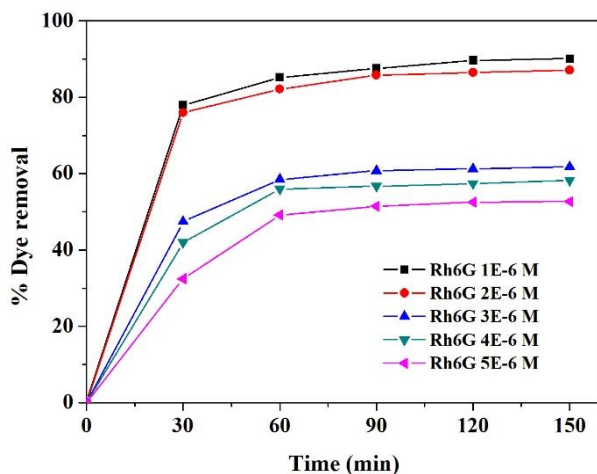
จากผลการวัดสเปกตรัมการดูดกลืนแสงของสารละลาย Rh6G ในช่วงความเข้มข้น 1×10^{-6} โมลต่อลิตร 2×10^{-6} โมลต่อลิตร 3×10^{-6} โมลต่อลิตร 4×10^{-6} โมลต่อลิตร และ 5×10^{-6} โมลต่อลิตร โดยใช้ตัวดูดซับสารแขวนลอยอนุภาคนาโนแม่เหล็ก Fe₃O₄ ในช่วงความเข้มข้น 100 มิลลิกรัมต่อลิตร 300 มิลลิกรัมต่อลิตร และ 500 มิลลิกรัมต่อลิตร ตามลำดับ ปั่นกวนสารละลายด้วยอัตราเร็ว 1500 รอบต่อนาที เป็นเวลา 150 นาที ด้วยวิธีการที่กล่าวมาแล้วในหัวข้อ 3.5.4 จากนั้นนำผลที่ได้จากการวัดไปคำนวณหาความเข้มข้นและประสิทธิภาพการดูดซับสีด้วยสมการที่ 4.1 และ 2.12 ตามลำดับ และสร้างกราฟแสดงความสัมพันธ์ระหว่างประสิทธิภาพการดูดซับสีเมื่อเติมตัวดูดซับอนุภาคนาโนแม่เหล็ก Fe₃O₄ ในช่วงความเข้มข้น 100 ถึง 500 มิลลิกรัมต่อลิตร แสดงดังรูปที่ 4.13 จากกราฟพบว่า การดูดซับสารสีของ Rh6G ด้วยอนุภาคนาโนแม่เหล็ก Fe₃O₄ ทุกๆ ช่วงความเข้มข้นมีแนวโน้มของการเปลี่ยนแปลงไปในทิศทางเดียวกัน และเข้าสู่สมดุลหลังจากเวลาผ่านไป 60 นาที เมื่อความเข้มข้นของสารละลาย Rh6G เพิ่มขึ้นส่งผลให้ค่าการดูดซับน้อยลง เนื่องจากเมื่อความเข้มข้นของสารละลายเพิ่มขึ้นปริมาณของสีจะเพิ่มขึ้นด้วย ดังนั้นเมื่อเกิดการดูดซับน้อยย่อมส่งผลให้ประสิทธิภาพการดูดซับสีน้อยลงด้วย [31, 33 - 35]



(ก) ประสิทธิภาพการดูดซับสีย้อม Rh6G เมื่อเติมตัวดูดซับ Fe₃O₄ 100 มิลลิกรัมต่อลิตร



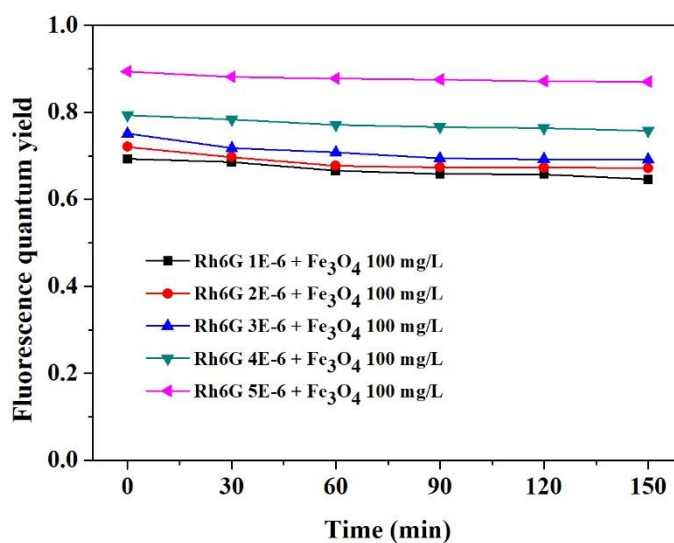
(ข) ประสิทธิภาพการดูดซับสีย้อม Rh6G เมื่อเติมตัวดูดซับ Fe₃O₄ 300 มิลลิกรัมต่อลิตร



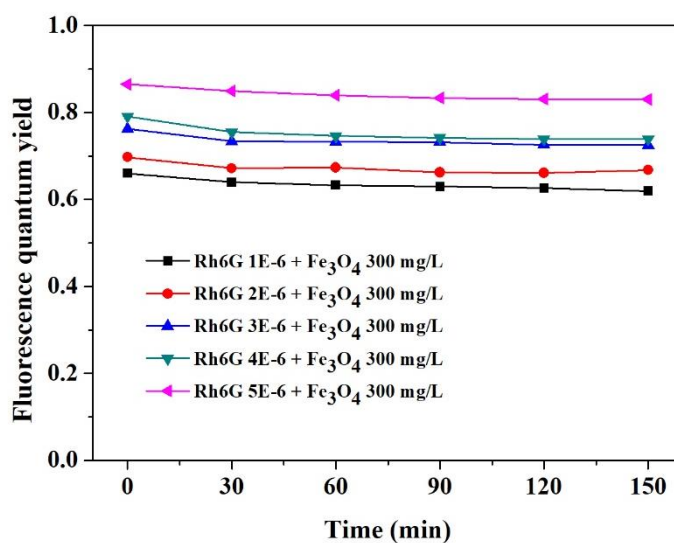
(ค) ประสิทธิภาพการดูดซับสีย้อม Rh6G เมื่อเติมตัวดูดซับ Fe₃O₄ 500 มิลลิกรัมต่อลิตร

รูปที่ 4.13 กราฟแสดงประสิทธิภาพการดูดซับสีย้อมโรดามีน 6จี ที่ความเข้มข้นต่างๆ

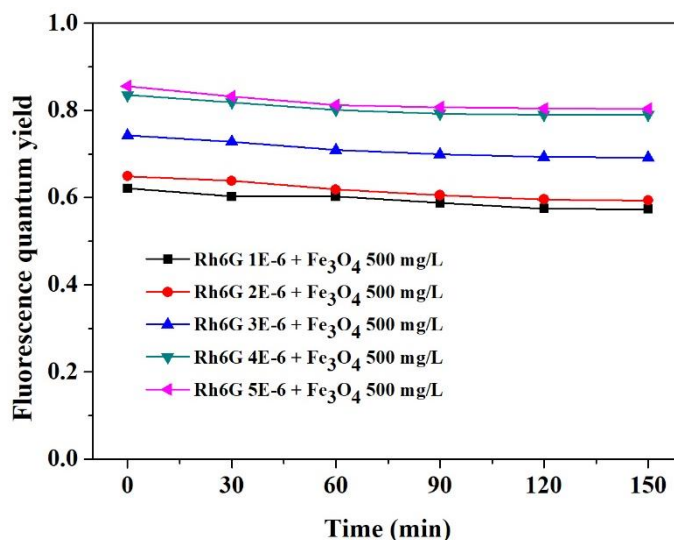
เมื่อนำสารละลายความเข้มข้นที่กล่าวไปแล้วข้างต้น ไปวัดสเปกตรัมการเปล่งแสงและวัดค่าดัชนีหักเหแสง จากนั้นนำค่าต่างๆ ที่ได้มาใช้ในการวิเคราะห์ฟลูออเรสเซนซ์ควอนตัมยิลด์ด้วยสมการที่ (2.27) และสร้างกราฟแสดงความสัมพันธ์ระหว่างค่าฟลูออเรสเซนซ์ควอนตัมยิลด์กับเวลา ได้กราฟแสดงดังรูปที่ 4.14 จากกราฟพบว่าเมื่อความเข้มข้นของสารสีย้อมโรดามีน 6จี ที่เพิ่มขึ้นส่งผลให้ค่าฟลูออเรสเซนซ์ควอนตัมยิลด์มีแนวโน้มการเปลี่ยนแปลงเพิ่มขึ้นด้วย เนื่องจากเมื่อความเข้มข้นของสารสีย้อมเพิ่มขึ้นส่งผลให้มีจำนวนอนุภาคของสารเพิ่มขึ้น ดังนั้นเมื่ออนุภาคเหล่านั้นได้รับการกระตุ้นจากความยาวคลื่นที่ทำให้เกิดการเปล่งแสงจึงเกิดการเรืองแสงมากขึ้น และจากกราฟยังพบว่าค่าฟลูออเรสเซนซ์ควอนตัมยิลด์ของสารสีย้อมโรดามีน 6จี ทุกความเข้มข้นจะเปลี่ยนแปลงอย่างมากภายในเวลา 60 นาที และจะเริ่มคงที่ในช่วงเวลา 60 ถึง 150 นาที เนื่องจากช่วงเวลาดังกล่าวเข้าสู่ภาวะสมดุลของการดูดซับ



(ก) ค่าฟลูออเรสเซนซ์ควอนตัมยิลด์ Rh6G เมื่อเติมตัวดูดซับ Fe₃O₄ 100 มิลลิกรัมต่อลิตร



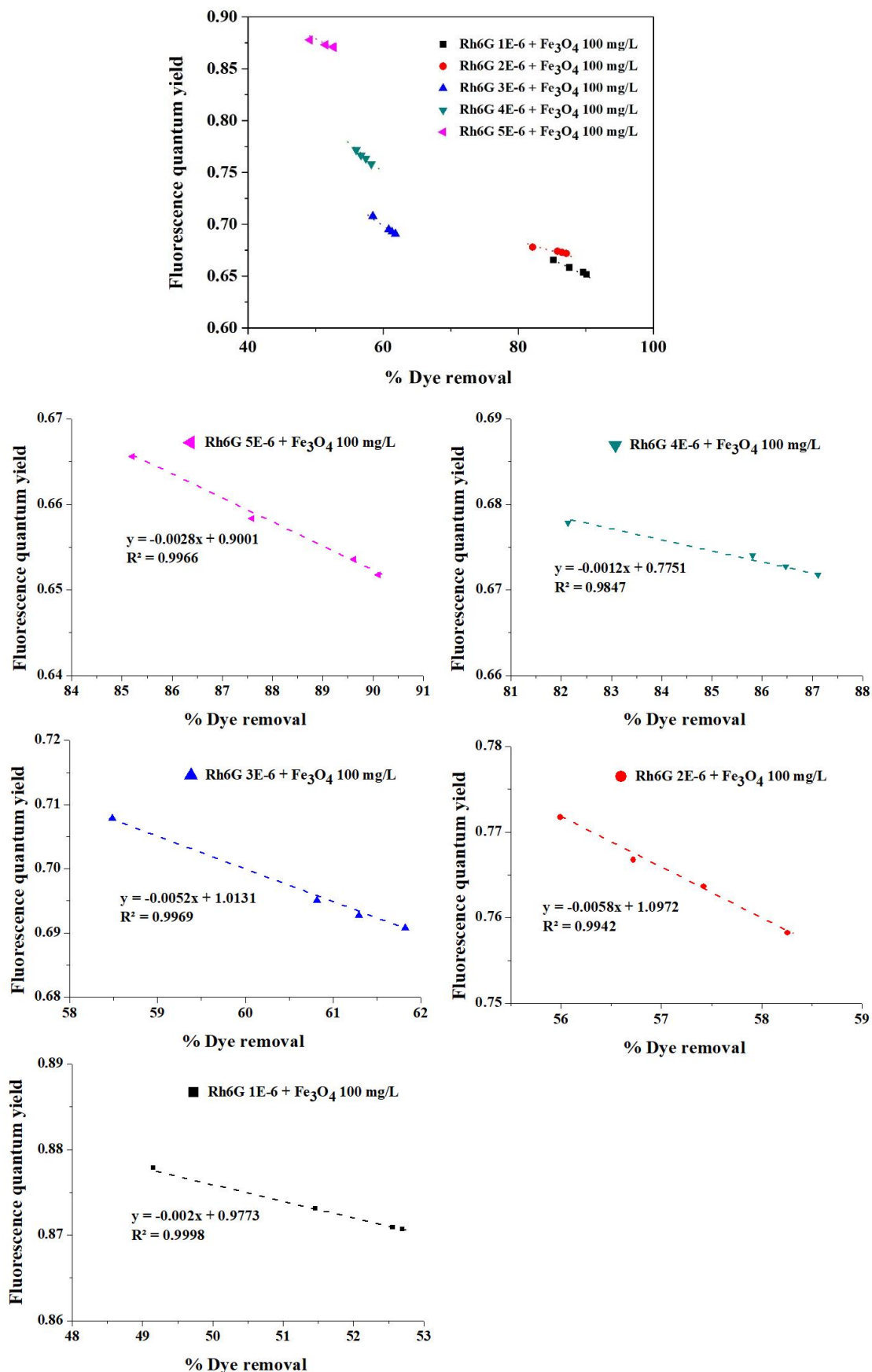
(ข) ค่าฟลูออเรสเซนซ์ควอนตัมยิลด์ Rh6G เมื่อเติมตัวดูดซับ Fe₃O₄ 300 มิลลิกรัมต่อลิตร



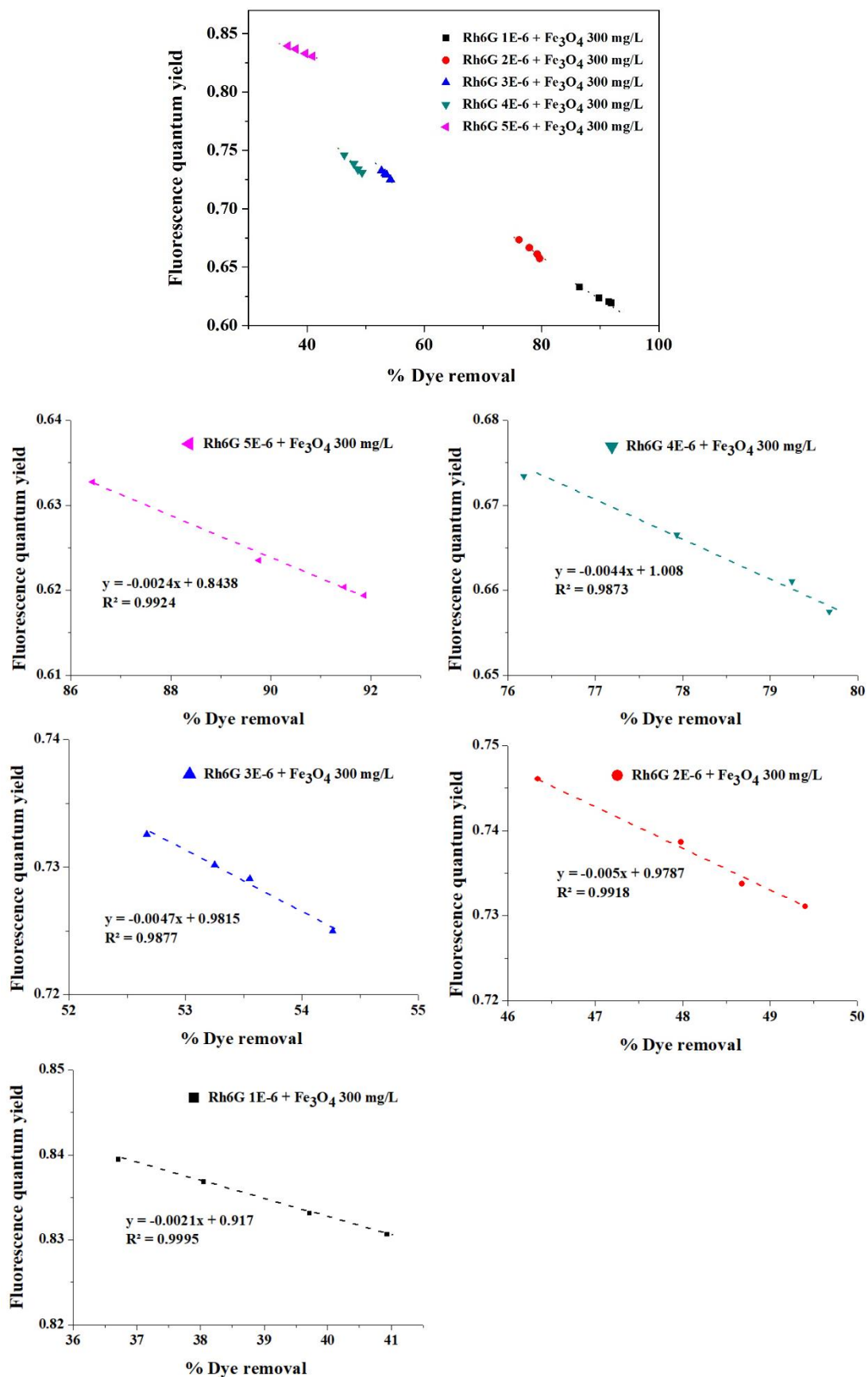
(ค) ค่าฟลูออเรสเซนซ์ควอนตัมยิลด์ Rh6G เมื่อเติมตัวดูดซับ Fe₃O₄ 500 มิลลิกรัมต่อลิตร

รูปที่ 4.14 กราฟแสดงความสัมพันธ์ระหว่างค่าฟลูออเรสเซนซ์ควอนตัมยิลด์ของสีย้อมกับเวลา

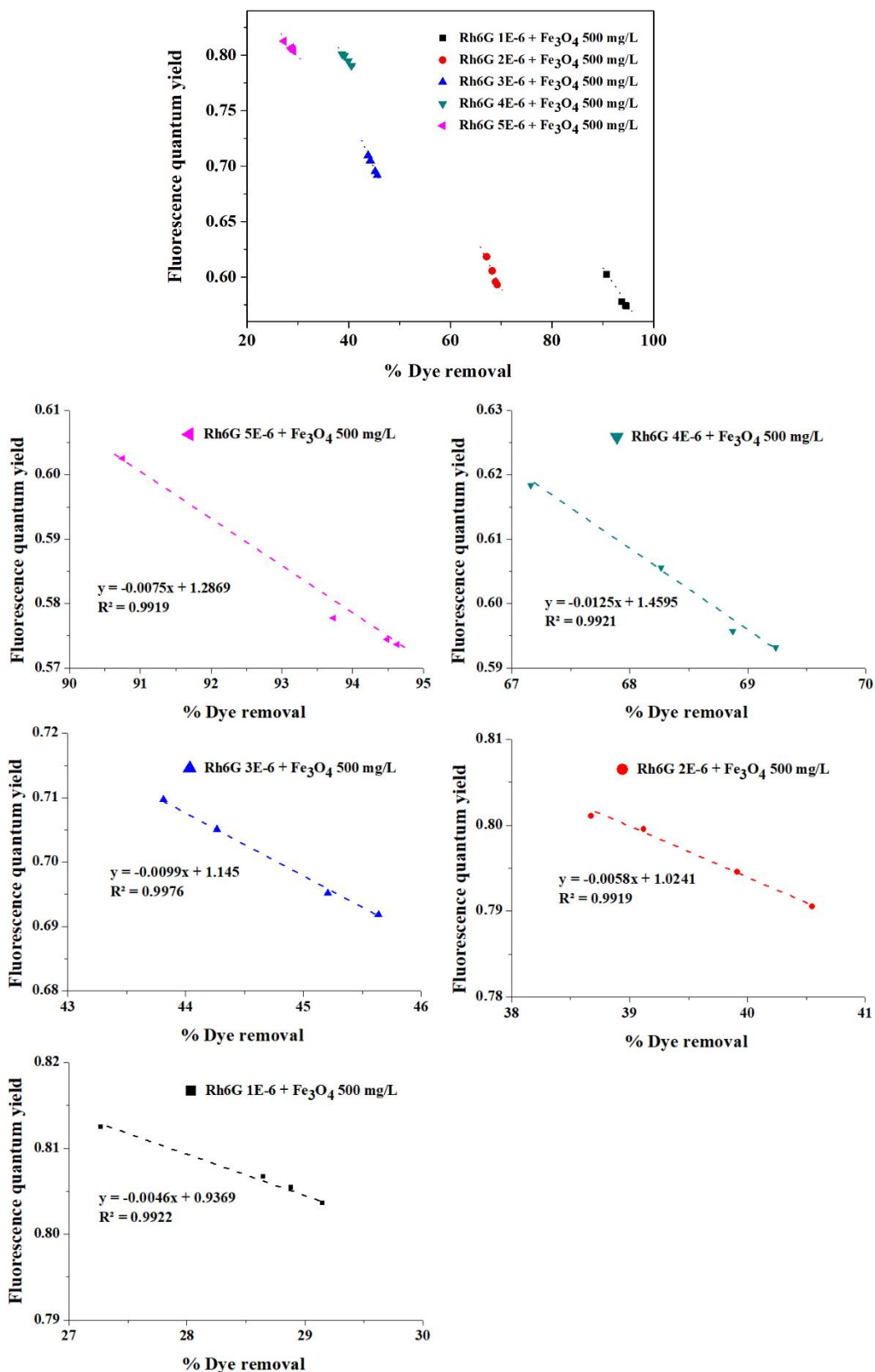
ทั้งนี้เมื่อพิจารณาค่าประสิทธิภาพการดูดซับสีย้อมและค่าฟลูออเรสเซนซ์ควอนตัมยิลด์ ของการทดลองที่กล่าวไปแล้วข้างต้น ในช่วงเวลาที่เข้าสู่ภาวะสมดุลของการดูดซับ (60 – 150 นาที) และสร้างกราฟแสดงความสัมพันธ์ระหว่างประสิทธิภาพการดูดซับสีย้อมกับค่าฟลูออเรสเซนซ์ควอนตัมยิลด์ ได้กราฟแสดงดังรูปที่ 4.15 จากกราฟแสดงให้เห็นว่าเมื่อประสิทธิภาพการดูดซับสีย้อมลดลงส่งผลให้ค่าฟลูออเรสเซนซ์ควอนตัมยิลด์มีแนวโน้มลดลงด้วยในทุกๆ ช่วงความเข้มข้น โดยมีแนวโน้มลดลงแบบเป็นเชิงเส้น ซึ่งสังเกตได้จากค่า R² ที่วิเคราะห์ได้จากกราฟของการทดลอง โดยค่า R² เปลี่ยนแปลงในช่วง 0.98 – 0.99 ซึ่งมีสาเหตุมาจากเมื่อเกิดกระบวนการดูดซับโมเลกุลสารย้อม Rh6G ไปเกาะบนผิวของตัวดูดซับอนุภาคนาโนแม่เหล็ก ทำให้ค่าการดูดกลืนแสงลดลง ดังนั้นจึงส่งผลให้ค่าประสิทธิภาพการดูดซับสีย้อมมีแนวโน้มลดลงด้วย แต่เนื่องจากการดูดกลืนแสงที่ลดลงจะสัมพันธ์กับปริมาณแสงที่ปลดปล่อยออกมาจากโมเลกุลของสีย้อมให้มีค่าลดลง ดังนั้นจึงส่งผลให้ค่าฟลูออเรสเซนซ์ควอนตัมยิลด์มีแนวโน้มลดลงด้วยเช่นเดียวกัน



(ก) สารละลาย Rh6G ที่ 1×10^{-6} – 5×10^{-6} โมลาร์ เมื่อเติมตัวดูดซับ Fe₃O₄ 100 มิลลิกรัมต่อลิตร



(ข) สารละลาย Rh6G ที่ 1×10^{-6} – 5×10^{-6} โมลาร์ เมื่อเติมตัวดูดซับ Fe₃O₄ 300 มิลลิกรัมต่อลิตร

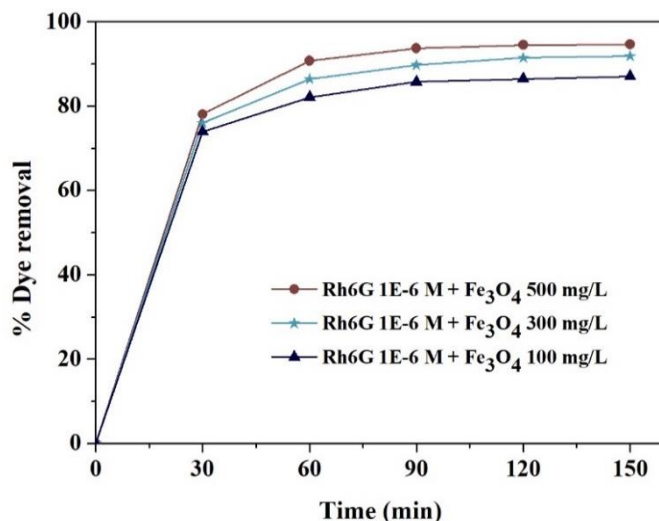


(ค) สารละลาย Rh6G ที่ 1×10^{-6} – 5×10^{-6} โมลาร์ เมื่อเติมตัวดูดซับ Fe₃O₄ 500 มิลลิกรัมต่อลิตร

รูปที่ 4.15 กราฟแสดงความสัมพันธ์ระหว่างประสิทธิภาพการดูดซับสีกับความฟลูออเรสเซนซ์ควอนตัมยิลด์ของสารละลาย Rh6G ความเข้มข้นต่าง ๆ

4.3.4 การศึกษาผลของปริมาณตัวดูดซับ

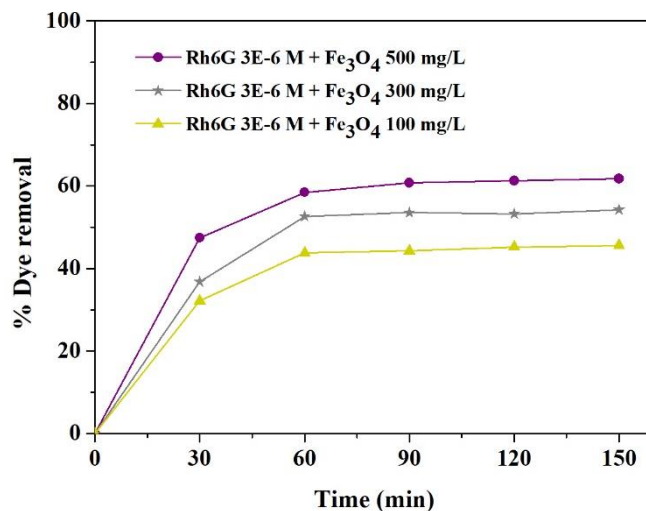
จากผลการวัดสเปกตรัมการดูดกลืนแสงด้วยวิธีการที่กล่าวมาแล้วในหัวข้อ 3.5.5 ของสารละลาย Rh6G ในช่วงความเข้มข้น 1×10^{-6} โมลต่อลิตร 2×10^{-6} โมลต่อลิตร 3×10^{-6} โมลต่อลิตร 4×10^{-6} โมลต่อลิตร และ 5×10^{-6} โมลต่อลิตร โดยใช้ตัวดูดซับสารแขวนลอยอนุภาคนาโนแม่เหล็ก Fe_3O_4 ในช่วงความเข้มข้น 100 มิลลิกรัมต่อลิตร 300 มิลลิกรัมต่อลิตร และ 500 มิลลิกรัมต่อลิตร ตามลำดับ ปั่นกวนสารละลายด้วยอัตราเร็ว 1500 รอบต่อนาที เป็นเวลา 150 นาที นำผลที่ได้จากการวัดไปคำนวณหาความเข้มข้นและประสิทธิภาพการดูดซับสีด้วยสมการที่ (4.1) และ (2.12) ตามลำดับ แสดงดังรูปที่ 4.16 จากกราฟแสดงให้เห็นว่าสมดุลของการดูดซับเกิดขึ้นที่เวลา 60 นาที และมีแนวโน้มการเปลี่ยนแปลงในทิศทางเดียวกัน โดยเมื่อเพิ่มปริมาณตัวดูดซับความสามารถในการดูดซับสีก็เพิ่มขึ้น เนื่องจากการเพิ่มปริมาณตัวดูดซับทำให้พื้นที่ผิวของตัวดูดซับและบริเวณที่เกิดการดูดซับมีมากขึ้น แต่ถ้าหากใช้ปริมาณตัวดูดซับที่มากเกินไปจะทำให้พื้นที่ผิวของตัวดูดซับและบริเวณที่เกิดการดูดซับมีมากเกินไปจนทำให้ประสิทธิภาพการดูดซับสีมีแนวโน้มลดลง [36 – 37]



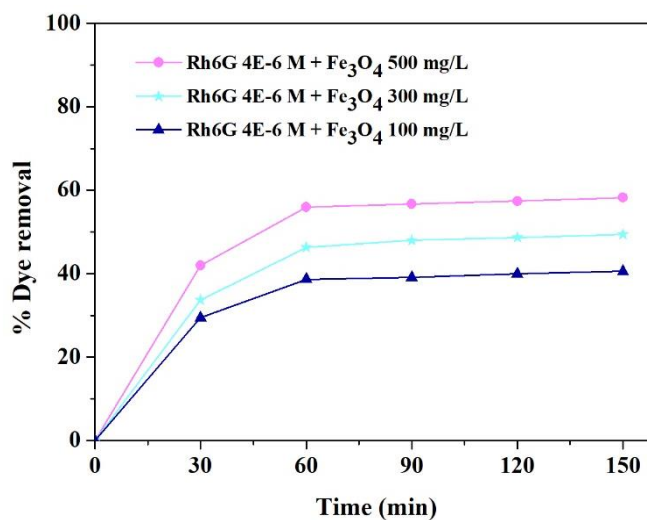
(ก) ประสิทธิภาพการดูดซับสีของ Rh6G 1×10^{-6} โมลาร์ เติม Fe_3O_4 100–500 มิลลิกรัมต่อลิตร



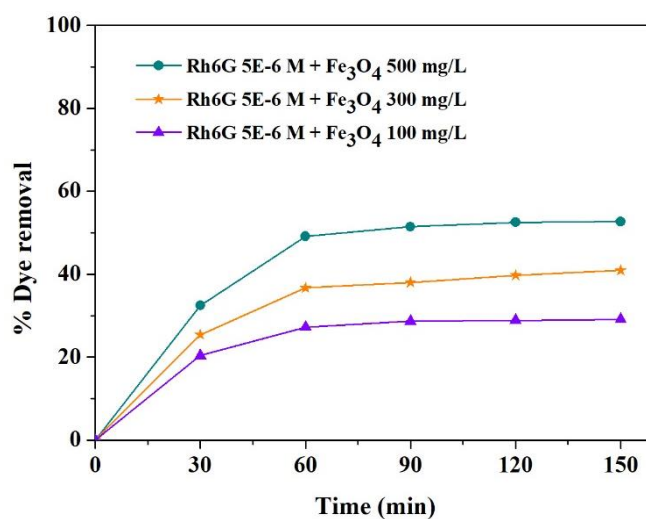
(ข) ประสิทธิภาพการดูดซับสีของ Rh6G 2×10^{-6} โมลาร์ เติม Fe_3O_4 100–500 มิลลิกรัมต่อลิตร



(ค) ประสิทธิภาพการดูดซับสีย้อม Rh6G 1×10^{-6} โมลาร์ เติม Fe₃O₄ 100–500 มิลลิกรัมต่อลิตร



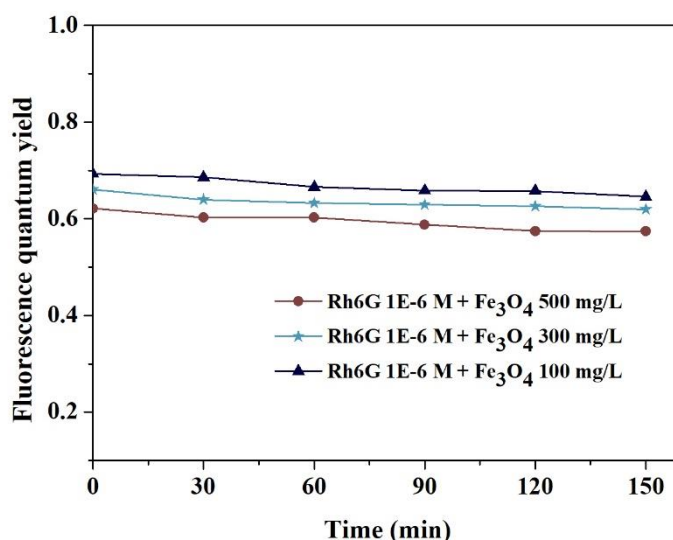
(ง) ประสิทธิภาพการดูดซับสีย้อม Rh6G 1×10^{-6} โมลาร์ เติม Fe₃O₄ 100–500 มิลลิกรัมต่อลิตร



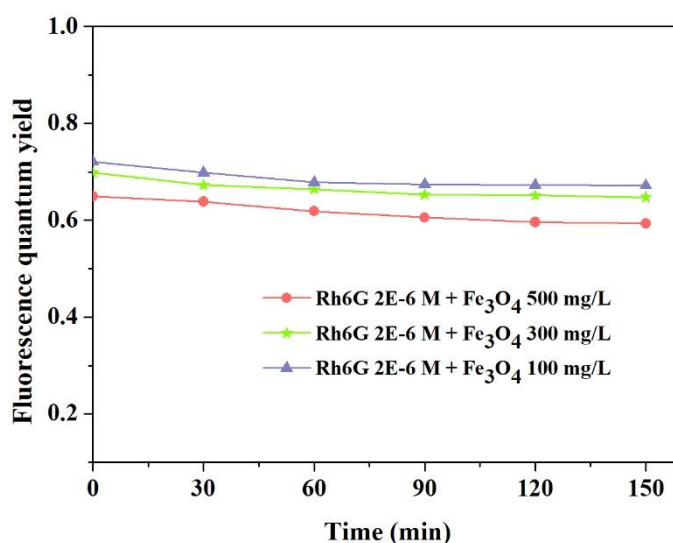
(จ) ประสิทธิภาพการดูดซับสีย้อม Rh6G 1×10^{-6} โมลาร์ เติม Fe₃O₄ 100–500 มิลลิกรัมต่อลิตร

รูปที่ 4.16 กราฟแสดงความสัมพันธ์ระหว่างปริมาณตัวดูดซับกับประสิทธิภาพการดูดซับสีย้อม

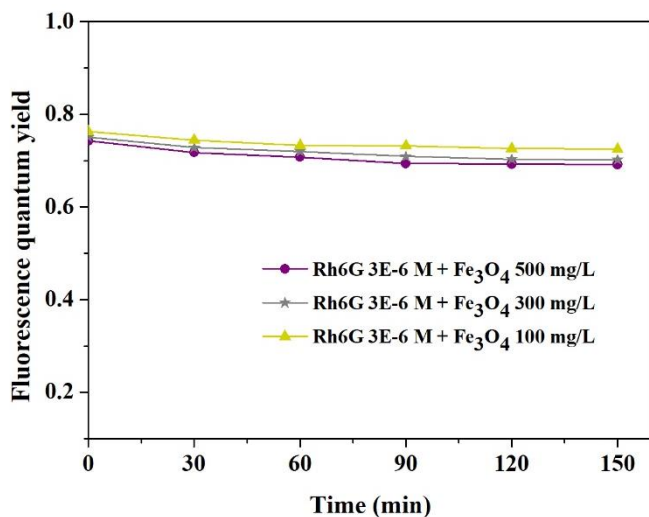
จากการวัดสเปกตรัมการเปล่งแสงและวัดค่าดัชนีหักเหแสงของสารละลายความเข้มข้นดังที่กล่าวไปแล้วข้างต้น วิเคราะห์ฟลูออเรสเซนซ์ควอนตัมยิลด์ด้วยสมการที่ (2.27) และสร้างกราฟแสดงความสัมพันธ์ระหว่างค่าฟลูออเรสเซนซ์ควอนตัมยิลด์กับเวลา ได้กราฟแสดงดังรูปที่ 4.17 จากกราฟแสดงให้เห็นว่าเมื่อเพิ่มปริมาณตัวดูดซับจาก 100 ถึง 500 มิลลิกรัมต่อลิตร ส่งผลให้ค่าฟลูออเรสเซนซ์ควอนตัมยิลด์ของสารสีย้อม Rh6G มีแนวโน้มลดลง เนื่องจากเมื่อเพิ่มปริมาณตัวดูดซับทำให้พื้นที่ผิวของตัวดูดซับและบริเวณที่เกิดการดูดซับมีมากขึ้น ซึ่งเมื่อสารละลายเกิดการดูดซับมากขึ้นส่งผลให้ความเข้มของสารสีย้อมลด ดังนั้นเมื่ออนุภาคเหล่านั้นได้รับการกระตุ้นจากความยาวคลื่นที่ทำให้เกิดการเปล่งแสงจึงเกิดการเรืองแสงลดลงด้วย



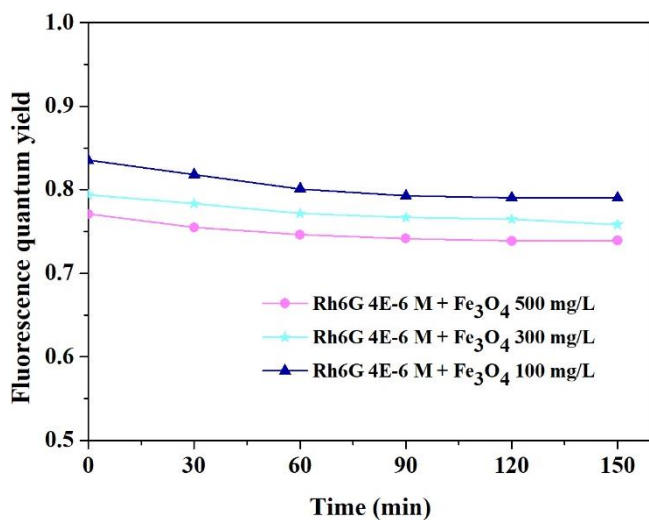
(ก) ค่าฟลูออเรสเซนซ์ควอนตัมยิลด์ Rh6G 1×10^{-6} โมลาร์ เติม Fe₃O₄ 100–500 มิลลิกรัมต่อลิตร



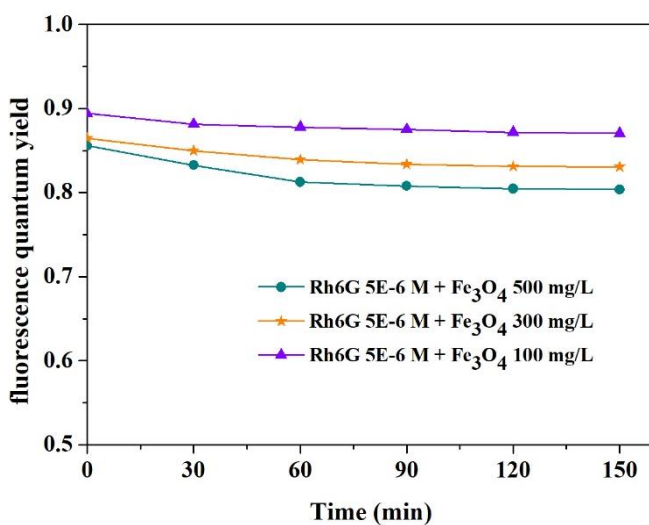
(ข) ค่าฟลูออเรสเซนซ์ควอนตัมยิลด์ Rh6G 2×10^{-6} โมลาร์ เติม Fe₃O₄ 100–500 มิลลิกรัมต่อลิตร



(ค) ค่าฟลูออเรสเซนซ์ควอนตัมยิลด์ Rh6G 3×10^{-6} โมลาร์ เติม Fe₃O₄ 100–500 มิลลิกรัมต่อลิตร



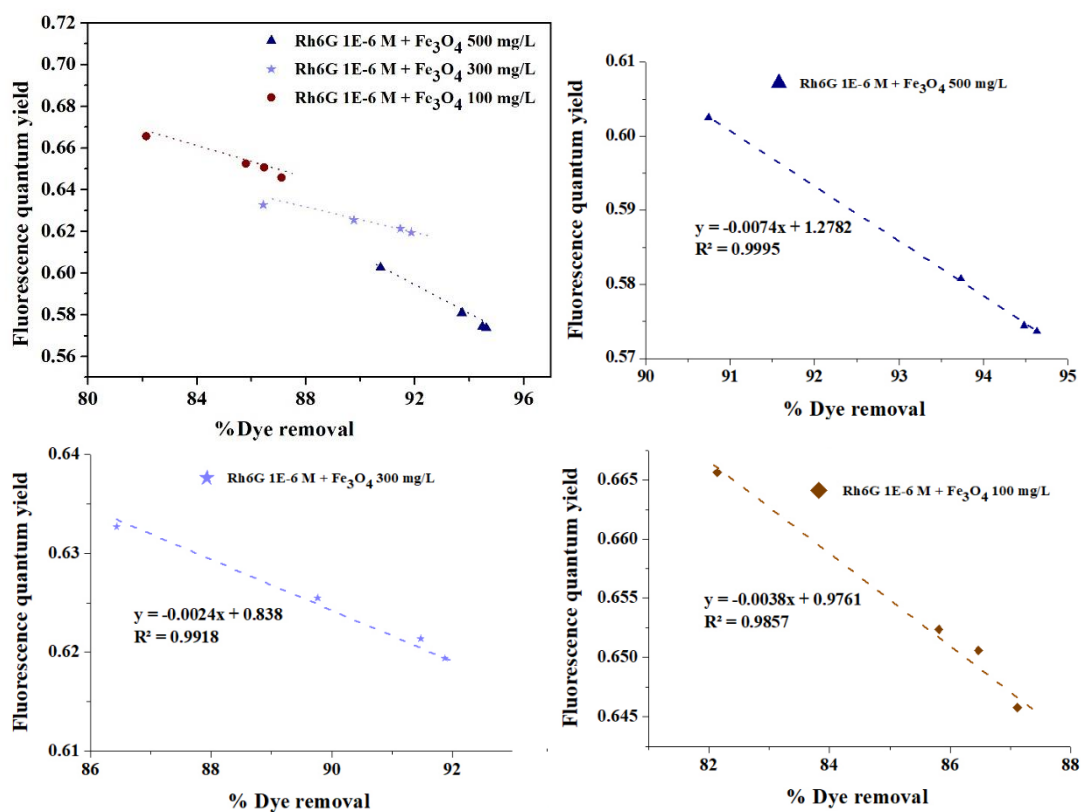
(ง) ค่าฟลูออเรสเซนซ์ควอนตัมยิลด์ Rh6G 4×10^{-6} โมลาร์ เติม Fe₃O₄ 100–500 มิลลิกรัมต่อลิตร



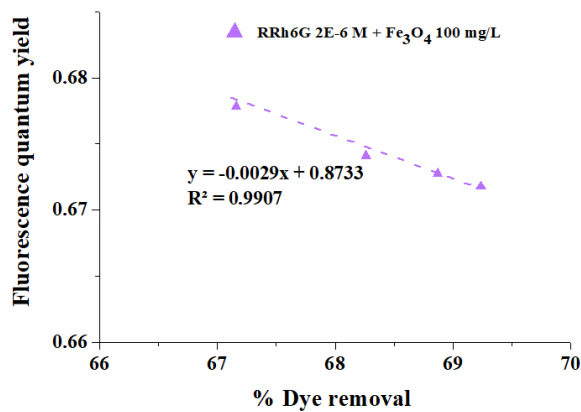
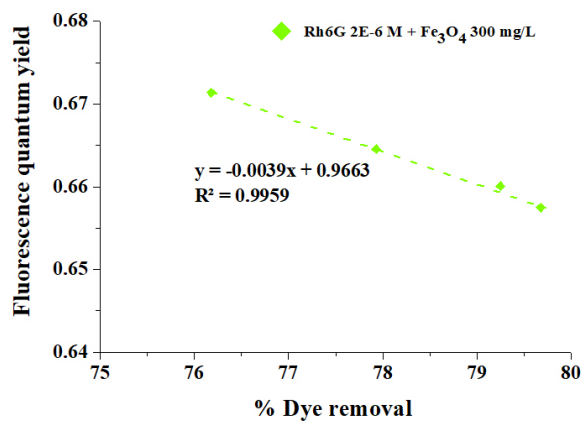
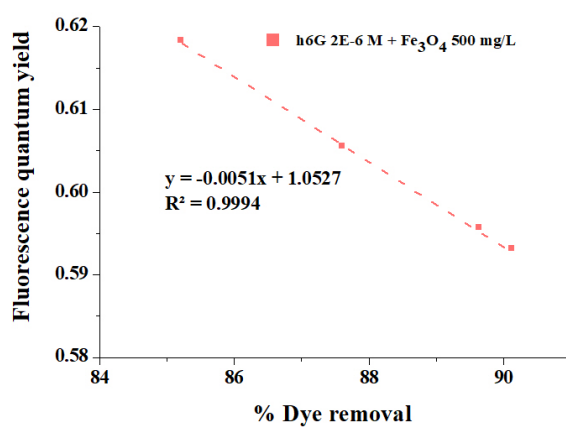
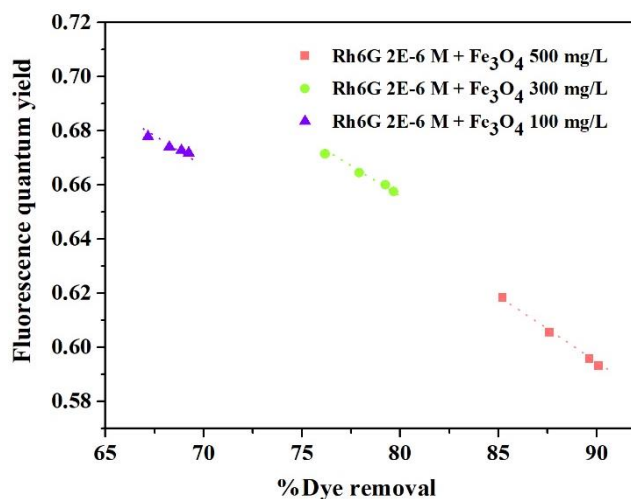
(จ) ค่าฟลูออเรสเซนซ์ควอนตัมยิลด์ Rh6G 5×10^{-6} โมลาร์ เติม Fe₃O₄ 100–500 มิลลิกรัมต่อลิตร

รูปที่ 4.17 กราฟแสดงความสัมพันธ์ระหว่างค่าฟลูออเรสเซนซ์ควอนตัมยิลด์ของปริมาณตัวดูดซับ

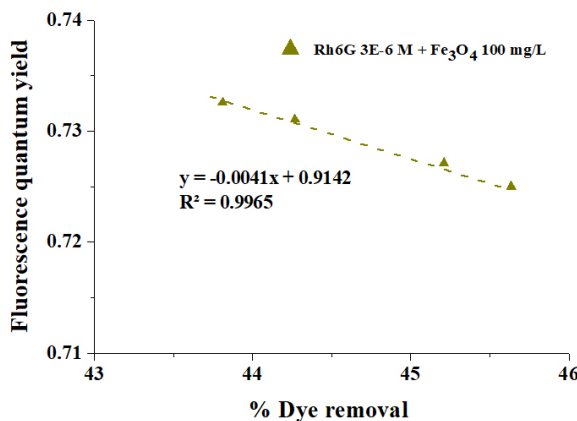
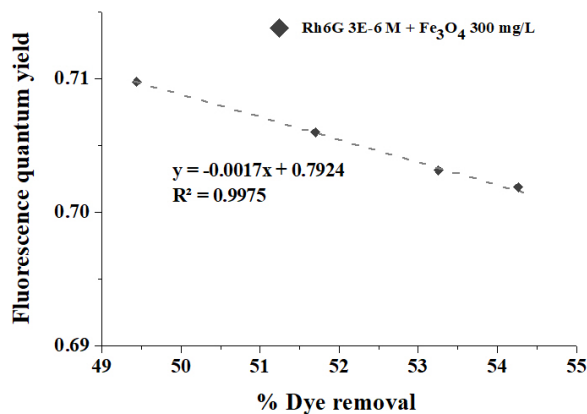
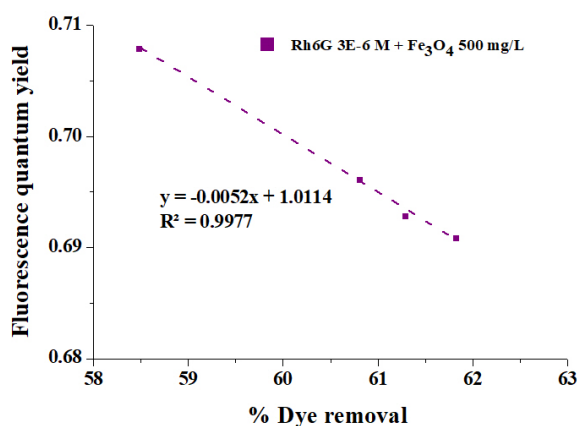
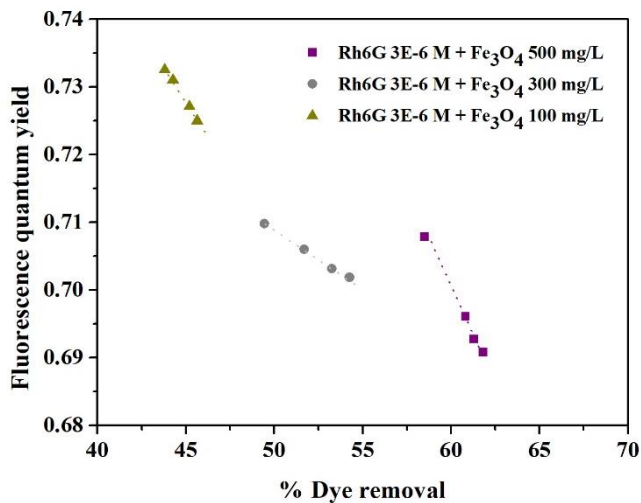
จากผลการทดลองที่กล่าวไปแล้วข้างต้นไปสร้างกราฟแสดงความสัมพันธ์ระหว่างประสิทธิภาพการดูดซับสี ย้อมกับค่าฟลูออเรสเซนซ์ควอนตัมยิลด์ ในช่วงเวลาที่เข้าสู่สภาวะสมดุลของการดูดซับ (60 – 150 นาที) ได้กราฟแสดงดังรูปที่ 4.18 จากกราฟแสดงให้เห็นว่าเมื่อประสิทธิภาพการดูดซับสีย้อมลดลงส่งผลให้ค่า ฟลูออเรสเซนซ์ควอนตัมยิลด์มีแนวโน้มลดลงด้วยในทุกๆ ช่วงความเข้มข้น ซึ่งสังเกตได้จากค่า R^2 ที่ วิเคราะห์ได้จากกราฟของการทดลอง โดยค่า R^2 เปลี่ยนแปลงในช่วง 0.98 – 0.99 และมีแนวโน้มลดลง แบบเป็นเชิงเส้น ทั้งนี้มีสาเหตุมาจากเมื่อเกิดกระบวนการดูดซับโมเลกุลสารย้อม Rh6G ไปเกาะติดบนผิว ของตัวดูดซับอนุภาคนาโนแม่เหล็กส่งผลให้ค่าการดูดกลืนแสงลดลง ดังนั้นจึงส่งผลให้ค่าประสิทธิภาพการ ดูดซับสีย้อมมีแนวโน้มลดลงด้วย แต่เนื่องจากการดูดกลืนแสงที่ลดลงจะสัมพันธ์กับปริมาณแสงที่ ปลดปล่อยออกมาจากโมเลกุลของสีย้อมให้มีค่าลดลง จึงส่งผลให้ค่าฟลูออเรสเซนซ์ควอนตัมยิลด์มี แนวโน้มลดลงเช่นเดียวกัน



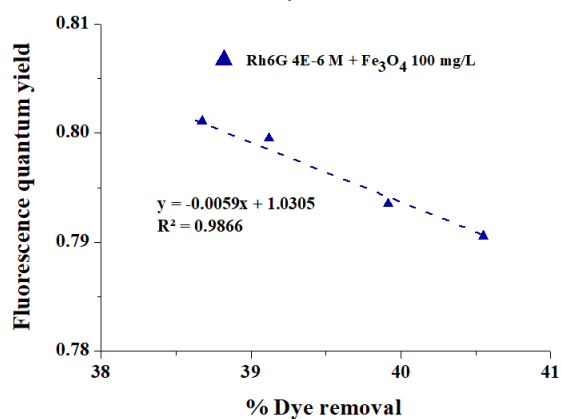
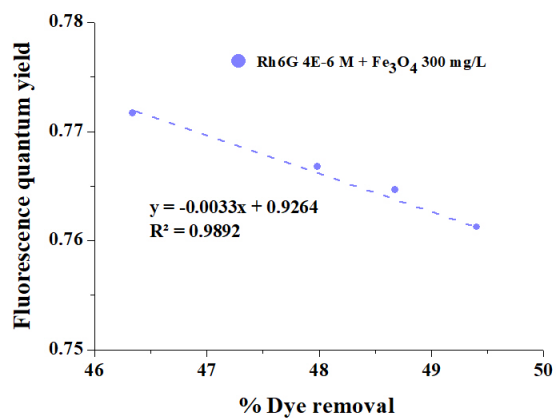
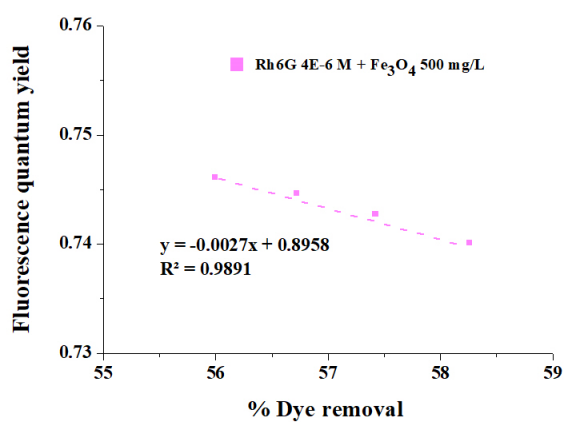
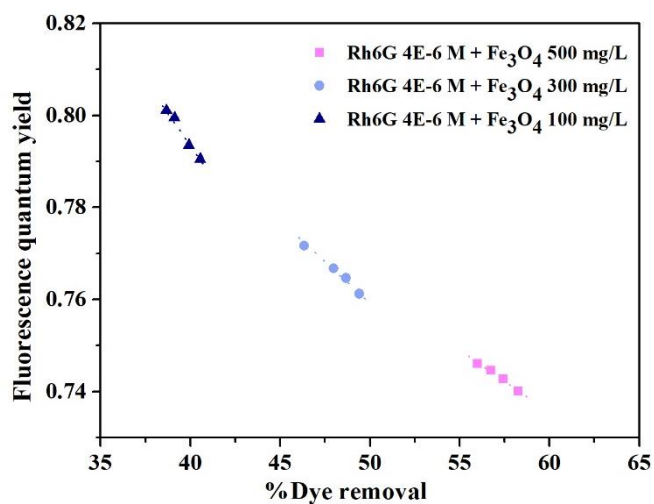
(ก) สารละลาย Rh6G 1×10^{-6} โมลาร์ เมื่อเติมตัวดูดซับ Fe₃O₄ 100 ถึง 500 มิลลิกรัมต่อลิตร



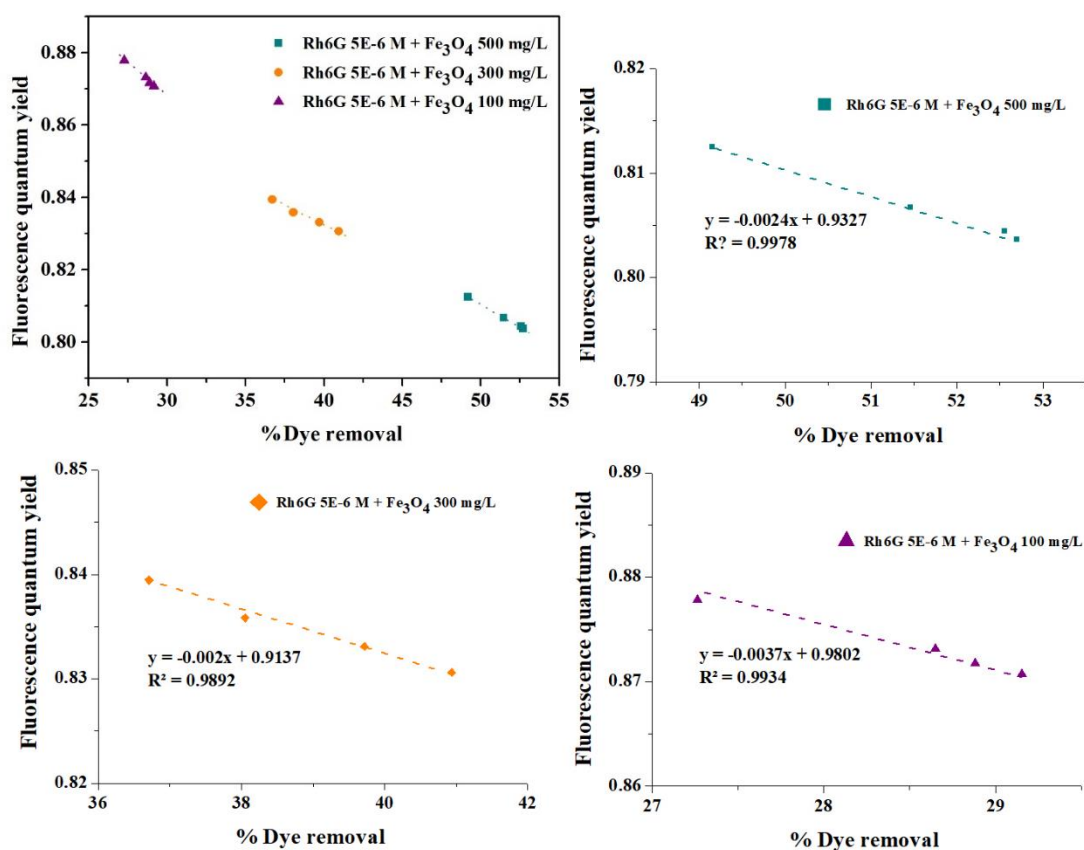
(ข) สารละลาย Rh6G 2×10^{-6} โมลาร์ เมื่อเติมตัวดูดซับ Fe₃O₄ 100 ถึง 500 มิลลิกรัมต่อลิตร



(ค) สารละลาย Rh6G 3×10^{-6} โมลาร์ เมื่อเติมตัวดูดซับ Fe₃O₄ 100 ถึง 500 มิลลิกรัมต่อลิตร



(ง) สารละลาย Rh6G 4×10^{-6} โมลาร์ เมื่อเติมตัวดูดซับ Fe₃O₄ 100 ถึง 500 มิลลิกรัมต่อลิตร



(จ) สารละลาย Rh6G 5×10^{-6} โมลาร์ เมื่อเติมตัวดูดซับ Fe_3O_4 100 ถึง 500 มิลลิกรัมต่อลิตร

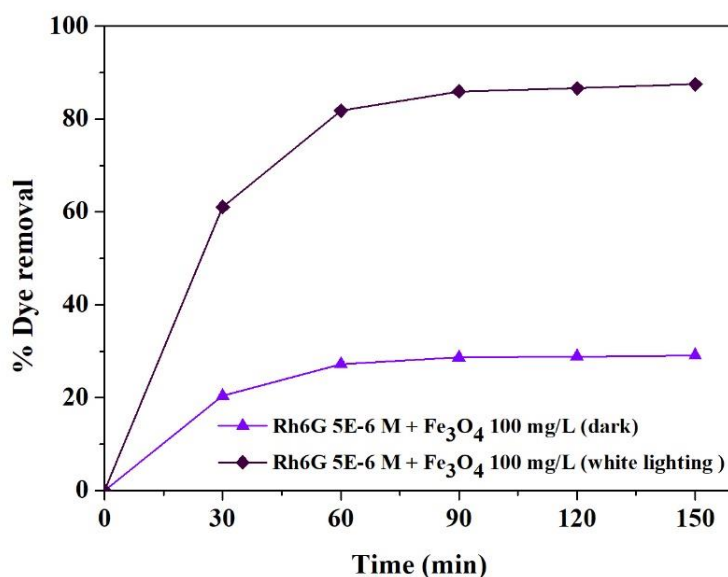
รูปที่ 4.18 กราฟแสดงความสัมพันธ์ระหว่างประสิทธิภาพการดูดซับสีย้อมกับค่าฟลูออเรสเซนซ์ควอนตัมยิลด์เมื่อเติมตัวดูดซับที่ความเข้มข้นต่าง ๆ

4.3.5 การศึกษาการย่อยสลายสีย้อม Rh6G โดยใช้ตัวดูดซับ Fe_3O_4 ภายใต้การฉายแสง

จากผลการทดลองวัดสเปกตรัมการดูดกลืนแสงของสารสีย้อม Rh6G ในรูปของสารละลายที่มีความเข้มข้น 5×10^{-6} โมลาร์ ผสมกับตัวดูดซับอนุภาคนาโนแม่เหล็ก Fe_3O_4 100 มิลลิกรัมต่อลิตร โดยอาศัยระบบวัดในหัวข้อ 3.3.3 ภายใต้เงื่อนไขไม่ฉายแสงและฉายแสงขาว ทำการทดลองเป็นเวลา 150 นาที ได้ผลแสดงดังรูปที่ 4.19

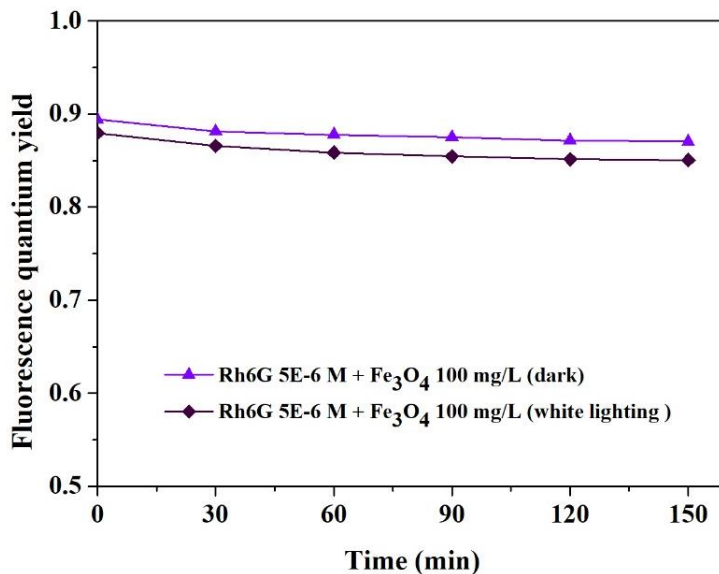
จากกราฟพบว่า การไม่ฉายแสงและฉายแสงขาว มีแนวโน้มเพิ่มขึ้นอย่างรวดเร็วในช่วง 30 นาทีแรก ต่อเนื่องไปจนถึง 60 นาที และมีแนวโน้มการเปลี่ยนแปลงที่น้อยลง ในช่วงเวลา 60 นาที ถึง 150 นาที และจากกราฟแสดงให้เห็นว่าแสงมีผลต่อการกำจัดสีย้อมอย่างมาก ซึ่งเมื่อไม่ฉายแสงและฉายแสงขาวมีประสิทธิภาพการกำจัดสีย้อมสูงสุดที่ 29.15 และ 89.45 เปอร์เซ็นต์ ตามลำดับ เมื่อพิจารณาความแตกต่างของประสิทธิภาพการกำจัดสีย้อมระหว่างการไม่ฉายแสงและฉายแสงขาว พบว่าการฉายแสงขาวทำให้ประสิทธิภาพการดูดซับสีย้อมเพิ่มขึ้นถึง 3 เท่า มีสาเหตุจากการฉายแสงขาวให้พลังงานที่อนุภาคเหล็กออกไซด์สามารถนำไปใช้ในกระบวนการโฟโตคะตะไลติกได้ โดยอนุภาคเหล็กออกไซด์ต้องการ

พลังงานมากกว่าหรือเท่ากับ 2.12 อิเล็กตรอนโวลต์หรือช่วงความยาวคลื่นประมาณ 585 นาโนเมตร เพื่อกระตุ้นให้อิเล็กตรอนข้ามผ่านแถบพลังงานจากชั้นวาเลนซ์แบนด์ไปยังชั้นคอนดักชันแบนด์จนเกิดคู่อิเล็กตรอน-โฮลที่ไปจับกับสีย้อมแล้วเกิดการสลายตัว ซึ่งแสงขาวให้พลังงานในย่านความยาวคลื่น 430 - 630 นาโนเมตร หรือ 2.88 - 1.96 อิเล็กตรอนโวลต์ เป็นช่วงของแถบพลังงานที่เหล็กออกไซด์สามารถนำพลังงานไปใช้ได้ และในขณะเดียวกันสารสีย้อมก็จะตอบสนองต่อค่าพลังงานที่มีค่าเท่ากับตัวเองหรือเป็นช่วงพลังงานที่สีย้อมเองสามารถดูดกลืนแสงได้ ทำให้เกิดการสลายตัวในขณะที่ได้รับพลังงานในช่วงที่ต้องการ ซึ่งสีย้อม Rh6G มีการดูดกลืนแสงในช่วงความยาวคลื่น 525 นาโนเมตรหรือ 2.35 อิเล็กตรอนโวลต์ ซึ่งเป็นช่วงพลังงานที่แสงขาวสามารถให้พลังงานได้ [42]



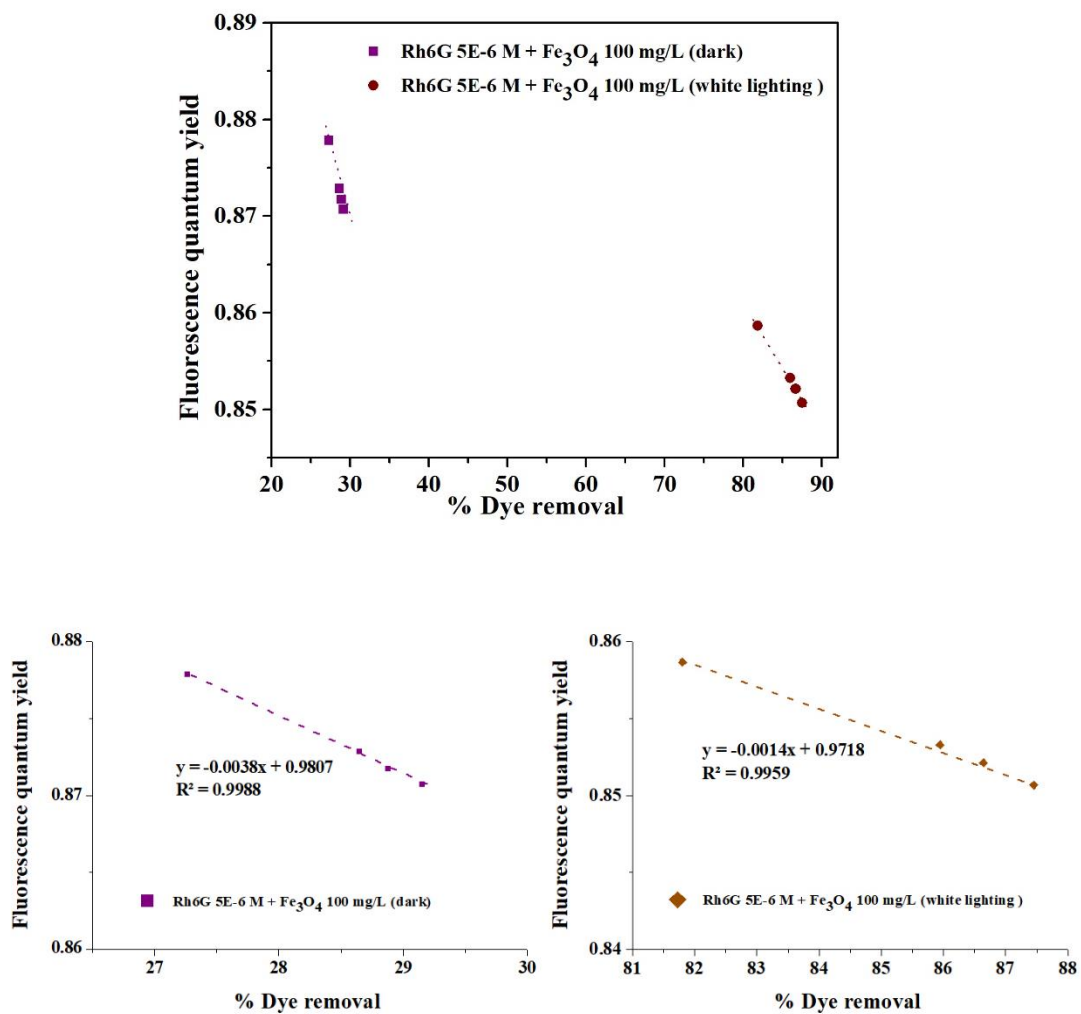
รูปที่ 4.19 กราฟแสดงความสัมพันธ์ระหว่างประสิทธิภาพการดูดซับสีย้อม Rh6G กับเวลาภายใต้การฉายแสงขาวและไม่ฉายแสง

เนื่องจากการฉายแสงขาวส่งผลให้ประสิทธิภาพการดูดซับสีย้อมเพิ่มขึ้นถึง 3 เท่า ซึ่งค่าประสิทธิภาพการดูดซับสีย้อมเพิ่มขึ้นนั้นเป็นผลมาจากค่าการดูดกลืนที่ลดลงอย่างมากเมื่อเกิดการฉายแสง ดังนั้นเมื่อสารละลายเกิดการดูดกลืนแสงน้อยลงส่งผลให้ค่าฟลูออเรสเซนซ์ควอนตัมยิลด์มีแนวโน้มเช่นกัน โดยกราฟแสดงความสัมพันธ์ระหว่างค่าฟลูออเรสเซนซ์ควอนตัมยิลด์กับเวลา แสดงดังรูปที่ 4.20



รูปที่ 4.20 กราฟแสดงความสัมพันธ์ระหว่างค่าฟลูออเรสเซนซ์ควอนตัมยิลด์ของสารละลาย Rh6G กับเวลาภายใต้การฉายแสงขาวและไม่ฉายแสง

จากผลการทดลองข้างต้นเมื่อสร้างกราฟแสดงความสัมพันธ์ระหว่างประสิทธิภาพการดูดซับสีย้อมกับค่าฟลูออเรสเซนซ์ควอนตัมยิลด์ ในช่วงเวลาที่เข้าสู่สมดุลของการดูดซับสีย้อม ได้กราฟแสดงดังรูปที่ 4.21 จากกราฟแสดงให้เห็นว่าเมื่อฉายแสงขาวส่งผลให้ประสิทธิภาพการดูดซับสีย้อมลดลงอย่างมาก และทำให้ค่าฟลูออเรสเซนซ์ควอนตัมยิลด์มีแนวโน้มลดลงด้วย โดยมีแนวโน้มลดลงแบบเป็นเชิงเส้นซึ่งวิเคราะห์ได้จากค่า R^2 ที่ได้จากกราฟของการทดลอง โดยค่า R^2 มีค่า 0.9988 และ 0.9959 เมื่อไม่ฉายแสงและฉายแสงขาวตามลำดับ ทั้งนี้มีสาเหตุมาจากการฉายแสงขาวให้พลังงานที่อนุภาคเหล็กออกไซด์สามารถนำไปใช้ในการบวนการโฟโตคะตะไลติกได้ ซึ่งแสงขาวให้พลังงานในย่าน 2.88 ถึง 1.96 อิเล็กตรอนโวลต์ เป็นช่วงพลังงานที่เหล็กออกไซด์สามารถนำไปใช้ในการจับกับสีย้อมแล้วเกิดการสลายตัวได้จึงสามารถดูดซับสีย้อมได้มากขึ้น ในขณะที่เดียวกันแสงขาวยังให้พลังงานในช่วงที่สารสีย้อม Rh6G สามารถดูดกลืนแสงได้ดี ดังนั้นเมื่อได้รับพลังงานในช่วงที่ต้องการจึงทำให้เกิดการสลายตัวและถูกดูดซับมากขึ้นทำให้มีค่าการดูดกลืนแสงลดลง ซึ่งสัมพันธ์กับปริมาณแสงที่ปลดปล่อยออกมาจากโมเลกุลของสีย้อมให้มียาลดลงด้วย



รูปที่ 4.21 กราฟแสดงความสัมพันธ์ระหว่างประสิทธิภาพการดูดซับสีของสารละลาย Rh6G ภายใต้การฉายแสงขาวและไม่ฉายแสง
ควอนตัมยิลด์ของสารละลาย Rh6G ภายใต้การฉายแสงขาวและไม่ฉายแสง

บทที่ 5

สรุปผลการวิจัยและข้อเสนอแนะ

งานวิจัยนี้เป็นการศึกษาสมบัติทางสเปกโตรสโคปีแสงของสีย้อมไวแสงโรดามีน 6จี ร่วมกับอนุภาคนาโนแม่เหล็ก Fe_3O_4 เพื่อทำการศึกษาปัจจัยต่างๆ ได้แก่ ความเข้มข้นของสารละลายสีย้อม ปริมาณตัวดูดซับอนุภาคนาโนแม่เหล็ก ที่ส่งผลต่อประสิทธิภาพการดูดซับสีย้อมโรดามีน 6จี และค่าฟลูออเรสเซนซ์ควอนตัมยิลด์เมื่อไม่ฉายแสงและการฉายแสงขาว ผลการวิจัยสามารถสรุปเป็นหัวข้อได้ดังนี้

5.1 สรุปผลการวิจัย

5.1.1 สรุปผลการศึกษาความสัมพันธ์ระหว่างอัตราเร็วในการปั่นกวนสารกับเวลา

จากการศึกษาเงื่อนไขของการปั่นกวนสาร ได้แก่ ไม่ปั่นกวนสารกับปั่นกวนสารด้วยอัตราเร็วในการปั่นกวน 1200 รอบต่อนาที และ 1500 รอบต่อนาที ตามลำดับ ของสารละลายโรดามีน 6จี ความเข้มข้น 4×10^{-6} โมลาร์ เมื่อเติมตัวดูดซับสารคอลลอยด์ Fe_3O_4 ที่ 100 มิลลิกรัมต่อลิตร พบว่าเมื่อไม่ปั่นกวนสารละลายส่งผลให้ค่าการดูดกลืนแสงเปลี่ยนแปลงน้อยมากเมื่อเทียบกับการปั่นกวน เมื่อเพิ่มการปั่นกวนสารละลายโดยใช้อัตราเร็วในการปั่นกวน 1200 รอบต่อนาที พบว่าค่าการดูดกลืนแสงลดลงจากเดิม 42.99 เปอร์เซ็นต์ และจะลดลงถึง 69.45 เปอร์เซ็นต์ เมื่อใช้อัตราเร็วในการปั่นกวน 1500 รอบต่อนาที เมื่อนำค่าความเข้มข้นที่ได้ไปคำนวณหาค่าประสิทธิภาพการดูดซับสีย้อมพบว่าเมื่อไม่ปั่นกวนสารละลายจะสามารถกำจัดสีย้อมได้เพียง 13.76 เปอร์เซ็นต์ แต่เมื่อเพิ่มงานปั่นกวนจะมีประสิทธิภาพการกำจัดสีย้อมได้ถึง 38.47 เปอร์เซ็นต์ และ 53.67 เปอร์เซ็นต์ ตามลำดับ เมื่อเปรียบเทียบภายใต้เงื่อนไขการปั่นกวนสารกับปั่นกวนสารด้วยอัตราเร็ว 1500 รอบต่อนาที พบว่าเมื่อปั่นกวนสารด้วยอัตราเร็วดังกล่าวส่งผลให้ค่าประสิทธิภาพการดูดซับสีย้อมมากกว่าเงื่อนไขไม่ปั่นกวนสารละลายถึง 2 เท่า และจากการทดลองพบว่าอัตราเร็วในการปั่นกวนที่เหมาะสม คือ 1500 รอบต่อนาที เนื่องจากเป็นขีดจำกัดของเครื่องมือวัด

5.1.2 สรุปผลการศึกษาเวลาที่มีต่อการดูดซับ

จากการศึกษาผลของเวลาที่เหมาะสมในการดูดซับสีย้อมโรดามีน 6จี ความเข้มข้น 5×10^{-6} โมลาร์ เมื่อเติมตัวดูดซับอนุภาคนาโนแม่เหล็ก Fe_3O_4 100 ถึง 500 มิลลิกรัมต่อลิตร ช่วงระยะเวลาในการดูดซับตั้งแต่ 0 ถึง 150 นาที พบว่าที่ระยะเวลา 150 นาที ค่าการดูดกลืนแสงมีค่าลดลงมากที่สุดถึง 37.11 เปอร์เซ็นต์ 53.30 เปอร์เซ็นต์ และ 72.37 เปอร์เซ็นต์ ตามลำดับ เมื่อนำค่าการดูดกลืนแสงของสารละลายสีย้อมที่เวลาต่าง ๆ ไปหาค่าความเข้มข้นที่เหลืออยู่ในสารละลาย ณ ภาวะสมดุล พบว่าค่าการดูดซับภายหลังจากเติมสารคอลลอยด์ของแม่เหล็ก Fe_3O_4 ที่ 100 ถึง 500 มิลลิกรัมต่อลิตร จะลดลงอย่างรวดเร็วในช่วงเวลา 0 ถึง 30 นาทีแรก อยู่ที่ 18.33 เปอร์เซ็นต์ 25.73 เปอร์เซ็นต์ และ 33.43 เปอร์เซ็นต์

ตามลำดับ และเปลี่ยนแปลงอย่างต่อเนื่องจนถึงเวลา 60 นาที จากนั้นมีแนวโน้มการเปลี่ยนแปลงที่น้อยลง ในช่วงเวลา 60 ถึง 150 นาที เนื่องจากการดูดซับเข้าสู่สภาวะสมดุล และจากการทดลองพบว่าเวลาที่เหมาะสมที่อนุภาคนาโนแม่เหล็ก Fe_3O_4 เกิดการดูดซับสีย้อม Rh6G และเข้าสู่สมดุลของการดูดซับคือ 60 นาที

5.1.3 สรุปผลการศึกษาความสัมพันธ์ระหว่างความเข้มข้นของสารละลายสีย้อมกับเวลา

จากการศึกษาผลของความเข้มข้นสารสีย้อมโรดามีน 6จี ในย่านความเข้มข้น 1×10^{-6} โมลาร์ 2×10^{-6} โมลาร์ 3×10^{-6} โมลาร์ 4×10^{-6} โมลาร์ และ 5×10^{-6} โมลาร์ เมื่อเติมตัวดูดซับสารแขวนลอยอนุภาคนาโนแม่เหล็ก Fe_3O_4 ที่ 100 ถึง 500 มิลลิกรัมต่อลิตร ใช้ความเร็วในการปั่นกวสารละลาย 1500 รอบต่อนาที ทำการทดลองเป็นเวลา 150 นาที พบว่าการดูดซับสารสีย้อม Rh6G ด้วยอนุภาคนาโนแม่เหล็ก Fe_3O_4 ทุกๆ ช่วงความเข้มข้นมีแนวโน้มของการเปลี่ยนแปลงไปในทิศทางเดียวกันและเข้าสู่สมดุลหลังจากเวลาผ่านไป 60 นาที เมื่อความเข้มข้นของสารละลาย Rh6G เพิ่มขึ้นส่งผลให้ค่าการดูดซับน้อยลง เนื่องจากเมื่อความเข้มข้นของสารละลายเพิ่มขึ้นปริมาณของสีจะเพิ่มขึ้นด้วย ดังนั้นเมื่อเกิดการดูดซับน้อยย่อมส่งผลให้ประสิทธิภาพการดูดซับสีย้อมน้อยลงด้วย ซึ่งความเข้มข้นของสารสีย้อมโรดามีน 6จี ที่เพิ่มขึ้นนั้นส่งผลให้ค่าฟลูออเรสเซนซ์ควอนตัมยิลด์มีแนวโน้มการเปลี่ยนแปลงเพิ่มขึ้นด้วย โดยค่าฟลูออเรสเซนซ์ควอนตัมยิลด์ของสารสีย้อมโรดามีน 6จี ทุกความเข้มข้นจะเปลี่ยนแปลงอย่างมากภายในเวลา 60 นาที และจะเริ่มคงที่ในช่วงเวลา 60 ถึง 150 นาที เนื่องจากช่วงเวลาดังกล่าวเข้าสู่สภาวะสมดุลของการดูดซับ และจากการทดลองยังพบว่าความเข้มข้นของสีย้อมโรดามีน 6จี ที่เหมาะสมสำหรับการทดลองนี้คือ 1×10^{-6} โมลาร์ เพราะส่งผลให้ค่าฟลูออเรสเซนซ์ควอนตัมยิลด์มีแนวโน้มการเปลี่ยนแปลงลดลงมากที่สุด

5.1.4 สรุปผลการศึกษาความสัมพันธ์ระหว่างปริมาณตัวดูดซับอนุภาคนาโนแม่เหล็กกับเวลา

จากการศึกษาผลของปริมาณตัวดูดซับสารแขวนลอยอนุภาคนาโนแม่เหล็ก Fe_3O_4 ในย่านความเข้มข้น 100 มิลลิกรัมต่อลิตร 300 มิลลิกรัมต่อลิตร และ 500 มิลลิกรัมต่อลิตร ที่ใช้ในการดูดซับสีย้อมโรดามีน 6จี ที่มีความเข้มข้น 1×10^{-6} ถึง 5×10^{-6} โมลาร์ พบว่าเมื่อเพิ่มปริมาณตัวดูดซับ Fe_3O_4 จาก 100 ถึง 500 มิลลิกรัมต่อลิตร ส่งผลให้ประสิทธิภาพการดูดซับสีย้อมของสารสีย้อมโรดามีน 6จี สูงขึ้น สมดุลของการดูดซับเกิดขึ้นที่เวลา 60 นาที และมีแนวโน้มการเปลี่ยนแปลงในทิศทางเดียวกัน เนื่องจากการเพิ่มปริมาณตัวดูดซับทำให้พื้นที่ผิวของตัวดูดซับและบริเวณที่เกิดการดูดซับมีมากขึ้น แต่ถ้าหากใช้ปริมาณตัวดูดซับที่มากเกินไปจะทำให้พื้นที่ผิวของตัวดูดซับและบริเวณที่เกิดการดูดซับมีมากเกินไปเป็นเหตุให้ประสิทธิภาพการดูดซับสีย้อมมีแนวโน้มลดลง และการเพิ่มปริมาณตัวดูดซับทำให้ความสามารถในการดูดซับสีย้อมเพิ่มขึ้น จึงส่งผลให้ค่าฟลูออเรสเซนซ์ควอนตัมยิลด์ของสารสีย้อม Rh6G มีแนวโน้มลดลงด้วย ดังนั้นเมื่อประสิทธิภาพการดูดซับสีย้อมลดลงส่งผลให้ค่าฟลูออเรสเซนซ์ควอนตัมยิลด์มีแนวโน้มลดลงด้วยในทุกๆ ช่วงความเข้มข้น และจากการทดลองยังพบว่าปริมาณตัวดูดซับอนุภาคนาโนแม่เหล็ก Fe_3O_4 ที่

เหมาะสมสำหรับใช้เป็นตัวดูดซับสีย้อมโรดามีน 6จี ในการทดลองนี้คือ 500 มิลลิกรัมต่อลิตร เพราะส่งผลให้ค่าฟลูออเรสเซนซ์ควอนตัมยิลด์มีแนวโน้มการเปลี่ยนแปลงลดลงมากที่สุด

5.1.5 สรุปผลการศึกษาความสัมพันธ์ระหว่างประสิทธิภาพการดูดซับสีย้อมกับเวลาภายใต้การฉายแสง

จากการศึกษาผลของประสิทธิภาพการดูดซับสีย้อมโรดามีน 6จี ความเข้มข้น 5×10^{-6} โมลาร์ เติมตัวดูดซับสารแขวนลอยอนุภาคนาโนแม่เหล็ก Fe_3O_4 100 มิลลิกรัมต่อลิตร ภายใต้เงื่อนไขการไม่ฉายแสงและฉายแสงขาว พบว่าแสงมีผลต่อการกำจัดสีย้อมอย่างมาก ซึ่งเมื่อไม่ฉายแสงมีประสิทธิภาพการกำจัดสีย้อมสูงสุดที่ 29.15 เปอร์เซ็นต์ แต่เมื่อฉายแสงขาวพบว่ามีค่ามากถึง 89.45 เปอร์เซ็นต์ ซึ่งการฉายแสงขาวทำให้ประสิทธิภาพการดูดซับสีย้อมมีค่ามากกว่าไม่ฉายแสงถึง 3 เท่า เมื่อฉายแสงขาวส่งผลให้ประสิทธิภาพการดูดซับสีย้อมลดลงอย่างมาก ทำให้ค่าฟลูออเรสเซนซ์ควอนตัมยิลด์มีแนวโน้มลดลงด้วยซึ่งมีสาเหตุมาจากการฉายแสงทำให้อนุภาคเหล็กออกไซด์เกิดการกระบวนการโฟโตคะตะไลติกจึงสามารถดูดซับสีย้อมได้มากขึ้น ดังนั้นเมื่อสารละลายถูกดูดซับได้มากจะทำให้มีค่าการดูดกลืนแสงลดลงซึ่งสัมพันธ์กับปริมาณแสงที่ปลดปล่อยออกมาจากโมเลกุลของสีย้อมให้มีค่าลดลงด้วย

5.2 ข้อเสนอแนะ

ในงานวิจัยนี้เป็นงานวิจัยที่ศึกษาสมบัติทางแสงของสารสีย้อมไวแสงโรดามีน 6จี ร่วมกับอนุภาคนาโนแม่เหล็กออกไซด์ เพื่อทำการศึกษาปัจจัยต่างๆ ค่าฟลูออเรสเซนซ์ควอนตัมยิลด์ ซึ่งเมื่อผู้ทำการวิจัยได้ทำการทดลองก็พบกับปัญหาในงานวิจัยด้านต่างๆดังนี้

5.2.1 สภาพแวดล้อมและเครื่องมือที่ใช้ในการทดลอง

- ขณะทำการทดลองต้องอยู่ในสภาวะที่ไม่มีแสงภายในมารบกวน เพราะอาจจะมีผลต่อการวิเคราะห์ประสิทธิภาพการกำจัดสีย้อมได้ และถ้าไม่ระมัดระวังอาจเป็นอันตรายต่อผู้ทำการทดลองได้
- ขณะทำการทดลองต้องอยู่ในสภาวะอุณหภูมิห้อง เพราะอาจจะมีผลต่อการวิเคราะห์ค่าฟลูออเรสเซนซ์ควอนตัมยิลด์ เนื่องจากเปลี่ยนแปลงได้ง่ายเมื่ออุณหภูมิเปลี่ยน
- การดูดสารละลายโรดามีน 6จี จากหลอดไมโครเซนติพิวที่ปั่นเหวี่ยงตกตะกอนมาแล้วต้องทำด้วยความระมัดระวังและเบามือเพื่อไม่ให้อนุภาคเหล็กออกไซด์ที่จับตัวเป็นก้อนเกิดการแตกตัว หากอนุภาคเหล็กออกไซด์ติดเข้ามาขณะดูดใส่ไมโครคิวเวท์อาจมีผลต่อการวัดค่าการดูดกลืนของแสงและการเปล่งแสงได้
- การปั่นกวนสารละลายต้องทำงานร่วมกับแท่งแม่เหล็กกวนสารละลายซึ่งถ้าปั่นเหวี่ยงในจำนวนรอบที่สูงมาก ต้องจัดตำแหน่งของแท่งแม่เหล็กกวนสารให้อยู่ตรงกลางของเครื่องกวนสารละลาย และตรงกึ่งกลางของภาชนะเพื่อป้องกันไม่ให้แท่งแม่เหล็กกวนสารเกิดการปั่นที่ไม่เสถียร อาจมีผลต่อการวิเคราะห์ประสิทธิภาพการกำจัดสีย้อมและค่าฟลูออเรสเซนซ์ควอนตัมยิลด์ได้

5.2.2 การเปรียบเทียบรูปแบบการวิเคราะห์ข้อมูล

จากการศึกษาปัจจัยที่ส่งผลต่อการดูดซับสีย้อมโรดามีน 6จี บนตัวดูดซับอนุภาคนาโนแม่เหล็ก Fe_3O_4 โดยใช้รูปแบบการวิเคราะห์ข้อมูลที่แตกต่างกัน ได้แก่ การวิเคราะห์ประสิทธิภาพการดูดซับสีย้อม (%Dye removal) และการวิเคราะห์ค่าฟลูออเรสเซนซ์ควอนตัมยิลด์ (FQY) ซึ่งจากผลการวิเคราะห์ด้วยรูปแบบดังกล่าวสามารถเปรียบเทียบข้อดี - ข้อเสีย ได้ดังตาราง 5.1 ซึ่งมีรายละเอียดดังนี้

ตาราง 5.1 การเปรียบเทียบรูปแบบการวิเคราะห์ข้อมูล

รูปแบบการวิเคราะห์ข้อมูล	ข้อดี	ข้อเสีย
1. ประสิทธิภาพการดูดซับสีย้อม	สามารถทำการทดลองและวิเคราะห์ผลการทดลองได้ง่าย เนื่องจากใช้ผลการวัดสเปกตรัมการดูดกลืนแสงเพียงอย่างเดียว และขั้นตอนในการทดลองไม่ซับซ้อน	มีความยุ่งยากในการทำกราฟมาตรฐานของสารละลาย จึงต้องศึกษาให้ละเอียดและรอบครอบก่อนเริ่มทำการทดลองเพราะถ้าหากวัดสเปกตรัมการดูดกลืนแสงผิดจะส่งผลให้กราฟมาตรฐานที่ใช้สำหรับหาความเข้มข้นผิด ดังนั้นเมื่อกราฟมาตรฐานผิดจะทำให้ผลการทดลองผิดด้วย
2. ค่าฟลูออเรสเซนซ์ควอนตัมยิลด์	เนื่องจากในการคำนวณหาค่าฟลูออเรสเซนซ์ควอนตัมยิลด์ ต้องใช้ผลจากการวัดหลายขั้นตอน ได้แก่ การวัดสเปกตรัมการดูดกลืนแสง การวัดสเปกตรัมการเปล่งแสง และการวัดค่าดัชนีหักเหแสง อีกทั้งค่าที่ได้จากการวัดในแต่ละขั้นตอนต้องสัมพันธ์กัน จึงจะทำให้แนวโน้มของค่าฟลูออเรสเซนซ์ควอนตัมยิลด์ถูกต้อง จึงเหมาะสำหรับนำไปประยุกต์ใช้กับการทดลองที่ต้องการความแม่นยำสูง	การทดลองมีความซับซ้อนและในการทดลองแต่ละความเข้มข้นใช้เวลาในการทดลองนานเนื่องจากต้องวัดค่าถึง 3 อย่าง ได้แก่ วัดสเปกตรัมการดูดกลืนแสง สเปกตรัมการเปล่งแสง และค่าดัชนีหักเหแสง จึงจะสามารถนำมาคำนวณหาค่าฟลูออเรสเซนซ์ควอนตัมยิลด์ได้

เอกสารอ้างอิง

- [1] วนิตา ชูอักษร. 2555. “เทคโนโลยีการกำจัดสีในน้ำเสียอุตสาหกรรม.” วารสารวิทยาศาสตร์บูรพา. 17(1) : 181-191.
- [2] เทพฤทธิ์ ปิติฤทธิ์. 2544. “การกำจัดสีย้อมรีแอคทีฟในสารละลายสีย้อมโดยการดูดซับด้วยซิลิกาอลูมินาที่ใช้แล้ว.” วิทยานิพนธ์วิทยาศาสตรมหาบัณฑิต สาขาเทคโนโลยีชีวภาพ, มหาวิทยาลัยเทคโนโลยีพระจอมเกล้าธนบุรี.
- [3] สกล ศิริรัตน์. 2546. “การกำจัดสีย้อมรีแอคทีฟและสีย้อมเบสิคจากสารละลายโดยใช้ถ่านกัมมันต์ชนิดเกล็ดเคลือบด้วยไคโตซาน.” วิทยานิพนธ์วิทยาศาสตรมหาบัณฑิต สาขาเทคโนโลยีสิ่งแวดล้อม, สถาบันเทคโนโลยีพระจอมเกล้าธนบุรี.
- [4] ปวีณา ณะสังข์. 2539. “การกำจัดสีจากน้ำทิ้งฟอกย้อมสิ่งทอโดยวิธีการออกซิเดชัน-รีดักชัน.” วิทยานิพนธ์วิทยาศาสตรมหาบัณฑิต สาขาเทคโนโลยีสิ่งแวดล้อม, สถาบันพระจอมเกล้าธนบุรี.
- [5] ชุตินธร มุลทองน้อย. 2543. “การปนเปื้อนและการบำบัดโลหะหนักในน้ำเสียจากห้องปฏิบัติการวิเคราะห์ทางเคมี โดยวิธีการตกตะกอนด้วยสารเคมี.” วิทยานิพนธ์วิทยาศาสตรมหาบัณฑิต สาขาเทคโนโลยีที่เหมาะสมเพื่อการพัฒนาทรัพยากร, มหาวิทยาลัยมหิดล.
- [6] Wijannarong, S., Aroonsrimorakot, S., Thavipoke, P., Kumsopa, c. and Sangjan, S. 2013. “Removal of Reactive Dyes from Textile Dyeing Industrial Effluent by Ozonation Process.” *APCBEE Procedia*. 5 : 279-282.
- [7] Brik, M., Chamam, B., Schoberl, P., Braun, R., and Fuchs, W. 2004. “Effect of Ozone, Chlorine and Hydrogen Peroxide on the Elimination of Colour in Treated Textile Wastewater by MBR.” *Water Sci Technol*. 49(4) : 299-303.
- [8] Fu, J., Chen, Z., Wang, M., Liu, S., Zhang, J., Zhang, J., Han, R. and Xu, Q. 2015. “Adsorption of Methylene Blue by a High-Efficiency Adsorbent (Polydopamine Microspheres): Kinetics, Isotherm, Thermodynamics and Mechanism Analysis.” *Chemical Engineering Journal*. 259 : 53-61.
- [9] Gupta, V., Agarwal, A., Singh, M.K. and Singh, N.B. 2017. “Removal of Red RB Dye from Aqueous Solution by Belpatra Bark Charcoal.” *Journal of Mechanical Engineering and Sciences*. 8(10) : 3718-3729.
- [10] สายรุ่ง นพขุนทด. 2554. “การกำจัดสีย้อมรีแอคทีฟจากน้ำเสียด้วยหินดินดาน.” วิทยานิพนธ์วิทยาศาสตรมหาบัณฑิต สาขาวิทยาศาสตร์สิ่งแวดล้อม, มหาวิทยาลัยเทคโนโลยีสุรนารี.

- [11] พัชรา พสุพงศ์. 2560. “การสังเคราะห์วัสดุผสมขนาดนาโนของซีเรียมออกไซด์-โคบอลต์เฟอร์ไรต์ เพื่อเป็นตัวเร่งปฏิกิริยาเชิงแสงในการสลายสีย้อม.” วิทยานิพนธ์วิทยาศาสตรมหาบัณฑิต สาขาวิชาเคมี, สถาบันเทคโนโลยีพระจอมเกล้าเจ้าคุณทหารลาดกระบัง.
- [12] Nassar, N.N. 2010. “Rapid Removal and Recovery of Pb(II) from Wastewater by Magnetic Nanoadsorbents.” *Journal of Hazardous Materials*. 184(1-3) : 538-546.
- [13] Hernandez, J.S.T., Muriel, A.A., Tabares, J.A., Alcazar, G.A. P. and Bolanos, A. 2015. “Preparation of Fe₃O₄ Nanoparticles and Removal of Methylene Blue through Adsorption.” *Journal of Physics : Conference Series*. 614.
- [14] Panneerselvam, P., Morad, N. Tan, K.A. and Mathiyarasi, R. 2012. “Removal of Rhodamine B Dye Using Activated Carbon Prepared from Palm Kernel Shell and Coated with Iron Oxide Nanoparticles.” *Separation Science and Technology*. 47(5) : 742-752.
- [15] Shahriari, T., Nabi Bidhendi, G., Mehrdadi, N. and Torabian, A. 2013. “Effective Parameters for the Adsorption of Chromium(III) onto Iron Oxide Magnetic Nanoparticle.” *International Journal of Environmental Science and Technology*. 11(2) : 349-356.
- [16] Yang, X., Chen, W., Huang, J., Zhou, Y., Zhu, Y. and Li, C. 2015. “Rapid Degradation of Methylene Blue in a Novel Heterogeneous Fe₃O₄@rGO@TiO₂-Catalyzed Photo-Fenton System.” *Scientific Reports*. 5(1).
- [17] Fan, Zhang., Xiaoju, Yin., Jing, Lan. and Weihua, Zhang. 2015. “Application of Ba₃(PO₄)₂/Fe₃O₄ as a Novel Magnetic Adsorbent to Removal Methyl Blue Aqueous Solution.” *Journal of Materials Science*. 51(7).
- [18] นิพนธ์ ตั้งคณานุกรักษ์. 2550. **หลักการตรวจวิเคราะห์คุณภาพน้ำทางเคมี**. กรุงเทพฯ : มหาวิทยาลัยเกษตรศาสตร์.
- [20] Nguyen T.K. and Selvanayagam R. 2015. **Nanotech weapon against chronic bacterial infections**. [Online]. Available : <http://www.understandingnano.com/iron-oxide-nanoparticles-bacteria.html>.
- [21] วิกิพีเดีย สารานุกรมเสรี. 2559. **การทดลองเชิงโมเลกุลเดี่ยว**. [Online]. Available : <http://th.wikipedia.org/wiki/การทดลองเชิงโมเลกุลเดี่ยว>.
- [22] แม้น อมรสิทธิ์ และคณะ. 2552. **หลักการและเทคนิคการวิเคราะห์เชิงเครื่องมือ**. กรุงเทพฯ : ชวนพิมพ์.
- [23] Valeur, B. 2001. **Molecular Fluorescence: Principles and Applications**. Germany : Betz-Druck Gmbh.

- [24] Allen, M.W. **Thermo Fisher Scientific**. USA : Madison.
- [25] Zhang, X.F., Zhang, Y. and Liu L. 2014. “Fluorescence Lifetimes and Quantum Yields of Ten Rhodamine Derivatives: Structural Effect on Emission Mechanism in Different Solvents.” *Journal of Luminescence*. 145 : 448-453.
- [26] Pathrose, B., Sahira, H., Nampoori, V.P.N., Radhakrishnan P. and Mujeeb A. 2014. *Spectrochimica Acta Part A: Molecular and Biomolecular Spectroscopy*. 128 : 522–526.
- [27] Ajmal, A., Majeed, I., Malik, R. N., Idriss, H. and Nadeem, M. A. 2014. “Principles and Mechanisms of Photocatalytic Dye Degradation on TiO₂ Based Photocatalysts: a Comparative Overview.” *Royal Society of Chemistry*. 4(70) : 37003–37026.
- [28] Ayodhya, D. and Veerabhadram, G. 2018. “A Review on Recent Advances in Photodegradation of Dyes Using Doped and Heterojunction Based Semiconductor Metal Sulfide Nanostructures for Environmental Protection.” *Materials Today Energy*. 9 : 83–113.
- [29] Wikipedia. 2561. **มอสเฟต**. [Online]. Available : <https://th.wikipedia.org/wiki/มอสเฟต>. (วันที่ค้นข้อมูล : 2 พฤษภาคม 2562).
- [30] Commandronestore.com. 2016. **ทรานซิสเตอร์**. [Online] Available : <https://commandronestore.com/learning/transistor000.php>
- [31] Gupta, V., Agarwal, A., Singh, M.K. and Singh N.B. 2017. Removal of Red Dye from Aqueous Solution by Belpatra Bark Charcoal (BBC) Adsorbent. *Journal of Materials and Environmental Sciences*. 8(10) : 3718-3729.
- [32] Fan, Zhang., Xiaoju, Yin., Jing, Lan. and Weihua, Zhang. 2015. “Application of Ba₃(PO₄)₂/Fe₃O₄ as a Novel Magnetic Adsorbent to Remove Methyl Blue from Aqueous Solution.” *Journal of Materials Science*. 51(7) : 3525–3535.
- [33] Panneerselvam, P., Mord, N., TAN, K.A. and Mathiyarasi, R. 2012. “Removal of Rhodamine B Dye Using Activated Carbon Prepared from Palm Kernel Shell and Coated with Iron Oxide Nanoparticles.” *Separation Science and Technology*. 47(5) : 742-752.
- [34] Ranjbari, E., Hadjmohammadi, M. R., Kiekens, F., and De, Wael, K. 2015. “Mixed Hemi/Ad-Micelle Sodium Dodecyl Sulfate-Coated Magnetic Iron Oxide Nanoparticles for the Efficient Removal and Trace Determination of Rhodamine B and Rhodamine-6G.” *Analytical Chemistry*. 87(15) : 7894-7901.

- [35] Tan, K. A., Morad, N., Teng, T. T., Norli, I. and Panneerselvam, P. 2012. "Removal of Cationic Dye by Magnetic Nanoparticle (Fe_3O_4) Impregnated onto Activated Maize Cob Powder and Kinetic Study of Dye Waste Adsorption." *APCBEE Procedia*. 1 : 82-89.
- [36] Sadhasivam, S., Savitha, S. and Swaminathan, K. 2007. "Exploitation of Trichoderma Harzianum Mycelial Waste for the Removal of Rhodamine 6G from Aqueous Solution." *Journal of Environmental Management*. 85(1). : 155–161.
- [37] Xu, Y.-Y., Zhou, M., Geng, H.-J., Hao, J.-J., Ou, Q.-Q., Qi, S.-D. and Chen, X.-G. 2012. "A Simplified Method for Synthesis of Fe_3O_4 @PAA Nanoparticles and its Application for the Removal of Basic Dyes." *Applied Surface Science*. 258(8). : 3897–3902.
- [38] Zhang, X.F. Zhang, Y and Liu, L. 2014. "Fluorescence Lifetimes and Quantum Yields of Ten Rhodamine Derivatives: Structural Effect on Emission Mechanism in Different Solvents." *Journal of Luminescence*. 145 : 448-453.
- [39] Wikipedia. 2016. **Rhodamine 6G**. [Online]. Available : https://en.wikipedia.org/wiki/Rhodamine_6G. (วันที่สืบค้นข้อมูล : 9 มกราคม 2562).
- [40] Wikipedia. 2016. **Iron(II,III) oxide**. [Online]. Available : [https://en.wikipedia.org/wiki/Iron\(II,III\)_oxide](https://en.wikipedia.org/wiki/Iron(II,III)_oxide). (วันที่สืบค้นข้อมูล : 9 มกราคม 2562).
- [41] BuyTropicalife.com. 2018. **DI WATER**. [Online]. Available : <https://buytropicalife.com/di-water-de-ionized-water.html>. (วันที่สืบค้นข้อมูล : 9 มกราคม 2562).
- [42] Bagbi, Y., Sarswat, A., Mohan, D., Pandey, A. and Solanki, P. R. 2017. "Lead and Chromium Adsorption from Water using L-Cysteine Functionalized Magnetite (Fe_3O_4) Nanoparticles." *Scientific Reports*. 7(1).

ภาคผนวก

ภาคผนวก ก

การเตรียมสารเพื่อใช้ในการงานวิจัย

เนื่องจากการทดลองใช้ความเข้มข้นของโรดามีน 6จี 1×10^{-6} โมลาร์ 2×10^{-6} โมลาร์ 3×10^{-6} โมลาร์ 4×10^{-6} โมลาร์ และ 5×10^{-6} โมลาร์ ผสมกับอนุภาคนาโนแม่เหล็ก Fe_3O_4 100 มิลลิกรัมต่อลิตร 300 มิลลิกรัมต่อลิตร และ 500 มิลลิกรัมต่อลิตร ดังนั้นจึงต้องเตรียมสารละลายโรดามีน 6จี และอนุภาคนาโนแม่เหล็กให้มีความเข้มข้นมากกว่าเดิม 2 เท่า

1. วิธีการคำนวณการเตรียมสารละลายโรดามีน 6จี

ในการเตรียมสารละลายตั้งต้นโรดามีน 6จีที่มีความเข้มข้น 1×10^{-3} โมลาร์ ในปริมาตร 10 มิลลิตร สามารถคำนวณได้ดังนี้

จากสูตร

$$g = (N_1 \times V_1 \times MW) \times 1000$$

เมื่อ	g	คือ ปริมาณสารที่ต้องการ (กรัม)
	MW	คือ มวลโมเลกุลของสาร (มวลโมเลกุลของโรดามีน 6จี 479.02 g/mol)
	V_1	คือ ปริมาตรสารละลาย (มิลลิลิตร) (10 มิลลิลิตร)
	N_1	คือ ความเข้มข้นที่ต้องการ (โมลาร์) (10^{-3} โมลาร์)

จะได้

$$g = (10^{-3} \text{ M} \times 10 \text{ mL} \times 479.02 \text{ g/mol}) \times 1000$$

$$g = 0.0047 \text{ g}$$

ดังนั้น จากการคำนวณจะต้องชั่งสารสีย้อม Rh6G ปริมาณ 0.0047 กรัม และนำมาทำละลายกับน้ำปราศจากไอออน

2. วิธีการคำนวณการเจือจางสารละลายสีย้อมให้ได้ความเข้มข้นที่ต้องการ

คำนวณได้จากสมการ

$$C_1 \times V_1 = C_2 \times V_2$$

เมื่อ	C_1	คือ ความเข้มข้นของสารละลายตั้งต้น
	C_2	คือ ความเข้มข้นของสารละลายที่ต้องการ
	V_1	คือ ปริมาตรของสารละลายตั้งต้นที่เตรียมไว้
	V_2	คือ ปริมาตรของสารละลายที่ต้องการ

2.1 เตรียมสารละลายโรดามีน 6จี ที่ความเข้มข้น 2×10^{-6} โมลาร์ ที่ปริมาตร 10 มิลลิลิตร โดยทำการเจือจางจากความเข้มข้น 10^{-3} โมลาร์

$$\begin{aligned} \text{ปริมาตรที่ต้องการแบ่งมา} \quad V_1 &= (C_2 \times V_2) \div C_1 \\ V_1 &= ((2 \times 10^{-6}) \times (10)) \div (10^{-3}) \\ V_1 &= 0.02 \text{ มิลลิลิตร} \end{aligned}$$

ดังนั้นนำสารละลายโรดามีน 6จี ที่ความเข้มข้น 10^{-3} โมลาร์ มา 0.02 มิลลิลิตร ผสมกับน้ำปราศจากไอออน 9.8 มิลลิลิตร

2.2 เตรียมสารละลายโรดามีน 6จี ที่ความเข้มข้น 4×10^{-6} โมลาร์ ที่ปริมาตร 10 มิลลิลิตร โดยทำการเจือจางจากความเข้มข้น 10^{-3} โมลาร์

$$\begin{aligned} \text{ปริมาตรที่ต้องการแบ่งมา} \quad V_1 &= (C_2 \times V_2) \div C_1 \\ V_1 &= ((4 \times 10^{-6}) \times (10)) \div (10^{-3}) \\ V_1 &= 0.04 \text{ มิลลิลิตร} \end{aligned}$$

ดังนั้นนำสารละลายโรดามีน 6จี ที่ความเข้มข้น 10^{-3} โมลาร์ มา 0.04 มิลลิลิตร ผสมกับน้ำปราศจากไอออน 9.6 มิลลิลิตร

2.3 เตรียมสารละลายโรดามีน 6จี ที่ความเข้มข้น 6×10^{-6} โมลาร์ ที่ปริมาตร 10 มิลลิลิตร โดยทำการเจือจางจากความเข้มข้น 10^{-3} โมลาร์

$$\begin{aligned} \text{ปริมาตรที่ต้องการแบ่งมา} \quad V_1 &= (C_2 \times V_2) \div C_1 \\ V_1 &= ((6 \times 10^{-6}) \times (10)) \div (10^{-3}) \\ V_1 &= 0.06 \text{ มิลลิลิตร} \end{aligned}$$

ดังนั้นนำสารละลายโรดามีน 6จี ที่ความเข้มข้น 10^{-3} โมลาร์ มา 0.06 มิลลิลิตร ผสมกับน้ำปราศจากไอออน 9.4 มิลลิลิตร

2.4 เตรียมสารละลายโรดามีน 6จี ที่ความเข้มข้น 8×10^{-6} โมลาร์ ที่ปริมาตร 10 มิลลิลิตร โดยทำการเจือจางจากความเข้มข้น 10^{-3} โมลาร์

$$\begin{aligned} \text{ปริมาตรที่ต้องการแบ่งมา} \quad V_1 &= (C_2 \times V_2) \div C_1 \\ V_1 &= ((8 \times 10^{-6}) \times (10)) \div (10^{-3}) \\ V_1 &= 0.08 \text{ มิลลิลิตร} \end{aligned}$$

ดังนั้นนำสารละลายโรดามีน 6จี ที่ความเข้มข้น 10^{-3} โมลาร์ มา 0.08 มิลลิลิตร ผสมกับน้ำปราศจากไอออน 9.2 มิลลิลิตร

2.5 เตรียมสารละลายโรดามีน 6จี ที่ความเข้มข้น 10×10^{-6} โมลาร์ ที่ปริมาตร 10 มิลลิลิตร โดยทำการเจือจางจากความเข้มข้น 10^{-3} โมลาร์

$$\begin{aligned} \text{ปริมาตรที่ต้องการแบ่งมา} \quad V_1 &= (C_2 \times V_2) \div C_1 \\ V_1 &= ((10 \times 10^{-6}) \times (10)) \div (10^{-3}) \\ V_1 &= 0.1 \text{ มิลลิลิตร} \end{aligned}$$

ดังนั้นนำสารละลายโรดามีน 6จี ที่ความเข้มข้น 10^{-3} โมลาร์ มา 0.1 มิลลิลิตร ผสมกับน้ำปราศจากไอออน 9.9 มิลลิลิตร

3.3.3 วิธีคำนวณปริมาณสารเหล็กออกไซด์ที่ความเข้มข้น 200 มิลลิกรัมต่อลิตร ปริมาตร 10 มิลลิลิตร

ดังนั้น 200 มิลลิกรัมต่อลิตร = 0.002 กรัมต่อ 10 มิลลิลิตร

เพราะฉะนั้นปริมาณสารเหล็กออกไซด์ ที่ต้องการซึ่งเท่ากับ 0.002 กรัม ผสมน้ำปราศจากไอออน 10 มิลลิลิตร จะได้อนุภาคเหล็กออกไซด์ ที่ความเข้มข้น 200 มิลลิกรัมต่อลิตร

3. การเตรียมวัสดุตัวดูดซับอนุภาคนาโนแม่เหล็ก Fe_3O_4

ในการเตรียมสารแขวนลอยนาโนแม่เหล็กที่มีความเข้มข้นในช่วง 100 มิลลิกรัมต่อลิตร 300 มิลลิกรัมต่อลิตร และ 500 มิลลิกรัมต่อลิตร มีวิธีการคำนวณดังนี้

3.1 เตรียมสารแขวนลอยอนุภาคนาโนแม่เหล็ก Fe_3O_4 ที่ความเข้มข้น 200 มิลลิกรัมต่อลิตร ปริมาตร 10 มิลลิลิตร

โดยความเข้มข้น 200 มิลลิกรัมต่อลิตร = 0.002 กรัมต่อ 10 มิลลิลิตร

ดังนั้นต้องชั่งอนุภาคนาโนแม่เหล็ก Fe_3O_4 ปริมาณ 0.002 กรัม ผสมน้ำปราศจากไอออน 10 มิลลิลิตร จะได้อนุภาคเหล็กออกไซด์ ที่ความเข้มข้น 200 มิลลิกรัมต่อลิตร

3.2 เตรียมสารแขวนลอยอนุภาคนาโนแม่เหล็ก Fe_3O_4 ที่ความเข้มข้น 600 มิลลิกรัมต่อลิตร ปริมาตร 10 มิลลิลิตร

โดยความเข้มข้น 600 มิลลิกรัมต่อลิตร = 0.006 กรัมต่อ 10 มิลลิลิตร

ดังนั้นต้องชั่งอนุภาคนาโนแม่เหล็ก Fe_3O_4 ปริมาณ 0.006 กรัม ผสมน้ำปราศจากไอออน 10 มิลลิลิตร จะได้อนุภาคเหล็กออกไซด์ ที่ความเข้มข้น 600 มิลลิกรัมต่อลิตร

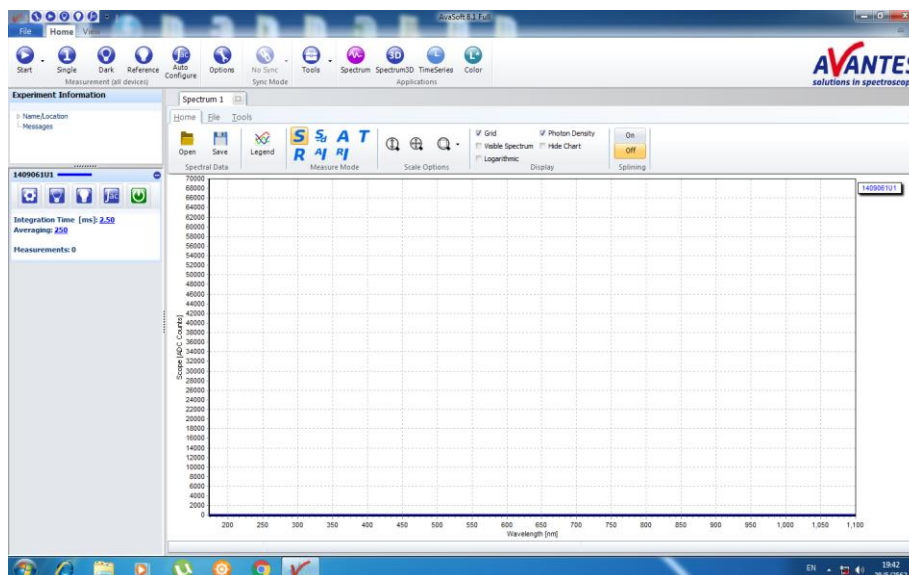
3.3 เตรียมสารแขวนลอยอนุภาคนาโนแม่เหล็ก Fe_3O_4 ที่ความเข้มข้น 1000 มิลลิกรัมต่อลิตร ปริมาตร 10 มิลลิลิตร

โดยความเข้มข้น 1000 มิลลิกรัมต่อลิตร = 0.01 กรัมต่อ 10 มิลลิลิตร

ดังนั้นต้องชั่งอนุภาคนาโนแม่เหล็ก Fe_3O_4 ปริมาณ 0.01 กรัม ผสมน้ำปราศจากไอออน 10 มิลลิลิตร จะได้อนุภาคเหล็กออกไซด์ ที่ความเข้มข้น 1000 มิลลิกรัมต่อลิตร

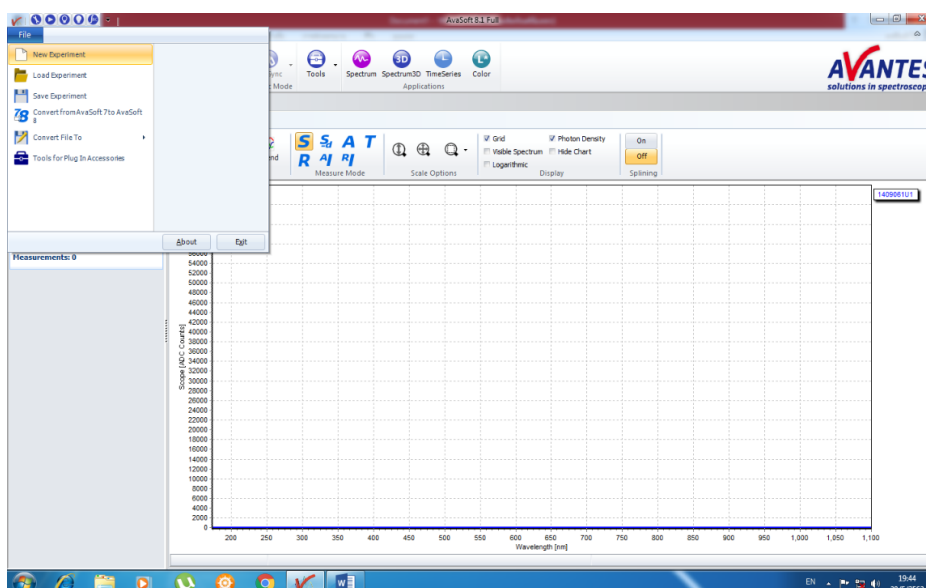
ภาคผนวก ข

การเปิดโปรแกรม Avasorf 8.1 เมื่อคลิกไปที่โปรแกรม Avasorf 8.1 แล้วจะได้หน้าโปรแกรม ดังรูปที่ ข.1



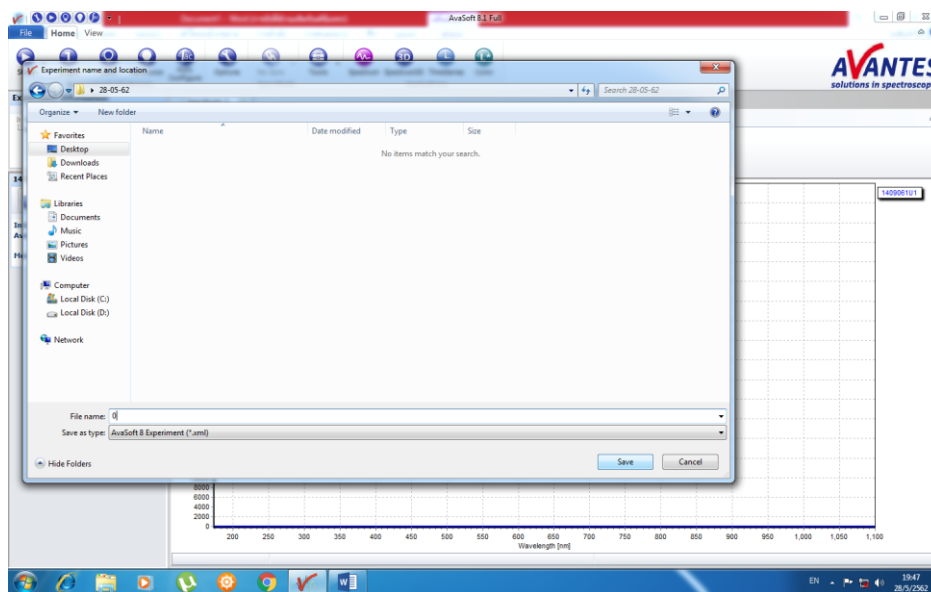
รูปที่ ข.1 แสดงหน้าแรกของโปรแกรม Avasorf 8.1

จากนั้น ขั้นตอนที่ 1 คลิกไป File จากนั้นกดไปที่ New Experiment ดังรูปที่ ข.2



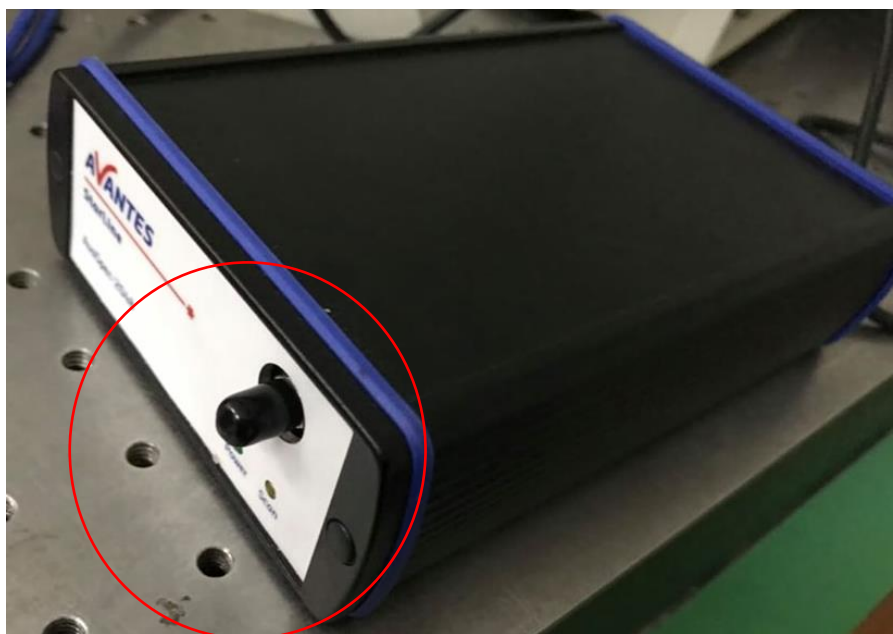
รูปที่ ข.2 แสดงการกด New Experiment เพื่อเริ่มการใช้โปรแกรม

ขั้นตอนที่ 2 สร้าง Folder แล้วตั้งชื่อไฟล์งานที่จะเซฟแล้วกด Save ดังรูปที่ ข.3



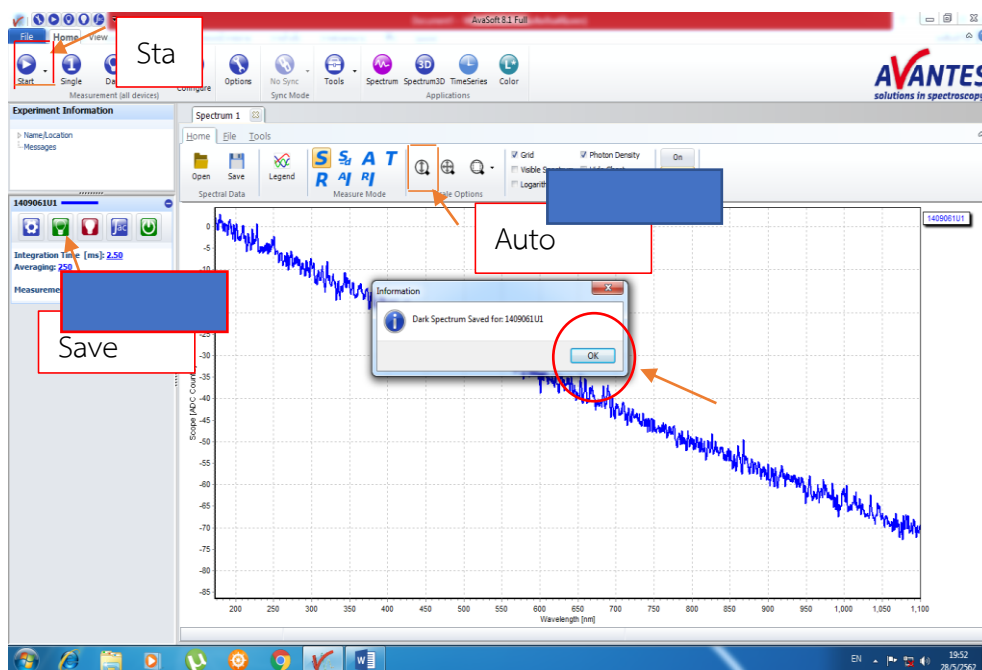
รูปที่ ข.3 แสดงการเปิด Folder

ขั้นตอนที่ 3 ในขณะที่เครื่องปิดรับแสงให้เราทำการวัด Dark ในขั้นตอนต่อมา ดังรูปที่ ข.4



รูปที่ ข.4 แสดงการปิดกั้นแสงเพื่อวัด Dark

ขั้นตอนที่ 4 ปิดทางเดินแสงเข้าสเปกโตรมิเตอร์กด Start จากนั้นกด Save Dark แล้วกด OK ดังรูปที่ ข.5



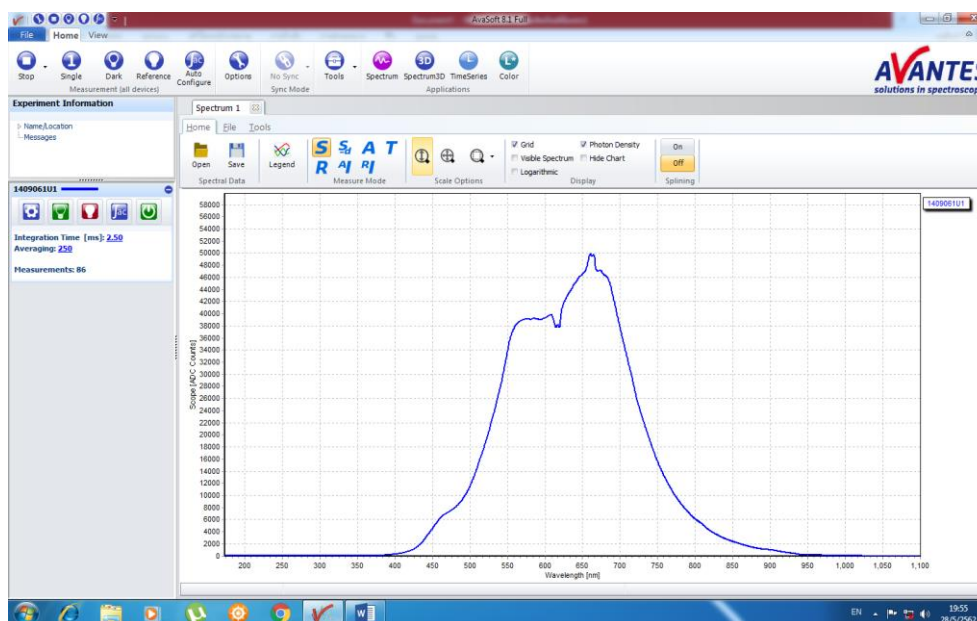
รูปที่ ข.5 แสดงการวัด Dark

ขั้นตอนที่ 5 จากนั้นต่อสายไฟเบอร์เข้ากับรูดรับแสงของเครื่องสเปกโตรมิเตอร์ ดังรูปที่ ข.6



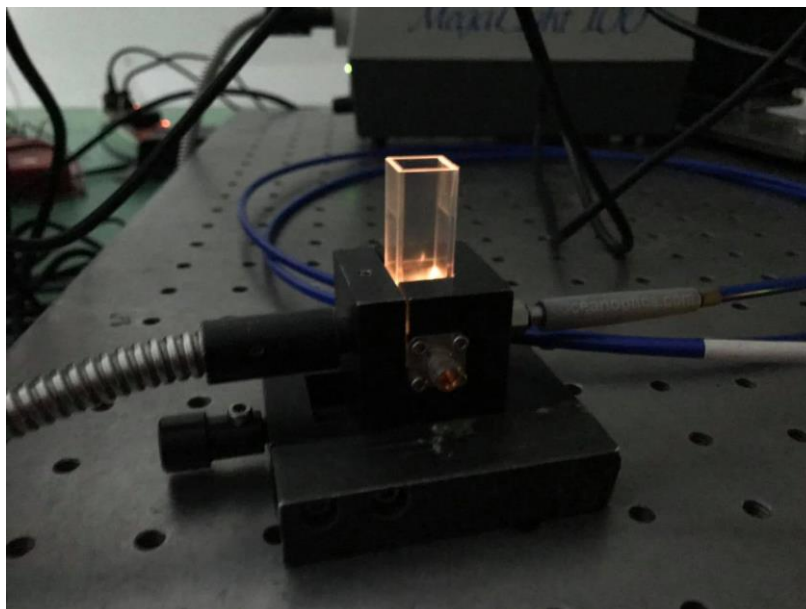
รูปที่ ข.6 แสดงการต่อสายไฟเบอร์

ขั้นตอนที่ 6 ปรับความเข้มแสงจากหลอดทั้งสแตน จนได้ความเข้มแสงประมาณ 50000 counts
 ดังรูปที่ ข.7



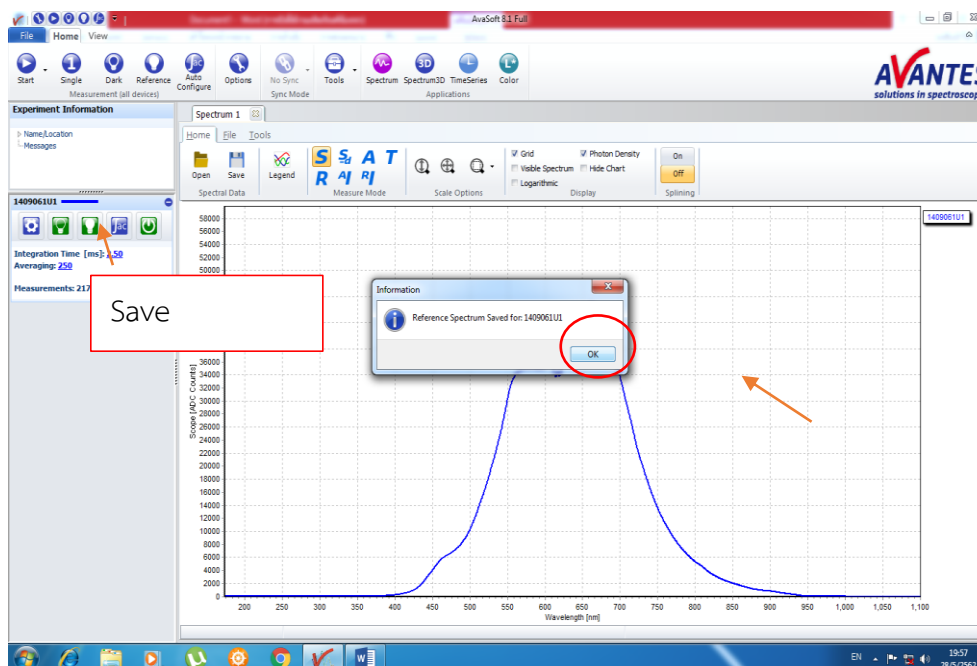
รูปที่ ข.7 แสดงการปรับค่าความเข้มแสงจากหลอดทั้งสแตน 50000 counts

ขั้นตอนที่ 7 นำตัวอ้างอิงที่ไม่มีสารตัวอย่างหรือน้ำบริสุทธิ์มาวางเพื่อเป็นตัว Blank เพื่อวัด White mode ดังรูปที่ ข.8



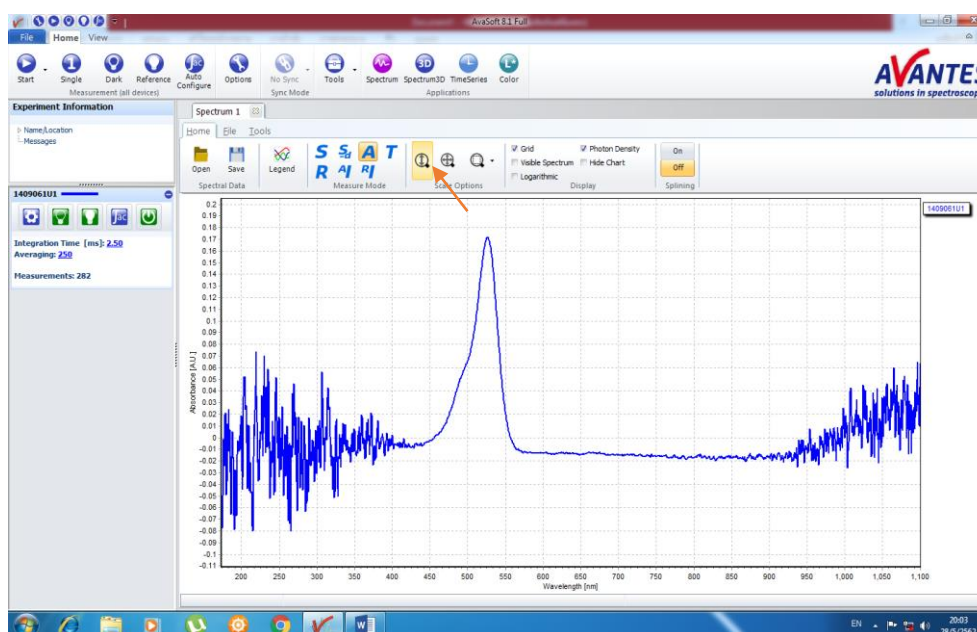
รูปที่ ข.8 แสดงการวัดสารอ้างอิงหรือน้ำบริสุทธิ์

ขั้นตอนที่ 9 จากนั้นกด Save Reference แล้วกด OK ได้ ดังรูปที่ ข.9



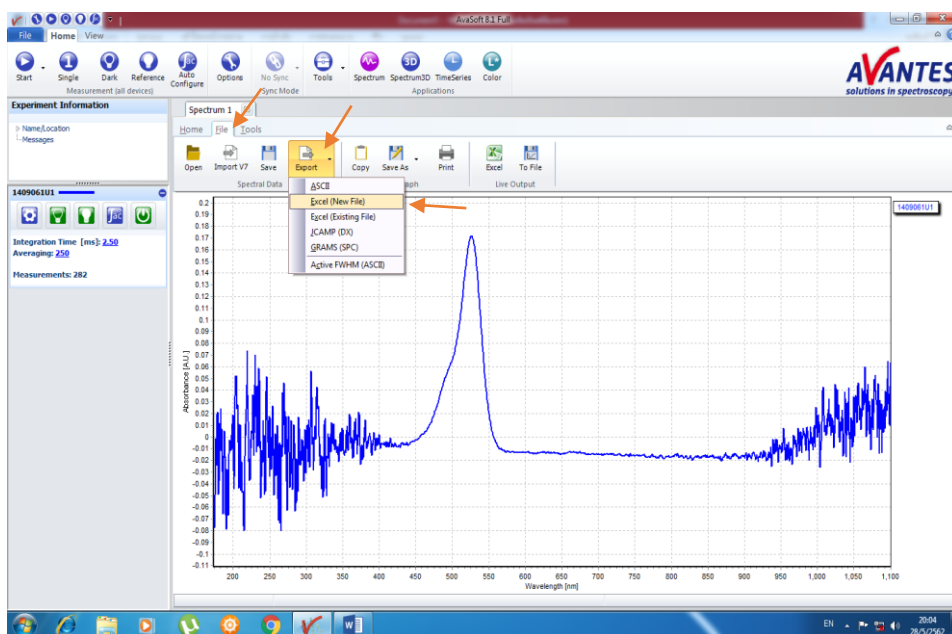
รูปที่ ข.9 แสดงการ Save Reference

ขั้นตอนที่ 10 จากนั้นนำสารละลายที่ต้องการวัดมาใส่แทนน้ำบริสุทธิ์ เปลี่ยนโหมดเป็น A แล้วทำการวัด ดังรูปที่ ข.10



รูปที่ ข.10 แสดงการปรับโหมด A

ขั้นตอนที่ 11 จากนั้นกด File กด Export แล้วเลือก Excel(New File) แล้วกด OK
ดังรูปที่ ข.11



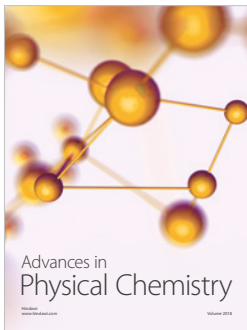
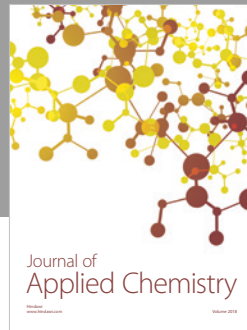
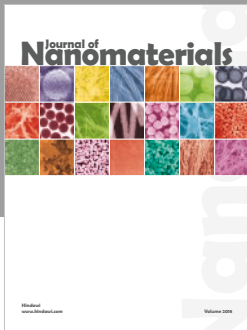
รูปที่ ข.11 แสดงการวัดสสารตัวอย่างและSave ไฟล์เป็น Excel

ขั้นตอนที่ 12 ทำการ Export แล้วเลือก Excel(New File) แล้วกด OK จะได้ค่าที่เป็น Excel
ขึ้นมา ดังรูปที่ ข.12

The screenshot shows an Excel spreadsheet with the following data:

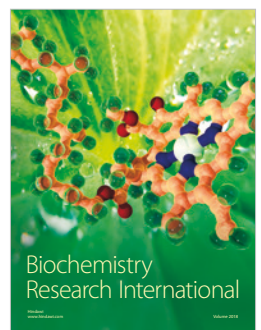
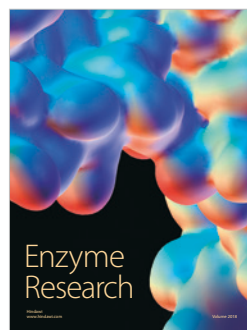
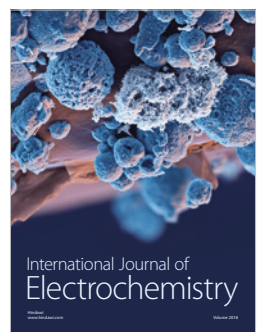
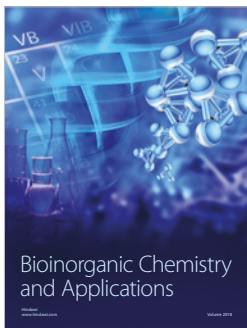
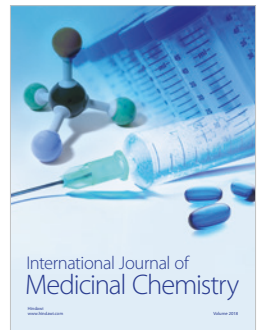
File Name	Mode	Int. Time	Nr of Averages	Smoothing	Wavelength [nm]	Absorbance [AU]
140906101_01	Dark	2.50	250	1	173.405	-0.05910691
					174.010	-0.077159936
					174.615	-0.077573568
					175.220	-0.049369673
					175.825	-0.018467828
					176.430	-0.001627815
					177.035	-0.019164818
					177.640	-0.023978739
					178.245	0.019258846
					178.850	0.021000492
					179.454	0.010279639
					180.059	-0.049280091
					180.664	-0.023971471
					181.269	-0.037207211
					181.873	0.011788123
					182.478	0.004958974
					183.083	0.023941751
					183.687	-0.01172057
					184.292	0.007178912
					184.896	-0.022846076
					185.501	-0.023907596
					186.105	-0.065805044
					186.710	-0.09025553

รูปที่ ข.12 แสดงค่าวัดในรูปแบบ Excel



Hindawi

Submit your manuscripts at
www.hindawi.com



Research Article

Effect of Adsorption Characteristics of Rhodamine 6G Dye Solution in Fe_3O_4 Magnetic Nanoparticles on Fluorescence Quantum Yield

Suwaphit Phoemphoonthanyakit,¹ Panpailin Seeharaj,² Pattareeya Damrongsak,¹ and Kitsakorn Locharoenrat ¹

¹Biomedical Physics Research Unit, Department of Physics, Faculty of Science, King Mongkut's Institute of Technology Ladkrabang, Bangkok 10520, Thailand

²Department of Chemistry, Faculty of Science, King Mongkut's Institute of Technology Ladkrabang, Bangkok 10520, Thailand

Correspondence should be addressed to Kitsakorn Locharoenrat; kitsakorn.lo@kmitl.ac.th

Received 7 March 2019; Accepted 25 June 2019; Published 3 July 2019

Academic Editor: K.S.V. Krishna Rao

Copyright © 2019 Suwaphit Phoemphoonthanyakit et al. This is an open access article distributed under the Creative Commons Attribution License, which permits unrestricted use, distribution, and reproduction in any medium, provided the original work is properly cited.

In this work, the use of Fe_3O_4 magnetic nanoparticles in the adsorption of rhodamine 6G solution was evaluated via absorbance and fluorescence spectroscopy using the UV-Vis spectrometer. The adsorption mechanism of rhodamine 6G on Fe_3O_4 was determined with respect to the adsorbent dosage (2.5–10 mg/L) and treatment time (0–150 min). The experimental data revealed that the fluorescence quantum yield of rhodamine 6G was inversely proportional to the percentage of dye removal. The highest efficiency of dye removal was obtained at 10 mg/L Fe_3O_4 , and the adsorption capacity was about 150 mg/g, together with a reduced treatment time of 30 min, owing to active adsorption of Fe_3O_4 . We believe that our study makes a significant contribution to the literature because Fe_3O_4 magnetic nanoparticles were found to be able to quench rhodamine 6G dye molecules, which will aid in eliminating toxic and hazardous pollutants from dye wastewater, which are otherwise detrimental to the environment and human health.

1. Introduction

Nowadays, the textile industry, being the highest user of dyes for fiber coloration, is faced with the challenge of disposal of dye wastewater worldwide. Effluents derived from many manufacturing units are sometimes discharged into water resources without any treatment, partly due to economic and technical restrictions. Because most dyes are stable against oxidizing agents and sunlight, nonremoval of color from dye wastewater is becoming one of the main water pollutants. They cause severe environmental hazards, not only affecting the aesthetic merit but also decreasing the penetration of light, and it can even prove to be carcinogenic for humans. As a result, various physical, chemical, and biological techniques have been developed to eliminate dissolved inorganic/organic compounds by converting them into

harmless end products. Among these treatment approaches, physical adsorption on activated carbon is a very practical one to produce effluents composing low level of these compounds [1–3]. However, the use of alternative substitutes to eliminate such dyes from other materials like nanomaterials has emerged as they are able to treat a large amount of dye wastewater and are not time-consuming and produce a low amount of contaminants. In recent years, magnetic nanoparticles have gained considerable interest with regard to environmental concerns. Among them, Fe_3O_4 is considered as a good candidate capable of removal of original dyes [4]; however, there is no empirical study on the relationship between the adsorption process of dyes and fluorescence quantum yield. Fe_3O_4 nanoparticles have been proved to be biocompatible with low-toxicity and are applicable for a variety of biomedical researches. For instance,

they are commonly used as a contract agent, therapeutic agent, and sensing probe for magnetic resonance imaging, hyperthermia therapy, and targeted-drug delivery, respectively [5]. However, although there are many common cationic rhodamine family dyes used in the textile industry, only a few studies have been focused on adsorption behaviors of rhodamine 6G. Therefore, in this study, we select rhodamine 6G as a dye model to elucidate the interaction mechanism between Fe_3O_4 magnetic nanoparticles and rhodamine 6G dye. Based on dosages of Fe_3O_4 magnetic nanoparticles, it is possible to observe both amplification and quenching of fluorescence of dye molecules.

2. Materials and Methods

Iron-(II,III) oxide or Fe_3O_4 with particle sizes in the range of 50–100 nm and cationic dye rhodamine 6G were purchased from Sigma-Aldrich, USA. The dye powder was first dissolved in deionized water for use as a stock solution. The stock solution was, then, diluted in two proportions. The first portion was used to acquire a calibration curve as $y = 79289x - 0.0032$, where y and x represent the absorbance peak and rhodamine 6G concentration, respectively, as shown in Figure 1.

The second portion was used further as adsorbate. Next, the adsorption experiments were performed by mixing 1 mL dye solution of fixed concentration ($3 \mu\text{M}$ rhodamine 6G) and 1 mL adsorbent of known quantity ($2.5\text{--}10 \text{ mg/L}$ Fe_3O_4) under a sonicator at the room temperature of 26°C and pH 7.0. The treatment time was varied from 0 to 150 min. At every 30 min time interval, the mix solution was studied under the UV-Vis spectrometer by measuring the absorbance at wavelength of 525 nm and fluorescence at wavelength 555 nm. More details of the optical setup were

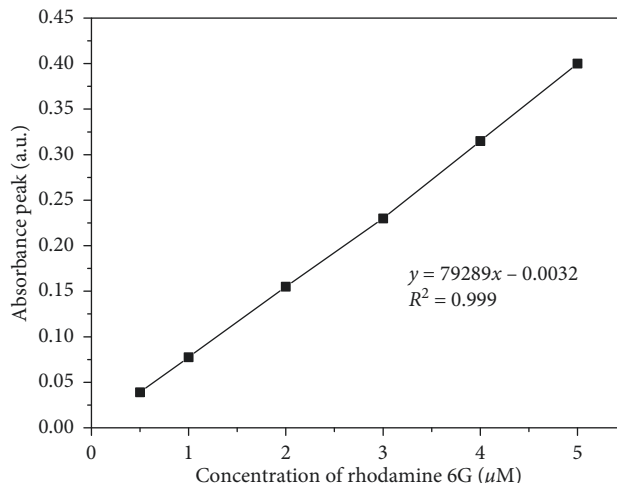


FIGURE 1: Calibration curve of rhodamine 6G dye concentration determination.

explained in [6]. Fluorescence quantum yield, efficient removal of dye, and amount of dye adsorbed on adsorbent were calculated using the following equations:

Fluorescence quantum yield (Q) was calculated by [6]

$$Q = Q_{\text{REF}} \cdot \frac{I}{A} \cdot \frac{A_{\text{REF}}}{I_{\text{REF}}} \cdot \frac{n^2}{n_{\text{REF}}^2}, \quad (1)$$

where I and A are the integrated fluorescence intensity and absorbance peak, respectively; n is the refractive index of the solvent; and subscript REF is the reference fluorophore. The dye concentration was calculated from the calibration curve.

Efficiency of dye concentration removal was calculated as follows:

$$\% \text{ dye removal} = \frac{\text{initial concentration of dye} - \text{equilibrium concentration of dye}}{\text{initial concentration of dye}} \times 100. \quad (2)$$

Amount of dye adsorbed on the adsorbent at equilibrium state was calculated as follows:

$$\text{adsorption capacity} = \frac{\text{initial concentration of dye} - \text{equilibrium concentration of dye}}{\text{mass of adsorbent}} \times \text{volume of solution}. \quad (3)$$

3. Results and Discussion

Adsorbent dosage is an imperative factor in the determination of its adsorption capacity on an adsorbate. To verify the effect of the adsorbent dosage on rhodamine 6G adsorption, adsorption experiments were performed by mixing the Fe_3O_4 dosage ($2.5, 5.0, 7.5,$ and 10.0 mg/L) in a solution form, for certain amount of rhodamine 6G of $3.0 \mu\text{M}$ at a room temperature of 26°C and pH 7.0 and for time intervals from 0 to 150 min. The absorption and fluorescence intensities of the mixed solution are displayed

in Figures 2 and 3, respectively, and the absorbance peak and integrated fluorescence intensity of the solution are shown in Figures 4 and 5, respectively. The absorption and fluorescence intensities of Fe_3O_4 mixed with rhodamine 6G are found to be remarkably lower than those of rhodamine 6G alone. They all tend to decrease as dosages of Fe_3O_4 magnetic nanoparticles increase, owing to the following reasons. Since a surface-to-volume ratio of Fe_3O_4 is high, it intensely adsorbs rhodamine 6G. A reduction in the fluorescence intensity will thus occur due to the inner filter effect [7]. The fluorescence intensity reduces not only due to the strong adsorption capacity of Fe_3O_4 but also due to the fluorescence energy resonance transfer of rhodamine 6G by the Fe_3O_4

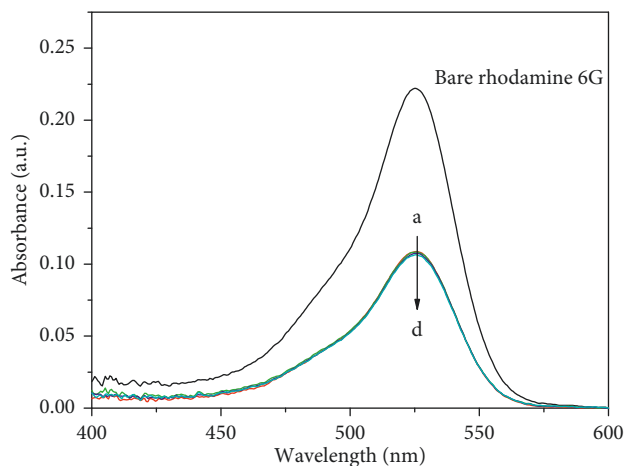


FIGURE 2: Absorbance spectra of $3.0\ \mu\text{M}$ rhodamine 6G mixed with four different dosages of Fe_3O_4 magnetic nanoparticles. The treatment time is 0 min, as a representative sample. a, b, c, and d represent Fe_3O_4 magnetic nanoparticles dosages of 2.5, 5.0, 7.5, and 10.0 mg/L, respectively. Absorbance peak exists at 525 nm.

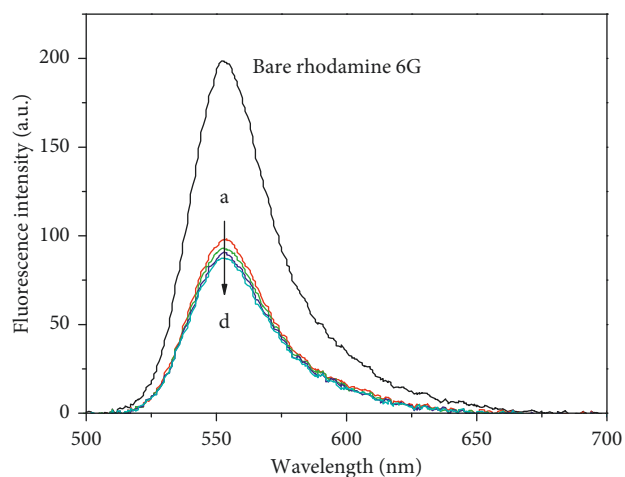


FIGURE 3: Fluorescence spectra of $3.0\ \mu\text{M}$ rhodamine 6G mixed with four different dosages of Fe_3O_4 magnetic nanoparticles. The treatment time is 0 min as a representative sample. a, b, c, and d represent Fe_3O_4 magnetic nanoparticles dosages of 2.5, 5.0, 7.5, and 10.0 mg/L, respectively. Peak fluorescence exists at 555 nm.

nanoparticles. It is a nonradiative energy transfer from an excited donor fluorophore to an acceptor through non-radiative dipole-dipole coupling [8–10]. Hence, it is possible to quench the rhodamine 6G dye molecule by Fe_3O_4 .

A reduction of both absorption and fluorescence intensities further results in a significant decrease in the fluorescence quantum yield, calculated using equation (1) and as shown in Figure 6. The fluorescence quantum yield is in the range of 0.81–0.88. In Figure 7, the fluorescence quantum yield is plotted with respect to the dye removal calculated using equation (2). The fluorescence quantum yield is inversely proportional to dye removal. That is, with the increase in dye removal, the fluorescence quantum yield gradually decreases. The relationship is linear, which further

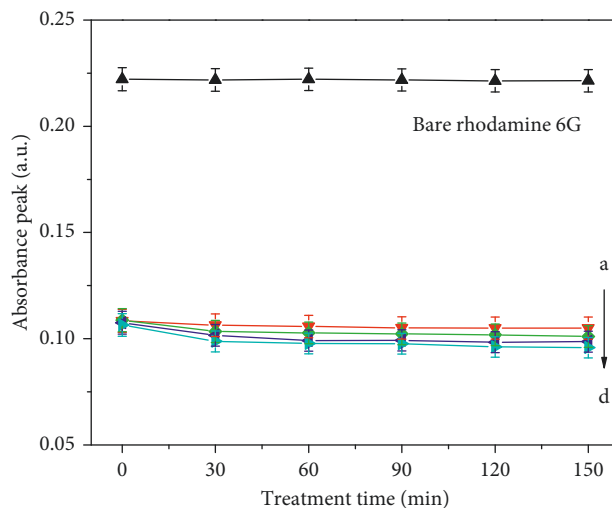


FIGURE 4: Absorbance peak of $3.0\ \mu\text{M}$ rhodamine 6G mixed with four different dosages of Fe_3O_4 nanoparticles under six different treatment times. a, b, c, and d represent Fe_3O_4 magnetic nanoparticles dosages of 2.5, 5.0, 7.5, and 10.0 mg/L, respectively.

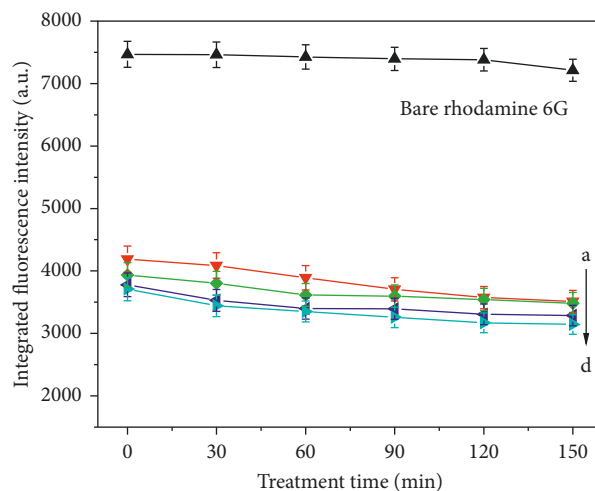


FIGURE 5: Integrated fluorescence intensity of $3.0\ \mu\text{M}$ rhodamine 6G mixed with four different dosages of Fe_3O_4 magnetic nanoparticles under six different treatment times. a, b, c, and d represent Fe_3O_4 magnetic nanoparticles dosages of 2.5, 5.0, 7.5, and 10.0 mg/L, respectively.

confirms that Fe_3O_4 magnetic nanoparticles are an efficient fluorescence quencher for rhodamine 6G. The observed fluorescence mechanism of rhodamine 6G under the influence of Fe_3O_4 magnetic nanoparticles possibly involves fluorescence resonance energy transfer between the dye molecule and Fe_3O_4 magnetic nanoparticles.

The effect of Fe_3O_4 dosage on rhodamine 6G concentration removal shows a small change, as displayed in Figure 8; however, the adsorption capacity of Fe_3O_4 calculated using equation (3) shows a considerable change, as exhibited in Figure 9. The adsorption capacity is in the range of 150–600 mg/g. It is seen that the treatment time profile of rhodamine 6G uptake is a smooth and continuous curve leading to a saturation stage, indicating the available

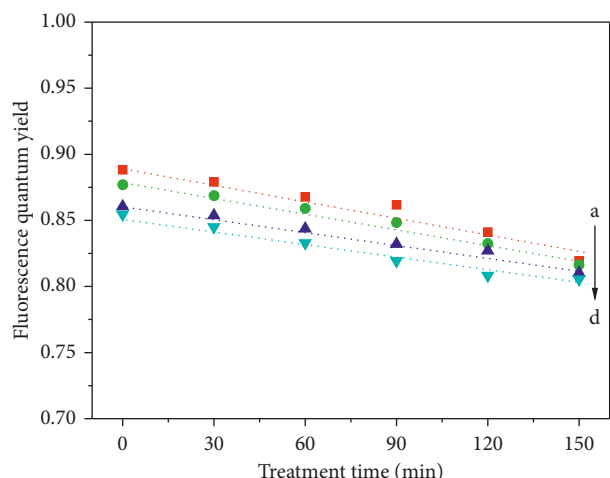


FIGURE 6: Percentage of fluorescence quantum yield of $3.0 \mu\text{M}$ rhodamine 6G mixed with four different dosages of Fe_3O_4 magnetic nanoparticles under six different treatment times. a, b, c, and d represent Fe_3O_4 magnetic nanoparticles dosages of 2.5, 5.0, 7.5, and 10.0 mg/L, respectively. Dashed lines are for guide to the eyes.

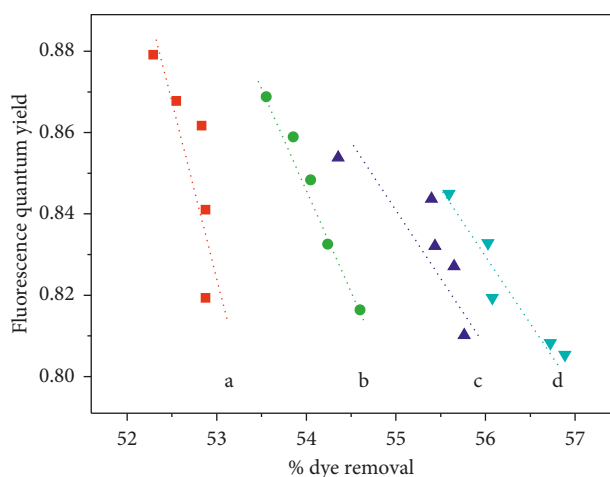


FIGURE 7: Relationship between fluorescence quantum yield and dye removal of $3.0 \mu\text{M}$ rhodamine 6G mixed with four different dosages of Fe_3O_4 magnetic nanoparticles under six different treatment times. a, b, c, and d represent Fe_3O_4 magnetic nanoparticles dosages of 2.5, 5.0, 7.5, and 10.0 mg/L, respectively. Dashed lines are for guide to the eyes.

monolayer coverage of rhodamine 6G on the surface of Fe_3O_4 .

In all cases, it is clearly seen that the adsorption of rhodamine 6G is rapid at the first treatment time of 30 min because the mass transfer driving force is large. Adsorption of rhodamine 6G remains constant after reaching an equilibrium state because rhodamine 6G reaches a boundary layer and then possibly diffuses into the tiny pores of Fe_3O_4 . Furthermore, the equilibrium time is shorter at a higher Fe_3O_4 dosage. This is because, as the Fe_3O_4 dosage increases, the surface area of Fe_3O_4 will increase, leading to higher availability of active adsorbent sites to adsorb rhodamine 6G from aqueous solution. Furthermore, at each equilibrium

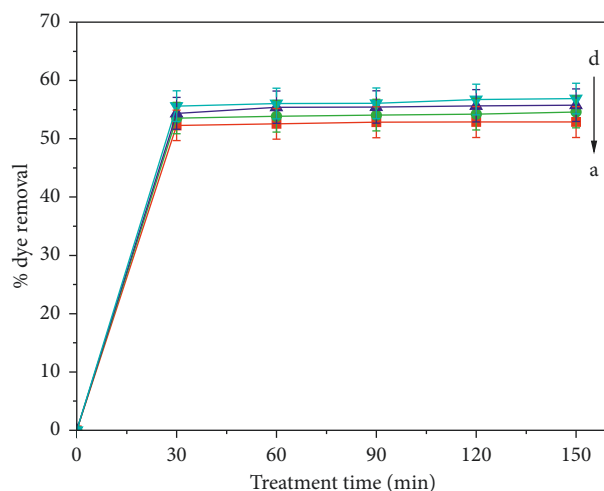


FIGURE 8: Percentage of dye removal of $3.0 \mu\text{M}$ rhodamine 6G mixed with four different dosages of Fe_3O_4 magnetic nanoparticles under six different treatment times. a, b, c, and d represent Fe_3O_4 magnetic nanoparticles dosages of 2.5, 5.0, 7.5, and 10.0 mg/L, respectively.

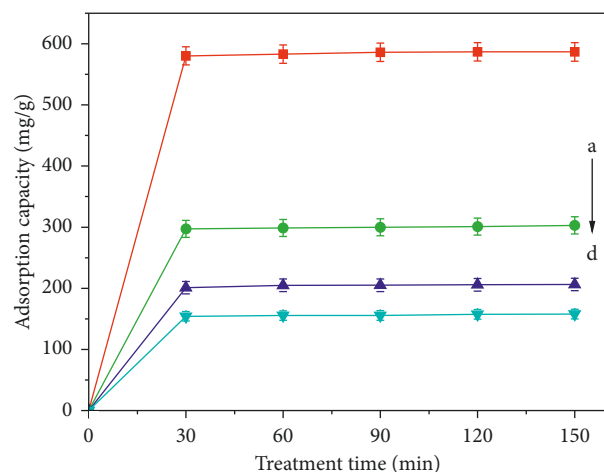


FIGURE 9: Adsorption capacity of $3.0 \mu\text{M}$ rhodamine 6G mixed with four different dosages of Fe_3O_4 magnetic nanoparticles under six different treatment times. a, b, c, and d represent Fe_3O_4 magnetic nanoparticles dosages of 2.5, 5.0, 7.5, and 10.0 mg/L, respectively.

time, it is found that the percentage of rhodamine 6G concentration removal tends to increase from 52 to 57% when the Fe_3O_4 dosage is increased from 2.5 to 10.0 mg/L, respectively. It is believed that the removal percentage would not go beyond 60% even when more than 10 mg/L of Fe_3O_4 is added. These results are in good agreement with those in [4]. Thus, the highest efficiency of dye removal is achieved at 10 mg/L Fe_3O_4 , whereas the corresponding adsorption capacity is about 150 mg/g in this study. This value is still higher in comparison with the results reported over the last ten years [11, 12] in other studies on the adsorption of different dyes on different adsorbents, except for [13]. The best treatment time in our adsorption process is 30 min, involving low operation cost that is very important for

industry-scale application of an adsorbent. Since rhodamine 6G concentration removal cannot reach 100% similar to [4], partly due to the aggregation of Fe_3O_4 surface area available to rhodamine 6G and consequently a reduction in the diffusion path length, application of UV light irradiation is suggested to be added in the present process in order to further improve the adsorption capacity. It is expected that the dye removal might go beyond 60% in that case and a comparative study will be presented in the future.

4. Conclusions

The effectiveness of Fe_3O_4 magnetic nanoparticles as an adsorbent for the elimination of rhodamine 6G dye solution was investigated in this study, by using a UV-Vis spectrometer. Further, amplification and quenching of fluorescence of dye molecules were observed with respect to the dosage of Fe_3O_4 nanoparticles. Upon the addition of Fe_3O_4 in rhodamine 6G solution, the absorption and fluorescence intensities were significantly reduced due to the adsorption of rhodamine 6G molecules on the surface of Fe_3O_4 and the quenching of rhodamine 6G as a fluorophore. The fluorescence quantum yield of rhodamine 6G was therefore decreased, conforming to an increase in dye removal. The highest efficiency of dye removal was achieved at 10 mg/L Fe_3O_4 , whereas the corresponding adsorption capacity was approximately 150 mg/g at a shortened treatment time of 30 min. It is expected that Fe_3O_4 magnetic nanoparticles will be applied as an adsorbent for elimination of a variety of toxic and hazardous pollutants from dye wastewater because the magnetic nanoparticles have a high surface-to-volume ratio and appropriate pore size for adsorption of dye molecules.

Data Availability

The data used to support the findings of this study are included within the article.

Conflicts of Interest

The authors declare that there are no conflicts of interest regarding this study.

Acknowledgments

This research was funded by the King Mongkut's Institute of Technology, Ladkrabang, Bangkok 10520, Thailand.

References

- [1] L. Ding, B. Zou, W. Gao et al., "Adsorption of rhodamine-B from aqueous solution using treated rice husk-based activated carbon," *Colloids and Surfaces A: Physicochemical and Engineering Aspects*, vol. 446, no. 5, pp. 1–7, 2014.
- [2] Z. Chennouf-Abdellatif, B. Cheknane, F. Zermane, E. M. Gaigneaux, O. Mohammedi, and N. Bouchenafa-Saib, "Equilibrium and kinetic studies of methyl orange and rhodamine B adsorption onto prepared activated carbon based on synthetic and agricultural wastes," *Desalination and Water Treatment*, vol. 67, pp. 284–291, 2017.
- [3] M. Danish, T. Ahmad, R. Hashim et al., "Comparison of surface properties of wood biomass activated carbons and their application against rhodamine B and methylene blue dye," *Surfaces and Interfaces*, vol. 11, pp. 1–13, 2018.
- [4] A. Khorshid and M. Hajnajafi, "Degradation of rhodamine 6G in aqueous solution by using Au/ Fe_3O_4 core/shell nanoparticles," *Journal of Applied Chemistry*, vol. 13, no. 47, pp. 21–34, 2018.
- [5] N. T. K. Thanh, *Clinical Applications of Magnetic Nanoparticles*, CRC Press, Boca Raton, FL, USA, 2018.
- [6] E. Rammarat, K. Locharoenrat, W. Yindeesuk, and P. Damrongsak, "Studies of concentration dependence of the fluorescent quantum yield from rhodamine 6G and Au-Pd core-shell nanorods, using a response surface methodology," *Ukrainian Journal of Physical Optics*, vol. 18, no. 3, pp. 179–186, 2017.
- [7] A. V. Fonin, A. I. Sulatskaya, I. M. Kuznetsova, and K. K. Turiverov, "Fluorescence of dyes in solutions with high absorbance. Inner filter effect correction," *PLoS One*, vol. 9, no. 7, Article ID e103878, 2014.
- [8] P.-J. J. Huang and J. Liu, "Molecular beacon lighting up on graphene oxide," *Analytical Chemistry*, vol. 84, no. 9, pp. 4192–4198, 2012.
- [9] M. Ujihara, N. M. Dang, and T. Imae, "Fluorescence quenching of uranine on confeito-like Au nanoparticles," *Journal of Nanoscience and Nanotechnology*, vol. 14, no. 7, pp. 4906–4910, 2014.
- [10] B. Gilbert, J. E. Katz, N. Huse et al., "Ultrafast electron and energy transfer in dye-sensitized iron oxide and oxyhydroxide nanoparticles," *Physical Chemistry Chemical Physics*, vol. 15, no. 40, pp. 17303–17313, 2013.
- [11] B. Uçar, A. Güvenç, and Ü. Mehmetoglu, "Use of aluminium hydroxide sludge as adsorbents for the removal of reactive dyes: equilibrium, thermodynamic, and kinetic studies," *Hydrology Current Research*, vol. 2, no. 2, article 1000112, 2011.
- [12] A. Azizi, M. A. Moghaddam, and M. Arami, "Removal of a reactive dye using ash of pulp and paper sludge," *Journal of Residuals Science and Technology*, vol. 9, pp. 159–168, 2012.
- [13] S. C. R. Santos and R. A. R. Boaventura, "Treatment of a simulated textile wastewater in a sequencing batch reactor (SBR) with addition of a low-cost adsorbent," *Journal of Hazardous Materials*, vol. 291, pp. 74–82, 2015.

ประวัติผู้เขียน

ชื่อ	นางสาวสุวิษญ์ เพิ่มพูนธัญญกิจ
วัน เดือน ปีเกิด	2 ตุลาคม พ.ศ. 2536
ที่อยู่ปัจจุบัน	197 หมู่ 6 ตำบล ท่าบัว อำเภอ โพนทะเล จังหวัด พิจิตร รหัสไปรษณีย์ 66130
ประวัติการศึกษา	พ.ศ. 2559 วิทยาศาสตรบัณฑิต (กศ.บ.) สาขา ฟิสิกส์ เกรดเฉลี่ย 3.2 มหาวิทยาลัยศรีนครินทรวิโรฒ พ.ศ. 2562 วิทยาศาสตรมหาบัณฑิต สาขา ฟิสิกส์ประยุกต์ สถาบันเทคโนโลยีพระจอมเกล้าเจ้าคุณทหารลาดกระบัง
ผลงานวิจัย	Effect of Adsorption Characteristics of Rhodamine 6G Dye Solution in Fe ₃ O ₄ Magnetic Nanoparticles on Fluorescence Quantum Yield